

ГЛАВНОЕ УПРАВЛЕНИЕ ГИДРОМЕТЕОРОЛОГИЧЕСКОЙ СЛУЖБЫ
ПРИ СОВЕТЕ МИНИСТРОВ СССР

ИНСТИТУТ ГЕОГРАФИИ АКАДЕМИИ НАУК СССР

РЕСУРСЫ ПОВЕРХНОСТНЫХ ВОД СССР

КАТАЛОГ ЛЕДНИКОВ СССР

ТОМ 3

СЕВЕРНЫЙ КРАЙ

Часть 2

НОВАЯ ЗЕМЛЯ



ГИДРОМЕТЕОИЗДАТ
ЛЕНИНГРАД-1978

ГЛАВНОЕ УПРАВЛЕНИЕ ГИДРОМЕТЕОРОЛОГИЧЕСКОЙ СЛУЖБЫ
ПРИ СОВЕТЕ МИНИСТРОВ СССР

ИНСТИТУТ ГЕОГРАФИИ АКАДЕМИИ НАУК СССР

РЕСУРСЫ ПОВЕРХНОСТНЫХ ВОД СССР

КАТАЛОГ ЛЕДНИКОВ СССР

ТОМ 3

СЕВЕРНЫЙ КРАЙ

Часть 2

НОВАЯ ЗЕМЛЯ

Г. М. ВАРНАКОВА, В. С. КОРЯКИН



ГИДРОМЕТЕОИЗДАТ
ЛЕНИНГРАД•1978

Каталог ледников Новой Земли составлен и отредактирован в отделе гляциологии Института Географии АН СССР. Каталог рекомендован к печати секцией гляциологии Межведомственного геофизического комитета при Президиуме АН СССР.

Отв. редактор
В. М. КОТЛЯКОВ

Редакторы:
О. Н. ВИНОГРАДОВ, О. В. РОТОТАЕВА

В Каталоге дается характеристика географического положения, морфологии и режима ледников Новой Земли, климатических условий их существования. Приводятся основные сведения о ледниках, схемы расположения ледников.

Рассчитан на географов, гляциологов, гидрологов и метеорологов.

ПРЕДИСЛОВИЕ

Каталог ледников Новой Земли является частью многотомного издания «Каталога ледников СССР», входящего в свою очередь в качестве самостоятельного раздела в издание «Ресурсы поверхностных вод СССР».

Деление каталога на тома, выпуски и части приведено ниже.

В Каталоге приведены четыре основные таблицы:

Таблица I — Основные сведения о ледниках (с пояснениями);

Таблица II — Список гидрометеорологических станций и постов в районе ледников;

Таблица IV — Экспедиционные и стационарные исследования ледников;

Таблица V — Список работ, содержащих сведения о ледниках.

Таблица III не представлена в данном Каталоге из-за отсутствия на Новой Земле суммарных осадкомеров и снегомерных пунктов.

Каталог содержит характеристику географического положения, условий существования, морфологии и режима ледников Новой Земли.

Морфометрические данные для заполнения граф табл. I получены в результате измерений по крупномасштабным топографическим картам. В большинстве случаев предварительно производилось исправление ситуации по аэрофотоснимкам. Камеральное дешифрирование осуществлялось по нетрансформированным аэрофотоснимкам с помощью стереоскопа. Методика измерений была обычной и по точности соответствовала требованиям «Руководства по составлению Каталога ледников СССР». Измерения всех выделенных объектов проводились не менее двух раз различными исполнителями, а полученный результат осреднялся. Линейные измерения проводились, как правило, микроизмерителем. При измерении береговой линии в пределах листа допускались расхождения не выше 1% общей ее протяженности. Площадь крупных контуров (выше 20 км²) измерялась с помощью планиметра, подсчета квадратов километровой сетки, а оставшиеся небольшие площади сложных очертаний измерялись палеткой с длиной стороны квадрата 1 мм. При площади ледника менее 20 км² использовалась только палетка. Отдельно измерялась площадь моря, ледников и свободной от льда суши. Точность измерения оценивалась по расхождению суммарных площадей суши, моря и ледников с табличной площадью трапеции. Вычисленная таким образом ошибка измерения площади оледенения Новой Земли составляет ±36 км², а всей площади двух главных островов (без о. Междуречского и других более мелких) ±114 км². Ошибка в измерении длины береговой линии составляет ±20 км.

Авторы каталога ледников Новой Земли в основном следовали требованиям «Руководства по составлению Каталога ледников СССР». Однако для целей каталогизации район оледенения Новой Земли является одним из самых сложных, так как в нем представлены практически все морфологические типы и покровных, и горных ледников в самых различных их сочетаниях, а также многообразные и постепенные переходы от оледенения одного типа к другому. Это обстоятельство вызвало необходимость введения некоторых характеристик и определений, дополняющих и развивающих таковые в Руководстве, авторы которого при разработках содержания каталога для областей покровного оледенения в известной степени имели в качестве примера оледенение Земли Франца-Иосифа. В отличие от этого района, покровное оледенение Новой Земли обладает рядом существенных особенностей: оно представляет собой единую морфологическую и динамическую систему с общей осью оледенения, совпадающей с главным ледоразделом и вытянутой в северо-восточном направлении; в большей мере приурочено к отрицательным формам рельефа подстилающего ложа — погребенным долинам; средняя толщина ледникового покрова составляет несколько сотен метров; ледниковые купола занимают ничтожную часть площади ледникового покрова всего около 2%; доля общей площади выводных ледников в целом невелика и не превышает 33% площади ледникового покрова; прямой контакт ледникового покрова с морем ограничен весьма незначительными по протяжению (194 км в сумме) фронтами выводных ледников, выступающих на пути к морю далеко за пределы ледникового покрова.

Перечисленные особенности привели к необходимости использовать (в дополнение к имеющимся в Руководстве) следующие обозначения, более точно передающие характер оледенения Новой Земли: «нерасчененная часть ледниковой шапки» и «нерасчененная часть ледникового щита», т. е. обширные участки ледникового покрова, не вошедшие в контуры выводных ледников и куполов.

Для более точной характеристики выводных ледников вслед за основным названием морфологического типа ледника в скобках введены дополнительные определения, уточняющие их морфологический подтип («долинный» и «краевой»).

Одновременно для полной характеристики ледникового покрова в табл. I внесены дополнительные данные о ледосборах выводных ледников. Границы ледосборов выделены по гипсометрическому признаку на основании предположения, что лед, находящийся в пределах выделенного ледосбора, должен поступить к концевым частям

соответствующих выводных ледников. Границы ледосборов нередко пересекают купола и делят их на отдельные участки (см. рис. 6). В табл. I данные о ледосборах приводятся под сведениями о собственно выводном леднике. Они могут быть полезными при оценке стока, колебаний ледников, балансовых расчетов и др. Соотношение площадей ледосбора и собственно выводного ледника колеблется в широких пределах. Выходной ледник, т. е. канал, выдающий лед, является частью ледосбора. В отдельных случаях, преимущественно в краевой зоне покрова, площадь ледосбора может совпадать с площадью выводного ледника. Подобные образования, безусловно, являются составной частью ледникового покрова и органически входят в единую общую систему массообмена вещества в нем. В графе 4 табл. I такие ледники выделены дополнительным определением «краевой» (см. выше), а вторая строчка — сведения о ледосборе — в данном случае не приводится вследствие совпадения характеристик ледосбора и собственно выводного ледника.

В итоговых строках табл. I приведены суммы площадей не только выводных ледников и куполов, но и ледосборов. Здесь же особо оговорены отдельные участки ледникового покрова, не вошедшие в ледосборы. Окончательное значение площади ледникового покрова, таким образом, получено дважды: а) по сумме площадей нерасщепленной части покрова, куполов и выводных ледников, б) по сумме площадей ледосборов выводных ледников и участков покрова, не вошедших в площадь ледосборов.

Следует постоянно учитывать еще одну сторону проблемы каталогизации ледников Новой Земли, обусловленную главным образом крайне широким диапазоном размеров ледников — от морфологически сложного ледникового тела покрова до мелких снежно-ледовых образований. В одних случаях это приводит к необходимости выделения частей ледникового покрова в качестве самостоятельных, в других — к суммированию данных по группам ледников малых форм в виде общих промежуточных итогов. Такой подход неизбежен и ведет к помещению в таблицах данных разных категорий, выполненных на неравноценной основе, и делает непростым прямое сравнение ледников разного порядка, усложняет статистическую обработку приводимых характеристик и т. д. В связи с этим в табл. I в случаях помещения данных об отдельных частях сложных ледниковых образований, как правило, занимающих большие пространства, каждый раз подчеркивается единство этих частей, образующих, в сущности, общую систему — ледник.

Более детальная морфологическая характеристика указанных сложных ледниковых систем, развитых в пределах Новой Земли, дана в текстовой части.

При каталогизации ледников области, переходной от покровного оледенения к горному, специфика которых получила наименее точные рекомендации в Руководстве, сложные ледниковые комплексы с разнонаправленным ледниковым стоком были расчленены на долинные (выходные) ледники, площадь которых совпадает с площадью их ледосборов.

Морфологический тип — долинный (выходной) ледник, часть ледникового комплекса, предложенный авторами, подчеркивает промежуточное положение

таких ледников по своей морфологии между покровными и горными ледниками. Подобные ледники являются образованиями 2-го порядка по отношению ко всему комплексу — например, ледниковому плато, наиболее типичному образованию для данной области Новой Земли. Поэтому в пояснении к табл. I каждый раз приводятся итоговые данные, характеризующие ледниковое плато в целом. Общий размер ледникового плато определяется по сумме площадей ледосборов долинных (выходных) ледников, образующих данный ледниковый комплекс.

Приводимые в табл. I морфологические типы горных ледников полностью соответствуют рекомендациям «Руководства по составлению Каталога ледников СССР».

В табл. I сведения сгруппированы в соответствии с выделенными авторами ледниками областями, границы которых обусловлены преобладанием одного из следующих основных морфологических типов ледников: покровных, переходных от покровных к горным, горных и ледников малых форм.

Одновременно имеется известное различие в итоговых данных сводных таблиц. Если табл. 1—6 составлены в полном соответствии с табл. I, то в дополнительных табл. 7—10 исходный материал скомплектован несколько иначе, что вызвано частным переносом положения границ между областями. Так, в данных табл. 7—10 предусмотрено, что граница области покровного оледенения смешена к северу, а ледники № 60—64, расположенные в южной краевой зоне ледникового покрова, входят в область, переходную от покровного оледенения к горному. В этом случае к переходной области отнесены и ледники горного типа № 109—140. При составлении табл. 7—10 использован принцип выделения ледников и ледниковых комплексов на основании единой системы массообмена в них.

При характеристике условий существования оледенения и его режиме использованы данные монографии «Оледенение Новой Земли» (М., «Наука», 1968). Это — сводная работа, написанная на основании наблюдений по программе МГГ Новоземельской гляциологической экспедиции Института географии АН СССР, проводившей исследования на леднике Шокальского (№ 86) в 1957—1959 гг. Наблюдения были выполнены как в многочисленных маршрутах, так и на стационарах — гляц. станциях Барьер Сомнений (в средней части ледника Шокальского на высоте 300 м) и Ледораздельной (в центре ледникового покрова на высоте 800 м.)

Большую помощь в составлении настоящего каталога оказали Л. Н. Ожегова, Л. М. Елисеева, В. А. Гуняев, а на заключительном этапе Л. Н. Тарасова, выполнившие значительную часть технических работ. О. Н. Виноградов постоянно помогал цennыми советами, а также непосредственно участвовал в решении сложных вопросов, например, в определении границы куполов, и выводных ледников и границы между ледниками областями на участке губа Машигина — зал. Циволько. В процессе подготовки рукописи к печати ряд ценных замечаний был получен от В. М. Котлякова, О. Н. Виноградова, П. Н. Огановского и О. В. Рототаевой. Всем перечисленным лицам авторы выражают свою глубокую признательность.

ДЕЛЕНИЕ КАТАЛОГА ЛЕДНИКОВ СССР НА ТОМА, ВЫПУСКИ И ЧАСТИ

Подразделение Каталога ледников СССР на тома и выпуски полностью соответствует подразделению на тома и выпуски справочного издания «Ресурсы поверхностных вод СССР» (рис. 1), которое состоит из 20 томов, характеризующих всю территорию Советского Союза. В основу разделения справочника на тома положен принцип принадлежности территории к крупным речным бассейнам.

Поскольку области современного оледенения находятся не в каждом из 20 районов — томов изда-

ния «Ресурсы поверхностных вод СССР», Каталог ледников СССР составляется лишь на районы, охватываемые томами 1, 3, 8, 9, 13—17, 19, 20 этого издания.

В связи с неравномерностью распределения оледенения по территории СССР в пределах выделенных томов и отдельных выпусков предусматривается издание нескольких частей Каталога ледников (см. список).

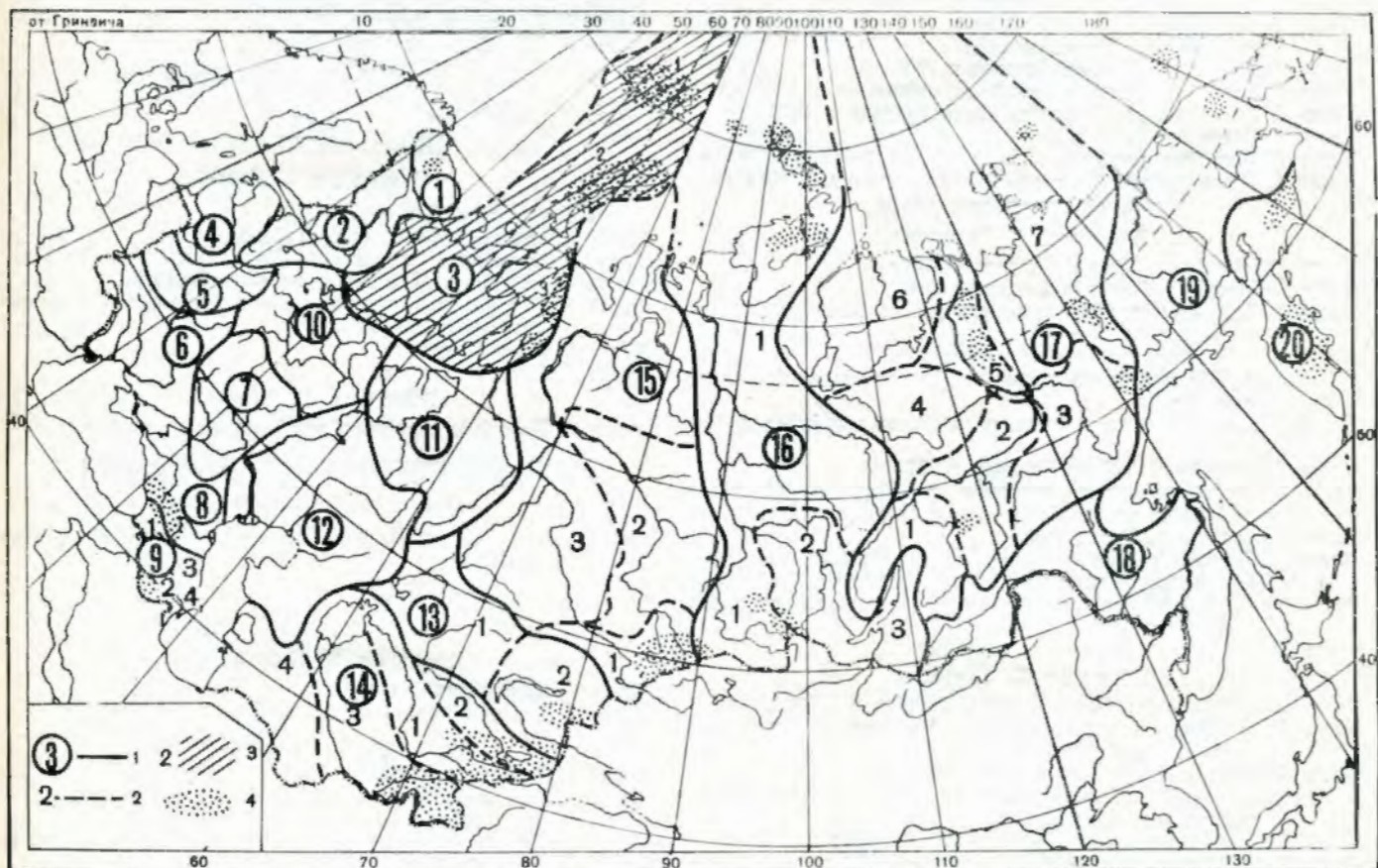


Рис. 1. Схема деления территории СССР на тома и выпуски каталога ледников.

1 — номер тома и границы отнесенных к нему территорий, 2 — номер выпуска и границы отнесенных к нему территорий, 3 — территория, сведения о которой включены в том 3 — Северный край (выделено штриховкой), 4 — районы современного оледенения.

СПИСОК ТОМОВ, ВЫПУСКОВ И ЧАСТЕЙ КАТАЛОГА ЛЕДНИКОВ СССР

Том 1. КОЛЬСКИЙ ПОЛУОСТРОВ

Часть 1. Хибинские горы (издано в 1966 г.)

Том 3. СЕВЕРНЫЙ КРАЙ

Часть 1. Земля Франца-Иосифа (издано в 1965 г.)

Часть 2. Новая Земля

Часть 3. Урал (издано в 1966 г.)

Том 8. СЕВЕРНЫЙ КАВКАЗ

Часть 1. Бассейны рек Белой, Лабы, Урупа (издано в 1967 г.)

Часть 2. Бассейны рек Большого Зеленчука, Малого Зеленчука (издано в 1967 г.)

Часть 3. Бассейн р. Теберды (издано в 1967 г.)

Часть 4. Бассейн верховьев р. Кубани (издано в 1967 г.)

- Часть 5.** Бассейны рек Малки, Баксана (издано в 1970 г.)
Часть 6. Бассейн р. Чегема (издано в 1973 г.)
Часть 7. Бассейн р. Черека (издано в 1973 г.)
Часть 8. Бассейн р. Уруха (издано в 1976 г.)
Часть 9. Бассейн р. Ардона (издано в 1976 г.)
Часть 10. Бассейны рек Фиагдона, Гизельдона (издано в 1977 г.)
Часть 11. Бассейн верховьев р. Терека (издано в 1977 г.)
Часть 12. Бассейны правых притоков р. Сунжи (издано в 1977 г.)

Том 9. ЗАКАВКАЗЬЕ И ДАГЕСТАН

Выпуск 1. Западное Закавказье

- Часть 1.** Бассейн р. Мзымты (издано в 1977 г.)
Часть 2. Бассейн р. Бзыби (издано в 1975 г.)
Часть 3. Бассейн р. Келасури (издано в 1975 г.)
Часть 4. Бассейн р. Кодори (издано в 1975 г.)
Часть 5. Бассейн р. Ингурис (издано в 1975 г.)
Часть 6. Бассейны рек Хоби, Рioni (издано в 1975 г.)
Часть 7. Бассейны левых притоков р. Куры (издано в 1975 г.)

Выпуск 2. Армения

- Часть 1.** Бассейн р. Аракса

Выпуск 3. Дагестан

- Часть 1.** Бассейн р. Сулака (издано в 1975 г.)
Часть 2. Бассейн р. Самура (издано в 1975 г.)

Выпуск 4. Восточное Закавказье

- Часть 1.** Бассейн р. Кусарчая (издано в 1975 г.)

Том 13. ЦЕНТРАЛЬНЫЙ И ЮЖНЫЙ КАЗАХСТАН

Выпуск 2. Бассейн оз. Балхаш

- Часть 1.** Бассейны левых притоков р. Или от устья р. Курты до устья р. Тургени (издано в 1967 г.)
Часть 2. Бассейн р. Чилика (издано в 1968 г.)
Часть 3. Бассейны рек Чарына, Текеса (издано в 1969 г.)
Часть 4. Бассейны рек Хортоса, Усека (издано в 1975 г.)
Часть 5. Бассейн р. Карагата

- Часть 6.** Бассейны рек Биена, Аксу, Лепсы (издано в 1970 г.)

- Часть 7.** Бассейны рек Тентека, Ргайты (издано в 1969 г.)

Том 14. СРЕДНЯЯ АЗИЯ

Выпуск 1. Сырдарья

- Часть 1.** Бассейн р. Пскема (издано в 1968 г.)
Часть 2. Бассейн р. Чаткала (издано в 1970 г.)
Часть 3. Бассейны правых притоков р. Нарына ниже устья р. Кёкемерена.
Часть 4. Бассейны правых притоков р. Нарына от устья р. Кёкемерена до устья р. Малого Нарына (издано в 1973 г.)
Часть 5. Бассейны правых и левых притоков верховьев р. Нарына
Часть 6. Бассейн р. Атбashi (издано в 1974 г.)
Часть 7. Бассейны левых притоков р. Нарына от устья р. Атбashi до устья Карадары (издано в 1977 г.)
Часть 8. Бассейн р. Карадары
Часть 9. Бассейны левых притоков р. Сарыджаза (реки р. Карадары до устья р. Аксу (издано в 1974 г.)
Часть 10. Бассейны левых притоков р. Сырдарьи от устья р. Аксу и ниже (издано в 1974 г.)
Часть 11. Бассейн р. Арыси (издано в 1976 г.)

Выпуск 2. Киргизия

- Часть 1.** Бассейны рек Ассы, Таласа (издано в 1968 г.)
Часть 2. Бассейны левых притоков р. Чу ниже устья р. Коморчека (издано в 1973 г.)
Часть 3. Бассейн верховьев р. Чу (издано в 1971 г.)
Часть 4. Бассейны правых притоков р. Чу ниже Боамского ущелья (издано в 1969 г.)
Часть 5. Реки бассейна оз. Иссык-Куль (издано в 1976 г.)
Часть 6. Бассейн р. Акшийрака (издано в 1970 г.)
Часть 7. Бассейны правых притоков р. Сарыджаза между устьями рек Акшийрака и Куйлю (издано в 1969 г.)
Часть 8. Бассейн верховьев р. Сарыджаза от устья р. Куйлю и выше
Часть 9. Бассейны левых притоков р. Сарыджаза (реки Инильчик, Каинды, Каюкан)
Часть 10. Бассейн р. Кокшалаа (издано в 1971 г.)
Часть 11. Реки бассейна оз. Чатыркель (издано в 1971 г.)

Выпуск 3. Амударья

- Часть 1.** Бассейн верховьев р. Зеравшана от устья р. Фандары
Часть 2. Бассейн р. Зеравшана ниже устья р. Фандары
Часть 3. Бассейн р. Кашкадары (издано в 1969 г.)
Часть 4. Бассейн р. Сурхандары (издано в 1969 г.)
Часть 5. Бассейн р. Кафирнигана

- Часть 6.** Бассейн р. Сурхоба между устьями рек Обихингоу и Муксу (издано в 1971 г.)
Часть 7. Бассейн р. Кызылсу (издано в 1976 г.)
Часть 8. Бассейн р. Муксу
Часть 8А. Система ледника Федченко (бассейн р. Муксу) (издано в 1968 г.)
Часть 9. Бассейн р. Обихингоу
Часть 10. Бассейны правых притоков р. Пянджа от устья р. Вахша до устья р. Ванча
Часть 11. Бассейн р. Ванча
Часть 12. Бассейн р. Язгулема
Часть 13. Бассейн р. Бартанга
Часть 14. Бассейн р. Мургаба
Часть 15. Бассейн р. Гунта
Часть 16. Бассейн верховьев р. Пянджа выше устья р. Гунта
Часть 17. Реки бассейна оз. Каракуль (издано в 1975 г.)
Часть 18. Бассейн верховьев р. Маркансу (издано в 1975 г.)
Часть 19. Бассейн р. Восточной Кызылсу
Часть 20. Бассейны правых притоков р. Пянджа между устьями рек Язгулема, Бартанга и Гунта

Том 15. АЛТАЙ И ЗАПАДНАЯ СИБИРЬ

Выпуск 1. Горный Алтай и Верхний Иртыш

- Часть 1.** Бассейны левых притоков р. Иртыша (издано в 1969 г.)
Часть 2. Бассейн р. Кабы (издано в 1969 г.)
Часть 3. Бассейны рек Курчума, Бухтармы, Ульбы, Убы (издано в 1969 г.).
Часть 4. Бассейн верховьев р. Катуни
Часть 5. Бассейн р. Аргута
Часть 6. Бассейн р. Чун (издано в 1974 г.)
Часть 7. Бассейн р. Бии
Часть 8. Бассейны рек Моген-Бурен, Каргы

Выпуск 2. Верхняя и Средняя Обь

- Часть 1.** Бассейны рек Томи и Чулым

Том 16. АНГАРО-ЕНИСЕЙСКИЕ РАЙОНЫ

Выпуск 1. Енисей

- Часть 1.** Северная Земля
Часть 2. Горы Бырранга (п-ов Таймыр)
Часть 3. Бассейны рек Казыра, Кана (издано в 1973 г.)
Часть 4. Бассейн р. Кемчика (издано в 1973 г.)
Часть 5. Бассейн верховьев р. Енисея выше устья р. Кемчика (издано в 1973 г.)
Часть 6. Горы Путорана
Часть 7. Остров Ушакова

Выпуск 2. Ангара

- Часть 1.** Бассейны верховьев рек Оки, Уды (издано в 1973 г.)

Том 17. ЛЕНО-ИНДИГИРСКИЙ РАЙОН

Выпуск 2. Средняя Лена

- Часть 1.** Бассейны рек Чары и Витима (хребет Кодар) (издано в 1972 г.)

Выпуск 3. Алдан

- Часть 1.** Бассейн р. Юдомы (горы Сунтар-Хаята)

Выпуск 5. Нижняя Лена

- Часть 1.** Хараулахские горы

- Часть 2.** Хребет Орулган (издано в 1972 г.)

Выпуск 7. Яна, Индигирка

- Часть 1.** Острова Де-Лонга
Часть 2. Бассейны левых притоков Средней Индигирки (хребет Черского)
Часть 3. Бассейны левых притоков верховьев р. Индигирки (горы Сунтар-Хаята)
Часть 4. Бассейн р. Адычи (хребет Черского)

Том 19. СЕВЕРО-ВОСТОК

- Часть 1.** Остров Врангеля
Часть 2. Бассейн р. Анаиды (хребет Пекульней)
Часть 3. Бассейн р. Дельку (хребет Сунтар-Хаята)
Часть 4. Бассейн р. Колымы

Том 20. КАМЧАТКА

- Часть 1.** Корякский хребет
Часть 2. Бассейны рек западного побережья Камчатки (издано в 1968 г.)
Часть 3. Бассейн р. Камчатки (издано в 1968 г.)
Часть 4. Бассейны рек восточного побережья Камчатки (издано в 1968 г.)

СПИСОК ПРИНЯТЫХ СОКРАЩЕНИЙ

Учреждения и организации

АНИИ	— Ордена Ленина Арктический и Антарктический научно-исследовательский институт
АНИИ	— Арктический научно-исследовательский институт
ВГО ГГО	— Всесоюзное географическое общество
	— Ордена Трудового Красного Знамени Главная геофизическая обсерватория им. А. И. Воейкова
ГУ	— Гидрографическое управление морского флота
ГУГК	— Главное управление геодезии и картографии при Совете Министров СССР
ГУГМС	— Главное управление гидрометеорологической службы
ГУ Севморпути	— Гидрографическое управление Северного морского пути
ГУСМП	— Главное управление Северного морского пути
ИГАН	— Институт географии Академии наук СССР
МГГ МГУ	— Международный геофизический год
	— Московский государственный университет
МПГ НИИГА	— Международный полярный год
	— Научно-исследовательский институт геологии Арктики
РГО	— Русское географическое общество
Пункты наблюдений	
МСТ	— метеорологическая станция
гляц. ст.	— гляциологическая станция

Морфологические типы ледников

асимм. дол.	— асимметричный долинный
выводн.	— выводной
выводн. (дол).	— выводной (долинный)
выводн. (краев.)	— выводной (краевой)
вис.	— висячий
дол.	— долинный
дол. (выводн.)	— долинный (выводной)
кар.	— каровый
кар.-вис.	— карово-висячий
кар.-дол.	— карово-долинный
ледн. компл.	— ледниковый комплекс
перем.	— переметный
присклон.	— присклоновый
пл. верш.	— плоских вершин
сл. дол.	— сложный долинный
сл. купол	— сложный купол
сл. выводн.	— сложный выводной
склон.	— склоновый

Способ определения высоты фирновой линии

АФС	— аэрофотосъемка
Прочие	
б.	— бухта
г.	— гора
зал.	— залив
м.	— мыс
пр. р.	— приток реки
прол.	— пролив
р. б/и	— река без названия
руч.	— ручей

ХАРАКТЕРИСТИКА ГЕОГРАФИЧЕСКОГО ПОЛОЖЕНИЯ, МОРФОЛОГИИ, КЛИМАТИЧЕСКИХ УСЛОВИЙ И РЕЖИМА ЛЕДНИКОВ

ГЕОГРАФИЧЕСКОЕ ПОЛОЖЕНИЕ И РЕЛЬЕФ

Современное оледенение Новой Земли по площади и объему льда занимает первое место в Советской Арктике. Относительно узкая полоса гористой суши, разделяющая Баренцево и Карское моря, протянулась огромной дугой с юго-запада на северо-восток на расстояние около 1000 км. Эта суши рассечена проливами Маточкин Шар, Карские Ворота и Югорский Шар на три острова. Название Новая Земля относится к двум наиболее крупным из них. Общая площадь Новой Земли составляет 78 200 км². Северный остров по площади превосходит Южный почти в полтора раза. Оба острова отличаются сложным очертанием береговой линии. Наибольшей ширины — до 140 км — Новая Земля достигает на широте Гусиной Земли на Южном острове. На Северном острове узкие и длинные фьорды врезаны глубоко в суши. Так, полоса суши между верховьями губы Крестовой и зал. Незнамого имеет ширину лишь 30 км, а между оз. Ледниковым на побережье Баренцева моря и зал. Медвежьим на Карском побережье — только 25 км.

Новая Земля — горная страна. Высоты центральной части Южного острова на широте губы Белушьей редко превышают 400 м, но уже в районе прол. Маточкин Шар они часто достигают 1000 м. Высшая точка острова (1340 м над ур. м.) располагается в верховьях р. Чиракина на широте Паньковой Земли. Безымянная вершина высотой 1596 м, расположенная южнее кута зал. Норденшельда на Северном острове, является высшей точкой всей Новой Земли. Самые высокие горные вершины находятся в бассейне Баренцева моря. В целом горная система, состоящая из нескольких параллельных хребтов, сдвинута к баренцевоморскому побережью.

Основными экзогенными рельефообразующими факторами являются морская абразия, дефляция, морозное выветривание, речная эрозия, а также ледники. В четвертичное время Новая Земля неоднократно подвергалась оледенению. В. Н. Сакс (табл. V/№ 115) насчитывает в пределах Новой Земли, помимо современного оледенения, до четырех периодов интенсивного разрастания ледников. Несколько обширным было древнее оледенение Новой Земли пока судить трудно. Предполагавшееся ранее распространение четвертичных ледников с Новой Земли на север Восточно-Европейской равнины в настоящее время опровергается многими исследователями. Последующие стадии оледенения по-видимому, ограничились современными пределами Новой Земли.

Рельеф участков, не покрытых ледниками, можно подразделить на прибрежную равнину, плато и горы. На крайнем юге равнина распространяется на всю ширину Южного острова — от моря до моря, достигая в ширину нескольких десятков километров. Севернее параллели 70° она суживается по обоим морским побережьям до 10 км. Далее к северу на отдельных участках этих побережий и равнина, и плато выклиниваются.

Плато на Новой Земле расположены на высотах от 200 до 500 м. Они более распространены по Карскому побережью и гораздо менее выражены по побережью Баренцева моря. Встречающиеся здесь горные цепи, высотой от 250 до 500 м, представляют остатки интенсивно расчлененного в прошлом плато (например, горы Веселые и г. Кленовой в районе зал. Русская Гавань). Граница между плато и горами во многих местах погребена ледниками. В районе мыса Карлсена (Северный остров) и на Южном острове, где эту границу можно наблюдать, она выражена очень неясно.

Горы в основном приурочены к побережью Баренцева моря. Ширина полосы гор на различных участках сильно меняется. В районе Маточкина Шара горы занимают почти всю суши от моря и до моря, постепенно суживаясь к югу и северу. Количество горных цепей, как правило, параллельных продольной оси острова, на различных участках также меняется. Так, на участке между заливами Петерсена и Иностранцева можно проследить три горные цепи, а в районе Русской Гавани лишь две — Прибрежные горы и горы Эдуарда Толля (помимо гор, расположенных на выступающих в море полуостровах Литке и Шмидта). Однако еще одна горная цепь, видимо, погребена подо льдом и образует уступ ледниковой поверхности в верховьях ледника Шокальского, названный Барьером Яблонского. Южнее Русской Гавани количество горных цепей возрастает и на широте зал. Норденшельда уже можно насчитать восемь цепей, а у п-ова Адмиралтейства — 10. Горные долины, занятые льдом, определяют морфологические особенности ледников.

Ширина продольных долин, разделяющих горные цепи, в большинстве случаев невелика и составляет 2—3 км. Цепи гор рассекаются на сравнительно короткие отрезки поперечными долинами, расположенным под прямым углом к общему простианию горных цепей. У входа в заливы поперечные долины достигают ширины 10—15 км. Продольный профиль долин часто бывает неровным: впадины

чередуются с узкими поперечными прогалинами — ригелями, высотой 20—40 м.

Неровности поверхности долин обуславливают волнистый продольный профиль ледников, которые их заполняют.

Отмечается также наличие сквозных долин, пересекающих острова от побережья до побережья. Абсолютные высоты днищ этих долин незначительны. Например, максимальные высоты дна долины Русланова всего 87 м (табл. V № 86, 87). Наиболее часто сквозные долины встречаются на участке между Крестовой губой и губой Глазова, где их по крайней мере три.

На участках, свободных от ледников, водораздел между Баренцевым и Карским морями, как правило, смешен к карскому побережью.

Об особенностях рельефа, погребенного в северной части Новой Земли ледником покровом, можно судить на основании анализа форм ледниковой поверхности, а также по результатам наблюдений

экспедиции М. М. Ермолаева во время 2-го МПГ. Участник этой экспедиции К. Велькен установил, что амплитуда колебания высот подстилающего ложа достигает почти 500 м, а его наиболее низкие участки располагаются даже ниже уровня моря.

МОРФОЛОГИЯ ОЛЕДЕНЕНИЯ

Типы ледников

Покровный ледник (или ледниковый покров). Обширный покровный ледник, расположенный в северо-восточной части Новой Земли, имеет следующие характерные особенности: область расхода располагается концентрически вокруг области питания, водораздел значительной протяженности совпадает с главным водоразделом острова, погребенный рельеф незначительно влияет на характер ледниковой поверхности, почти все выводные ледники достигают моря и образуют фронты в виде ледяных обрывов (табл. 1—3).

Таблица 1

Распределение ледников различных морфологических типов

Морфологические типы ледников	Бассейн Карского моря		Бассейн Баренцева моря		Бассейн прол. Маточкин Шар		Всего						
	Количество ледников	площадь, км ²	Количество ледников	площадь, км ²	Количество ледников	площадь, км ²	Количество ледников	площадь, км ²	% общей площади	Северный остров	Южный остров		
									Количество ледников	площадь, км ²	Количество ледников	площадь, км ²	
Ледниковый покров		9 895,2		10 241,2		—	—	97	20 136,4	85,2	97	20 136,4	—
в том числе													
нерасчлененная часть		7 028,6		5 660,9		—	—	2	12 689,5	53,7	2	12 689,5	—
сложные купола	—	—	16	395,2	—	—	16	395,2	1,7	16	395,2	—	—
купола	1	17,2	11	394,3	—	—	12	411,5	1,7	12	411,5	—	—
сложные выводные ледники	—	—	5	261,9	—	—	5	261,9	1,1	5	261,9	—	—
выводные ледники	23	2 849,4	39	3 528,9	—	—	62	6 378,3	27,0	62	6 378,3	—	—
в том числе													
ледосборы выводных													
ледников	23	8 873,2	44	10 159,8	—	—	67	19 033,0	80,5	67	19 033,0	—	—
участки, не вошедшие													
в ледосборы	4	1 022,0	1	81,4	—	—	5	1 103,4	4,7	5	1 103,4	—	—
Ледники переходных форм													
(ледниковые комплексы)													
их образующие до-													
линии (выводные)	9	622,3	19	1 018,7	—	—	4	1 641,0	6,9	4	1 641,0	—	—
Горные ледники													
в том числе:													
сложные долинные	18	179,8	35	333,9	7	69,8	60	583,5	2,5	50	476,7	10	106,8
долинные	61	239,2	174	679,4	68	153,6	303	1 072,2	4,5	221	793,6	82	278,6
асимметричные долинные	—	—	3	2,1	2	5,4	5	7,5	0,03	4	7,3	1	0,2
карово-долинные	5	6,5	29	24,5	7	6,6	41	37,6	0,2	37	32,9	4	4,7
каровые	12	5,2	49	23,5	17	7,0	78	35,7	0,1	63	29,7	15	6,0
карово-висячие	—	—	2	1,7	6	4,0	8	5,7	0,02	2	1,7	6	4,0
висячие	2	1,7	14	5,5	7	2,5	23	9,7	0,04	17	7,2	6	2,5
склоновые	2	58,8	4	16,4	1	1,2	7	76,4	0,3	7	76,4	—	—
присклоновые	6	5,7	16	13,0	5	3,1	27	21,8	0,09	20	18,6	7	3,2
плоских вершин	—	—	8	17,9	—	—	8	17,9	0,08	8	17,9	—	—
Всего		11 014,4		12 377,8			120	253,2	685	23 645,4	100	554	23 239,4

Новоземельский покровный ледник, согласно рекомендациям «Руководства по составлению Каталога ледников СССР», можно считать ледниковым щитом с единой системой энергомассообмена. Наиболее четко это проявляется в растекании льда от основного ледораздела в противоположные стороны к обоим морским побережьям. Лишь в самой северо-восточной части покрова намечается самостоятельный центр растекания льда второго порядка по отношению к основному (Северная ледниковая шапка),

Длина ледникового покрова по ледоразделу составляет 413 км. Ледораздельная линия в центральной части покрова имеет малую кривизну, что объясняется незначительным влиянием на форму ледниковой поверхности коренного рельефа. Коэффициент кривизны ледораздела равен 1,19. Наибольшая ширина ледникового покрова составляет почти 95 км. Наибольшей высоты (свыше 1000 м) ледниковый покров достигает на юге. Далее к северу происходит постепенное снижение высоты ледораздела до 500 м. В южной части ледникового

Распределение ледников по экспозициям (по областям оледенения)

Бассейн	Тип ледников	C	СВ	В	ЮВ	Ю	ЮЗ	З	СЗ	Всего
СЕВЕРНЫЙ ОСТРОВ										
Область покровного оледенения										
Баренцево море	Ледники ледниково-покрова	375,8(1404,6)						251,2(263,7)	500,5(1435,2)	2436,0(7137,7)
	Горные ледники	7	31,3	1,5	5,0			2	5	31
		91,0	11	3	7			19,9		45
			17					5		54,9
										19
										62
	Всего	1495,6	18	31,3	1,5	5,0		283,6	1435,2	7192,6
				17	3	7		7	5	50
										10444,8
										107
Карское море	Ледники ледниково-покрова		530,5	2847,2(9099,7)	2,2(265,0)					2849,4(9895,2)
	Горные ледники		1	24	2					27
		20,5	20,5	31,8	42,9	1,5				96,7
			1	2	7	1				11
	Всего		20,5	562,3	9142,6	266,5				9991,9
			1	3	31	3				38
	Итого	1495,6	18	51,8	563,8	9147,6	266,5	283,6	1435,2	7192,6
				6	38	3		7	5	50
										20436,7
										145
Область оледенения, переходного от покровного к горному										
Баренцево море	Ледники переходных форм	158,2	42,6					758,9	54,2	4,8
		6	4					7	1	19
	Горные ледники	35,2	59,9	7,1	11,3	55,3	16,4	14,7	44,2	244,1
		8	16	5	3	8	6	2	19	67
	Всего	193,4	102,5	7,1	11,3	55,3	775,3	68,9	49,0	1262,8
			5	3		8	13	3	20	86
Карское море	Ледники переходных форм		33,9	572,3	16,1					622,3
	Горные ледники		2	6	1					9
		11,8	30,2	7,4	1,4					52,0
			8	9	6	2				27
	Всего	11,8	64,1	579,7	17,5	1,2				676,3
		8	11	12	3	2				36
	Итого	193,4	114,3	71,2	591,0	72,8	776,5	68,9	49,0	1937,1
		14	28	16	15	11	15	3	20	122
Область горного оледенения										
Баренцево море	Горные ледники	57,8	100,8	31,6	140,8	43,7	45,3	19,3	66,3	505,6
		29	37	17	35	9	15	7	22	171
Карское море	Горные ледники	7,3	104,1	44,9	89,0	13,9	0,5		6,5	266,2
		6	10	7	9	4				38
Маточкин Шар	Горные ледники	13,5	8,1	4,3	19,2	0,8	33,8	11,6	3,0	94,3
	Всего	11	7	4	12	1	10	4	4	53
		78,6	213,0	80,8	249,0	58,4	79,6	30,9	75,8	866,1
		46	54	28	56	14	26	11	27	262

ЮЖНЫЙ ОСТРОВ
Область горного оледенения

Баренцево море	Горные ледники	9,7	1,0	28,9	99,8	8,4	4,5	3,8	156,1
		6	2	10	8	4	1	3	34
Карское море	Горные ледники	2,5	1,9	19,3	34,4	9,3	8,2	6,4	82,0
		2	5	2	9	5	6	1	30
Маточкин Шар	Горные ледники	44,7	41,7	12,2	25,3	3,8	18,3	5,2	158,9
		11	17	6	13	8	6	3	67
	Всего	56,9	44,6	31,5	88,6	112,9	34,9	9,7	397,0
		19	24	8	32	21	16	4	131
	Итого	135,5	257,6	112,3	337,6	171,3	114,5	40,6	1263,1
		65	78	36	88	35	42	15	393

ОЛЕДЕНЕНИЕ НОВОЙ ЗЕМЛИ

	Всего	1827,2	423,7	747,3	10076,2	510,6	1174,6	1544,7	7335,3	23636,9
		97	124	58	141	49	64	23	104	660
В том числе	на Северном ост- рове	1770,3	379,1	715,8	9987,6	397,7	1139,7	1535,0	7317,4	23239,9
		78	100	50	109	28	48	19	97	529
	на Южном острове	56,9	44,6	31,5	88,6	112,9	34,9	9,7	17,9	397,0
		19	24	8	32	21	16	4	7	131

Примечание. В числителе — площадь ледников (в скобках — площадь ледосборов), в знаменателе — количество ледников.

покрова влияние подстилающего ложа более заметно. Здесь перепады ледниковой поверхности в осевой части покрова на расстоянии 20—40 км достигают порой 200 м. Далее к северу такие изменения высоты поверхности редко превышают 20—30 м на протяжении ста и более километров. На крайнем северо-востоке Новой Земли снова сильнее начинает проявляться влияние коренного рельефа. Особенно хорошо это видно в районе ледяной долины в верховьях зал. Иностранцева. Долина в плане имеет изогнутую форму. Ее низовья затоплены морем (зал. Иностранцева), а верховья погребены ледником того же названия. По описанию М. М. Ермолова, который в 1933 г. пересек ледниковую долину, названную долиной Иностранцева, ее ширина достигает 10 км, а понижение ледяного дна относительно высот поверхности окружающего покрова составляет 300—400 м. Крутизна склонов долины достигает 20°. На них местами обнажаются выходы

коренных пород, иногда встречаются кары, однако дно долины целиком закрыто льдом. Депрессия подстилающего ложа, обусловившая возникновение этой долины, видимо, представляет узкий и длинный залив фьордового типа, вторгающийся более чем на 30 км вглубь Северного острова.

Ледяная долина Иностранцева делит ледниковый покров Новой Земли на две неравные части: щит и Северную ледниковую шапку. Рельеф поверхности Северной ледниковой шапки в районе ледораздельной линии весьма ровный, ее высоты достигают 590 м. Максимальные высоты ледниковой поверхности отмечаются на отдельных участках в горах по побережью Баренцева моря, где они превышают 800 м.

Ледниковый щит — основная часть ледникового покрова Новой Земли. Длина щита по ледоразделу (орографическому) 344 км. Коэффициент кривизны ледораздела составляет всего лишь 1,14.

Таблица 3

Распределение ледников по величине их площади

Тип ледников	Количество ледников по площади, км ²															Все-го	
	0—2,5	2,5—5,0	5,0—7,5	7,5—10	10—20	20—30	30—40	40—50	50—100	100—150	150—200	200—300	300—400	400—500	500	20 000	
Ледниковый покров																	1
купола																	1
выводные ледники	6	2	4	1	3	7	4	1	3	2	13	10	4	7	3	1	28
Ледники переходных форм («ледниковые комплексы»)																	67
их образующие долин-ные (выводные)																	4
Горные ледники	380	82	27	19	35	13	2	1	1	6	3	2	1				28
																	560

Инструментальные измерения толщины льда в центральных частях щита до настоящего времени не проводились. По выходам коренных пород на склоне долины Иностранцева Ермолов (табл. V № 159) оценил толщину льда в пределах 300—400 м. Не исключено, что местами толщина льда достигает 500—700 м.

Гористый характер побережья Баренцева моря способствует расчленению периферии ледникового покрова и образованию значительного количества выводных ледников, заполняющих большие пологие долины. Из 33 выводных ледников этого района 14 (т. е. 42,4%) не достигают современной береговой линии. Эти 14 ледников, как правило, сравнительно небольшие и не выводят лед из центральных частей щита. Остальные 19 ледников более крупные. Они достигают уреза моря и продуцируют айсберги. Их ледосборы охватывают 86,7% площади щита, находящейся в бассейне Баренцева моря. В бассейне Карского моря краевые части ледникового покрова менее расчленены и имеют более спокойный характер рельефа поверхности, что объясняется нерасчлененностью подстилающего ложа. Выровненный рельеф подстилающего ложа, судя по картам, типичен для многих участков побережья Карского моря. Благодаря этому выводных ледников здесь 22 (из них 8 не доходят до берега) и в целом они достигают больших размеров.

Морфологические особенности выводных ледников достаточно разнообразны. Нередко выводной ледник образуется от слияния нескольких русел, которые в плане напоминают веер. Лед из щита

поступает в верховья морского залива, где узкий, сжатый его берегами конец языка образует отвесный, сильно трещиноватый фронт, высотой нередко до нескольких десятков метров. В связи с отступанием ледников в последние десятилетия в отдельных случаях единые фронты выводных ледников в заливах распадаются на отдельные участки и ранее питавшие их ледники обособливаются (например, ледники № 13 и 15 в зал. Иностранцева).

В ряде случаев отток льда происходит по долине, не имеющей значительных выходов коренных пород, и лед выводного ледника течет как бы в ледяных берегах [например, ледники Борзова (№ 83), Шокальского (№ 86)]. Иногда ледник занимает узкую и глубокую с отвесными берегами долину, которая протягивается нередко на десятки километров. В рельефе ледниковой поверхности крутые береговые обрывы такой долины отмечены системой трещиноватых барьеров, напоминающих в плане очертания клина. Благодаря значительному протяжению этих долин и низкому их гипсометрическому уровню, выводные ледники, их заполняющие, как правило, имеют большие площади ледосборов и получают лед из центральных частей щита [например, ледники Иностранцева (№ 13), Броунова (№ 93)].

Наряду с основными выводными ледниками, по периферии ледникового покрова имеются ледниковые языки, которые хотя и составляют с ледниковым покровом единое целое, но лед из центральных его частей не получают (или почти не получают). Как правило, лед в подобные ледники поступает от

расположенных в их верховьях пологих ледниковых куполов, обусловленных поднятиями коренного ложа. Лед, движущийся от ледораздельной части по понижениям коренного ложа, обтекает эти купола и поступает в соседние выводные ледники. Подобный подтип выводных ледников в табл. I выделен как выводной (краевой).

Размеры выводных (краевых) ледников относительно невелики. Самый крупный из них — ледник Павлова (№ 15), находящийся в пределах северной ледниковой шапки, имеет длину 22,4 км и площадь 198,2 км². Наиболее характерный представитель этой группы ледников ледник Карбасникова (№ 96) обладает плоским поперечным профилем и почти не имеет трещин на своей поверхности. Типичные краевые ледники — ледники Кривошенина (№ 69) и Войкова (№ 92). Ледники этого подтипа расположены только по побережью Баренцева моря.

Выводные ледники, относящиеся к разным морским бассейнам, существенно отличаются. П. А. Шумский справедливо отмечал, что «восточный край ледникового покрова — это область развития широких ледяных языков на слабо расчлененной поверхности окраинных плато и береговых равнин» (табл. V/№ 159). Спускаясь с плато на предгорную равнину, ледники карского побережья растекаются по равнине, образуя широкие фронты [ледники Средний (№ 39), Рождественского (№ 40), Мощный (№ 44)]. Однако на карском побережье и южной части ледникового покрова ледники, выходящие к морю, чаще имеют неширокие фронты [например, ледники Полисадова (№ 54) и Ога (№ 56)], что обусловлено формой вмещающих их долин. Наибольшие ледники побережья Карского моря по своим размерам близки к крупнейшим ледникам бассейна Баренцева моря. Максимальную площадь ледосбора среди остальных ледников бассейна Карского моря имеет ледник Мощный (№ 44) — 1142,3 км². Его длина достигает 60 км. Как правило, выводные ледники бассейна Карского моря не имеют в своих верховьях четко выраженного «барьера» — перегиба ледниковой поверхности. Поэтому их верхние границы иногда определены весьма условно.

По мнению авторов, самая юго-западная периферийная часть ледникового покрова, занимающая склон южной экспозиции, обращенный к понижению между губой Машигина (побережье Баренцева моря) и зал. Циволько (побережье Карского моря), приобретает черты оледенения, переходного от покровного к горному. В этом районе высота поверхности ледников в целом уступает высотам окружающих их гор. Ледники на большом протяжении текут в горных долинах с открытыми коренными склонами (частично и в областях питания), их поверхность значительно круче поверхности всех других ледников покрова и обычно сохраняет свой вогнутый профиль в областях питания. Перечисленные особенности ледников этого района позволяют выделить их в особый подтип ледников — выводные (долинные) ледники (№ 60—64).

Специфика этого района дает возможность одновременно рассматривать выводные (долинные) ледники, с одной стороны, как часть области покровного оледенения Новой Земли, а с другой, учитывая их морфологию, заметно тяготеющими к области оледенения, переходного от покровного к горному. В связи с этим в дополнительных мате-

риалах Каталога даются табл. 7—10, при составлении которых ледники № 60—64 отнесены к области переходного оледенения.

Северная ледниковая шапка имеет в плане округлые очертания, ее поперечник (по ледоразделу) составляет около 700 км. Коэффициент кривизны линии водораздела равен 1,3. Его изгибы, по-видимому, обусловлены влиянием рельефа подстилающего ложа. По сравнению с ледниковым щитом мощность льда в центральной части Северной ледниковой шапки невелика (судя по сопоставлению высот ледораздела поверхности у края покрова и у бровки долины Иностранцева, она едва ли превышает 150—200 м.) Относительно основной части ледникового покрова ледораздел Северной ледниковой шапки сильнее смещен к востоку.

На выводных ледниках краевых частей Северной ледниковой шапки оказались те же особенности рельефа, что и на основной части ледникового покрова. На побережье Баренцева моря отмечается интенсивное расчленение ее края и обособление выводных ледниковых языков. К карскому побережью Северная ледниковая шапка оканчивается плавным нерасчлененным как в плане, так и в профиле краем, который целиком находится на суше и нигде не достигает моря. К Баренцеву морю с Северной ледниковой шапки спускаются, помимо ледника Иностранцева (№ 13), еще шесть ледников, из которых только один (ледник № 14) не достигает береговой черты. Общая протяженность всех морских фронтов этих ледников равна 25 км, что составляет почти четверть всей протяженности береговой линии на участке от зал. Иностранцева до мыса Карлсена, т. е. больше, чем где-либо на побережье Новой Земли.

Ледники Веры (№ 16), Бунге (№ 18), Петерсена (№ 19), а также ледник Иностранцева (№ 13) являются типичными выводными ледниками, выводящими лед из центральных частей Северной ледниковой шапки. Ледник Иностранцева выводит лед также и из ледораздельной области ледникового щита Новой Земли, соединяя таким образом Северную ледниковую шапку и основную часть ледникового покрова в единый морфологический и динамический комплекс, и является своеобразной «контактной» формой.

Ледники № 17 и Павлова (№ 15) являются выводными (краевыми), так как они транспортируют лед лишь от краевых частей Северной ледниковой шапки. Ледник Павлова (№ 15) единственный из всех ледников ледникового покрова целиком расположен в продольной межгорной долине.

Площадь ледосборов выводных ледников побережья Баренцева моря составляет 91,3% общей площади ледников этого морского бассейна в пределах Северной ледниковой шапки. Только незначительная часть самой северо-восточной оконечности Северной ледниковой шапки не принадлежит какому-либо ледниковому ледосбору бассейна Баренцева моря. Карская сторона, как уже отмечалось выше, не имеет выводных ледников и не расчленена на ледосборы.

Ледники переходных форм от покровного оледенения к горному. На Новой Земле широко распространен своеобразный тип оледенения, занимающий промежуточное положение между горным и покровным. Ранее подобный тип оледенения был уже описан на примере оледенений различных полярных

районов. Э. Дригальский и Д. Тирелл назвали его сетчатым, (табл. V/№ 159), О. Норденшельд и У. Хоббс — шпицбергенским (табл. V/№ 159), В. С. Корякин — полупокровным. Применительно к Новой Земле Е. В. Горбацкий называл его новоземельским (табл. V/№ 26), П. А. Шумский — сетчатым, В. С. Корякин — переходным (табл. V/№ 79). Специфику подобных ледниковых образований на Новой Земле отмечали также В. А. Русанов, У. Гренли, У. Хольтедаль (табл. V/№ 112, 170, 171, 172).

В «Руководстве по составлению Каталога ледников» данный тип оледенения назван сетчатым или шпицбергенским, приуроченным в основном к положительным формам коренного рельефа.

Характерными чертами этого типа оледенения на Новой Земле являются приуроченность ледников, как правило, к отрицательным формам коренного рельефа (межгорным долинам), растекание льда из общей области питания по нескольким направлениям и вследствие этого наличие нескольких отдельных участков, представляющих собой разобщенную в пространстве область расхода ледника, наличие сравнительно коротких ледоразделов различного порядка между отдельными ветвями ледникового комплекса и вогнутые продольные и поперечные профили этих ветвей. Часть выводных ледников (языков) подобных ледниковых образований спускается до уровня моря, образуя морские фронты часто с мощной подводной частью.

Выводные ледники (языки) обычно не имеют в своей тыльной части крутого участка ледниковой поверхности, разбитого трещинами (барьера). Поэтому выделение границ собственно выводного ледника по имеющимся морфологическим данным весьма затруднительно.

Доминирующей морфологической формой переходного типа ледников от покровного оледенения к горному в условиях Новой Земли являются ледниковые плато. Они получили распространение в условиях, когда продольные межгорные долины расекаются на короткие отрезки вторгшимися в глубь суши фьордами, а сами горные хребты, подвергшиеся денудациям, настолько разрушены, что массы льда в соседних долинах легко контактируют в области питания, из которой лед через выводные ледники поступает к побережью фьордов.

Не следует, однако, отождествлять эти формы с предусмотренными в «Руководстве по составлению Каталога ледников СССР» ледниками плато для горного характера оледенения, приуроченных к положительным и выровненным формам коренного рельефа.

Ледники переходных форм, представляющие собой единый комплекс, в соответствии с гидрологическим принципом условно разделены на несколько частей с отнесением к каждой такой части области питания центрального района плато, которое орографически тяготеет к соответствующей ветви выводного ледника. Таким образом, в отличие от покровного ледника, здесь нами не может быть выделена нерасчлененная часть комплекса.

В районе главного водораздела расположены ледниковое плато площадью 426,5 км² (ледники № 207—213, 219—221) и ледниковая шапка площадью 597,8 км² (ледники № 203—206, 222, 223, 230), большая часть площади которых относится к бассейну Карского моря. Некоторые морфологи-

ческие особенности присущи леднику Серп и Молот (№ 60), что связано со своеобразием его положения в системе ледников Новой Земли. Его основной ствол одновременно выводит лед с южной части ледникового покрова и с находящейся южнее обособленной ледниковой шапки, имеющей типичную морфологию переходной формы от покровного оледенения к горному. Таким образом, ледник Серп и Молот (№ 60) является своеобразным соединительным ледниковым образованием между разными по своей морфологии ледниками, к тому же расположенным (см. ниже) в различных областях оледенения Новой Земли. Авторы предлагают для подобного рода ледников обозначить не только их основной морфологический тип, но и отражать специфику их местоположения дополнительным определением «контактный ледник».

Ледники долинного типа, несущие черты переходных форм от покровных форм к горным, имеют следующие основные особенности:

- 1) их размеры во много раз больше (на порядок или более), чем средние размеры типичных горных долинных ледников рассматриваемого района оледенения,
- 2) приуроченность к обширным долинам, нижняя часть которых занята заливами фьордового типа,
- 3) достижение береговой черты и наличие морского фронта ледника,
- 4) малые уклоны поверхности,
- 5) наличие контакта с соседними ледниками в своих верховьях.

Горные ледники. Горные ледники на Новой Земле занимают преимущественно поперечные долины горных хребтов и кары, т. е. приурочены к отрицательным формам и углублениям коренного рельефа. Как правило, эти ледники имеют выраженные области питания, часто разобщенные на несколько участков, и единые области расхода. Углы наклона их поверхности составляют 8—10°. Количество моренного материала на льду незначительно. Ни один из горных ледников не достигает уровня моря. В пределах Новой Земли насчитывается всего 560 ледников горного типа, занимающих площадь 1868 км², т. е. около 7,9% общей площади оледенения. Основную долю горных ледников составляют ледники долинного типа (сложные долинные, долинные асимметричные долинные), которые в сумме занимают более 88% площади всех горных ледников. Карово-долинные ледники получили незначительное распространение (общая площадь 37,6 км²). Средний размер ледника этого типа менее 1 км². Каровых и карово-висячих ледников насчитывается более 80. В среднем площадь каждого из них менее 0,5 км². Незначительно представлены висячие, склоновые, присклоновые ледники и ледники плоских вершин.

Склоновые ледники в целом имеют значительную ширину, уклоны их поверхности существенно меньше, чем у поверхности висячих ледников. Они не приурочены к локальным углублениям рельефа горных склонов, а обычно покрывают склоны на большой площади как вдоль их простирания, так и от гребней до основания. Площадь каждого из таких ледников превышает в среднем 10 км². Ледников плоских вершин насчитывается всего 8. Однако размер каждого из них в среднем более чем в два раза превышает размер ледников подобного морфологического типа на Тянь-Шане.

Ледники горного типа получили повсеместное распространение. В северо-восточной части оледенения эти ледники приурочены к горным районам и занимают две сравнительно неширокие полосы, вытянутые между краем ледникового покрова и побережьями Карского и Баренцева морей. Причем горные ледники распространены преимущественно в бассейне Баренцева моря, где их количество и площадь более чем в два раза превышает подобные показатели ледников побережья Карского моря. Южнее ледникового щита и особенно ледниковых комплексов переходного типа от покровных форм к горным горные ледники получают преобладающее распространение не только в периферийных частях островов, но и в их центральных частях.

В отдельных случаях небольшие ледники горного типа можно обнаружить далеко на юге, в районе, где абсолютное преобладание получили ледники малых форм.

Ледники малых форм. Предлагаемое название указывает на незначительные размеры ледников по сравнению с размерами горных и тем более покровных ледников. У этих ледников отсутствует четкое разделение на области питания и расхода. Они имеют незначительный вертикальный высотный диапазон. Ледники малых форм получили преимущественное распространение в южной части Южного острова, где поверхность утрачивает черты горного рельефа. Группа ледников малых форм включает лишь два морфологических типа ледников: прислоновые и русловые. Наиболее распространены среди ледников малых форм прислоновые ледники, для которых с трудом устанавливается наличие ледяного ядра лишь на участках, где на поверхности ледников имеются врезы, образованные водными потоками.

Специфической особенностью прислоновых ледников на Новой Земле является четкая приуроченность их к склонам ниже бровок морских террас. Значительное количество таких ледников расположено у берегового обрыва, который отчетливо наблюдается повсеместно вдоль побережья. В последнем случае ледник оканчивается фронтом, обрывающимся в море. Поскольку существование и режим таких ледников обусловлены питанием метлевым снегом, ориентировка прислоновых ледников соглашает с направлением местных ветров типа боры.

В пределах всей Новой Земли довольно часто встречаются русловые ледники. Они получили свое название из-за приуроченности к глубоко врезанным руслам рек и каньонам. На их поверхности невозможно выделить области питания и расхода.

Первое упоминание о русловых ледниках на юге Новой Земли принадлежит Е. А. Тягину (табл. V/№ 32). В русле р. Большой Кармакулки он обнаружил ледники, состоявшие из множества тонких слоев мутного льда. Позднее Ф. Н. Чернышев писал: «Мы можем повсюду наблюдать внутри страны обширные фирновые поля, лед которых спускается крутыми стенками к речкам и ручьям и совершенно неподвижен» (табл. V/№ 140). До сих пор каких-либо инструментальных наблюдений за движением льда ледников этого типа на Новой Земле не проводилось, а чисто визуальная оценка не дает однозначного вывода. Характеризуя аналогичные формы, Б. Б. Голицын указывает, что «строение их напоминает настоящие альпийские

глетчеры» (табл. V/№ 125), а описанный им ряд особенностей (трещины, ледниковые колодцы, деформация слоев) скорее характерен для ледников, чем для снежников. Во всяком случае, такие ледниковые образования не являются вскрытыми речной эрозией испытываемыми ледниками, как полагали У. Гренли (табл. V/№ 170) и М. А. Лаврова (табл. V/№ 86). Необоснованность такого утверждения ранее отмечена П. А. Шумским (табл. V/№ 159).

Русловые ледники так же, как прислоновые, питаются навеянным снегом, но их ориентировка обусловлена молодыми дислокационными дислокациями, усиленными последующей эрозией. Ряд русловых ледников имеет в своем теле тоннель, промытый в период таяния текущими водами.

По-видимому, и прислоновые, и русловые ледники могут быть отнесены к категории ледников лишь условно, так как они (в подавляющем количестве) не имеют признаков движения льда, получивших морфологическое выражение. В действительности эти снежно-ледниковые образования занимают промежуточное место между типичными ледниками и снежниками.

Суммарные оценки ледников малых форм внесены в дополнительные таблицы данного Каталога.

Ледниковые области

По преобладающим группам ледников в оледенении Новой Земли можно выделить четыре ледниковые области: а) покровного оледенения, б) оледенения, переходного от покровного к горному, в) горного оледенения, г) ледники малых форм (рис. 2).

Для характеристики оледенения в ледниковых областях использовались следующие критерии: площадь ледников и степень погребения ими суши в пределах выделенного ареала, выход ледников к побережью (протяженность ледяных берегов, количество ледников, образующих айсберги), площадь их ледосборов, степень искривления водоразделов (ледоразделов), а также их погребение льдом, ориентировка ледников и, наконец, распределение высот ледниковой поверхности. Количественные оценки этих показателей для каждой области отдельно сведены в табл. 6. Районирование позволяет использовать такие характеристики, которые не применимы для отдельно взятого ледника любого типа. Несмотря на то что каждый из перечисленных критериев не является решающим, их совокупность позволяет достаточно объективно охарактеризовать современное состояние оледенения.

Область покровного оледенения. Область покровного оледенения занимает большую часть Северного острова от м. Желания на севере до условной границы на юге, которая проводится от верховьев губы Машигина по южному краю ледника Серп и Молот (№ 60) к зал. Циволько¹.

Отличительной особенностью области покровного оледенения является наличие огромного ледника, перекрывшего большую часть суши. Степень оледенения здесь наиболее велика. Водораздел остро-

¹ По мнению автора, можно провести южную границу собственно ледникового покрова иначе. См. раздел «Дополнительные материалы» и книгу «Оледенение Новой Земли» (табл. V/№ 79).

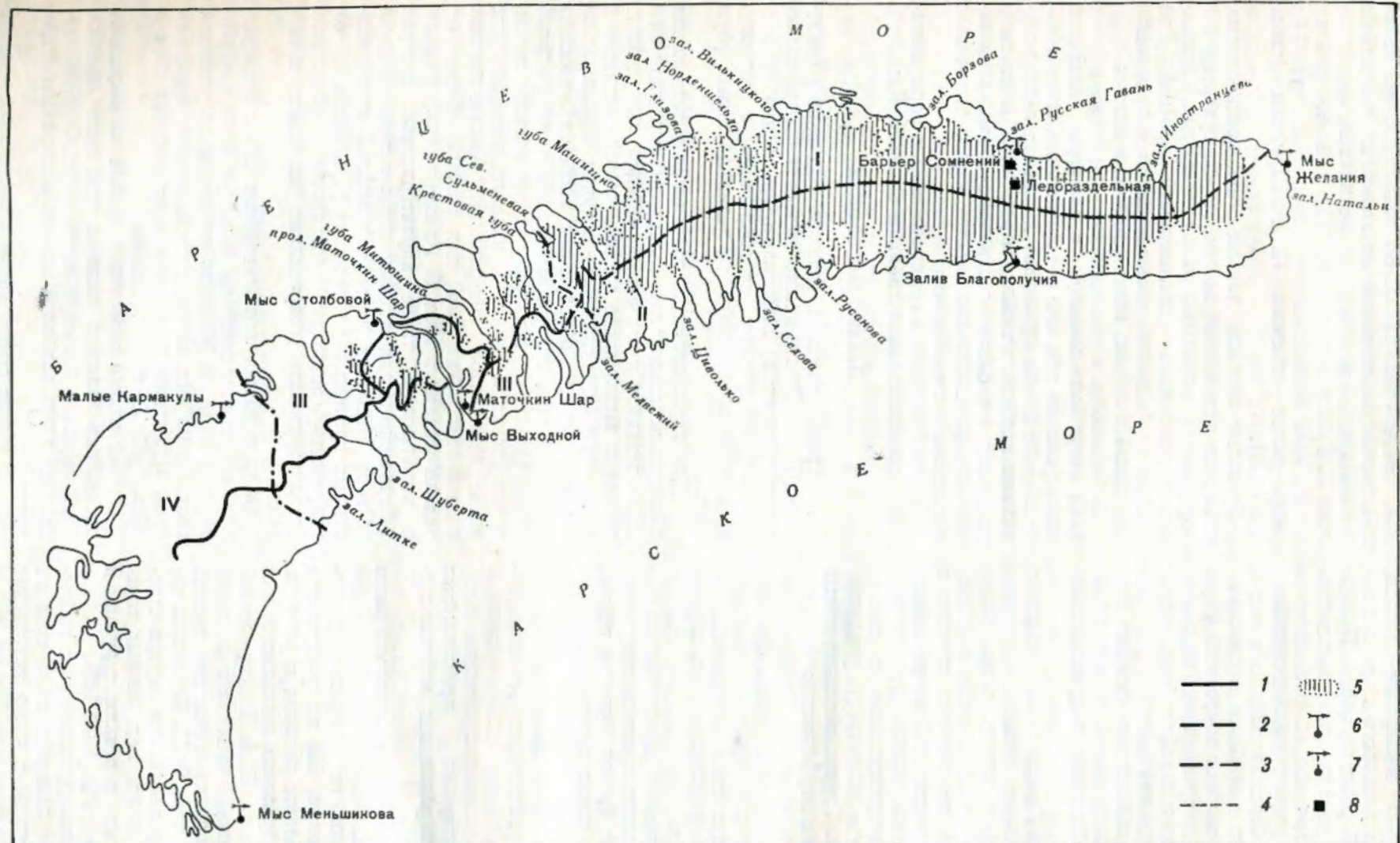


Рис. 2. Ледниковые области Новой Земли.

1 — главный водораздел; 2 — главный ледораздел; 3 — граница между областями оледенения; 4 — граница между Северной ледниковой шапкой и собственно покровом (щитом); 5 — ареалы оледенения; 6 — действующие метеостанции; 7 — закрытые метеостанции; 8 — гляциологические станции.

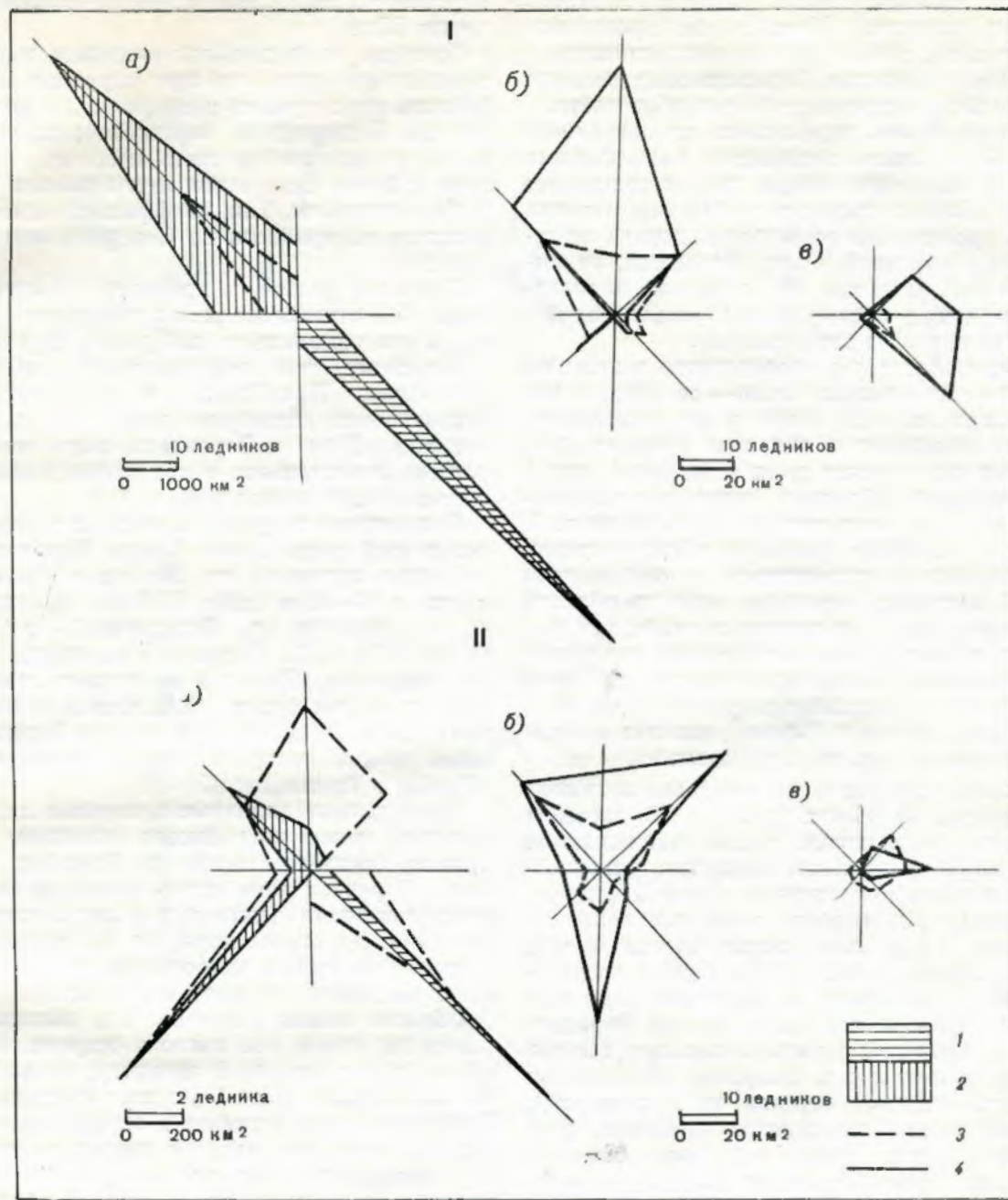


Рис. 3. Распределение ледников по экспозициям в области покровного оледенения (I) и в области оледенения, переходного от покровного к горному (II).

а — выводные ледники, б — горные ледники бассейна Баренцева моря, в — горные ледники бассейна Карского моря. 1 — выводные ледники бассейна Карского моря, 2 — выводные ледники бассейна Баренцева моря, 3 — количество ледников, 4 — общая площадь ледников.

ва по протяженности на 93% совпадает с ледоразделом покрова и лишь на самом севере проходит по суше. Сам водораздел очень слабо изогнут, что также является признаком незначительного влияния подстилающего ложа на характер ледниковой поверхности.

Выводные ледники в пределах области повсеместно достигают побережья, образуя своими фронтами достаточно протяженные ледяные берега, занимающие значительную часть береговой линии.

Заполнение ледниками узких и длинных заливов фьордового типа способствует выравниванию очертаний побережья, что отчетливо видно, например, при сравнении участка западного побережья от зал. Иностранцева до Русской Гавани с участками других ледниковых областей (например, район

губы Машигина в области переходного оледенения). Большая часть льда поступает к морю через выводные ледники. Площадь ледосборов выводных ледников составляет свыше 90% общей площади ледникового покрова в бассейне Баренцева моря и почти 80% в бассейне Карского моря. Из крупных выводных ледников лишь ледник Лактионова (№ 85), выходящий на п-ов Литке, оканчивается на суше. Суша в бассейне Баренцева моря перекрыта льдом в большей степени, чем в бассейне Карского моря. В обоих бассейнах горные ледники по своей морфологии также различаются. В бассейне Баренцева моря сильно рассеченный гористый рельеф благоприятствует формированию долинных и каровых ледников. Для аналогичных ледников в бассейне Карского моря характеристика небольшая разница вы-

сот верховий и конца языка. Горных ледников здесь вообще немного. Интенсивное эрозионное расчленение плато способствует повсеместному развитию русловых ледников. Прислоновые ледники в обоих бассейнах встречаются одинаково часто.

Область оледенения, переходного от покровного к горному. Эта область отличается наименьшими размерами, ее ширина с севера на юг составляет лишь 90 км. Южная граница с областью горного оледенения, проходящая по сквозной долине от губы Южной Сульменевой к зал. Медвежий, не вызывает сомнений. Длинное оз. Гольцовое, заполняющее значительную часть долины, только подчеркивает четкий характер этой границы.

В пределах области лед сосредоточен в нескольких центрах — ледниковых плато — со своими местными ледоразделами, лишь в незначительной степени совпадающими с главным водоразделом острова. Иное соотношение суши и ледников, чем в других ледниковых областях, четко подтверждается всеми показателями, приведенными в табл. 3.

Разница в коренном рельефе обоих морских бассейнов отчетливо проявляется в морфологии ледников. В бассейне Баренцева моря преобладают ледниковые плато и долинные ледники, приуроченные только к отрицательным формам коренного рельефа (долинам различного порядка). Часть ледников карского бассейна приурочена к положительным формам рельефа (плато), как это наблюдается, например, в верховьях р. Ладыгина.

Показательно различие в ориентировке ледников в обоих морских бассейнах (рис. 3). В бассейне Карского моря ледниковые языки наблюдаются преимущественно в верховьях фьордов, рассекающих берега острова под прямым углом к его оси. Таким образом, ориентировка выводных ледников по отношению к береговой линии близка к той, которая существует в области покровного оледенения. В бассейне же Баренцева моря выводные ледники приурочены к межгорным долинам меридионального простирания и их языки выходят к морю под прямым углом к оси фьордов. Абсолютная протяженность ледяных берегов по сравнению с областью покровного оледенения невелика, а с учетом извилистых очертаний побережья их доля в общей длине береговой линии совсем незначительна.

Горные ледники в этой области по своим размерам сходны с аналогичными формами, располагающимися севернее — в области покровного оледенения. Однако при сопоставлении с доминирующим типом ледников — ледниками плато — они более заметны. В бассейне Баренцева моря по сумме площадей преобладают сложные долинные ледники, а в бассейне Карского моря — долинные.

В бассейне Карского моря довольно широкое распространение получили русловые ледники, что обусловлено значительным эрозионным расчленением рельефа.

Вообще же, большая часть ледников области приурочена к бассейну Баренцева моря, что подтверждается данными табл. 1 и 3, как по абсолютным, так и по относительным показателям (степень погребения льдом суши и т. д.).

Область горного оледенения. Эта область разделена на шесть частей. Она включает участки суши на обоих островах, принадлежащие бассейнам

Карского и Баренцева морей, а также прол. Маточкин Шар.

Северная граница области описана выше, южная проходит по краю гор при переходе их в плато. Область простирается с севера на юг по прямой на 160 км. Водоразделы коренного рельефа покрыты льдом менее чем на треть и поэтому по сравнению с более северными ледниками областями более извилисты. Так, коэффициент изгиба участка главного водораздела на Северном острове достигает 2.

Коренной рельеф в пределах области меняется мало. Тем отчетливее рост оледенения с юга на север и его убывание от побережья Баренцева моря к Карскому, что определяется климатическими факторами. Преобладает в целом юго-восточная ориентировка ледников, однако в бассейнах прол. Маточкин Шар и Баренцева моря на Северном острове значительное место принадлежит северной составляющей экспозиции.

Существуют визуальные оценки толщины ледников в этой части Новой Земли. Мощность карово-долинных ледников хр. Митюшев Камень оценивается в 60—70 м (табл. V/№ 93), а ледников Пенка в истоках р. Безымянной — в 20—40 м (табл. V/№ 116). Последняя величина, по-видимому, занижена. Ни один из горных ледников этой области не достигает моря, хотя в отдельных случаях концы ледников отделены от береговой черты лишь узкими полосками суши [ледники Краснова (№ 308) и Третьякова (№ 365)].

Преобладают долинные и каровые ледники, значительно реже встречаются сложные долинные, причем преимущественно в бассейне Баренцева моря. Перечисленные типы ледников вместе с карово-долинными ледниками и ледниками плато (в бассейне Карского моря на Северном острове) в сумме занимают наибольшую часть общей площади оледенения области (см. табл. I).

Область малых ледников. Эта область располагается на самом юге южного острова. Оледенение носит здесь рассеянный характер: около 800 ледников покрывают менее 1% суши в пределах области. Приуроченность ледников к определенным формам рельефа и их ориентировка свидетельствуют о преобладающем влиянии местных условий на формирование этого вида оледенения в целом. Кроме снежно-ледовых образований, названных нами условно ледниками малых форм (русоловых и прислоновых), в этой области не встречается иных ледников.

Общие закономерности оледенения

Увеличение оледенения с юга на север. Это явление отмечалось рядом исследователей еще на раннем этапе изучения Новой Земли (табл. V/№ 14, 98, 112). Накопленные к МГГ данные позволили выразить эту закономерность количественно (табл. V/№ 19). Лишь на крайнем севере Новой Земли размеры оледенения несколько меньше, что объясняется, вероятно, меньшими высотами коренного рельефа в этой части острова, поскольку положение границы питания с юга на север меняется мало.

Приуроченность оледенения к побережью Баренцева моря. Эта особенность оледенения Новой Земли наблюдается в пределах всех ледниковых обла-

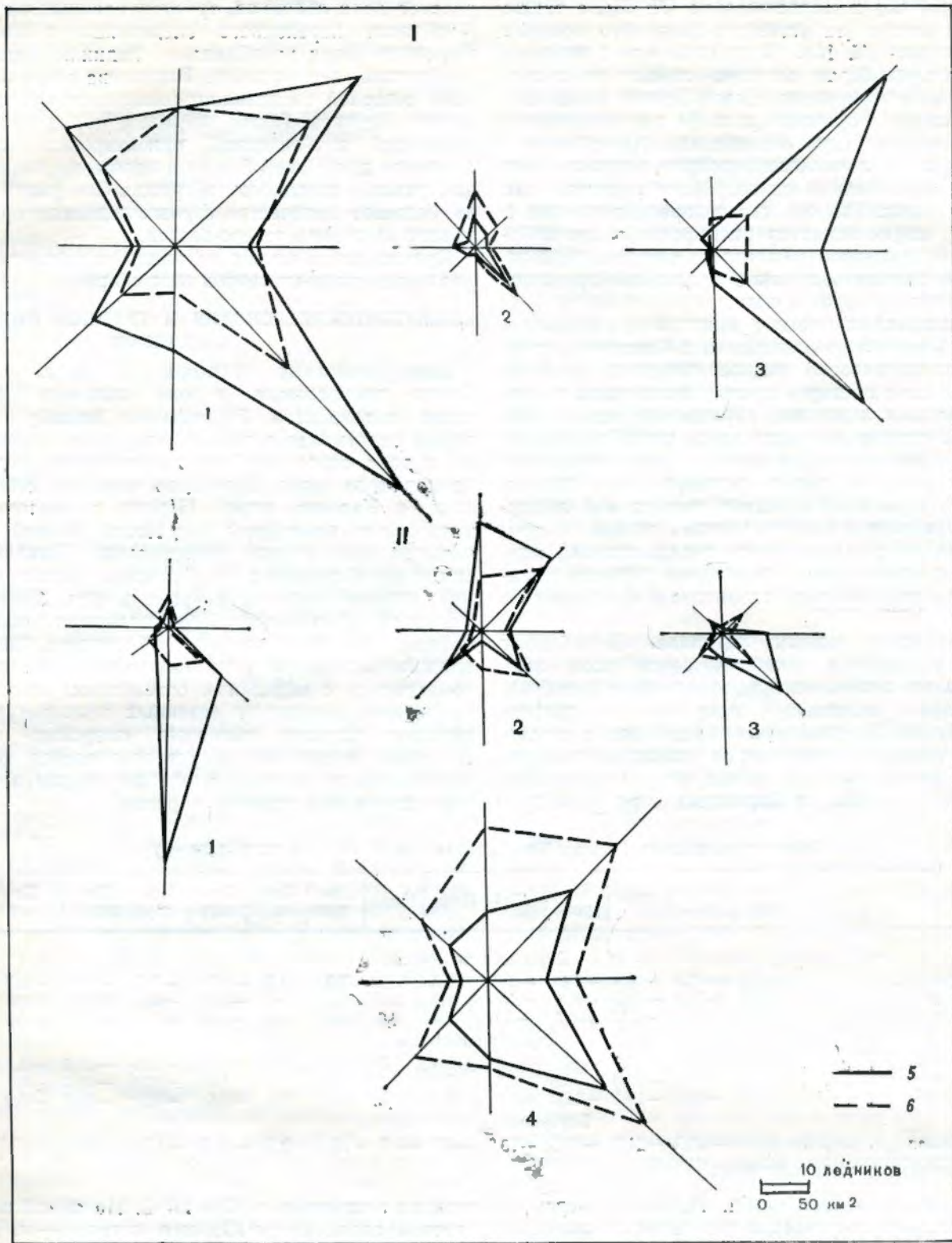


Рис. 4. Распределение ледников по экспозициям в области горного оледенения.

I — Северный остров, II — Южный остров, 1 — бассейн Баренцева моря, 2 — бассейн прол. Маточкин Шар, 3 — бассейн Карского моря, 4 — область горного оледенения в целом, 5 — количество ледников, 6 — общая площадь ледников.

стей. Она объясняется преобладающим направлением движения влагонесущих воздушных масс со стороны Баренцева моря. Метеорологические наблюдения свидетельствуют об относительной сухости воздуха по всему побережью Карского моря. Соответственно в пределах Северного острова граница питания повышается с запада на восток на 200—300 м.

Асимметрия ледникового покрова и ледниковых плато. Ледораздел ледникового покрова смешен в направлении побережья Карского моря. Такой вывод подтверждается сравнением участка покрова в бассейнах Карского и Баренцева морей. Наиболее отчетливо смещение ледораздела покрова в направлении Карского моря наблюдается в его южной части — в верховьях выводных ледников

Глазова (№ 65) и Норденшельда (№ 66), а также на самом севере (за истоками выводного ледника Иностраница (№ 13). В средней части покрова ледораздел, наоборот, намного смещен на запад. Но как раз в этой части Новой Земли разница в подстилающем коренином рельфе по побережьям обоих морей наиболее значительна. На побережье Карского моря ледниковый покров располагается на плато, а на западе он погребает расчлененные горные участки. Там же, где ледораздел смещен к Карскому морю, характер рельефа на обоих побережьях почти одинаков (плато на севере и горы на юге). Поэтому именно такое положение представляется наиболее характерным.

Для ледниковых плато с выводными языками в области переходного оледенения в бассейне Баренцева моря характерно резкое смещение местных ледоразделов на север с преимущественным развитием выводных ледников, обращенных на юг (см. рис. 7). У горных ледников здесь четко выражена северная экспозиция. Так как в районе ледниковых плато характер коренного рельефа носит одни и те же черты по всей площади, занимаемой льдом, эту асимметрию можно объяснить только поступлением осадков с юга. Такое предположение подкрепляется некоторым повышением границы питания в пределах области переходного оледенения с юга на север.

Ориентировка горных ледников. В области горного оледенения более четверти всех ледников имеют юго-восточную экспозицию (рис. 4), отечающую основному направлению движения осадков. По отдельным бассейнам в пределах этой области отклонения от указанного направления сравнительно невелики, но в бассейнах прол. Маточкин Шар и Баренцева моря резко воз-

растает доля ледников, ориентированных на север. В области переходного оледенения в бассейне Карского моря преобладают ледники восточной экспозиции, а в бассейне Баренцева моря на ледники северной экспозиции приходится три четверти всех случаев. Таким образом, наряду с преобладающей юго-западной ориентировкой горных ледников для Новой Земли в целом, на значительном участке западного побережья Северного острова большое количество горных ледников ориентировано на север и северо-восток.

Ориентировка малых ледников совпадает с направлением местных ветров типа «бора».

КЛИМАТИЧЕСКИЕ УСЛОВИЯ И ГРАНИЦА ПИТАНИЯ ЛЕДНИКОВ

Циркуляционные факторы климата. Новая Земля расположена в зоне сильного воздействия исландского барического минимума, который охватывает северо-западную часть Атлантики и дает отрог-ложбину пониженного давления, проходящую через Баренцево море на северо-восток, в Карское море. Наряду с циклонами, в циркуляции атмосферы над Новой Землей значительную роль играют антициклоны. Циклоны заметно преобладают в зимнее время (кроме февраля), антициклоны — в феврале и мае. Циклоны с Северной Атлантики обусловливают обильные осадки, высокую степень облачности, большую влажность воздуха, сравнительно высокую зимнюю температуру с нередкими оттепелями, относительно малую амплитуду сезонных температур, т. е. придают климату типичные «морские» черты. В период антициклонов устанавливается ясная и малооблачная погода со слабым ветром или полным затишьем и сильным морозом.

Таблица 4

Температура воздуха (°С) на Новой Земле (по данным за 1932—1950 гг.)

Станции	Январь	Февраль	Март	Апрель	Май	Июнь	Июль	Август	Сентябрь	Октябрь	Ноябрь	Декабрь	Загод	Амплитуда
Баренцево побережье														
Русская Гавань	-14,3	-15,3	-16,9	-12,1	-5,7	0,5	3,7	3,9	1,0	-3,7	-9,3	-12,7	-6,7	20,8
Мыс Столбовой	-11,3	-13,2	-14,3	-9,3	-4,0	1,7	5,7	6,2	3,3	-1,3	-6,1	-9,8	-4,4	20,5
Малые Кармакулы	-11,4	-13,9	-14,3	-8,7	-3,7	2,1	6,6	6,5	3,4	-1,6	-6,4	-9,8	-4,3	20,9
Карское побережье														
Мыс Желания	-17,4	-18,0	-19,9	-14,9	-7,3	-0,9	1,8	2,6	0,4	-4,4	-11,4	-15,1	-8,7	22,5
Залив Благополучия ¹	-18,1	-19,4	-22,0	-14,6	-6,8	0,2	3,8	3,2	0,6	-4,8	-12,4	-16,7	-8,9	25,8
Мыс Выходной	-15,4	-17,9	-19,1	-12,5	-5,3	1,0	4,5	4,5	2,1	-2,5	-9,2	-13,6	-7,0	23,6
Внутриледниковая станция														
Ледораздельная	-21,4	-22,8	-21,9	-18,3	-13,2	-4,9	-1,7	-1,5	-5,8	-10,5	-17,1	-20,8	-13,3	21,4

¹ Приведено к многолетнему ряду.

Температура воздуха (табл. 4). Для побережья Баренцева моря характерна относительно высокая температура зимних месяцев и ее малые изменения, сдвиг зимнего минимума и летнего максимума соответственно на март и август, небольшая годовая амплитуда (для средних месячных значений около 21°С), более высокие значения температуры осенних месяцев по сравнению с весенними, что обусловлено согревающим влиянием моря осенью и охлаждающим — весной. Климат побережья Карского моря более континентален, зима здесь заметно суровее, лето несколько прохладнее. Зимний минимум здесь также отмечается в марте, летний максимум на некоторых станциях наблюдается в июле. Годовая амплитуда температуры

воздуха возрастает до 23—26°С. На самой юго-восточной оконечности Южного острова — м. Меньшикова — температура воздуха почти столь же низкая, что и в Русской Гавани, расположенной примерно на 6° севернее.

По данным о величине вертикального градиента были получены ориентировочные значения средней месячной и средней годовой температуры воздуха в центральной, наиболее высокой части ледникового покрова (табл. 5). По острову в целом температура воздуха понижается с юга на север, а также с запада на восток. Относительно высокие значения температуры в центре долины Иностраница объясняются небольшой абсолютной высотой этой части ледникового щита (около 300 м).

С гляциологической точки зрения особенно важны данные о температуре воздуха летних месяцев. Как следует из табл. 5, вся область питания ледника

Таблица 5

Средняя температура воздуха °С на различных участках по осевой части ледникового покрова

Район	Январь	Июнь	Июль	Август	Сентябрь	За год
Губа Глазова — зал.						
Циволько	-19,9	-4,3	-0,8	-0,8	-4,6	-12,3
Залив Вилькицкого — зал. Русанова	-20,5	-4,6	-1,2	-1,0	-5,2	-12,6
Залив Благополучия — Русская Гавань	-21,4	-4,9	-1,7	-1,5	-5,8	-13,3
Верховья ледника Иностранцева	-19,5	-3,1	-0,6	+0,3	-2,7	-11,2

никового покрова располагается в зоне «вечного мороза», когда средняя температура воздуха даже самого теплого месяца — отрицательная. Лето в центре ледникового покрова, по-видимому, сводится лишь к нескольким теплым дням с положительной температурой в июле и августе. Ни в июне, ни в сентябре в области питания таких дней, как правило, не бывает.

В области абляции ледникового щита летняя температура воздуха выше: в июле и августе она, как правило, положительная. На гляц. ст. Барьер Сомнений в 1958 г. температура воздуха в июле была равна 2,3°С, а в августе 0,9°С. Однако если учесть, что июль был аномально теплым, а август — аномально холодным, можно полагать, что средняя многолетняя температура воздуха в июле на гляц. ст. Барьер Сомнений должна быть около 1,0°С, а в августе — около 1,5°С. В общем, период абляции в нижней зоне ледникового покрова на широте Русской Гавани длится около двух месяцев, а в более южных районах щита продолжается в сумме до трех месяцев, охватывая часть июня и сентября.

Влажность воздуха. Содержание влаги в воздухе при низких температурах невелико. Годовой ход абсолютной влажности полностью повторяет годовой ход температуры с максимумом в августе (от 6,6 мбар на мст. Мыс Желания до 8,3 мбар на мст. Малые Кармакулы) и минимумом в марте (соответственно 1,3 и 1,8 мбар). На леднике влагосодержание воздуха падает (в 1958 г. разность между значениями абсолютной влажности на мст. Русская Гавань и гляц. ст. Ледораздельной достигла 1,4—1,6 мбар, а в зимние месяцы 0,4—0,7 мбар).

По наблюдениям 1958 г., относительная влажность воздуха на леднике была в среднем на 7—8% выше, чем на побережье. На мст. Русская Гавань ее среднее годовое значение составило 79%, на гляц. ст. Барьер Сомнений 82%, на гляц. ст. Ледораздельной — 87%. В зимнее время воздух над ледниковым покровом часто оказывается насыщенным и перенасыщенным влагой, что приводит к сублимации водяного пара на поверхности ледника —

образованию инея и изморози. На побережье эти процессы чрезвычайно редки.

Осадки. В целом количество осадков убывает с юга на север и с запада на восток, так что наиболее сухой оказывается северо-восточная окраина Новой Земли. По многолетним данным, годовая сумма осадков на мст. Малые Кармакулы составляет примерно 280 мм, Русской Гавани — 250 мм, на м. Желания — 150 мм, на м. Выходном — 214 мм, в зал. Благополучия — 190 мм. Значительная часть осадков выпадает в теплый период года; для большинства пунктов это июнь — сентябрь. В жидким виде на побережье выпадает примерно 30% годовой суммы осадков.

В 1958 г. в Русской Гавани была зарегистрирована очень большая сумма осадков — 411 мм, а в 1959 г. — даже 508 мм. Эти значения явно завышены в результате надува снега в осадкомеры во время сильных ветров. Учитывая это, количество осадков в 1958 г. можно оценить величиной 250 мм, при этом около 100 мм выпало в жидким виде. На гляц. ст. Барьер Сомнений [в 11 км от фронта ледника Шокальского (№ 86)] выпало в 1958 г. 150 мм осадков (из них 40 мм жидких). Наконец, на гляц. ст. Ледораздельной (в 40 км от фронта ледника Шокальского) годовая сумма осадков оценивается в 600 мм (в жидким виде выпало немногим больше 30 мм).

На западном берегу Новой Земли устойчивый снежный покров наблюдается в течение 240 дней в районе мст. Малые Кармакулы, 250 дней на м. Выходном, 280 дней на м. Желания. Снежный покров на побережье устанавливается в среднем в октябре, сходит во второй половине июня на юге и в первой половине июля на севере. Однако снежный покров держится нередко гораздо дольше, а в отдельные годы он вообще не исчезает полностью.

Ветер. Вследствие местных орографических условий и значительных перепадов высот воздушный поток в различных пунктах Новой Земли меняет свое общее направление, обусловленное циркуляционными причинами. На побережье Баренцева моря, в районе Русской Гавани, преобладают ветры западных и южных румбов, на побережье Карского моря, в зал. Благополучия — восточных и северных румбов. В центральной области ледникового покрова искажений воздушного потока, по-видимому, не наблюдается, здесь в течение года преобладают ветры северо-западных румбов, а в зимние месяцы добавляются южные ветры, которые являются одновременно и наиболее сильными. На ледниковом склоне часто повторяются сильные ветры, перпендикулярного оси острова направления — новоземельская бора. Бора в Русской Гавани имеет южное и юго-восточное направление, на мст. Малые Кармакулы — восточное и юго-восточное на м. Столбовом — восточнее, на м. Выходном и в зал. Благополучия — северо-западное и северное. На м. Желания строение рельефа не создает условий для возникновения боры. Летом бора редко длится больше суток, зимой же, как правило, продолжается 2—3 суток. Бывали случаи, когда непрерывная бора длилась 6—8 и 10 суток. В Русской Гавани бора дует примерно в течение 10% всего времени. Зимой нередко больше половины каждого месяца составляют дни с почти непрерывной борой. Средние скорости ветра на ледниковом покрове больше, чем на побережье. Так, в 1958 г.

на гляциологических станциях Ледораздельной и Барьер Сомнений средняя годовая скорость составила соответственно 7,6 и 8,7 м/с, а в Русской Гавани — 6,8 м/с. В зимние месяцы наибольшие скорости ветра отмечаются на склонах (в январе на гляц. ст. Барьер Сомнений скорость ветра составила 12,2 м/с, на гляц. ст. Ледораздельной — 9,2 м/с), а с марта по сентябрь ветры наибольшей силы наблюдаются в центре ледникового покрова (6—10 м/с — средние месячные значения на гляц. ст. Ледораздельной их средние месячные значения составили 6—10 м/с, на гляц. ст. Барьер Сомнений — 5—8 м/с).

По числу дней с бурным ветром (со скоростью 12 м/с и более) Новая Земля занимает одно из первых мест в Советской Арктике. По многолетним данным, на мст Малые Кармакулы бурных дней в году 121, в Русской Гавани — 119, в зал. Благополучия — 92.

Изменения климата. Для выяснения основных тенденций изменений климата Новой Земли (за период наблюдений) был использован метод построения скользящих пятилетних средних данных, температуры воздуха за период между 2-м МПГ и МГГ. Сравнение показывает, что ход кривых примерно одинаков для всех станций острова. За это время заметного изменения климата не было, температура колебалась около средних величин.

Можно уловить довольно хорошо выраженную цикличность хода значений температуры воздуха по этим кривым. Период между двумя наивысшими или наименее высшими значениями составляет 8—12 лет, особенно ясно это видно на кривых зимней температуры. Амплитуды температурных колебаний в отдельные зимние месяцы весьма велики (7—8°C в Русской Гавани). Кривые летней температуры воздуха гораздо более слажены; в августе, например, ее амплитуда менее 2°C. Ход летней температуры воздуха отличается от зимней, кроме того, большей продолжительностью цикла. Поэтому выделяются периоды с относительным усилением и ослаблением континентальности климата.

По аналогии с другими районами можно утверждать, что в XIX в. климатические условия были гораздо суровее, чем в XX в. (особенно после 1920 г.). В конце XIX — начале XX вв. на Новой Земле наблюдалась низкая температура воздуха как зимой, так и летом, а также высокая степень ледовитости Баренцева моря. Об этом свидетельствуют непосредственные наблюдения на мст Малые Кармакулы, а также результаты исследований Г. Я. Седова в б. Фоки в 1912 и 1913 гг., обработанные и приведенные к периоду 1896—1915 гг. В. Ю. Визе. Затем началось потепление Арктики и в первую очередь повышение зимней температуры воздуха, особенно сильно сказавшееся в районе Новой Земли к середине 30-х годов. Произошло повышение температуры воздуха всех месяцев года, резко потеплело зимой. Летняя температура изменилась мало, хотя и это небольшое повышение должно было обязательно сказаться на усилении абляции ледников. В то же время повышение зимней температуры должно сопровождаться увеличением влажности воздуха и количества осадков, что благоприятствует оледенению.

Между 2-м МПГ и МГГ можно выделить два периода, благоприятных для оледенения (уменьшение континентальности) — 1932—1938 и 1943—

1952 гг.— и два неблагоприятных (возрастание континентальности) — 1938—1943 и 1952—1960 гг.

После периода заметного потепления последовало несколько циклов попеременного понижения и повышения температуры воздуха, впрочем к середине 50-х годов она стала примерно такой же, как в 1935—1939 гг. (при более теплом лете). В конце 50-х — начале 60-х годов наблюдалась тенденция к понижению средней годовой температуры воздуха, а также температуры воздуха всех месяцев, за исключением июля.

Граница питания ледников. Положение границы питания на ледниках Новой Земли находится в явном противоречии как с распределением ледников, так и с ожидаемым влиянием широтной зональности. От южных границ области горного оледенения до северных границ оледенения (т. е. около 5° по широте) высоты границы питания колеблются от 600 до 300 м над ур. м, весьма незначительно снижаясь в северном направлении. Однако эта разница часто связана с влиянием местных факторов, в первую очередь рельефа. Правда, на карском берегу граница питания довольно отчетливо располагается на 200—250 м выше, чем на берегу Баренцева моря. По-видимому, столь сложная и пестрая картина объясняется совместным влиянием ряда факторов: поступлением питающих осадков разных направлений, интенсивным метелевым переносом под действием местных ветров, расчленением рельефа и т. д.

ХАРАКТЕРИСТИКА РЕЖИМА ЛЕДНИКОВ

Радиационный режим. В светлый период года приток суммарной коротковолновой радиации на ледниковый покров составляет 70—80 ккал/см². На долю рассеянной радиации падает 72%, прямой — 28%. Приход суммарной радиации на ледниковый покров в среднем на 13% больше, чем на свободное от льда побережье, что объясняется как большей прозрачностью воздуха (увеличивается прямая радиация), так и более высоким альбедо (растет рассеянная радиация вследствие эффекта вторичного отражения). Из-за высокого альбедо поверхности, которое в 1958 г. в центре ледникового покрова составляло в среднем 0,84, поглощенная радиация оказалась равной 13 ккал/(см²·год), т. е. всего 16% суммарной радиации. Почти половину всей годовой суммы поглощенной радиации поверхность ледникового щита получает в июне—июле, когда бывает наибольший приход суммарной радиации и наименьшее альбедо. Из-за различий в величине альбедо суммы поглощенной радиации существенно различаются в разных частях ледникового покрова и побережья. В 1958 г. поглощенная радиация в области абляции была в 1,5 раза меньше, а на побережье в три раза меньше, чем в области аккумуляции. Эффективное излучение составляет 22—23 ккал/(см²·год) и мало меняется в пределах ледникового покрова.

Отсутствие поступления коротковолновой радиации во время полярной ночи и малые величины ее поглощения в светлый период года являются причиной отрицательного годового радиационного баланса, который в 1958 г. на гляц. ст. Ледораздельной равнялся 9,6 ккал/см², а на гляц. ст. Барьер Сомнений — 3,1 ккал/см². Лишь в июне—июле на ледниковом покрове поглощенная радиация

превышает эффективное излучение и радиационный баланс положителен (в июле месячные суммы составили 2,2 ккал/см² на гляц. ст. Ледораздельной и 5,5 ккал/см² на гляц. ст. Барьер Сомнений). На свободных ото льда участках побережья поглощенная радиация превосходит годовую величину эффективного излучения или близка к ней, а радиационный баланс положителен (в Русской Гавани в 1958 г. он был равен 6,3 ккал/см²) либо характеризуется небольшими отрицательными величинами (на мст. Мыс Желания составил 0,2 ккал/см²).

По расчетам Н. В. Давидович (табл. V/№ 38), радиационный режим на гляц. ст. Ледораздельной типичен для всей внутренней фирновой области и величины радиационного баланса в разных ее частях разнятся незначительно. На разных выводных ледниках они отличаются от измеренных на леднике Шокальского, но в годовом итоге остаются отрицательными. Расчет средних многолетних значений суммарной радиации и эффективного излучения позволяет сделать вывод о том, что радиационный режим на Новой Земле в период МГГ был близок к среднему многолетнему.

Тепловой баланс. В полярную ночь или месяцы, когда радиационный баланс отрицателен, уходящая радиация компенсируется притоком тепла из атмосферы (60%), скрытой теплотой, выделяющейся при сублимации (26%) и притоком тепла снизу (14%). В переходные месяцы (май, июнь, август, сентябрь), когда таяние еще не началось или почти прекратилось, а радиационный баланс положителен, основной расходной статьей теплового баланса является турбулентный поток тепла от поверхности в воздух, а все поступающее тепло солнца и из атмосферы расходуется на таяние и прогревание толщи льда. Эта картина прямо противоположна тепловому балансу суши, свободной от льда в Арктике, для которой характерны положительный годовой радиационный баланс и, как следствие, отрицательный турбулентный поток тепла. Турбулентный поток тепла к ледниковым поверхностям за год превышает 7 ккал/см² в области аккумуляции и 8 ккал/см² в области абляции. Максимальные суммы турбулентных потоков тепла приходятся на зимние месяцы и в разных частях ледникового покрова примерно одинаковы [от —1 до —2 ккал/(см²·мес)]. Минимальные суммы этих потоков наблюдаются весной и осенью, когда направление теплопотока часто меняется. В период таяния турбулентный приход тепла в области абляции втрое больше, чем в области аккумуляции.

Турбулентный поток влаги в течение года направлен преимущественно к ледниковой поверхности. В области аккумуляции процессы сублимации развиты значительно больше, чем в области абляции. Вследствие малого абсолютного количества водяного пара в воздухе сумма осадков от сублимации сравнительно невелика (в среднем миллиметры за месяц) и не играет сколько-нибудь заметной роли в балансе массы. В 1958 г. тепло, выделяемое при сублимации, в области питания составило 3 ккал/см², а в области расхода — 1 ккал/см².

Тепловой обмен между поверхностью и нижележащими слоями в течение года дважды меняет направление. Летом в продолжение примерно двух

месяцев в области аккумуляции и трех-четырех месяцев в области абляции теплопоток направлен вглубь, т. е. происходит интенсивное прогревание и таяние ледниковой толщи. Зимой (приблизительно с сентября по май) поток тепла направлен к поверхности, т. е. ледниковая толща медленно охлаждается. В области абляции основная часть поступающего тепла расходуется на таяние. Тальные воды практически полностью стекают вниз по леднику и уносят с собой часть тепла. В результате этого деятельный слой льда имеет более низкую температуру, чем в области питания, где он прогревается главным образом талыми водами.

В период наблюдений экспедиции МГГ толща ледникового покрова получала через поверхность больше тепла, чем его потеряла (за 1958 г. сумма составила 0,3 и 0,4 ккал/см² соответственно на гляциологических станциях Ледораздельной и Барьер Сомнений). Это вызвало в области абляции небольшое повышение отрицательной температуры толщи ледника, а в области аккумуляции прогревание всего деятельного слоя до нуля и некоторый сток талых вод.

Аккумуляция. В 1913 г. В. Ю. Визе (табл. V/№ 59) во время пересечения ледникового покрова от п-ва Панкратьева к зал. Власьеву в районе ледораздела нигде не встречал выходов ледникового льда (табл. V/№ 18). Однако по наблюдениям участников экспедиции 2-го МПГ (1932-33 г.), на всей поверхности ледного покрова от Русской Гавани до зал. Благополучия и к северу до края Северной ледниковой шапки под сезонным снегом лежал плотный лед. С этого времени утверждалось представление об отсутствии области питания у Новоземельского ледникового покрова и о быстрой деградации всего оледенения в целом. Так, С. В. Калесник (табл. V/№ 62) отмечал, что новоземельский ледниковый щит не имеет снегового питания и существует только за счет своих старых запасов. В правильности этого представления впервые усомнился П. А. Шумский (табл. V/№ 159). В апреле — мае 1955 г. он обнаружил, что толщи фирна в области питания новоземельского ледникового покрова распространены повсеместно. Существование многолетнего фирна с ледяными прослойками до глубины по крайней мере 12 м подтвердили и исследования Новоземельской экспедиции МГГ.

Наблюдения Новоземельской экспедиции в период МГГ явились основой для суждения о величине и характере снегонакопления на ледораздельном пространстве и баренцевоморском склоне новоземельского ледникового покрова в районе Русской Гавани. По карте в изолиниях снегонакопления были подсчитаны его средние значения по зонам через каждые 100 м высоты (табл. V/№ 59).

О величине снегонакопления в других районах Новой Земли имеются лишь отрывочные сведения. Так, южнее ледникового щита в области переходного оледенения У. Хольтедаль во время пересечения Новой Земли от губы Машигиной к зал. Циволько в начале августа 1921 г. отмечал, что большие площади материкового льда совершенно лишены снежного покрова, а на самых высоких участках местности снег обильно пропитан водой. П. А. Шумский (табл. V/№ 159) указывает, что

благоприятные условия для накопления снега создаются вблизи гор в ветровой тени.

В разное время многие исследователи отмечали значение навеянного снега в питании горных ледников Новой Земли. Еще П. К. Пахтусов писал: «Обрывы отличительных гор, особенно севернее Маточкина Шара, покрыты вечным снегом около высоты 1500 футов, вершины же их голы; вероятно, ветер сдувает снег. В расселинах или ущельях с северной стороны гор сохраняется обледеневший снег все лето» (табл. V № 98). М. А. Лаврова указывает, что ледник Пинегина (№ 483) питается навеянным снегом, сдуваемым с плоской вершиной соседней горы Каровой, а ледник Краснова получает обильное снежное питание за счет лавин с левого борта его долины (табл. V № 86). По наблюдениям Г. Пирсона, величина годовой аккумуляции снега на леднике Третьякова (№ 365) достигает 15 м (табл. V № 177).

Таяние снега и льда (табл. V № 39). Период абляции в центре ледникового покрова охватывает 3—4 недели, на периферии на 1—2 недели больше. Летом 1958 г. абляция началась в конце июня и продолжалась до августа. Всего на ледоразделе ледникового покрова (высота 800 м) число дней с заметной убылью вещества (когда снижение поверхности отмечалось по рейкам) достигло 27. В 1959 г. период абляции длился дольше — около 40 дней. В 1958 г. на Барьере Сомнений (около 300 м над ур. м.) таких дней было 38, в 1956 г. абляция здесь продолжалась 50 дней, в 1959 г. — 65 дней. Средняя летняя температура воздуха заметно повышается от северной оконечности Северного острова к югу и менее заметно — от карского побережья к баренцевоморскому. Можно предполагать, что восточный склон щита получает почти столько же тепла и тает с той же интенсивностью, как и западный, но учитывая, что снега на карском склоне выпадает меньше, можно думать, что чистая абляция (таяние льда без сезонного снега) там больше. В соответствии с летними температурами на острове таяние в целом уменьшается с юго-запада на северо-восток.

Абляция протекает неодинаково от начала периода к его концу. В ходе абляции можно выделить три этапа, характерные как для области аккумуляции, так и для области абляции. В первые дни она ничтожна и осуществляется только путем испарения. Единственным источником тепла служит радиационный баланс. Турбулентные теплопотоки направлены от поверхности ледника вверх. Затем (обычно в конце июня — начале июля) с повышением температуры воздуха до положительных значений турбулентный теплопоток меняет свое направление. Увеличение общего количества поступающего тепла приводит к снеготаянию. Однако последнее характеризуется еще небольшими величинами, так как продолжающееся испарение с поверхности расходует часть тепла. Средняя суточная величина таяния на гляц. ст. Ледораздельной в этот период составляла 0,6 г/см², а на гляц. ст. Барьер Сомнений — 0,8—0,9 г/см² (1958 г.).

Наиболее интенсивно абляция протекает на третьем этапе, который в 1958 г. был в июле, а в 1956 и 1959 гг. — в июле и августе. В это время резко увеличивается приход радиационного тепла, вызванный уменьшением альбедо поверхности.

В области аккумуляции это связано с потемнением снежного покрова из-за скапливающейся в нем талой воды, а в области абляции — со сходом снежного покрова и обнажением льда. Одновременно увеличивается турбулентный теплопоток, так как в это время над ледниковым покровом отмечается максимум температуры воздуха. В турбулентном влагообмене начинает преобладать конденсация, освобожденное тепло которой увеличивает теплосодержание воздуха. Абляция осуществляется только путем таяния. Таяние, происходящее в результате действия трех факторов — тепла радиации, тепла воздуха и тепла конденсации — становится наибольшим. Средняя суточная величина таяния в этот период составляет на гляц. ст. Ледораздельной 2 г/см², а на гляц. ст. Барьер Сомнений около 4 г/см².

Температурный режим. Главными факторами, определяющими температурный режим верхней части активного слоя области питания ледника, являются температурные и радиационные условия, наличие фирна, его мощность и проницаемость, трещиноватость, уклон поверхности и другие. В результате исследований 1957—1959 гг. на куполе ледникового покрова Новой Земли установлено, что его верхняя часть сложена мощной фирмово-ледяной толщей. Наличие фирна, аккумулирующего тепло во время летнего таяния, препятствует сильному выхолаживанию активного слоя из-за малой теплопроводности фирна, хотя длительность холодного периода года велика и температуры воздуха в это время бывают очень низкими. Поэтому талая вода здесь является одним из основных факторов, определяющих температурный режим толщи фирна и льда. Так, в результате летнего таяния 1957 г. в районе гляц. ст. Ледораздельной фирмово-ледяная толща прогрелась до 0°C до глубины 14—16 м. Хотя последующее промерзание и достигает значительной глубины (15—16 м), но сильного выхолаживания не происходит. Следовательно, талые воды являются не только главным источником прогрева фирмово-ледяной толщи активного слоя, но также препятствуют сильному зимнему выхолаживанию.

Таким образом, фирн и талые воды оказывают отепляющее влияние на ниже лежащую ледниковую толщу. Благодаря этому температура в нижней части активного слоя оказывается намного выше той температуры, которая возникла бы при отсутствии инфильтрационного прогревания при данной средней годовой температуре воздуха. Например, на гляц. ст. Ледораздельной в 1958 г. при температуре воздуха —15,6°C температура фирмово-ледяной толщи на глубине 15—20 м оказалась очень близкой к 0°C.

Мощность фирна с удалением от ледораздела к краевым частям щита постепенно убывает. С уменьшением мощности фирна и абсолютной высоты местности температура льда понижается и у фирмовой границы становится самой низкой для области аккумуляции. Еще далее вниз температура льда продолжает понижаться и несколько ниже фирмовой линии становится минимальной для всего ледника. Но в дальнейшем, с уменьшением абсолютных отметок поверхности ледника, температура ледника постепенно повышается.

Температурный режим активного слоя ледника области абляции зависит в основном от зимнего выхолаживания и летнего прогревания в результа-

те теплообмена с атмосферой. Температурные колебания в толще ледника, отражающие суточные и сезонные изменения температуры воздуха, происходят в верхней ее части. Сезонная смена стратификации температуры сказывается до глубины 6—7 м. Поэтому эту часть активного слоя можно назвать зоной смены стратификации температуры или поверхностной зоной.

Для нее характерны четыре периода с различным распределением температуры: весенний, летний, осенний и зимний.

Толща льда активного слоя, лежащая ниже поверхностной зоны, называется срединной зоной, или стратозоной. Она охватывает глубины с 7 до 25 м. Для нее характерна постоянная стратификация температур — повышение температур с глубиной. В 1958 г. под воздействием зимнего выхолаживания и летнего прогревания амплитуда колебаний температуры на верхней границе зоны была около $3,4^{\circ}\text{C}$ (от $-9,0^{\circ}\text{C}$ в июне до $-5,6^{\circ}\text{C}$ в декабре — январе). С глубиной влияния внешних воздействий постепенно ослабевает и амплитуда колебаний температуры уменьшается, а в нижних слоях полностью затухает. Ниже 25 м температуры с глубиной продолжают повышаться, и у ложа происходит, по-видимому, донное таяние, так как зимой из-под ледника выходят грунтовые воды.

Зоны льдообразования. В области питания новоземельского ледникового покрова выделяются холодная инфильтрационно-рекристаллизационная, инфильтрационная и инфильтрационно-конжеляционная зоны. Первые две существуют в пределах распространения фирновой толщи и нижняя их граница соответствует положению фирновой линии. Ниже на довольно обширном пространстве замерзшие талые и дождевые воды, снег, пропитанный водами, образуют инфильтрационно-конжеляционную зону, нижняя граница которой является границей питания.

Самой верхней зоной льдообразования является инфильтрационно-рекристаллизационная зона. Эта зона протягивается вдоль главной оси ледникового покрова до широты зал. Норденшельда почти на 270 км. Ширина ее в среднем 12—15 км, общая площадь равна 2450 км^2 , что составляет 22,5% всей области питания покровного оледенения. Нижняя граница этой зоны проходит на уровне 600—650 м на северо-востоке и 800—850 м на юге.

Снизу холодную инфильтрационно-рекристаллизационную зону сплошной полосой повсеместно окаймляет зона инфильтрационного льдообразования. В северо-восточной части ледникового покрова эта зона занимает 100—120 м по высоте. Далее к югу «вертикальная мощность» постепенно возрастает, достигая в самой южной части покрова, где она занимает и ледораздельные пространства, 200—250 м. Ее площадь 5150 км^2 (47,2% всей области питания).

Инфильтрационная зона переходит в инфильтрационно-конжеляционную зону. Общая площадь, занятая ею, равна 3300 км^2 , что составляет 30,3% области питания. Вертикальная протяженность ее весьма сильно колеблется от места к месту, что зависит от расчленения рельефа. На западном склоне ледникового щита зона инфильтрационно-конжеляционного льдообразования прослеживается в виде узкой прерывистой полосы шири-

ной не более 1,5—2 км. Вертикальная протяженность ее колеблется от 0 до 70 м. На восточном склоне, напротив, инфильтрационно-конжеляционная зона имеет широкое развитие. Здесь она опоясывает область фирнового питания сплошной полосой, шириной нередко достигает 8—10 км. Вертикальная протяженность зоны здесь составляет 100—150 м.

Движение льда. На ледниковом щите Новой Земли наблюдения за движением льда в основном проводились на леднике Шокальского в период МГГ. Наиболее удаленная от побережья точка наблюдений располагалась в 5—6 км от ледораздельной линии, где отмечена скорость движения льда 9 м/год, а на расстоянии 4—5 км к западу скорости возрастают до 22—23 м/год. В центральной части ледника, в 2 км севернее Барьера Сомнений, лед движется со скоростью около 90 м/год, а в 2 км от фронта в самой узкой части ледника скорость движения льда возрастает до 116 м/год. В центральной части фронта ледника она составляет предположительно около 150 м/год.

Скорости движения льда на леднике Шокальского отчетливо изменяются по сезонам. Средняя месячная скорость движения льда в самый холодный месяц составляла около 4,5 м (54 м/год), а самого теплого — 10 м (120 м/год).

В области покровного оледенения имеются два центра, от которых лед движется к побережью. Оба центра приурочены к основным морфологическим подразделениям ледникового покрова — к Северной ледниковой шапке и щиту.

На Северной ледниковой шапке движение льда происходит более или менее равномерно во все стороны от центра к периферии. В бассейне Карского моря лед поступает примерно с четвертой части ее общей площади, но нигде не достигает береговой черты. Форма ледниковой поверхности свидетельствует о равномерном распределении скоростей. В бассейне Баренцева моря хр. Ломоносова препятствует движению льда к морскому побережью.

На ледниковом щите Новой Земли движение льда от ледораздела происходит в двух направлениях — к побережьям Карского и Баренцева морей. Судя по наблюдениям, скорости движения льда непосредственно в районе ледораздела невелики. В бассейне Карского моря вблизи орографического ледораздела скорости движения льда, видимо, больше вследствие совпадения направления сил стока и растекания. В бассейне Баренцева моря вблизи ледораздела эти силы частично нейтрализуют друг друга, и поэтому скорости движения льда здесь меньше. По мере удаления от ледораздела и совпадения направления сил стока и растекания скорости движения льда быстро возрастают, что подтверждается инструментальными наблюдениями (до 23 м/год выше Барьера Яблонского в истоках ледника Шокальского). На краю ледникового щита в верховьях выводных ледников движение льда часто имеет сложный характер. Направление и скорость движения льда могут значительно изменяться даже на небольшом расстоянии, особенно на бровке и скатах барьеров.

В области оледенения, переходного от покровного к горному, не проведено ни одного инструментального или полуинструментального измерения скоростей движения льда. Можно ожидать, что

скорости движения льда здесь несколько меньше, чем на ледниковом покрове. Лед к морскому побережью поступает от нескольких местных водоразделов.

На горных ледниках, судя по отрывочным инструментальным измерениям, лед движется со скоростями от 9 до 190 м/год (табл. V/№ 86, 87).

КОЛЕБАНИЯ ЛЕДНИКОВ

Сведения о колебаниях ледников получены сравнением карт, составленных в различные годы (см. табл. 6). Перечень использованных карт приведен в работе В. С. Корякина (табл. V/№ 81).

С 1930 по 1950 г. в бассейне Баренцева моря среднее сокращение всех отмеченных ледников в области покровного оледенения составило 2% общей площади их ледосборов (с колебаниями от 0,3 до 3,5%). Несколько ледников наступало. В целом за 20 лет площадь ледникового покрова сократилась на 186 км². При средней толщине льда в прифронтальной части, равной 100 м, объем деградированных концов ледников может быть оценен в 18,6 км³. Средняя годовая убыль льда за это время составляла таким образом около 1 км³.

Для ледников в бассейне Карского моря было получено явно недостаточное количество данных, чтобы с полной уверенностью судить об их колебаниях. Положение края ледников Кропоткина (№ 47), Шуры (№ 50), Вылки (№ 51), а также некоторых других (№ 42, 46) на протяжении последних десятилетий было стационарным. Незначительно сократились ледники бассейна Карского моря на крайнем юге области покровного оледенения [ледники Ога (№ 56), Стройный (№ 58)].

Общая величина средней годовой убыли льда за указанное двадцатилетие по всей области покровного оледенения Новой Земли с учетом снижения ледниковой поверхности и отступания края ледников составила 3,6 км³/год.

В области оледенения, переходного от покровного к горному, ледники тоже отступают, хотя и не так быстро, как в области покровного оледенения. С 1930 по 1950 г. здесь общая площадь ледников уменьшилась на 40,6 км². Полагая, что средняя мощность ледников у края этой области составляет 50 м, объем деградированного за 20 лет льда можно принять равным 2 км³ (или 0,1 км³/год).

Небольшое количество данных не позволяет определенно судить о разнице в темпах отступания ледников в обоих морских бассейнах. Из 16 ледников, для которых было отмечено положение края, три сохранили стационарное положение и один наступал.

В области горного оледенения, судя по колебаниям 28 ледников, ледники сократились на 30 км² (около 2%). При средней толщине льда у их края 20 м объем деградировавших концов горных ледников составляет 0,6 км³. Колебания отдельных ледников происходили в пределах от 7 до —12,4% первоначальной их площади.

Среди отмеченных ледников свыше 20% наступало. В 1951 г. Б. С. Романович наблюдал значительные колебания края переметного участка ледника Амеба (№ 348) на северном берегу прол. Маточкин Шар. Язык этого ледника юго-восточной экспозиции значительно продвинулся с 1934 по 1951 г., в то время как часть его, обращенная на север, отступила (табл. IV/№ 58).

Все приведенные выше сведения относятся к короткому отрезку времени последней стадии Новоземельского оледенения — стадии Адмиралтейства (табл. V/№ 11). Максимальное распространение оледенения этой стадии можно проследить только на отдельных ледниках. Заполнение пролива, разделявшего в прошлом Северный остров Новой Земли и остров Адмиралтейства (ныне полуостров) мореной ледника Низкого (№ 64), произошло между 1594 г. (плавание В. Баренца) и 1837 г. (работы П. К. Пахтусова). Моренный характер материала, заполнившего пролив, подтверждается полевыми исследованиями. Известно, что ледник Петерсена выступал далеко за береговую черту на протяжении XVII, XVIII и большей частью XIX столетий.

Единственное свидетельство о колебаниях ледников на Новой Земле в прошлом столетии относится к району зал. Незнамого, где между 1837 и 1909 гг. наступал ледник Краснова (№ 308). (табл. V/№ 112).

С 1930 по 1950 г. общая площадь новоземельского оледенения сократилась на 260 ± 30 км². Уменьшение объема льда за это время составило примерно 110 км³. Однако это значение в большой степени уступает по точности предшествующему.

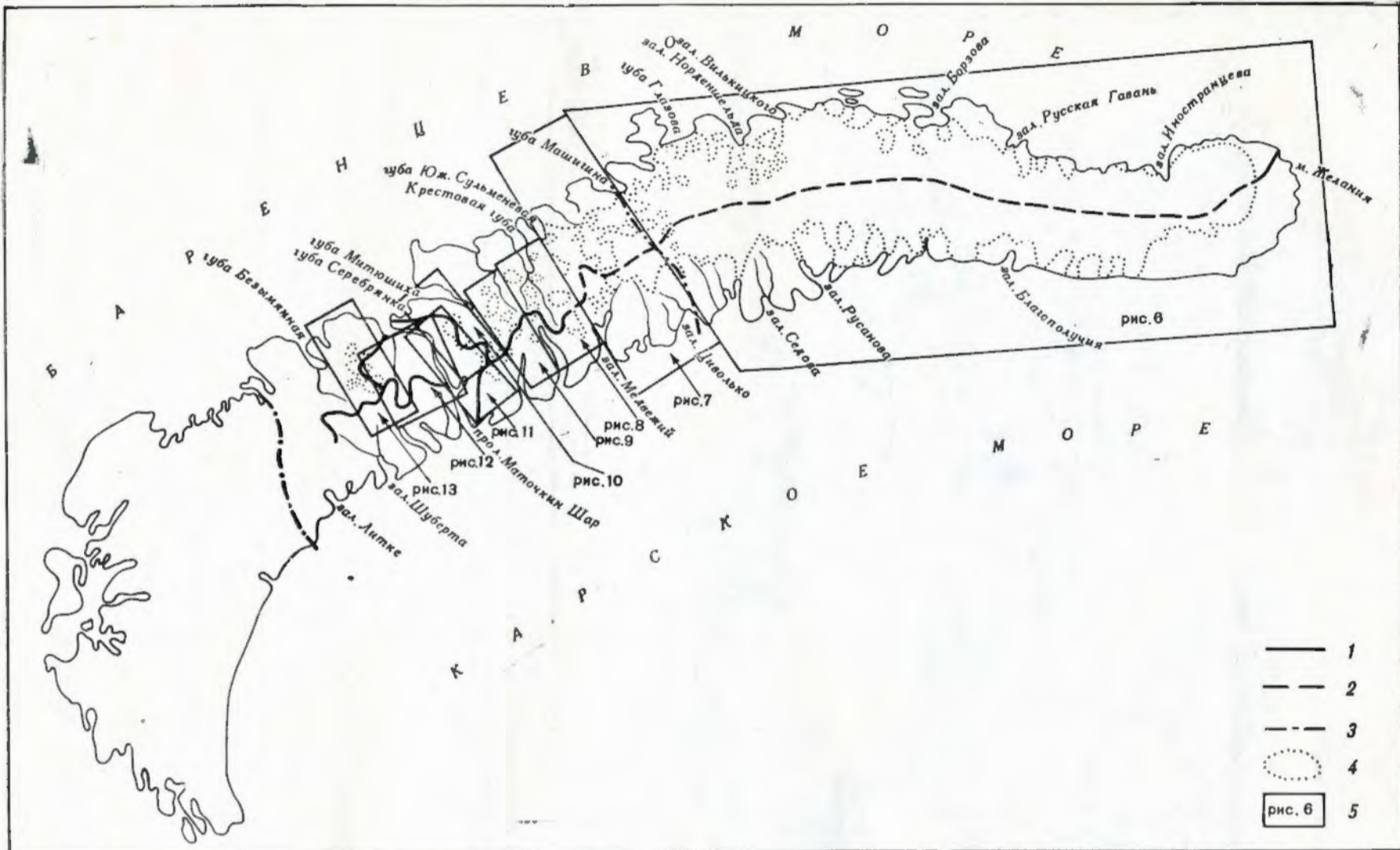


Рис. 5. Общее расположение схем, содержащихся в рис. 6—13.

1 — основной водораздел, 2 — основной ледораздел, 3 — граница между областями оледенения, 4 — границы оледенения, 5 — номер рисунка, содержащего схему расположения ледников (рис. 6 — ледники № 1—202, рис. 7 — ледник № 203—292, рис. 8 — ледники № 293—312, 479—554, рис. 9 — ледники № 313—319, 443—478, рис. 10 — ледники № 320—325, 384—442, рис. 11 — ледники № 326—383, рис. 12 — ледники № 555—581, 619—685, рис. 13 — ледники № 582—618).

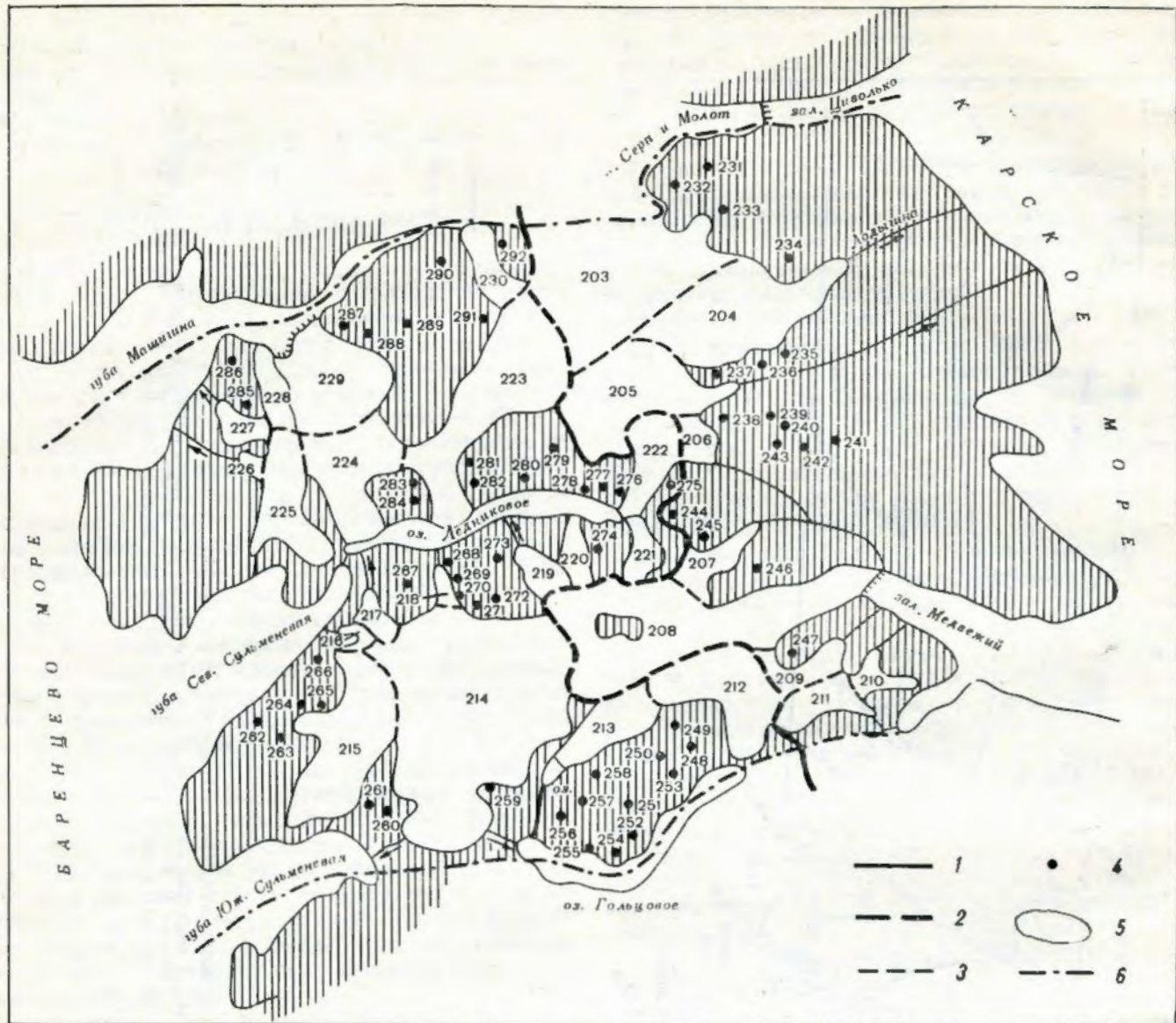


Рис. 7. Схема расположения ледников в области оледенения, переходного от покровного к горному.

1 — основной водораздел, 2 — основной ледораздел, 3 — местный ледораздел, 4 — горный ледник и его номер, 5 — свободная от льда поверхность, 6 — граница области оледенения, переходного от покровного к горному.

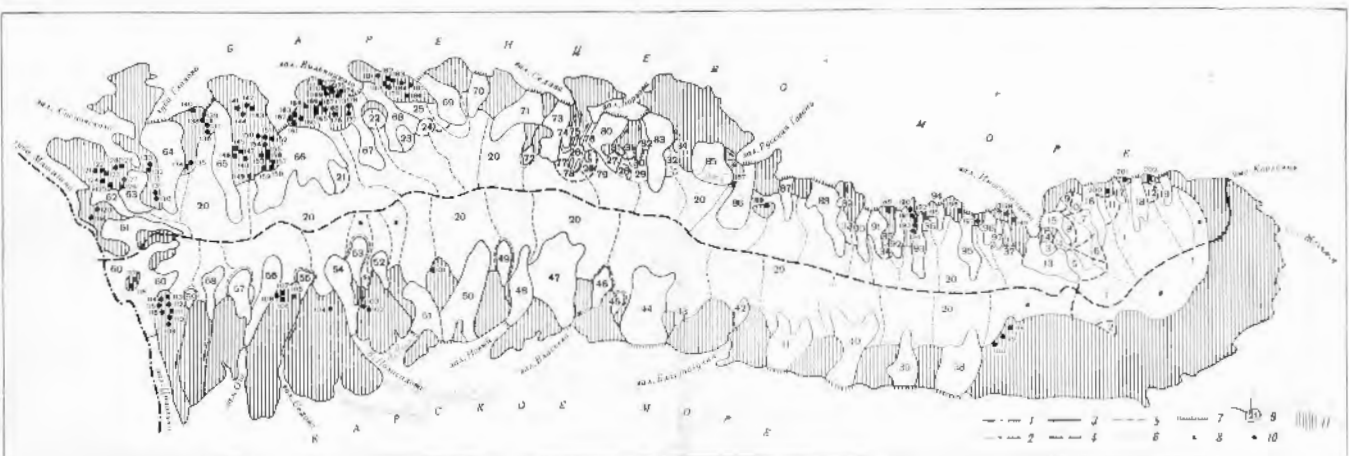


Рис. 6. Схема расположения ледников в области позднекомплексного оледенения Новой Земли

1 — границы областей ледникового оледенения; 2 — уединенные грядки Северной Земли; 3 — горный фронт оледенения; 4 — островной ледниковый щиток; 5 — грядки ледниковых куполов; 6 — притоки ледниками морского акватории; 7 — горный фронт ледника; 8 — участок ледникового покрова, не покинутый в последний; 9 — грядка и номер части ледникового покрова; 10 — горный ледник и его номер в области распространения ледниковых языков; 11 — обособленные участки поверхности суши

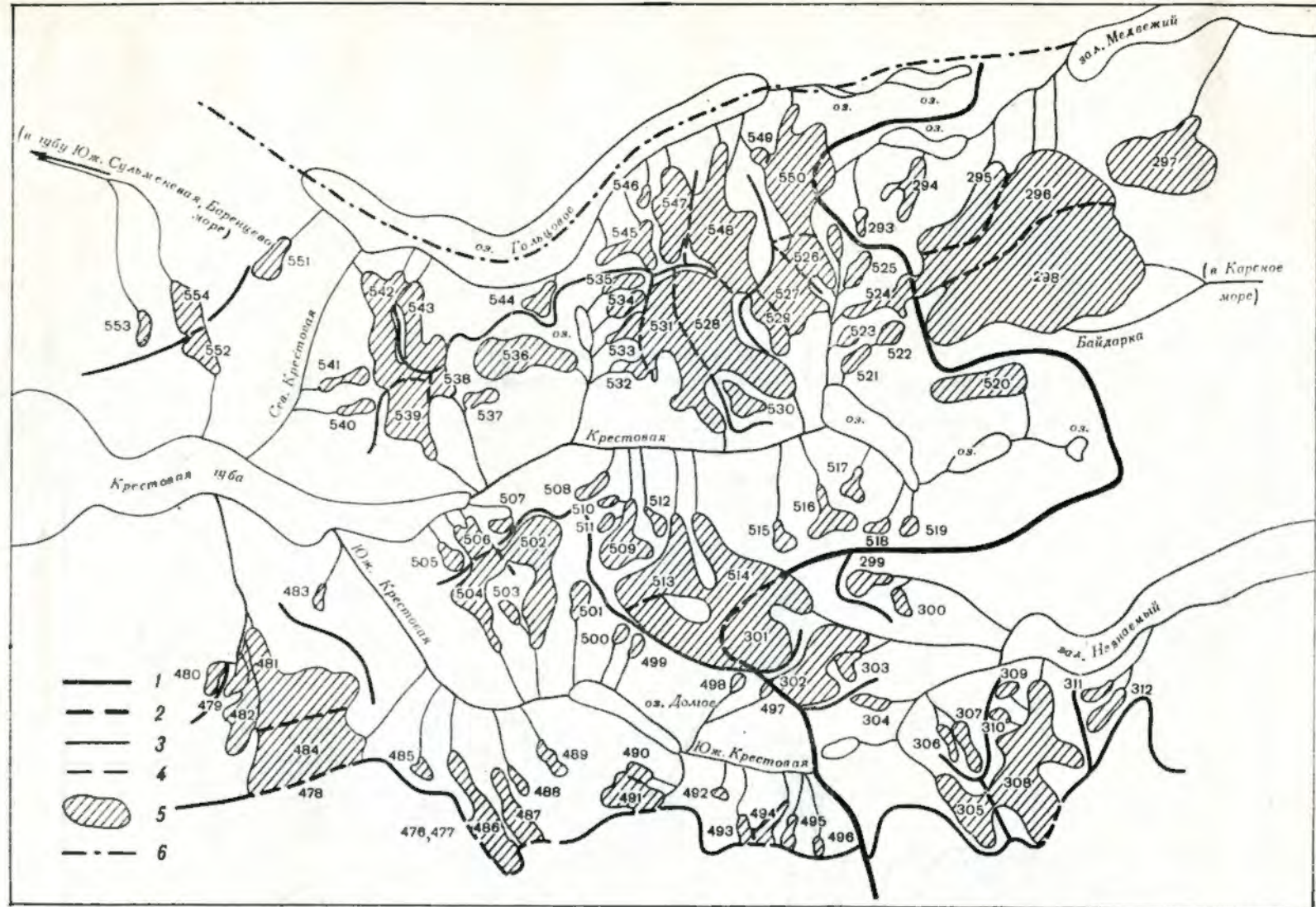


Рис. 8. Схема расположения горных ледников между оз. Гольцово, губой Крестовой и зал. Медвежьим.
 1 — основной водораздел, 2 — основной ледораздел, 3 — местный водораздел, 4 — местный ледораздел, 5 — ледник и его номер, 6 — северная граница области горного оледенения.

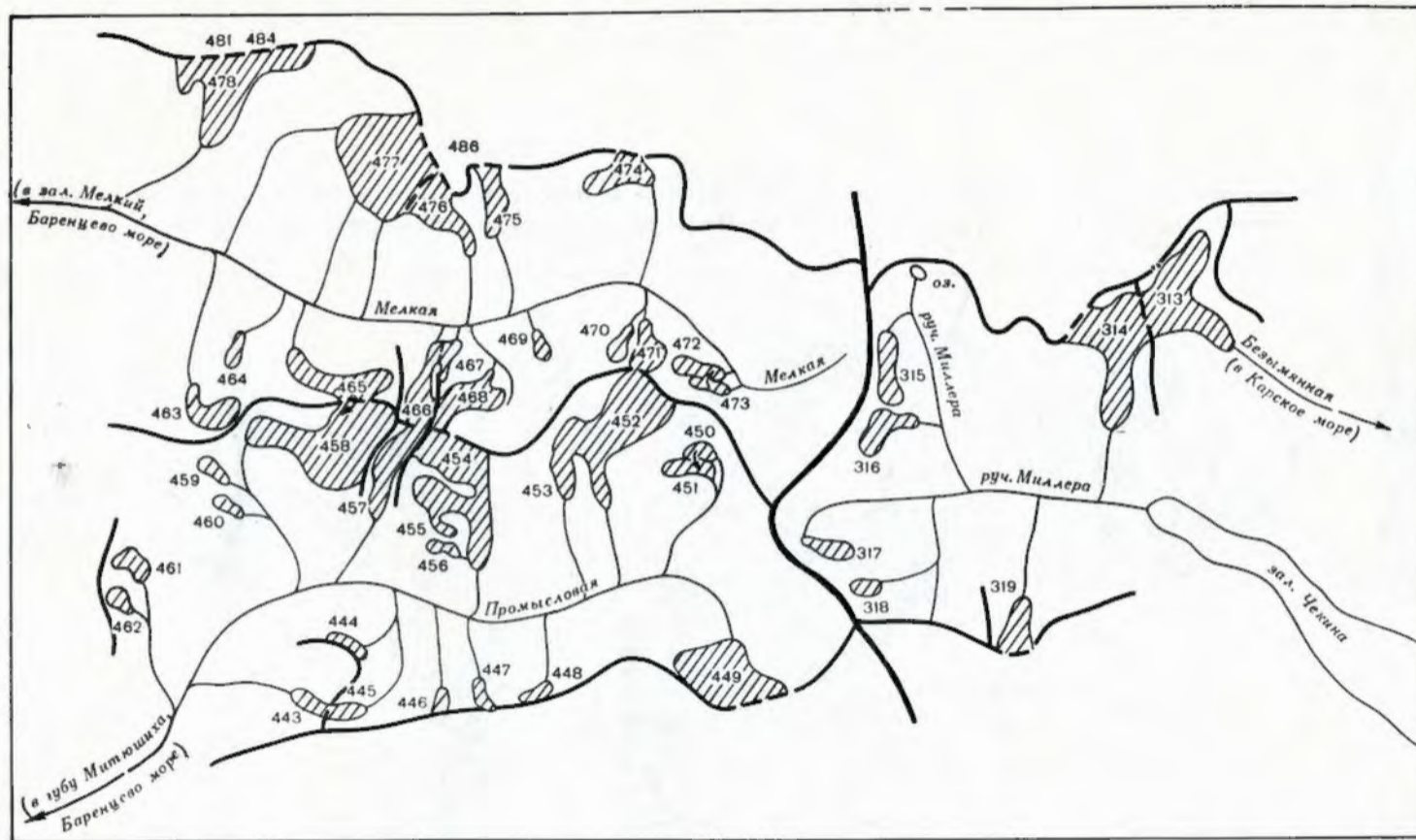


Рис. 9. Схема расположения горных ледников между заливами Чекина и Мелким.

Усл. обозначения см. на рис. 8.

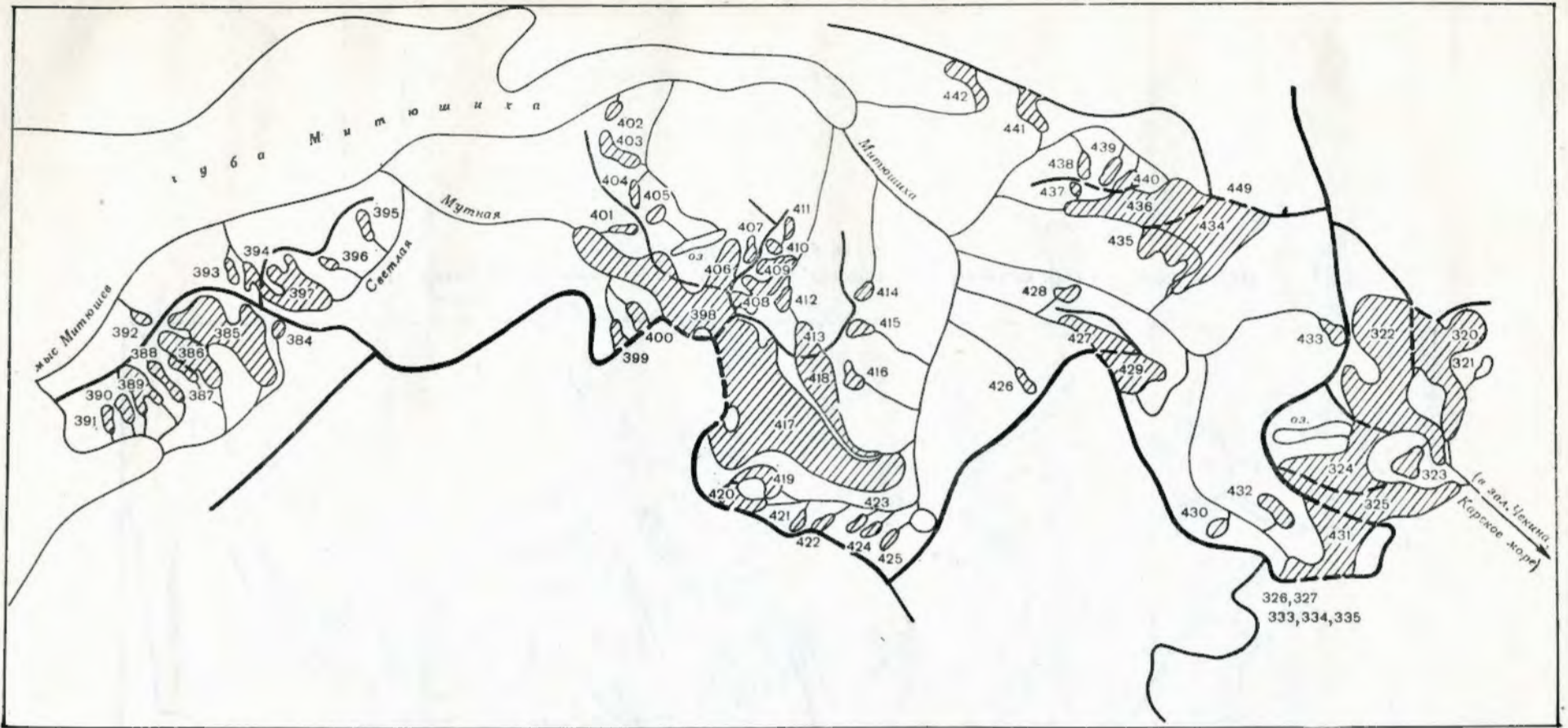


Рис. 10. Схема расположения горных ледников между губой Митюших и зал. Чекина.

Усл. обозначения см. на рис. 8.

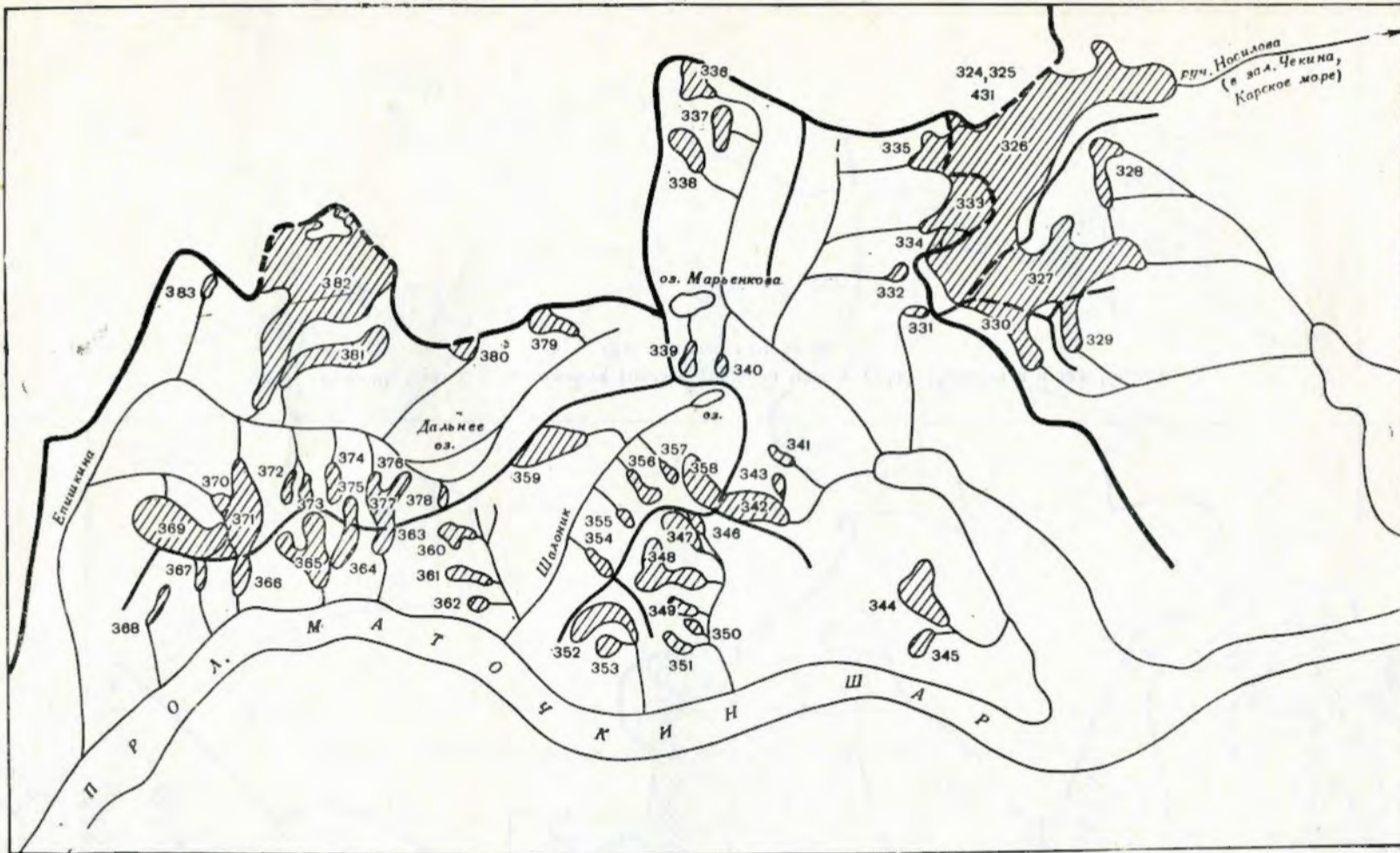


Рис. 11. Схема расположения горных ледников в бассейне прол. Маточкин Шар (Северный остров).

Усл. обозначения см. на рис. 8.

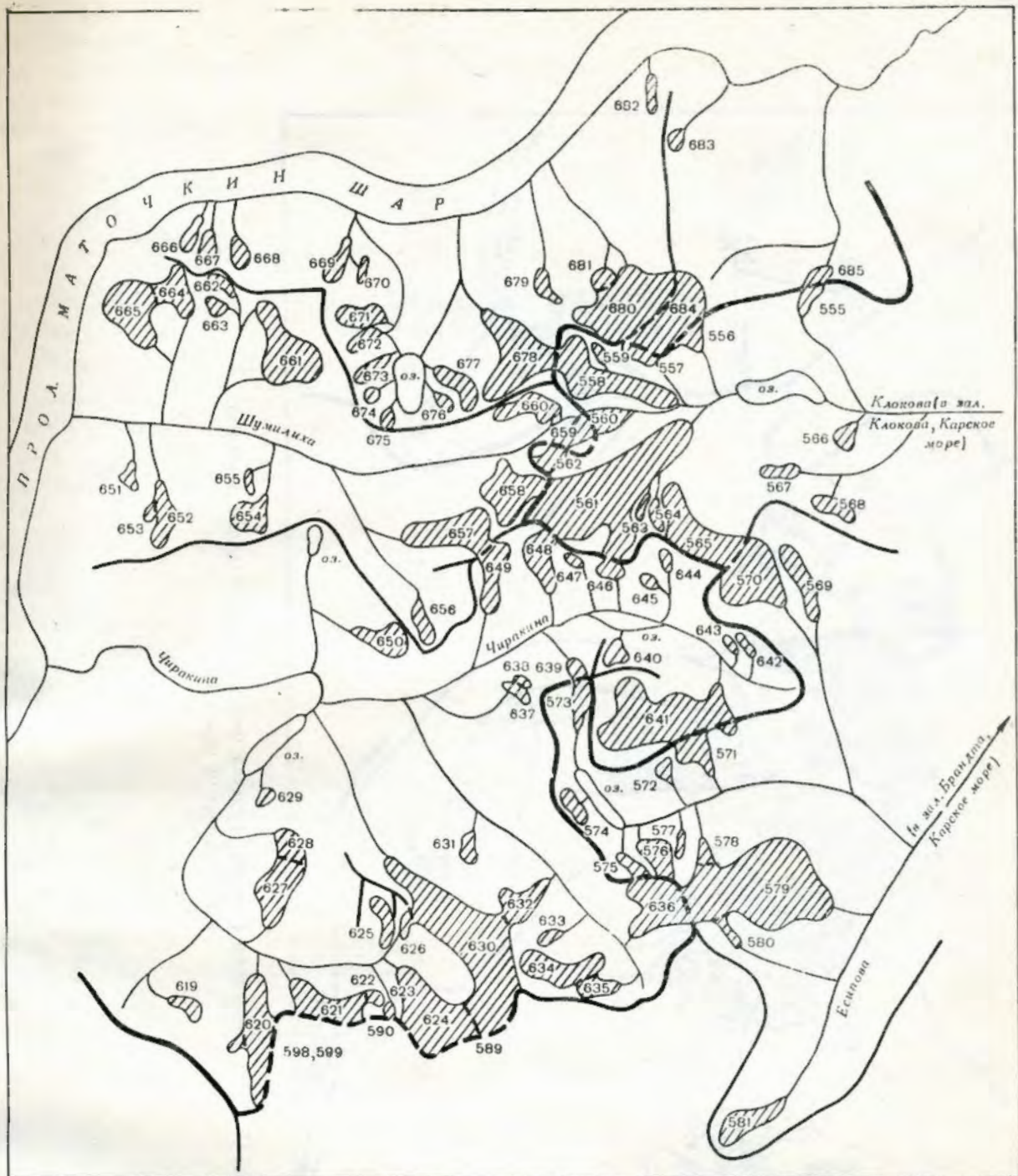


Рис. 12. Схема расположения горных ледников в бассейне прол. Маточкин Шар (Южный остров).

Усл. обозначения см. на рис. 8.

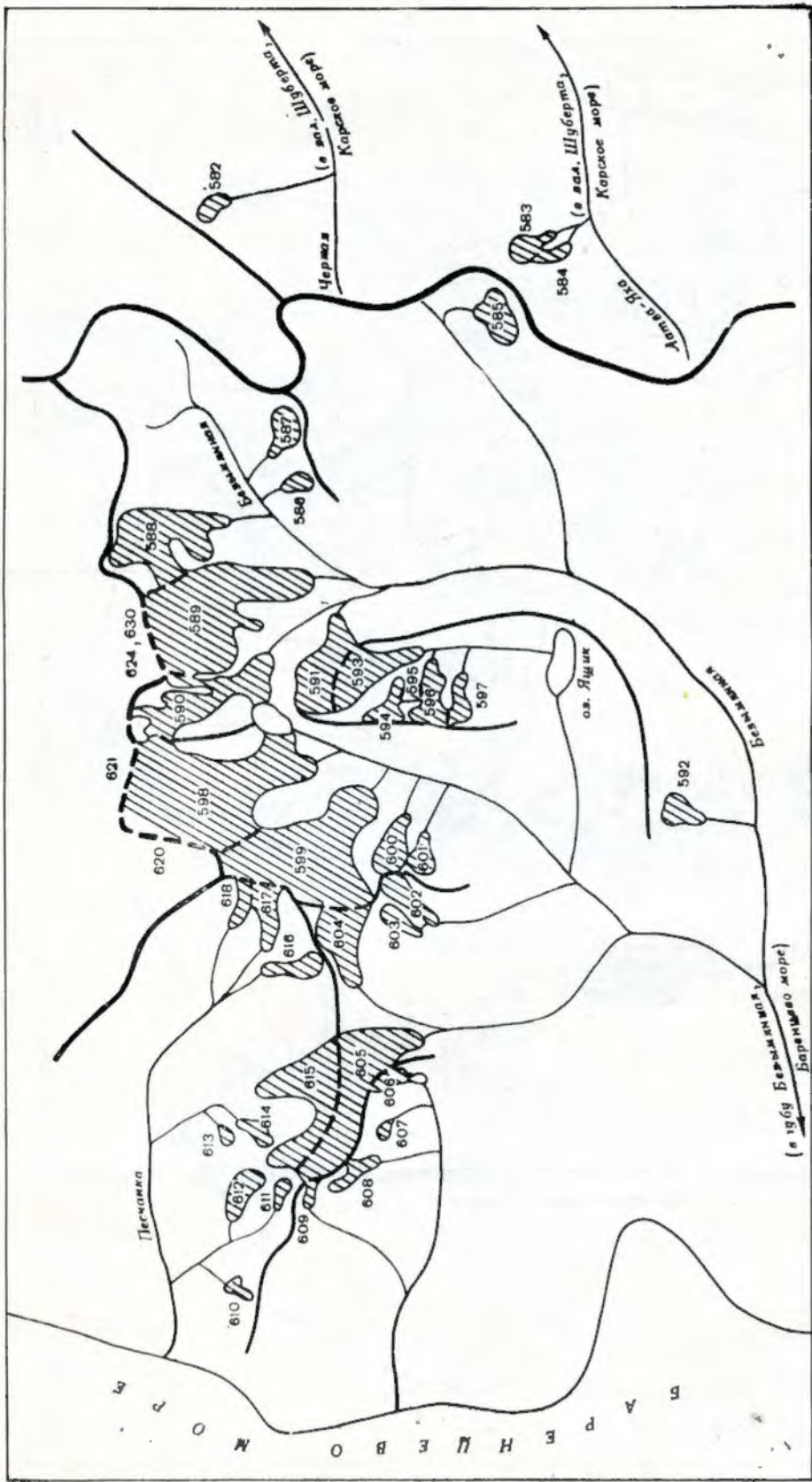


Рис. 13. Схема расположения горных ледников между реками Песчанка и Латва-Яха.
Усл. обозначения см. на рис. 8.

ОСНОВНЫЕ ТАБЛИЦЫ
КАТАЛОГА ЛЕДНИКОВ

стоковость и расход

затухание

коэффициент затухания

ОСНОВНЫЕ СВЕДЕНИЯ

№ по схеме	Название	Название реки, вытекающей из ледника, бухты, залива, моря, где оканчивается ледник	Морфологический тип	Общая экспозиция	Наибольшая длина, км		Площадь, км ²	
					всего ледника	в том числе открытой части	всего ледника	в том числе открытой части
1	2	3	4	5	6	7	8	9

ОБЛАСТЬ ПОКРОВНОГО

ЛЕДНИКОВЫЙ

Северная ледниковая

76 47	67 37	1	№ 1	Карское море	513,3	513,3
				Баренцево море	1046,1	1046,1
					1559,4	1559,4

Бассейн Карс

Бассейн Барен

76 24	67 21	2	№ 2	купол	7,3	7,3	17,2	17,2
76 31	66 14	3	№ 3	сл. купол	5,8	5,8	12,0	12,0
76 33	66 22	4	№ 4	сл. купол	9,2	9,2	29,4	29,4
76 34	66 42	5	№ 5	купол	12,5	12,5	138,6	138,6
76 38	66 43	6	№ 6	купол	8,3	8,3	30,9	30,9
76 39	66 26	7	№ 7	купол	10,8	10,8	51,7	51,7
76 37	66 15	8	№ 8	сл. купол	5,7	5,7	8,8	8,8
76 38	66 05	9	№ 9	купол	2,1	2,1	4,0	4,0
76 30	66 08	10	№ 10	купол	4,2	4,2	14,0	14,0
76 43	66 32	11	№ 11	сл. купол	8,0	8,0	44,7	44,7
76 50	66 78	12	№ 12	купол	2,3	2,3	5,6	5,6
76 29	66 17	13*	Иностраница	зал. Иностраница	выводн.	C3	24,5	186,9
76 32	66 09	14*	Астрономиче- ский Павлова	р. б/н (в зал. Иностраницы)	выводн. (краевой)	C3	45,1	682,5
76 35	66 12	15		зал. Иностраница	выводн. (краевой)	C3	2,9	3,5
						C3	5,7	3,4
						C3	16,1	11,8
						C3	22,4	11,7
								84,3
								198,2
76 41	66 26	16*	Вера	Баренцево море	выводн.	C3	18,7	65,9
76 47	66 32	17*	Центральный	р. б/н (в море Баренцево)	выводн. (краевой)	C3	38,8	366,2
76 43	66 50	18*	Бунге	Баренцево море	выводн.	C3	8,1	23,3
76 53	67 01	19*	Петерсена	зал. Мелкий	выводн.	C3	18,9	95,0
						C3	19,8	96,6
						C3	31,2	308,6
						C3	6,2	96,6
						C3	20,0	308,6
								118,8
								118,8
								476,7
								476,4
								4781,1
								4780,8

Всего в пределах Северной ледниковой шапки имеется 19 ледников общей площадью 2393,0 км², в том числе нерасчл ледников общей площадью 476,7 км².

Площадь морены в области ледниковой шапки равна 0,3 км².

Площадь Северной ледниковой шапки, расположенной в бассейне Карского моря, равна 530,5 км², в бассейне

Примечания: 1. 7 ледосборов, включающих ледники № 13—19, имеют общую площадь 1781,1 км².

2. 2 участка, не вошедшие в ледосборы, имеют общую площадь 611,9 км², из которых 530,5 км² расположены

Север нерасчл. гасами

20* № 20

Карское море
Баренцево море

76 35 04. 77 55 10.

67 30 58 50

нерасчлененная
часть
нерасчлененная
часть

Ледниковый	
74 35	67 30
58 02	62 02
6515,3	6507,8

4614,8 4603,4

11130,1 11111,2

Купола

Бассейн Баренцева

75 19	58 45	21	№ 21	сл. купол	9,8	9,8	24,6	24,6
75 34	58 31	22	№ 22	сл. купол	7,7	7,7	27,2	27,2
75 34	58 52	23	№ 23	сл. купол	4,9	4,9	14,3	14,3
75 39	58 52	24	№ 24	сл. купол	5,7	5,7	17,0	17,0
75 41	58 59	25	№ 25	сл. купол	14,6	14,7	47,8	47,8
75 50	61 00	26	№ 26	купол	18,3	18,3	111,4	111,4
75 54	61 08	27	№ 27	сл. купол	4,0	4,0	6,0	6,0
75 57	61 18	28	№ 28	сл. купол	6,3	6,3	15,2	15,2

О ЛЕДНИКАХ

ТАБЛИЦА I

Высота, м			Фирновая линия		Площадь области аблации, км ²		Объем льда, км ³	Ссылки на последующие таблицы (иллюстрации)
нижней точки конца ледника	нижней точки открытоей части ледника	высшей точки ледника	высота, м	способ определения и дата	общая	в том числе открытой части		
10	11	12	13	14	15	16	17	18

ОЛЕДЕНЕНИЯ

ПОКРОВ
шапка

кого моря

250 250 420

цева моря

310 310 580

400 400 640

430 430 650

450 450 610

300 300 340

200 200 820

200 200 470

180 180 490

220 220 570

200 200 290

~~0 0 580~~~~0 0 770~~~~90 100 420~~~~90 100 640~~~~0 0 520~~~~0 0 830~~~~0 0 470~~~~0 0 520~~~~10 10 320~~~~10 10 560~~~~0 0 460~~~~0 0 580~~~~0 0 270~~~~0 0 570~~IV/34, 35, 41; V/66, 77, 79—81, 102,
107, 159

V/81

IV/34, 35; V/66, 77, 79, 81, 102, 117,
159

V/79, 80, 159

IV/28; V/77, 107, 112, 159

IV/3, 28; V/77, 80, 107, 108, 112,
159ененная часть ледниковой шапки площадью 1559,4 км², 11 куполов общей площадью 356,9 км², 7 выводных и краевыхБаренцева моря — 1862,5 км².ны в бассейне Карского моря и 81,4 км² в бассейне Баренцева моря.

щит

моря

IV/5, 30, 51, 52; V/5—7, 9—12,
16—19, 21, 37, 43, 48, 50, 52, 53,
55—57, 59, 64, 65, 70, 72, 75, 90,
92, 102, 114, 120—128, 134—138,
141—146, 151—153, 159, 177

550 550 950

360 360 750

300 300 650

300 300 550

250 250 720

510 510 1100

300 300 740

470 470 850

450 АФС 25/VII-52 г.

1,4 1,4

400 АФС 25/VII-52 г.

2,3 2,3

№ по схеме	Название	Название реки, вытекающей из ледника, бухты, залива, моря, где оканчивается ледник	Морфологический тип	Общая экспозиция	Наибольшая длина, км		Площадь, км²	
					всего ледника	в том числе открытой части	всего ледника	в том числе открытой части
1	2	3	4	5	6	7	8	9
75 58 61 16 29	№ 29		сл. купол		12,5	12,5	56,3	56,3
76 00 61 25 30	№ 30		купол		3,1	3,1	4,5	4,5
76 00 61 16 31	№ 31		купол		3,7	3,7	7,6	7,6
76 07 61 34 32*	№ 32		сл. купол		12,7	12,7	48,9	48,9
76 17 64 14 33*	№ 33		сл. купол		11,3	11,3	28,6	28,6
76 12 64 32 34	№ 34		сл. купол		4,3	4,3	6,3	6,3
76 11 64 29 35	№ 35		купол		3,9	3,9	6,8	6,8
76 21 64 43 36	№ 36		сл. купол		4,5	4,5	8,1	8,1
76 28 65 41 37	№ 37		купол		5,4	5,4	19,2	19,2
17 ледников							449,8	449,8
Бассейн Карского								
76 05 66 04 38	Розе	Карское море	выводн.	ЮВ	22,8	22,8	232,3	232,3
75 59 65 28 39*	Средний	Карское море	выводн.	ЮВ	45,3	45,3	602,8	602,8
75 57 64 49 40	Рождественского	Карское море	выводн.	ЮВ	14,8	14,8	94,5	94,5
75 48 64 17 41*	Вершинского	Карское море	выводн.	ЮВ	38,4	38,4	501,8	501,8
75 77 63 32 42*	Налли	р. б/и (в зал. Благополучия)	выводн.	ЮВ	30,2	30,2	204,3	204,3
75 38 63 01 43*	№ 43	р. б/и (в Карское море)	выводн. (краевой)	ЮВ	40,2	40,2	413,3	413,3
75 37 62 30 44*	Мощный	Карское море	выводн.	Ю	20,4	20,4	231,6	231,6
75 34 62 19 45*	№ 45	р. б/и (в Карское море)	выводн.	ЮВ	41,3	41,3	591,2	590,7
75 33 62 01 46*	Ольгинский	р. б/и (в зал. Власьевы)	выводн.	ЮВ	5,8	5,8	11,6	11,6
75 32 61 31 47*	Кропоткина	зал. Власьевы	выводн.	ЮВ	28,2	28,2	343,2	343,2
75 27 61 14 48*	НИИГА	зал. Новый	выводн.	ЮВ	3,8	3,8	2,2	2,2
75 25 61 04 49*	№ 49	р. б/и (в зал. Новый)	выводн.	ЮВ	53,5	53,5	747,2	746,2
75 13 60 42 50*	Шуры	Карское море	выводн.	ЮВ	28,3	28,3	144,4	144,0
75 10 60 35 51*	Вылки	б. Визе	выводн.	ЮВ	50,8	50,8	573,5	573,1
75 13 59 46 52	№ 52	р. б/и (в зал. Русанова)	выводн.	ЮВ	10,1	10,1	31,1	31,1
75 08 59 29 53*	№ 53	р. б/и (в зал. Русанова)	выводн.	ЮВ	29,3	29,3	272,7	271,7
75 04 59 31 54*	Полисадова	б. Полисадова	выводн.	ЮВ	58,7	58,7	895,1	894,1
75 00 59 42 55	№ 55	р. б/и (в зал. Седова)	выводн.	ЮВ	55,0	55,0	452,4	451,6
74 56 59 00 56*	Ога	зал. Ога	выводн.	ЮВ	9,9	9,9	22,9	22,9
74 50 58 11 57	№ 57	р. б/и (в зал. Ога)	выводн.	ЮВ	23,0	23,0	69,6	67,0
74 44 58 28 58*	Стройный	р. б/и (в зал. Ога)	выводн.	ЮВ	13,5	13,5	46,6	46,6
74 42 58 15 59	№ 59	р. б/и (в зал. Ога)	выводн.	ЮВ	27,3	27,3	197,5	197,5
74 40 57 30 60*	Серп и Молот	зал. Циволько	выводн. (дол.)	ЮВ	4,8	4,8	10,7	10,7
23 ледника					44,0	44,0	260,8	260,2
					52,2	52,2	501,0	500,4
							2849,4	2843,9
							8873,2	8860,2

Бассейн

74 45 52 12 61*	Лакруа	зал. Блафель	выводн. (дол.)	ЮЗ	29,1	29,1	183,7	183,7
74 43 56 43 62*	Широкий	р. б/и (в губу Машингины)	выводн. (дол.)	ЮЗ	31,4	31,4	196,2	196,2
74 49 52 00 63*	№ 63	р. б/и (в губу Машингины)	выводн. (дол.)	ЮЗ	17,2	17,2	67,5	67,3
74 01 55 54 64*	Низкий	Губа Глазова	выводн. (дол.)	C3	18,1	18,1	87,8	87,8
74 10 53 24 65*	Глазов	Губа Глазова	сл. выводн.	C3, C3	36,5	36,5	321,1	319,9
				C3, C3	36,5	36,5	372,6	370,4
				C3, C3	43,5	43,5	214,4	214,2
				C3, C3	58,5	58,5	679,4	675,4

Высота, м			Фирновая линия		Площадь области аблации, км ²		Объем льда, км ³	Ссылки на последующие таблицы (иллюстрации)
низ- шей точки конца лед- ника	низ- шей точки от- кры- той части лед- ника	вы- шней точки лед- ника	вы- сота, м	способ определения и дата	общая	в том числе откры- той части		
10	11	12	13	14	15	16	17	18
320	320	840						
440	440	710						
480	480	780						
110	110	680						
220	220	640						
440	440	790						
320	320	850						
400	400	820						
240	240	700						
моря								
0	0	520						IV/28, 34; V/70, 79, 80, 84, 108, 112,
0	0	740						117, 159
0	0	450						IV/28, 34; V/70, 80, 84, 108, 112,
0	0	780						117, 159
0	0	600	380—500	АФС 21/VII-52 г.	93,2	93,2		IV/28, 34; V/70, 80, 84, 108, 112,
0	0	800	380—500	АФС 21/VII-52 г.	111,1	111,1		117, 159
0	0	540	300—480	АФС 21/VII-52 г.	206,0	206,0		IV/28, 34; V/70, 84, 108, 112, 117,
0	0	800	300—480	АФС 21/VII-52 г.	206,0	205,5		159
120	120	440	480—650	АФС 21/VII-52 г.	11,6	11,6		IV/43, 45; V/61, 79, 81, 95, 159, 169
120	120	790	480—650	АФС 21/VII-52 г.	104,6	104,6		
200	200	380						V/79
0	0	600						
0	0	920						
204	204	400						
50	60	480						V/33, 79, 81
50	60	920						
0	0	700						IV/30, 34; V/18, 21, 33, 77, 79, 80,
0	0	920						117, 159
10	10	680						
0	0	920						
230	230	500						
0	0	600						IV/28; V/79, 81, 108, 112, 117, 159
0	0	920						IV/28; V/77, 79, 81, 108, 112, 117, 159
0	0	290	520—600	АФС 25/VII-52 г.	127,1	126,3		
0	0	950	520—600	АФС 25/VII-52 г.	184,2	183,4		
290	290	700	730	АФС 25/VII-52 г.	22,9	22,9		
290	290	840	730	АФС 25/VII-52 г.	31,9	29,3		
250	250	660	500	АФС 25/VII-52 г.	12,7	12,7		
0	0	680	580	АФС 25/VII-52 г.	94,5	94,5		
0	0	580	820	АФС 25/VII-52 г.	133,0	133,0		
240	240	550						V/77, 81, 108, 112
0	0	700						
0	0	950						
200	200	620						
100	100	520						
100	100	920						
		500						
0	0	860	440	АФС 25/VII-52 г.	141,9	141,9		IV/22; V/79, 81, 159, 168, 171
0	0	980	440	АФС 25/VII-52 г.	141,9	141,9		
Баренцева моря								
10	10	900	420	АФС 25/VII-52 г.	58,4	58,4		V/74, 79—81, 84, 104, 105, 108, 112,
10	10	1100	420	АФС 25/VII-52 г.	58,4	58,4		159, 168
60	60	750						V/15, 74, 77, 79, 81, 108, 112, 159,
								168
40	40	950						V/79, 159, 168
0	0	900						
0	0	1060	390	АФС 25/VII-52 г.	158,3	156,1		IV/28; V/80, 104, 105, 108, 112, 159,
0	0	740	350—480	АФС 25/VII-52 г.	137,3	133,3		168
0	0	980	350—480	АФС 25/VII-52 г.	137,3	133,3		V/28; V/77, 79, 107, 108, 112, 159,
								168

№ по схеме 1	Название 2	Название реки, вытекающей из ледника, бухты, залива, моря, где оканчивается ледник 3	Морфо- логичес- кий тип 4	Общая экспози- ция 5	Наибольшая длина, км		Площадь, км ²	
					всего ледника 6	в том числе открытой части 7	всего ледника 8	в том числе открытой части 9
25 19 58 08 66*	Норденшельда	зал. Норденшельда	сл. выводн.	C3	32,8	32,8	517,4	512,4
25 31 58 31 67*	Вилькицкого (южный)	зал. Вилькицкого	сл. выводн.	C3	62,5	62,5	1052,2	1047,2
25 32 58 33 68*	Вилькицкого (северный)	зал. Вилькицкого	сл. выводн.	C3	28,7	28,7	142,5	139,3
25 32 58 33 68*	Кривошина	зал. Кривошина	выводн. (краевой)	3	44,0	44,0	266,7	260,2
25 44 58 57 69*			выводн.	3	24,0	24,0	126,7	126,0
25 46 59 16 70	Архангельской губы	Губа Архангельская	выводн.	C	14,2	14,2	67,3	67,3
25 46 59 16 70			(краевой)	3	15,6	15,6	85,2	85,2
25 46 59 16 70			выводн.	C	13,0	13,0	70,9	69,1
25 46 59 16 70				C	43,2	43,2	427,0	424,2
25 50 59 52 71*	Крайний	Баренцево море	выводн.	C	18,0	18,0	146,3	146,3
25 50 59 52 71*				C	38,5	38,5	593,9	593,9
25 72 60 22 72	№ 72	р. б/н (в Баренцево море)	выводн.	C3	3,8	3,8	5,0	5,0
25 74 60 22 73	Тансия	зал. Седова	выводн.	C3	5,8	5,8	5,3	5,3
25 75 60 31 74	№ 74	р. б/н (в зал. Седова)	выводн. (краевой)	C3	19,9	19,9	116,5	116,5
25 75 60 31 74			выводн.	C3	42,5	42,5	431,7	431,7
25 75 60 35 75	№ 75	р. б/н (в зал. Седова)	выводн. (краевой)	C	5,7	5,7	10,5	10,5
25 75 60 35 75			выводн.	C3	7,8	7,8	15,0	15,0
25 76 60 43 76	№ 76	р. б/н (в Баренцево море)	выводн. (краевой)	C	1,8	1,8	1,5	1,5
25 76 60 43 76			выводн.	C	2,5	2,5	1,8	1,8
25 77 60 50 77	№ 77	р. б/н (в Баренцево море)	выводн. (краевой)	C3	2,3	2,3	1,5	1,5
25 77 60 50 77			выводн.	C3	1,1	1,1	1,1	1,1
25 77 60 59 79	№ 79	р. б/н (в Баренцево море)	выводн. (краевой)	C3	1,3	1,3	1,9	1,9
25 78 60 59 80*	Чернышева	зал. Борзова	выводн.	C3	22,8	22,8	117,7	117,7
25 78 60 59 80*				C3	39,2	38,0	469,3	469,3
26 02 61 22 81*	№ 81	р. б/н (в зал. Борзова)	выводн.	3	5,5	5,5	7,8	7,8
26 02 61 22 81*				3	7,2	7,2	100	10,0
26 02 61 16 82*	№ 82	р. б/н (в зал. Борзова)	выводн. (краевой)	C3	2,9	2,9	4,5	4,5
26 02 61 16 82*			выводн.	C3	23,2	23,2	138,4	135,9
26 02 61 16 82*				C3	41,8	41,8	380,8	378,3
26 02 61 53 83*	Борзова	зал. Борзова	выводн.	C3	3,5	3,5	11,5	9,5
26 02 61 53 83*				C3	10,6	10,6	42,2	40,2
26 01 62 04 84*	№ 84	пр. р. Ледниковой	выводн.	C3	14,8	13,9	152,7	143,3
26 01 62 04 85*	Лактионова	р. б/н (в зал. Русская Гавань)	выводн.	C	31,5	30,6	296,4	287,0
26 01 62 04 85*				C3	26,8	26,8	280,0	280,0
26 01 62 04 85*	Шокальского	зал. Русская Гавань	выводн.	C3	36,2	36,2	517,8	517,8

76 10 63 13 87	Чаева	б. Чухновского	выводн.	C3	12,0	12,0	51,7	51,7
76 12 63 47 88*	Рыкачева	Баренцево море	сл. выводн.	C3	37,0	37,0	368,2	368,2
76 13 63 56 89	№ 89	р. б/н (в Баренцево море)	выводн. (краевой)	C3	22,5	22,5	132,9	132,9
76 13 63 56 89		зал. Легздина	выводн.	C3	33,5	33,5	414,1	414,1
76 15 64 11 90*	Велькена			C	2,5	2,5	2,6	2,6
76 15 64 11 90*				C3	15,0	15,0	35,5	35,5
76 16 64 22 91*	Мака	зал. Легздина	пыводн.	C3	27,6	27,6	154,0	154,0
76 16 64 22 91*				C3	12,2	12,2	50,6	50,6
76 17 64 33 92*	Воейкова	зал. Легздина	выводн. (краевой)	C3	26,9	26,9	177,5	177,5
76 17 64 33 92*			выводн.	C3	11,3	11,3	34,1	34,1
76 17 64 33 92*				C3	13,0	13,0	52,3	52,3
76 17 64 43 93*	Броунова	Гавань Мака	выводн.	C3	14,0	14,0	52,0	52,0
76 17 64 43 93*				C3	27,8	27,8	291,9	291,9
76 21 65 03 94*	Анучина	Баренцево море	выводн. (краевой)	C3	7,0	7,0	21,9	21,9
76 21 65 03 94*			выводн.	C3	17,1	17,1	57,3	57,3
76 22 65 25 95	Визе	Баренцево море	выводн.	C3	21,5	21,5	81,5	81,5
76 22 65 25 95				C3	28,6	28,6	283,2	282,9
76 26 65 31 96	Карбасникова	Баренцево море	выводн. (краевой)	C3	10,4	10,4	34,3	34,3
76 26 65 31 96			выводн.	C3	12,4	12,4	86,9	86,7

Высота, м			Фирновая линия		Площадь области аблаций, км ²		Объем льда, км ³	Ссылки на последующие таблицы (иллюстрации)
низшей точки конца ледника	нижней точки крытой части ледника	высшей точки ледника	высота, м	способ определения и дата	общая	в том числе открытой части		
10	11	12	13	14	15	16	17	18
0	0	980	320—500	АФС 25/VII-52 г.	317,6	312,6		IV/28; V/77, 79, 81, 108, 112, 159
0	0	950	320—500	АФС 25/VII-52 г.	324,2	319,2		IV/28; V/77, 79, 81, 108, 112, 159
0	0	700	350—450	АФС 25/VII-52 г.	66,0	59,5		IV/28; V/77, 79, 81, 108, 112, 159
0	0	850	350—450	АФС 25/VII-52 г.	66,0	59,5		
0	0	600	450	АФС 25/VII-52 г.	99,0	98,3		IV/28; V/77, 79, 81, 108, 112, 159
0	0	1000	450	АФС 25/VII-52 г.	132,9	130,4		
0	0	420	400	АФС 25/VII-52 г.	53,6	53,6		IV/28; V/77, 79, 81, 108, 112, 159
0	0	720	400	АФС 25/VII-52 г.	66,8	66,8		
0	0	380	340	АФС 25/VII-52 г.	63,5	61,7		IV/28; V/79, 95, 107, 108, 112, 159,
0	0	900	240	АФС 25/VII-52 г.	63,5	61,7		169
0	0	520	300	АФС 25/VII-52 г.	57,6	57,6		IV/45; V/79
0	0	920	300	АФС 25/VII-52 г.	87,5	87,5		
180	180	600						
180	180	660						
0	0	500						V/18, 59, 77, 79, 80, 112, 159
0	0	1100						
120	120	440						
120	120	470						
250	250	500						
120	120	420						
380	380	760						
350	350	700						
380	380	500						V/77, 79—81, 107, 159
0	0	500						
0	0	1100						
130	130	580						
130	130	710						
180	180	460						
0	0	540						V/77, 80, 159
0	0	930						
200	200	440						
80	200	680						
60	100	540						V/12, 17, 49, 50, 52, 59, 71, 79, 80,
60	100	890						90, 114, 148
0	0	680						IV/34, 35, 45, 50—52; V/69—12, 16,
0	0	880						33, 34—43, 48—50, 52, 57, 59,
0	0	420						64—66, 70—73, 79—81, 90, 92,
0	0	780						95, 102, 103, 114, 117, 120—128,
								134—138, 141—146, 148, 151—
0	0	520						153, 159, 169, 177
0	0	800						V/70, 90, 92, 103, 114, 148, 159
200	200	500						V/88, 103, 159
0	0	500						
0	0	800						IV/41; V/79, 103, 159
0	0	470						IV/41; V/79, 103, 159
0	0	850						IV/41; V/79, 103, 159
0	0	600						IV/41; V/79, 80, 103, 159
0	0	850						V/41; V/79, 80, 103, 159
0	0	640						IV/41; V/79, 103, 159
0	0	780						V/41; V/79, 103, 159
0	0	400						IV/41; V/79, 103, 159
0	0	880						IV/41; V/79, 103, 159
0	0	580						IV/41; V/79, 103, 159
0	0	740						
0	0	620						
0	0	740						

№ по схеме	Название	Название реки, вытекающей из ледника, бухты, залива, моря, где оканчивается ледник	Морфологический тип	Общая экспозиция	Наибольшая длина, км		Площадь, км²	
					всего ледника	в том числе открытой части	всего ледника	в том числе открытой части
1	2	3	4	5	6	7	8	9

76 28 65 34	97	№ 97	р. б/н (в Баренцево море)	выводн. (краевой)	C3	8,1	8,1	(19,0)
		37 ледников					3314,1	3287,9

Всего в пределах ледникового щита имеется 78 ледников общей площадью 17743,4 км², в том числе нерасчлененная 6163,5 км². Площадь морен в области ледникового щита равна 50,6 км² (из них 31,7 км² расположено непосредственно в бассейне Карского моря, речки 9364,7 км², в бассейне Баренцева моря — 8378,7 км².

Примечания: 1. 60 ледосборов, включающих ледники № 38—97, имеют общую площадь 17251,9 км².

2. Три участка, не вошедшие в ледосборы, общей площадью 491,5 км², расположены в щадью 262,8 км² располагается в районе ледников № 98—100).

Итого ледниковый покров Новой Земли состоит из 97 ледников общей площадью 20136,4 км², в том числе ледников общей площадью 6640,2 км². Площадь морен в области ледникового покрова равна 50,9 км². Площадь

Примечания: 1. 67 ледосборов, включающих ледники № 13—19 и № 38—97, имеют общую площадь, равную 2. Пять участков, не вошедших в ледосборы, имеют общую площадь 1103,4 км², из которых

Горные ледники в области Бассейн Карского

Участок побережья севернее

76 16 66 30 98	№ 98	Широкая	сл. дол.	ЮВ	7,8	7,8	11,3	11,3
76 13 66 20 99	№ 99	пр. р. Широкой	дол.	ЮВ	6,2	6,2	12,0	12,0
76 13 66 14 100	№ 100	пр. р. Широкой	дол.	ЮВ	3,5	3,5	3,4	3,4

3 ледника

Участок побережья между Шуры и Полисадова

75 18 60 15 101*	№ 101	р. б/н (в Карское море)	дол.	ЮВ	3,2	3,2	3,5	3,5
75 07 59 44 102	№ 102	р. б/н (в Карское море)	сл. дол.	ЮВ	4,8	4,8	3,3	3,3
75 09 59 46 103*	№ 103	р. б/н (в Карское море)	сл. дол.	СВ	5,8	5,8	20,5	20,5

3 ледника

Участок побережья между Полисадова и Ога

75 00 59 42 104	№ 104	р. б/н (в бух. Полисадова)	сл. дол.	ЮВ	6,3	6,3	7,7	7,7
74 59 59 05 105	№ 105	р. б/н (в зал. Седова)	сл. дол.	В	9,0	9,0	28,8	28,8
74 50 59 10 106	№ 106	р. б/н (в зал. Седова)	дол.	Ю	3,2	3,2	1,5	1,5
74 55 59 12 107	№ 107	р. б/н (в зал. Седова)	сл. дол.	В	3,2	3,2	3,0	3,0

5 ледников

42,7 42,7

Участок побережья между Ога и Серп и Молот

73 38 58 15 109*	№ 109	р. б/н (в Карское море)	сл. дол.	СВ	3,6	3,6	4,0	4,0
73 38 58 14 110*	№ 110	р. б/н (в Карское море)	дол.	СВ	1,6	1,6	0,6	0,6
73 38 58 11 111*	№ 111	р. б/н (в Карское море)	сл. дол.	СВ	2,0	2,0	1,3	1,3
73 39 58 09 112*	№ 112	р. б/н (в Карское море)	дол.	СВ	1,8	1,8	0,7	0,7
73 39 58 07 113*	№ 113	р. б/н (в Карское море)	дол.	СВ	2,0	2,0	1,5	1,5
73 38 58 02 114*	№ 114	р. б/н (в зал. Циволько)	дол.	ЮЗ	1,5	1,5	0,7	0,7
73 38 58 06 115*	№ 115	р. б/н (в зал. Циволько)	сл. дол.	ЮВ	2,1	2,1	2,5	2,5
73 38 58 08 116*	№ 116	р. б/н (в зал. Циволько)	сл. дол.	ЮЗ	1,6	1,6	0,5	0,5
74 37 57 36 117*	№ 117	р. б/н (в зал. Циволько)	кар.	СВ	0,4	0,4	0,2	0,2

Высота, м			Фирновая линия		Площадь области аблации, км ²		Объем льда, км ³	Ссылки на последующие таблицы (иллюстрации)
нижней точки конца ледника	нижней точки открытой части ледника	высшей точки ледника	высота, м	способ определения и дата	общая	в том числе открытой части		
10	11	12	13	14	15	16	17	18
150	150	500						

часть щита площадью 11130,1 км², 17 куполов общей площадью 449,8 км², 60 выводных ледников общей площадью на выводных и краевых ледниках и 18,9 км² в нерасчлененной части щита). Площадь ледникового щита, расположе-

бассейне Карского моря (два из них находятся между ледниками № 51—54 и имеют общую площадь 228,7 км², один пло-

щадь нерасчлененная часть ледникового покрова общей площадью 12689,5 км², 28 куполов общей площадью 806,7 км², 67 вывод-ледникового покрова в бассейне Карского моря равна 9895,2 км², в бассейне Баренцева моря — 10241,2 км².

19033,0 км².

1022,0 км² находится в бассейне Карского моря и 81,4 км² — в бассейне Баренцева моря.

покровного оледенения

моря

ледника Розе (Карское море)

210	210	350
250	250	340
330	330	450

выводными ледниками

(Карское море)

280	280	500
280	280	480
270	270	520

выводными ледниками

(Карское море)

180	180	520
210	210	520
220	220	500
300	300	530
340	340	530

выводными ледниками

(Карское море)

200	200	500
220	220	450
200	200	500
290	290	500
290	290	640
320	320	640
200	200	500
220	220	500
550	550	900

№ по схеме	Название	Название реки, вытекающей из ледника, бухты, залива, моря, где оканчивается ледник	Морфологический тип	Общая экспозиция	Наибольшая длина, км		Площадь, км²	
					всего ледника	в том числе открытой части	всего ледника	в том числе открытой части
1	2	3	4	5	6	7	8	9
7436 57 37 118*	№ 118	р. б/н (в зал. Циволь-ко)	вис.	ЮВ	0,8	0,8	0,5	0,5
10 ледников							12,5	12,5
							Участок побережья между Бассейном Баренцева и Широким	
74 44 56 54 119*	№ 119	р. б/н (в губу Гнина)	Машинка	дол.	Ю	2,2	2,0	1,7
74 44 56 46 120*	№ 120	р. б/н (в губу Гнина)	Машинка	кар.-дол.	Ю	1,0	1,0	0,3
2 ледника							2,0	2,0
							Участок побережья между Широким и № 63	
74 49 56 36 121*	№ 121	р. б/н (в губу Гнина)	Машинка	сл. дол.	Ю	5,2	5,2	12,3
74 51 56 32 122*	№ 122	р. б/н (в зал. Садовского)	дол.	СЗ	2,0	2,0	0,8	0,8
74 50 56 36 123*	№ 123	р. б/н (в зал. Садовского)	дол.	СВ	2,6	2,6	2,0	2,0
74 51 56 42 124*	№ 124	р. б/н (в зал. Садовского)	дол.	СВ, СЗ	6,2	6,2	6,5	6,5
74 51 56 46 125*	№ 125	р. б/н (в зал. Садовского)	дол.	СЗ	2,2	2,2	1,4	1,4
74 52 56 50 126*	№ 126	р. б/н (в зал. Садовского)	дол.	СВ	4,5	4,5	3,9	3,9
74 52 56 47 127*	№ 127	р. б/н (в зал. Садовского)	дол.	СВ	2,0	2,0	5,5	5,5
74 54 56 40 128*	№ 128	р. б/н (в зал. Садовского)	дол.	В	1,7	1,7	0,9	0,9
74 54 56 40 129*	№ 129	р. б/н (в зал. Садовского)	вис.	СВ	1,5	1,5	0,3	0,3
9 ледников							33,6	33,6
							Участок побережья между № 63 и Низким	
74 54 56 58 130*	№ 130		дол.	СЗ	0,5	0,5	0,5	0,5
74 55 56 59 131*	№ 131		дол.	СЗ	0,5	0,5	0,4	0,4
74 58 56 54 132*	№ 132	р. б/н (в зал. Садовского)	сл. дол.	З	6,6	6,6	13,0	13,0
74 58 56 48 133*	№ 133	р. б/н (в зал. Садовского)	дол.	СЗ	1,4	1,4	0,4	0,4
4 ледника							14,3	14,3
							Участок побережья между Низким и Глазова	
75 04 57 03 134*	№ 134	р. б/н (в губу Глазова)	кар.	СЗ	1,4	1,4	1,0	1,0
75 05 57 04 135*	№ 135	р. б/н (в губу Глазова)	сл. дол.	СЗ	3,2	3,2	4,5	4,5
75 10 56 57 136*	№ 136		вис.	СЗ	1,7	1,7	1,2	1,2
75 09 52 04 137*	№ 137		сл. дол.	СВ	3,6	3,6	8,2	8,2
75 09 56 55 138*	№ 138		дол.	СВ	2,8	2,8	2,0	2,0
75 10 56 54 139*	№ 139		дол.	СВ	2,4	2,4	1,8	1,8
75 11 56 58 140*	№ 140	р. б/н (в губу Глазова)	дол.	СЗ	2,4	2,4	4,3	4,3
7 ледников							23,0	23,0
							Участок побережья между Норденшельда	
75 16 57 12 141*	№ 141	р. б/н (в Баренцево море)	дол.	СЗ	3,8	3,8	7,4	7,4
75 18 57 20 142	№ 142	р. б/н (в зал. Норденшельда)	дол.	СЗ	2,0	2,0	0,8	0,8
75 18 53 21 143	№ 143	р. б/н (в зал. Норденшельда)	дол.	СЗ	1,5	1,5	0,3	0,3

Высота, м			Фирновая линия		Площадь области аблации, км ²		Ссылки на последующие таблицы (иллюстрации)	
нижней точки конца ледника	нижней точки открытой части ледника	высшей точки ледника	высота, м	способ определения и дата	общая	в том числе открытой части	Объем льда, км ³	
10	11	12	13	14	15	16	17	18

600 600 900

моря
выводными ледниками Лакруа
(Баренцево море)

300 300 800

400 400 680

выводными ледниками
(Баренцево море)

100 100 850

300 300 820

300 300 820

150 150 700

160 160 300

220 220 430

210 210 500

300 300 830

500 500 830

выводными ледниками
(Баренцево море)

500 500 520

300 300 520

140 140 680 320 АФС 25/VII-52 г.

300 300 680

2,8

2,8

выводными ледниками
(Баренцево море)

400 400 750

300 300 750 360 АФС 25/VII-52 г.

0,5

0,5

420 420 630

300 300 670 430 АФС 25/VII-52 г.

0,8

0,8

250 250 640 340 АФС 25/VII-52 г.

0,2

0,2

150 150 600 350 АФС 25/VII-52 г.

0,2

0,2

240 240 680 390 АФС 25/VII-52 г.

0,3

0,3

выводными ледниками Глазова
(Баренцево море)

200 200 550

230 230 600

260 260 600

№ по схеме	Название	Название реки, вытекающей из ледника, бухты, залива, моря, где оканчивается ледник	Морфологический тип	Общая экспозиция	Наибольшая длина, км		Площадь, км²	
					всего ледника	в том числе открытой части	всего ледника	в том числе открытой части
1	2	3	4	5	6	7	8	9

75 16	57 21	144	№ 144	р. б/н (в зал. Норденшельда)	дол.	СВ	7,2	7,2	14,7	14,7
75 17	57 30	145*	№ 145		кар.	ЮЗ	1,0	1,0	0,4	0,4
75 18	57 29	146*	№ 146		кар.	С3	1,0	1,0	0,5	0,5
75 19	57 31	147*	№ 147		дол.	С3	4,3	4,3	2,7	2,7
75 20	57 40	148*	№ 148	р. б/н (в зал. Норденшельда)	дол.	С	16,8	16,6	63,8	63,5
75 21	57 45	149	№ 149	р. б/н (в зал. Норденшельда)	кар.	В	0,9	0,9	0,4	0,4
75 22	57 42	150	№ 150	р. б/н (в зал. Норденшельда)	вис.	С3	1,2	1,2	0,5	0,5
75 23	57 45	151	№ 151	р. б/н (в зал. Норденшельда)	дол.	С3	2,1	2,1	1,8	1,8
75 24	57 47	152	№ 152	р. б/н (в зал. Норденшельда)	дол.	С3	1,8	1,8	1,0	1,0
75 25	57 49	153*	№ 153		дол.	СВ	3,0	3,0	0,5	0,5
75 26	57 53	154*	№ 154		дол.	С3	1,1	1,1	0,3	0,3
75 27	57 57	155*	№ 155		дол.	С	2,1	2,1	1,1	1,1
75 28	57 54	156*	№ 156		кар.	С	1,1	1,1	0,9	0,9
75 29	57 51	157*	№ 157		кар.	СВ	0,6	0,6	0,2	0,2
75 30	57 54	158*	№ 158		вис.	СВ	0,5	0,5	0,2	0,2
75 31	57 57	159*	№ 159		дол.	СВ	3,6	3,6	3,1	3,1
19 ледников										
Участок побережья между Норденшельда и Вилькицкого										

75 23	57 59	160*	№ 160		кар.-дол.	ЮВ	1,1	1,1	0,4	0,4
75 22	57 52	161*	№ 161		дол.	ЮВ	2,8	2,8	1,8	1,8
75 23	57 52	162*	№ 162		кар.-дол.	ЮВ	1,2	1,2	0,5	0,5
75 24	57 56	163	№ 163	р. б/н (в зал. Норденшельда)	дол.	ЮЗ	0,3	0,3	0,7	0,7
75 25	57 56	164	№ 164	р. б/н (в Баренцево море)	дол.	С3	1,8	1,8	0,7	0,7
75 25	58 03	165*	№ 165	р. б/н (в Баренцево море)	сл. дол.	ЮЗ, З	10,8	10,6	17,6	17,5
75 23	57 53	166	№ 166	р. б/н (в Баренцево море)	дол.	С3	1,8	1,8	0,8	0,8
75 23	57 59	167	№ 167	р. б/н (в Баренцево море)	дол.	ЮЗ	1,8	1,8	1,1	1,1
75 23	58 01	168	№ 168	р. б/н (в Баренцево море)	дол.	С3	5,0	5,0	8,9	8,9
75 26	58 04	169	№ 169	р. б/н (в Баренцево море)	кар.	ЮЗ	0,5	0,5	0,1	0,1
75 30	57 40	170	№ 170	р. б/н (в Баренцево море)	кар.	ЮВ	0,6	0,6	0,2	0,2
75 31	57 42	171	№ 171	р. б/н (в Баренцево море)	кар.-дол.	ЮВ	1,1	1,1	0,5	0,5
75 31	57 46	172	№ 172	р. б/н (в Баренцево море)	кар.	СВ	0,8	0,8	0,3	0,3
75 30	57 44	173	№ 173	р. б/н (в Баренцево море)	кар.	С	0,5	0,5	0,2	0,2
75 31	57 51	174	№ 174	р. б/н (в Баренцево море)	дол.	СВ	1,5	1,5	0,4	0,4
75 31	57 48	175	№ 175	р. б/н (в Баренцево море)	кар.	В	0,6	0,6	0,2	0,2
75 22	58 12	176*	№ 176	пр. р. Зеленой (в зал. Вилькицкого)	сл. дол.	С3	7,8	7,6	22,3	22,2
75 29	58 17	177*	№ 177		дол.	С	3,8	3,8	3,0	3,0
75 32	58 15	178*	№ 178		дол.	СВ	1,8	1,8	0,7	0,7
19 ледников										
Участок побережья между Норденшельда и Вилькицкого										

75 38	58 18	179*	№ 179		дол.	С3	2,2	2,2	2,2	2,2
75 39	58 24	180*	№ 180		кар.-дол.	ЮВ	0,9	0,9	0,4	0,4
75 39	58 28	181*	№ 181		кар.-дол.	В	1,8	1,8	0,9	0,9
75 41	58 26	182	№ 182	р. б/н (в зал. Кривошина)	кар.	СВ	0,6	0,6	0,2	0,2

Высота, м			Фирновая линия		Площадь области аблации, км ²		Объем льда, км ³	Ссылки на последующие таблицы (иллюстрации)
нижней точки конца ледника	высшей точки открытой части ледника	высота, м	способ определения и дата		общая	в том числе открытой части		
10	11	12	13	14	15	16	17	18
150	150	550	400	АФС 25/VII-52 г.	3,3	3,3		
240	240	360						
540	540	750						
210	210	900	560	АФС 25/VII-52 г.	1,2	1,2		
10	30	1500	350—450	АФС 25/VII-52 г.	11,6	11,3		
820	820	980						
400	400	680						
380	380	780						
360	360	740						
430	430	740						
660	660	1040						
380	380	1000						
600	600	790						
600	600	790						
660	660	740						
350	350	850						
выводными ледниками (Баренцево море)								
260	260	580						
80	80	680	250	АФС 25/VII-52 г.	0,3	0,3		
120	120	600	300	АФС 25/VII-52 г.	0,1	0,1		
290	290	680						
380	380	700						
80	100	700	280	АФС 25/VII-52 г.	3,8	3,7		
320	320	650						
330	330	650	480	АФС 25/VII-52 г.	0,4	0,4		
360	360	900						
250	250	450						
380	380	540						
200	200	500						
260	260	500	350	АФС 25/VII-52 г.	0,1	0,1		
350	350	570						
200	200	460	250	АФС 25/VII-52 г.	0,1	0,1		
320	320	600						
120	130	920	400	АФС 25/VII-52 г.	6,6	6,5		
200	200	800	300—600		1,0	1,0		
190	190	440						
выводными ледниками Вилькицкого (Баренцево море)								
230	230	590						
140	140	430						
80	80	700	180	АФС 25/VII-52 г.	0,1	0,1		
340	340	520						

№ по схеме	Название	Название реки, вытекающей из ледника, бухты, залива, моря, где оканчивается ледник	Морфологический тип	Общая экспозиция	Наибольшая длина, км		Площадь, км²	
					всего ледника	в том числе открытой части	всего ледника	в том числе открытой части
1	2	3	4	5	6	7	8	9
75 YI 58 31 183	№ 183	p. б/н (в зал. Кривошнина)	дол.	СВ	2,0	2,0	1,5	1,5
75 YI 58 35 184	№ 184	p. б/н (в зал. Кривошнина)	сл. дол.	СВ	3,3	3,3	3,3	3,3
75 Y2 58 38 185*	№ 185		дол.	СВ	2,2	2,2	0,8	0,8
75 YO 58 44 186*	№ 186		сл. дол.	C	5,6	5,6	7,0	7,0
8 ледников							16,3	16,3

Участок побережья между
Лактионова и Петерсена

26 06 62 30 187	№ 187	p. б/н (в зал. Русская Гавань)	кар.-дол.	СЗ	1,4	1,4	0,9	0,9
76 07 63 09 188*	№ 188	p. б/н (в зал. Легздина)	дол.	СЗ	0,8	0,8	0,5	0,5
76 19 64 19 189	№ 189	p. б/н (в гавань Мака)	дол.	СЗ	2,4	2,4	1,1	1,1
76 21 64 32 190	№ 190	p. б/н (в гавань Мака)	кар.-дол.	СЗ	1,9	1,9	1,1	1,1
76 21 64 35 191	№ 191	p. б/н (в гавань Мака)	кар.-дол.	СВ	1,2	1,2	0,2	0,2
76 21 64 37 192	№ 192	p. б/н (в гавань Мака)	дол.	С	1,7	1,7	1,2	1,2
76 21 64 39 193	№ 193	p. б/н (в гавань Мака)	кар.	С	1,0	1,0	0,5	0,5
76 21 64 42 194	№ 194	p. б/н (в гавань Мака)	дол.	СВ	3,5	3,5	2,0	2,0
76 21 64 45 195*	№ 195	p. б/н (в гавань Мака)	дол.	СЗ	2,4	2,4	1,1	1,1
76 26 65 03 196	№ 196	p. б/н (в Баренцево море)	пл. верш.	С	1,2	1,2	1,8	1,8
76 26 65 19 197*	№ 197	p. б/н (в Баренцево море)	пл. верш.	С	4,4	4,4	2,8	2,8
76 30 65 40 198*	№ 198	p. б/н (в зал. Иностранцева)	дол.	С	5,2	5,2	8,7	8,7
76 30 65 51 199*	№ 199	p. б/н (в зал. Иностранцева)	дол.	СВ	1,8	1,8	1,0	1,0
76 46 66 26 200	№ 200	p. б/н (в зал. Анны)	присклон.	СВ	0,7	0,7	1,3	1,3
76 48 66 36 201*	№ 201	p. б/н (в Баренцево море)	пл. верш.	ЮВ	2,4	2,4	1,2	1,2
76 53 66 52 202*	№ 202	p. б/н (в зал. Мелкий)	дол.	СВ	1,0	1,0	0,9	0,9
16 ледников							26,3	26,3

Всего в области покровного оледенения имеется 105 горных ледников (№ 98—202) общей площадью 385,7 км², равна 109,2 км², в бассейне Баренцева моря — 276,5 км².

Итого в пределах области покровного оледенения имеется 202 ледника общей площадью 20522,1 км², в том числе 806,7 км², 67 выводных и краевых ледников общей площадью 6640,2 км², 105 горных ледников общей площадью 385,7 км², расположенных в бассейне Карского моря, составляет 10004,4 км², в бассейне Баренцева моря — 10517,7 км².

ОБЛАСТЬ ОЛЕДЕНЕНИЯ, ПЕРЕХОДНОГО

Бассейн

Участок побережья между заливами								
74 33 57 30 203*	№ 203	p. б/н (в зал. Циволько)	дол. (выводн.)	ЮВ	19,3	19,2	143,1	142,9
74 27 57 43 204*	Ладыгина	Ладыгина	часть ледн. компл.	ЮВ	19,8	19,8	108,9	108,9
74 27 57 20 205*	№ 205	p. б/н (в Карское море)	дол. (выводн.)	ЮВ	19,5	19,5	107,3	107,3
3 ледника			часть ледн. компл.				359,3	359,1
Бассейн зал. Медвежьего								
74 22 52 10 206*	№ 206	p. б/н (в Карское море)	дол. (выводн.)	ЮВ	3,0	3,0	10,2	10,2
74 12 52 02 207*	№ 207	p. б/н (в Карское море)	дол. (выводн.)	В	6,0	6,0	10,1	10,1
часть ледн. компл.								

Высота, м			Фирновая линия		Площадь области аблации, км ²				Ссылки на последующие таблицы (иллюстрации)	
нижней точки конца ледника	нижней точки открытой части ледника	высокие точки ледника	высота, м	способ определения и дата	общая	в том числе открытой части	Объем льда, км ³		№ таблиц и иллюстраций порядковые № сведений в таблицах	
10	11	12	13	14	15	16	17	18		

200	200	530							
140	140	530							
200	200	450							
80	80	520	260	АФС 25/VII-52 г.	1,5	1,5			

выводными ледниками
(Баренцево море)

340	340	500							
250	250	500							
130	130	600							
550	550	830							
40	40	440							
60	60	660							
600	600	850							
20	20	500							
100	100	700							
500	500	(750)							
480	480	780							
120	120	1000							
200	200	490							
80	80	200							
240	240	270							
40	40	200							

Площадь морен на этих ледниках равна 0,5 км². Площадь горных ледников, расположенных в бассейне Карского моря, нерасчлененная часть ледникового щита и ледниковой шапки общей площадью 12689,5 км², 28 куполов общей площадью 12689,5 км². Площадь морен в области покровного оледенения равна 51,4 км². Площадь ледников области покровного оледенения,

ОТ ПОКРОВНОГО К ГОРНОМУ

Карского моря

Циволько и Медвежьим (Карское море)

400	420	1100	550	АФС 25/VII-52 г.	2,8	2,8			
110	110	840	560	АФС 25/VII-52 г.	37,4	37,4	V/81		
80	80	1130	370	АФС 25/VII-52 г.	10,3	10,3			

(Карское море)

1520 +520 760
520 520

200 200 690

№ по схеме	Название	Название реки, вытекающей из ледника, бухты, залива, моря, где оканчивается ледник	Морфологический тип	Общая экспозиция	Наибольшая длина, км		Площадь, км²	
					всего ледника	в том числе открытой части	всего ледника	в том числе открытой части
1	2	3	4	5	6	7	8	9
74 15 56 58 208*	Витте	зал. Медвежий	дол. (выводн.) часть ледн. компл.	ЮВ	32,1	32,1	194,0	194,0
74 09 57 13 209*	№ 209	р. б/н (в зал. Медвежий)	дол. (выводн.) часть ледн. компл.	В	8,8	8,8	23,8	23,8
74 07 57 18 210*	Ярошевского	р. б/н (в б. Романова)	дол. (выводн.) часть ледн. компл.	ЮВ	6,1	6,1	8,8	8,8
74 07 57 10 211*	Рейнгардта	р. б/н (в б. Романова)	дол. (выводн.) часть ледн. компл.	Ю	9,3	9,3	16,1	16,1
6 ледников							263,0	263,0
Бассейн губы Южная Сульменевая								
74 10 56 55 212*	№ 212	оз. Гольцовое	дол. (выводн.) часть ледн. компл.	ЮЗ	17,8	17,8	71,9	71,9
74 13 56 38 213*	№ 213	р. б/н (в оз. Гольцовое)	дол. (выводн.) часть ледн. компл.	З	14,2	14,2	54,2	54,2
74 19 56 15 214*	№ 214	р. б/н (в губу Южная Сульменевая)	дол. (выводн.) часть ледн. компл.	ЮЗ	20,8	20,8	250,0	249,1
74 21 55 56 215*	Шумный	р. б/н (в губу Южная Сульменевая)	дол. (выводн.) часть ледн. компл.	ЮЗ	17,9	17,9	97,1	96,5
4 ледника							473,2	473,2
Бассейн губы Северная								
74 25 56 10 216*	№ 216	р. б/н (в губу Северная Сульменевая)	дол. (выводн.) часть ледн. компл.	СЗ	5,0	5,0	4,8	4,8
74 26 56 13 217*	№ 217	р. б/н (в оз. Ледниково)	дол. (выводн.) часть ледн. компл.	СВ	5,3	5,3	9,4	9,4
74 23 56 19 218*	№ 218	р. б/н (в оз. Ледниково)	дол. (выводн.) часть ледн. компл.	СВ	4,3	4,3	2,8	2,8
74 21 56 43 219*	№ 219	р. б/н (в оз. Ледниково)	дол. (выводн.) часть ледн. компл.	С	7,9	7,9	17,2	16,2
74 21 56 49 220*	№ 220	оз. Ледниково	дол. (выводн.) часть ледн. компл.	СВ	7,4	7,4	16,2	16,2
74 19 57 02 221*	№ 221	р. б/н (в оз. Ледниково)	дол. (выводн.) часть ледн. компл.	С	7,0	7,0	14,2	14,2
74 23 57 14 222*	№ 222	оз. Ледниково	дол. (выводн.) часть ледн. компл.	ЮЗ	11,5	11,5	35,6	35,6

Высота, м			Фирновая линия		Площадь области аблации, км ²		Объем льда, км ³	Ссылки на последующие таблицы (иллюстрации)
нижней точки конца ледника	нижней точки открытой части ледника	высшей точки ледника	высота, м	способ определения и дата	общая	в том числе открытой части		
10	11	12	13	14	15	16	17	18

0 0 880 340 АФС 25/VII-52 г. 37,3 37,3 IV/24; V/81, 159, 175

160 160 820 420 АФС 25/VII-52 г. 8,6 8,6

40 40 550 350 АФС 25/VII-52 г. 3,7 3,7 IV/24; V/79, 81, 159, 175

50 50 920 430 АФС 25/VII-52 г. 2,3 2,3 IV/24; V/79, 81, 159, 175

моря (Баренцево море)

25 25 730 340 АФС 25/VII-52 г. 31,2 31,2 IV/12, 27, 31; V/19, 80, 98, 104, 105, 159

40 40 920 330 АФС 25/VII-52 г. 22,5 22,5 IV/12, 27, 31, V/28, 77, 79, 81, 98, 104, 109, 159

40 40 910

20 20 1050 300 АФС 25/VII-52 г. 51,0 50,0

Сульменевая (Баренцево море)

100 100 950 300 АФС 25/VII-52 г. 1,9 1,9

100 100 570 280 АФС 25/VII-52 г. 1,0 1,0 IV/31, V/77, 79, 81, 159

200 200 620 300 АФС 25/VII-52 г. 0,5 0,5

280 280 800 450 АФС 25/VII-52 г. 3,9 2,9

4 4 700 400 АФС 25/VII-52 г. 5,1 5,1

60 60 790

4 4 750 380 АФС 25/VII-52 г. 5,4 5,4

№ по схеме	Название	Название реки, вытекающей из ледника, бухты, залива, моря, где оканчивается ледник	Морфологический тип	Общая экспозиция	Наибольшая длина, км		Площадь, км²	
					всего ледника	в том числе открытой части	всего ледника	в том числе открытой части
1	2	3	4	5	6	7	8	9
74 32 56 57 223*	№ 223	оз. Ледниковое	дол. (выводы.) часть ледн. компл.	ЮЗ	26,8	26,8	169,1	169,1
74 33 56 28 224*	№ 224	оз. Ледниковое	дол. (выводы.) часть ледн. компл.	ЮЗ	17,1	17,1	76,1	76,1
74 34 56 15 225*	№ 225	р. б/н (в губу Северная Сульменевая)	дол. (выводы.) часть ледн. компл.	ЮЗ	15,2	15,2	59,1	59,1
	10 ледников						404,5	403,5
							Бассейн губы Машигина	
74 36 56 13 226*	№ 226	р. б/н (в губу Машигина)	дол. (выводы.) часть ледн. компл.	С	2,2	2,2	2,5	2,5
74 38 56 17 227*	Люнге	р. б/н (в губу Машигина)	дол. (выводы.) часть ледн. компл.	С	5,2	5,2	7,3	7,3
74 38 56 27 228*	Окленд	губа Машигина	дол. (выводы.) часть ледн. компл.	С	8,5	8,5	13,1	13,1
74 37 56 40 229*	Буля	губа Машигина	дол. (выводы.) часть ледн. компл.	С	15,5	15,5	94,5	94,5
74 38 57 12 230	Туманный	р. б/н (в губу Машигина)	дол. (выводы.) часть ледн. компл.	С	10,1	10,1	23,6	23,6
	5 ледников						141,0	141,0

Всего в области оледенения, переходного от покровного к горному, имеется 28 ледников переходных форм общей площадью 1018,7 км² — в бассейне Баренцева моря.
Площадь морей равна 1,2 км².

ГОРНЫЕ ЛЕДНИКИ В ОБЛАСТИ ПОКРОВНОГО

Бассейн Карского моря

74 34 57 51 231*	№ 231		дол.	В	2,4	2,4	3,0	3,0
74 35 57 49 232*	№ 232		дол.	ЮВ	1,7	1,7	1,0	1,0
74 31 57 48 233*	№ 233		дол.	В	2,1	2,1	2,9	2,9
74 26 57 53 234*	№ 234		дол.	В	4,7	4,7	2,9	2,9
74 25 57 32 235*	№ 235		дол.	ЮВ	2,1	2,1	1,1	1,1
74 25 57 28 236*	№ 236		дол.	ЮВ	2,2	2,2	1,5	1,5
74 25 57 26 237*	№ 237		кар.	В	1,7	1,7	0,7	0,7
74 23 57 27 238*	№ 238		дол.	ЮВ	1,2	1,2	0,8	0,8
74 22 57 19 239*	№ 239	р. б/н (в Карское море)	дол.	СВ	2,8	2,8	3,1	3,1
74 21 57 34 240*	№ 240	р. б/н (в Карское море)	дол.	В	6,5	6,5	10,8	10,8
74 21 57 35 241	№ 241	р. б/н (в Карское море)	кар.	СВ	1,0	1,0	0,4	0,4
74 18 57 01 242*	№ 242		дол.	Ю	2,2	2,2	0,9	0,9
74 20 57 30 243*	№ 243		дол.	Ю	1,9	1,9	0,5	0,5
74 22 57 17 244*	№ 244		дол.	В	5,8	5,8	4,6	4,6
74 19 57 11 245*	№ 245		дол.	В	2,4	2,4	1,0	1,0
74 15 57 16 246*	№ 246		дол.	В	3,2	3,2	2,9	2,9
74 11 57 07 247*	№ 247		сл. дол.	В	3,1	3,1	1,4	1,4
	17 ледников						39,5	39,5

Высота, м.			Фирновая линия		Площадь области аблации, км ²		Ссылки на последующие таблицы (иллюстрации) № таблиц и иллюстраций порядковые № сведений в таблицах	
из- шней точки конца лед- ника	низ- шей точки от- кры- той части лед- ника	выс- шей точки лед- ника	вы- сота, м	спосо- б опреде- ления и дата	общая	в том числе откры- той части		
10	11	12	13	14	15	16	17	18

4 4 980 280—340 АФС 25/VII-52 г. 23,1 23,1 V/79

4 4 600 300 АФС 25/VII-52 г. 20,6 20,6 IV/31; V/77, 79, 81, 159

13 13 700 300 АФС 25/VII-52 г. 20,8 20,8 IV/31; V/77, 79, 81, 159

(Баренцево море)

260 260 470 450 АФС 25/VII-52 г. 1,4 1,4

160 160 800 330 АФС 25/VII-52 г. 1,4 1,4 IV/32; V/15, 79, 81, 159, 168

0 0 800 490 АФС 25/VII-52 г. 5,7 5,7 IV/25, 32; V/15, 74, 77, 79, 81, 159, 168, 171

0 0 800 300 АФС 25/VII-52 г. 11,8 11,8 IV/25, 27, 32; V/15, 74, 77, 79, 81, 104, 105, 159, 168

100 100 1030 530 АФС 25/VII-52 г. 9,8 9,8 IV/32; V/79, 159, 168

площадью 1641,0 км², из них 9 ледников общей площадью 622,3 км² находится в бассейне Карского моря и 19 ледников

ОЛЕДЕНЕНИЯ, ПЕРЕХОДНОГО К ГОРНОМУ

400 400 670

400 400 630

100 100 420

220 220 580

300 300 700

250 250 930

250 250 540

280 280 570

250 250 680

270 270 710

330 330 460

200 200 670

260 260 620

400 400 500

540 540 1000

290 290 690

190 190 700

№ по схеме	Название	Название реки, вытекающей из ледника, бухты, залива, моря, где оканчивается ледник	Морфологический тип	Общая экспозиция	Наибольшая длина, км		Площадь, км²	
					всего ледника	в том числе открытой части	всего ледника	в том числе открытой части
1	2	3	4	5	6	7	8	9
7412 56 32 248	№ 248	р. б/н (в оз. Гольцово)	пл. верш.	З	1,5	1,5	1,7	1,7
7412 56 27 249*	№ 249	оз. Гольцово	сл. дол.	ЮВ	6,0	6,0	10,3	10,3
7411 56 24 250*	№ 250	р. б/н (в оз. Гольцово)	сл. дол.	Ю	8,2	8,2	16,5	16,5
7410 56 26 251	№ 251	р. б/н (в оз. Гольцово)	вис.	ЮЗ	0,5	0,5	0,2	0,2
7410 56 27 252	№ 252	р. б/н (в оз. Гольцово)	кар.-дол.	СВ	1,6	1,6	0,9	0,9
7411 56 26 253	№ 253	р. б/н (в оз. Гольцово)	дол.	В	2,0	2,0	1,0	1,0
7409 56 26 254	№ 254	р. б/н (в оз. Гольцово)	дол.	ЮЗ	3,0	3,0	1,4	1,4
7409 56 21 255	№ 255	р. б/н (в оз. Гольцово)	вис.	СЗ	1,2	1,2	0,6	0,6
7410 56 20 256	№ 256	р. б/н (в оз. Гольцово)	кар.-дол.	С	0,7	0,7	0,2	0,2
7410 56 21 257	№ 257	р. б/н (в оз. Гольцово)	дол.	ЮЗ	2,1	2,1	1,5	1,5
7411 56 21 258	№ 258	р. б/н (в оз. Гольцово)	дол.	ЮЗ	5,1	5,1	4,4	4,4
7415 56 11 259*	№ 259	р. б/н (в оз. Гольцово)	пл. верш.	СЗ	3,0	3,0	7,2	7,2
7418 55 52 260	№ 260	р. б/н (в губу Южная Сульменевая)	дол.	С, ЮЗ	3,0	3,0	1,2	1,2
7419 55 51 261*	№ 261		вис.	СВ	1,0	1,0	0,6	0,6
	14 ледников						47,7	47,7
Бассейн губы Южная								
7425 55 44 262	№ 262	р. б/н (в губу Северная Сульменевая)	кар.	С	0,4	0,4	0,2	0,2
7424 55 46 263	№ 263	р. б/н (в губу Северная Сульменевая)	вис.	СЗ	0,4	0,4	0,2	0,2
7425 55 51 264*	№ 264	р. б/н (в губу Северная Сульменевая)	дол.	В	2,4	2,4	2,1	2,1
7424 55 55 265	№ 265	р. б/н (в губу Северная Сульменевая)	вис.	СЗ	0,7	0,7	0,2	0,2
7424 54 59 266	№ 266	р. б/н (в губу Северная Сульменевая)	кар.	СЗ	0,4	0,4	0,3	0,3
7425 56 19 267*	№ 267	р. б/н (в оз. Ледниково)	дол.	С3	4,0	4,0	2,2	2,2
7425 56 24 268	№ 268	р. б/н (в оз. Ледниково)	дол.	В	5,1	5,1	2,4	2,4
7425 56 28 269*	№ 269		дол.	В	1,3	1,3	0,7	0,7
7424 56 25 270	№ 270	р. б/н (в оз. Ледниково)	сл. дол.	СВ	4,3	4,3	2,6	2,6
7422 56 27 271	№ 271	р. б/н (в оз. Ледниково)	сл. дол.	СВ	5,0	5,0	2,5	2,5
7422 56 31 272	№ 272	р. б/н (в оз. Ледниково)	сл. дол.	С	7,0	7,0	5,2	5,2
7423 56 37 273	№ 273	р. б/н (в оз. Ледниково)	дол.	СЗ	2,5	2,5	0,7	0,7
7421 56 50 274*	№ 274	оз. Ледниково	дол.	СВ	5,0	5,0	8,2	8,2
7421 57 12 275*	№ 275		дол.	С	1,9	1,9	1,0	1,0
7424 57 12 276*	№ 276		вис.	Ю	1,0	1,0	0,3	0,3
7423 57 07 277*	№ 277		вис.	Ю	1,0	1,0	0,5	0,5
7424 57 04 278	№ 278	р. б/н (в оз. Ледниково)	сл. дол.	ЮЗ	4,2	4,2	4,6	4,6
7427 57 00 279*	№ 279	оз. Ледниково	сл. дол.	Ю	10,1	10,1	22,9	22,9
7422 56 53 280	№ 280	оз. Ледниково	сл. дол.	ЮЗ	5,1	5,1	4,3	4,3
7429 56 50 281*	№ 281		дол.	СЗ	4,2	4,2	9,2	9,2
7428 56 48 282*	№ 282		дол.	СЗ	2,3	2,3	1,0	1,0
7430 56 33 283*	№ 283		вис.	ЮВ	0,6	0,6	0,2	0,2
7430 56 35 284*	№ 284	р. б/н (в оз. Ледниково)	дол.	Ю	1,3	1,3	0,8	0,8
	23 ледника						72,3	72,3
Бассейн губы Северная								

Высота, м			Фирновая линия		Площадь области аблации, км ²		Объем льда, км ³	Ссылки на последующие таблицы (илюстрации) № таблиц и иллюстраций
нижней точки конца ледника	нижней точки открытой части ледника	высшей точки ледника	высота, м	способ определения и дата	общая	в том числе открытой части		
10	11	12	13	14	15	16	17	18

Сульменевая (Баренцево море)

400	400	700
220	220	720
25	25	820
440	440	580
180	180	650
200	200	820
180	180	700
700	700	800
150	150	620
380	380	850
110	110	1050
300	300	680
200	200	470
540	540	720

Сульменевая (Баренцево море)

200	200	340						
430	430	550						
230	230	680	300	АФС 25/VII-52 г.	0,3	0,3		
140	140	400						
200	200	400						
200	200	800						
230	230	700	380	АФС 25/VII-52 г.	0,4	0,4		
280	280	800						
170	170	720						
140	140	550						
130	130	1100						
520	520	1200						
4	4	690	300	АФС 25/VII-52 г.	1,1	1,1		
400	400	800						
350	350	700						
380	380	900						
160	160	960	520	АФС 25/VII-52 г.	1,0	1,0		
4	4	1050	520	АФС 25/VII-52 г.	5,5	5,5		
4	4	740	450	АФС 25/VII-52 г.	1,4	1,4		
190	190	980	540	АФС 25/VII-52 г.	3,2	3,2		
200	200	850	550	АФС 25/VII-52 г.	0,4	0,4		
300	300	650						
140	140	780						

№ по схеме	Название	Название реки, вытекающей из ледника, бухты, залива, моря, где оканчивается ледник	Морфологический тип	Общая экспозиция	Наибольшая длина, км		Площадь, км ²	
					всего ледника	в том числе открытой части	всего ледника	в том числе открытой части
1	2	3	4	5	6	7	8	9

Бассейн губы Магиана								
74 38 56 21 285*	№ 285	р. б/н (в губу Магиана)	дол.	С	2,3	2,3	1,8	1,8
74 41 56 21 286	№ 286	р. б/н (в губу Магиана)	кар.	ЮВ	1,1	1,1	0,8	0,8
74 38 56 42 287*	№ 287	р. б/н (в губу Магиана)	дол.	С	3,5	3,5	3,1	3,1
74 38 56 50 288*	№ 288	р. б/н (в губу Магиана)	дол.	СВ	1,2	1,2	1,0	1,0
74 36 56 56 289*	№ 289	р. б/н (в губу Магиана)	сл. дол.	С	11,3	11,3	22,5	22,3
74 38 57 03 290*	№ 290	р. б/н (в губу Магиана)	дол.	СВ	4,2	4,2	6,8	6,8
74 36 57 12 291*	№ 291	р. б/н (в губу Магиана)	дол.	СВ	6,2	6,2	7,1	7,1
74 37 57 19 292*	№ 292 8 ледников		сл. дол.	С3	5,8	5,8	8,1	7,9
							51,2	50,8

Всего в области оледенения, переходного от покровного к горному, имеется 62 горных ледника общей площадью 210,7 км². Площадь морен на горных ледниках равна 0,4 км². Площадь горных ледников, расположенных в бассейне

Всего в области оледенения, переходного от покровного к горному, имеется 90 ледников (№ 203—292) общей площа

Площадь морен во всей области переходного оледенения равна 1,6 км².

Площадь области оледенения, переходного от покровного к горному, в бассейне Карского моря, равна 661,8 км², в

ОБЛАСТЬ ГОРНОГО

СЕВЕРНЫЙ

Бассейн б. Романова								
74 03 56 50 293	№ 293	р. б/н (в б. Романова)	дол.	СВ	1,2	1,2	0,4	0,4
74 04 56 58 294	№ 294	р. б/н (в б. Романова)	сл. дол.	СВ	3,8	3,8	3,4	3,4
74 02 56 59 295*	№ 295	р. б/н (в б. Романова)	дол.	В, СВ	5,3	5,3	4,3	4,3
			часть ледн. компл.					
74 02 57 05 296*	№ 296	р. б/н (в б. Романова)	склон.	СВ	3,5	3,5	22,9	22,9
74 01 57 20 297	№ 297 5 ледников	р. б/н (в б. Романова)	часть ледн. компл.	дол.	СВ	4,0	4,0	8,0
							39,0	39,0
Бассейн р. Байдарки								
74 00 57 07 298*	№ 298	Байдарка	склон.	ЮВ	10,3	10,3	47,4	47,4
			часть ледн. компл.					
	1 ледник						47,4	47,4
Бассейн зал. Незнаемый								
73 56 56 32 299	№ 299	р. б/н (в зал. Незнаемый)	кар.-дол.	ЮВ	1,2	1,2	0,7	0,7
73 55 56 33 300	№ 300	р. б/н (в зал. Незнаемый)	дол.	С	0,8	0,8	0,8	0,8
73 56 56 23 301*	Макарова-Жерве	р. б/н (в зал. Незнаемый)	дол.	СВ, ЮВ	6,2	6,2	10,4	10,4
			часть ледн. компл.					
73 54 56 25 302*	№ 302	р. б/н (в зал. Незнаемый)	склон.	В	5,1	5,1	11,4	11,4
73 53 56 27 303*	№ 303	р. б/н (в зал. Незнаемый)	дол.	С	1,8	1,8	0,5	0,5
73 53 56 27 304	Глубокий	р. б/н (в зал. Незнаемый)	дол.	ЮВ	2,2	2,2	0,8	0,8
73 48 56 31 305*	№ 305	р. б/н (в зал. Незнаемый)	дол.	С3	4,2	4,2	6,5	6,5
73 50 56 33 306*	№ 306	р. б/н (в зал. Незнаемый)	дол.	С	1,6	1,6	0,9	0,9
73 49 56 34 307*	№ 307	р. б/н (в зал. Незнаемый)	кар.-дол.	С	2,2	2,2	1,8	1,8
73 49 56 38 308*	Краснова	р. б/н (в зал. Незнаемый)	сл. дол.	СВ	8,5	8,5	12,4	12,4

Высота, м			Фирновая линия			Площадь области аблации, км ²		Ссылки на последующие таблицы (иллюстрации) № таблиц и иллюстраций
низ- шей точки конца лед- ника	низ- шей точки от- кры- той части лед- ника	выс- шей точки лед- ника	вы- сота, м	спосо- б опреде- ления и дата	общая	в том числе откры- той части	порядковые № сведений в таблицах	
10	11	12	13	14	15	16	17	18

(Баренцево море)

340	340	900						
200	200	720						
120	120	500	440	АФС 25/VII-52 г.	0,8	0,8		
320	320	570	450	АФС 25/VII-52 г.	0,3	0,3		
90	90	820						
160	160	820	350	АФС 25/VII-52 г.	2,1	2,1		
200	200	920						
250	250	1070	500	АФС 25/VII-52 г.	1,9	1,7		

Карского моря, равна 39,5 км², в бассейне Баренцева моря — 171,2 км²,
дъю 1851,7 км².

бассейне Баренцева моря — 1189,9 км².

ОЛЕДЕНЕНИЯ**ОСТРОВ****Карского моря**

(з а л. Медвежий, Карское море)

320	320	540						
160	160	1000						
300	300	1020						

280	280	980						
270	270	500						

(Карское море)

220	220	1200						
-----	-----	------	--	--	--	--	--	--

(Карское море)

390	390	700	540	АФС 15/VII-52 г.	0,2	0,2		
400	400	700						
200	200	800	330	АФС 15/VII-52 г.	5,1	5,1		
130	130	800	300	АФС 15/VII-52 г.	2,8	2,8	V/105	
160	160	600	450	АФС 15/VII-52 г.	0,2	0,2		
260	260	650	380	АФС 15/VII-52 г.	0,3	0,3	V/159	
300	300	870						
250	250	700						
350	350	780						
80	80	1000	350	АФС 15/VII-52 г.	2,8	2,8	IV/36; V/159; V/109	

№ по схеме	Название	Название реки, вытекающей из ледника, бухты, залива, моря, где оканчивается ледник	Морфологический тип	Общая экспозиция	Наибольшая длина, км		Площадь, км²	
					всего ледника	в том числе открытой части	всего ледника	в том числе открытой части
1	2	3	4	5	6	7	8	9
73 50 56 39 309*	№ 309	р. б/н (в зал. Незнаемый)	кар.	ЮВ	0,8	0,8	0,4	0,4
73 49 56 37 310*	№ 310	р. б/н (в зал. Незнаемый)	кар.	ЮВ	0,8	0,8	0,3	0,3
73 49 56 46 311	№ 311	р. б/н (в зал. Незнаемый)	кар.	В	1,2	1,2	0,4	0,4
73 48 56 46 312	№ 312	р. б/н (в зал. Незнаемый)	дол.	СВ	3,9	3,9	1,5	1,5
14 ледников						48,8	48,8	
Бассейн безымянной реки								
73 42 56 45 313*	№ 313 1 ледник	р. б/н (Карское море)	сл. дол.	ЮВ	4,5	4,5	5,4	5,4
							5,4	5,4
Бассейн руч. Миллера (б. Семенова, заливы								
73 46 56 39 314*	№ 314	пр. руч. Миллера	дол.	Ю	6,5	6,5	7,7	7,7
73 47 56 21 315	№ 315	руч. Миллера	дол.	С	2,8	2,8	1,8	1,8
73 46 56 20 316	№ 316	пр. руч. Миллера	кар.-дол.	В	2,2	2,2	1,8	1,8
73 43 56 15 317	№ 317	пр. руч. Миллера	присклон.	С3	0,6	0,6	1,4	1,4
73 48 56 15 318	№ 318	пр. руч. Миллера	дол.	В	1,0	1,0	0,5	0,5
73 50 56 24 319*	№ 319	пр. руч. Миллера	дол., перем.	С	2,4	2,4	1,5	1,5
6 ледников						14,7	14,7	
Бассейн безымянной реки								
73 39 56 26 320*	№ 320	р. б/н (в зал. Тыртова)	сл. дол., перем.	ЮВ	6,5	6,5	10,8	10,8
73 39 56 31 321*	№ 321	р. б/н (в зал. Тыртова)	кар.	ЮЗ	1,0	1,0	0,5	0,5
73 38 56 22 322*	№ 322	р. б/н (в зал. Тыртова)	сл. дол., перем.	ЮВ	9,5	9,5	21,8	21,8
73 36 56 25 323*	№ 323	р. б/н (в зал. Тыртова)	дол.	СВ	2,6	2,6	2,3	2,3
73 35 56 19 324*	№ 324 56	оз. бессточное	дол.	СВ	5,8	5,8	7,2	7,2
73 34 56 20 325*	№ 325	р. б/н (в зал. Тыртова)	часть ледн. компл.	В	125,0	125,0	12,9	12,9
6 ледников						55,5	55,5	
Бассейн руч. Носилова (зал.								
73 31 56 19 326*	№ 326	руч. Носилова	дол. часть ледн. компл.	СВ, ЮВ	117,0	117,0	35,6	35,6
1 ледник						35,6	35,6	
Бассейн зал. Канкрина								
73 28 56 16 327*	№ 327	р. б/н (в зал. Канкрина)	дол. часть ледн. компл.	В	8,8	8,8	13,6	13,6
73 29 56 23 328*	№ 328	р. б/н (в зал. Канкрина)	присклон.	Ю	1,2	1,2	2,2	2,2
73 26 56 16 329*	№ 329	р. б/н (в зал. Канкрина)	дол.	Ю	2,6	2,6	1,5	1,5
73 27 56 11 330*	№ 330	р. б/н (в зал. Канкрина)	дол.	Ю	2,5	2,5	2,5	2,5
4 ледника						19,8	19,8	
Всего в бассейне Карского моря на Северном острове имеется 38 ледников общкой площадью 266,2 км².								
Бассейн пролива Губы Белужье								
73 28 56 06 331	№ 331	р. б/н (в губу Белужью)	кар.	3	0,6	0,6	0,2	0,2
73 19 56 05 332	№ 332	р. б/н (в губу Белужью)	кар.	3	0,8	0,8	0,4	0,4
73 30 56 11 333*	№ 333	р. б/н (в губу Белужью)	дол. часть ледн. компл.	3	3,9	3,9	5,2	5,2

Высота, м			Фирновая линия		Площадь области аблации, км ²		Объем льда, км ³	Ссылки на последующие таблицы (иллюстрации) № таблиц и иллюстраций порядковые № сведений в таблицах
низшей точки конца ледника	нижней точки открытой части ледника	высшей точки ледника	высота, м	способ определения и дата	общая	в том числе открытой части		
10	11	12	13	14	15	16	17	18

300 300 620

500 500 780

400 400 800

370 370 800

(Карское море)

450 450 850

Ермолова и Чекина, Карское море)

220 220 1080 450 АФС 15/VII-52 г.

300 300 770

320 320 700

400 400 700

320 320 620

400 400 720

1,1

1,1

V/81

V/81

(заливы Тыртова и Чекина, Карское море)

180 180 870 400 АФС 15/VII-52 г.

480 480 700

100 100 850 450 АФС 15/VII-52 г.

310 310 700 400 АФС 15/VII-52 г.

414 414 1000 480 АФС 15/VII-52 г.

130 130 1000 550 АФС 15/VII-52 г.

2,5

2,5

V/81

5,1

5,1

0,3

0,3

0,7

0,7

3,9

3,9

Чекина, Карское море)

300 300 1000 500 АФС 15/VII-52 г.

8,2

8,2

(Карское море)

340 340 850 600 АФС 15/VII-52 г.

420 420 780

540 540 740

580 580 840

3,5

3,5

V/81

Маточкин Шар

(прол. Маточкин Шар)

780 780 1000

770 770 1000

380 380 820 700 АФС 30/VIII-52 г.

2,0

2,0

№ по схеме	Название	Название реки, вытекающей из ледника, бухты, залива, моря, где оканчивается ледник	Морфологический тип	Общая экспозиция	Наибольшая длина, км		Площадь, км²	
					всего ледника	в том числе открытой части	всего ледника	в том числе открытой части
1	2	3	4	5	6	7	8	9
73 30 56 08 334*	№ 334	р. б/н (в губу Белужью)	дол. часть ледн. компл.	С	1,5	1,5	0,6	0,6
73 31 56 13 335*	№ 335	р. б/н (в губу Белужью)	дол. часть ледн. компл.	СЗ	1,6	1,6	1,2	1,2
73 36 55 54 336*	№ 336	р. б/н (в губу Белужью)	дол.	ЮВ	1,5	1,5	1,3	1,3
73 35 55 54 337	№ 337	р. б/н (в губу Белужью)	присклон.	ЮВ	1,0	1,0	1,5	1,5
73 35 55 51 338	№ 338	р. б/н (в губу Белужью)	дол.	ЮВ	1,8	1,8	1,0	1,0
73 30 55 38 339*	№ 339	р. б/н (в губу Белужью)	кар.-дол.	СВ	1,3	1,3	0,7	0,7
73 30 55 41 340	№ 340	р. б/н (в губу Белужью)	кар.	С	0,7	0,7	0,5	0,5
73 25 55 41 341	№ 341	р. б/н (в губу Белужью)	кар.	В	0,4	0,4	0,5	0,5
73 24 55 38 342*	№ 342	р. б/н (в губу Белужью)	дол.	ЮВ	3,4	3,4	1,7	1,7
73 25 55 40 343*	№ 343	р. б/н (в губу Белужью)	кар.	ЮЗ	0,8	0,8	0,3	0,3
73 22 55 51 344	№ 344	р. б/н (в губу Белужью)	дол.	ЮВ	2,2	2,2	2,1	2,1
73 21 55 50 345	№ 345	р. б/н (в губу Белужью)	кар.-дол.	СВ	2,3	2,3	0,9	0,9
15 ледников							18,1	18,1
Участок побережья между губой Белужьей								
73 24 55 36 346*	№ 346	р. б/н (в прол. Маточкин Шар)	кар.	ЮВ	1,2	1,1	0,9	0,9
73 24 55 35 347*	Лагерный	р. б/н (в прол. Маточкин Шар)	дол.	ЮВ	3,4	3,1	3,0	2,8
73 23 55 32 348	Снятогор	р. б/н (в прол. Маточкин Шар)	дол.	ЮВ	4,5	4,4	3,9	3,6
73 22 55 32 349	Крутой	р. б/н (в прол. Маточкин Шар)	присклон.	ЮВ	0,7	0,7	0,7	0,7
73 22 55 32 350	№ 350	р. б/н (в прол. Маточкин Шар)	кар.	ЮВ	0,6	0,6	0,2	0,2
73 22 55 30 351	№ 351	р. б/н (в прол. Маточкин Шар)	присклон.	СВ	0,4	0,4	0,2	0,2
73 22 55 25 352	Амеба	р. б/н (в прол. Маточкин Шар)	дол.	СВ, Ю	3,9	3,9	2,8	2,8
73 22 55 25 353*	№ 353	р. б/н (в прол. Маточкин Шар)	кар.	В	1,2	1,2	0,5	0,5
73 24 55 29 354*	Обрывистый	пр. р. Шалоник	дол.	С3	2,5	2,5	0,6	0,6
73 25 55 32 355*	№ 355	пр. р. Шалоник	дол.	С3	1,3	1,3	0,3	0,3
73 25 55 34 356*	№ 356	пр. р. Шалоник	дол.	С	2,4	2,4	0,5	0,5
73 25 55 35 357*	№ 357	пр. р. Шалоник	дол.	С	1,5	1,5	0,5	0,5
73 25 55 37 358*	№ 358	пр. р. Шалоник	склон.	СВ	2,1	2,1	1,2	1,2
73 26 55 27 359	№ 359	пр. р. Шалоник	кар.-дол.	В	2,4	2,3	2,7	2,7
73 26 55 16 360*	№ 360	пр. р. Шалоник	кар.-дол.	В, ЮВ	1,5	1,3	0,6	0,4
73 25 55 17 361*	№ 361	пр. р. Шалоник	вис.кар.	ЮВ	1,4	1,4	0,9	0,9
73 24 55 16 362*	№ 362	пр. р. Шалоник	кар.	ЮВ	0,6	0,6	0,3	0,3
73 26 55 10 363*	№ 363	р. б/н (в прол. Маточкин Шар)	дол., перем.	ЮЗ	1,9	1,9	1,0	1,0
73 27 55 08 364*	№ 364	р. б/н (в прол. Маточкин Шар)	дол.	ЮЗ	2,2	2,2	1,1	1,1
73 27 55 04 365*	Третьякова	р. б/н (в прол. Маточкин Шар)	сл. дол.	ЮЗ	4,8	4,8	4,2	4,1
73 26 54 59 366*	№ 366	р. б/н (в прол. Маточкин Шар)	кар.-дол.	ЮЗ	1,8	1,8	0,6	0,6
73 27 54 57 367*	№ 367	р. б/н (в прол. Маточкин Шар)	дол.	ЮЗ	1,4	1,4	0,2	0,2
73 27 54 54 368	№ 368	р. б/н (в прол. Маточкин Шар)	дол.	ЮЗ	1,6	1,6	0,3	0,3
23 ледника							27,2	26,4

Высота, м			Фирновая линия		Площадь области аблации, км ²		Объем льда, км ³	Ссылки на последующие таблицы (иллюстрации)
нижней точки конца ледника	нижней точки открытой части ледника	высшей точки ледника	высота, м	способ определения и дата	общая	в том числе открытой части		
10	11	12	13	14	15	16	17	18
600	600	980	700	АФС 30/VIII-52 г.	0,2	0,2		
640	640	720						
520	520	650						
420	420	600						V/81
500	500	820						
350	350	600						
350	350	580						
370	370	600						
390	390	820	650	АФС 30/VIII-52 г.	1,1	1,1		
600	600	700						
400	400	780						
360	360	700						
и устьем р. Епишкина (прол. Маточкин Шар)								
520	530	820						
220	250	830	550	АФС 30/VIII-52 г.	1,4	1,2		
220	240	750	450	АФС 30/VIII-52 г.	1,5	1,2		
440	440	780		АФС 30/VIII-52 г.				
200	200	400	350	АФС 30/VIII-52 г.				
360	360	630	450	АФС 30/VIII-52 г.				
220	220	700	470	АФС 30/VIII-52 г.	1,5	1,5		
240	240	650	430	АФС 30/VIII-52 г.	0,2	0,2		
200	200	820	550	АФС 30/VIII-52 г.	0,3	0,3		
360	360	930	550	АФС 30/VIII-52 г.	0,1	0,1		
280	280	900	550	АФС 30/VIII-52 г.	0,1	0,1		
360	360	720	550	АФС 30/VIII-52 г.	0,1	0,1		
450	450	750	600	АФС 30/VIII-52 г.	0,2	0,2		
310	310	800	420	АФС 30/VIII-52 г.	0,4	0,4		
300	340	880	500	АФС 30/VIII-52 г.	0,3	0,1		
200	200	400	300	АФС 30/VIII-52 г.	0,2	0,2		
240	240	400	300	АФС 30/VIII-52 г.	0,1	0,1		
380	380	900						
330	330	850	600	АФС 30/VIII-52 г.	0,4	0,4		
50	50	900	450	АФС 30/VIII-52 г.	1,6	1,5		V/159
220	220	700						
200	200	800						
180	180	900						

№ по схеме	Название	Название реки, вытекающей из ледника, бухты, залива, моря, где окачивается ледник	Морфологический тип	Общая экспозиция	Наибольшая длина, км		Площадь, км²	
					всего ледника	в том числе открытой части	всего ледника	в том числе открытой части
1	2	3	4	5	6	7	8	9

Бассейн р. Епишкина

73 28	57 55	369*	№ 369	пр. р. Епишкина	асимм. дол.	С	4,6	4,6	5,2	5,2
73 29	57 00	370*	№ 370	пр. р. Епишкина	дол.	СС	0,8	0,8	0,3	0,3
73 28	57 01	371*	№ 371	пр. р. Епишкина	сл. дол.	С	3,6	3,2	4,2	3,7
73 29	57 05	372	№ 372	пр. р. Епишкина	кар.	С	0,6	0,6	0,2	0,2
73 22	57 06	373	№ 373	пр. р. Епишкина	кар.-дол.	С	0,9	0,9	0,4	0,4
73 22	57 08	374	№ 374	пр. р. Епишкина	дол.	СВ	2,0	2,0	0,9	0,9
73 27	57 08	375*	№ 375	пр. р. Епишкина	дол.	СВ	1,0	1,0	0,3	0,3
73 22	57 11	376*	№ 376	пр. р. Епишкина	кар.-дол.	СВ	1,2	1,2	0,7	0,7
73 24	57 13	377*	№ 377	пр. р. Епишкина	дол., перем.	СВ	3,4	3,4	2,2	1,7
73 27	57 16	378	№ 378	пр. р. Епишкина	дол.	С	1,0	1,0	0,2	0,2
73 30	57 31	379*	№ 379	пр. р. Епишкина	дол., перем.	ЮВ	2,8	2,8	2,4	2,4
73 31	57 24	380*	№ 380	Епишкина	вис.	ЮЗ	0,4	0,4	0,3	0,3
73 31	57 15	381*	№ 381	пр. р. Епишкина	дол.	З	6,8	6,8	5,8	5,6
73 33	57 11	382*	Вздыбленный	пр. р. Епишкина	сл. дол.	ЮЗ	9,8	9,8	25,1	25,0
73 33	57 06	383	№ 383	пр. р. Епишкина	дол.	Ю, З	1,3	1,3	0,8	0,8
15 ледников									49,0	47,7

Всего в бассейне прол. Маточкин Шар на Северном острове имеется 53 ледника общей площадью 94,3 км².

Бассейн Баренцева моря
Бассейн губы Серебрянка

73 31	54 39	384	№ 384	пр. р. Серебрянки	кар.	ЮВ	0,4	0,4	0,1	0,1
73 31	54 34	385*	Гордеева	Серебрянка	дол.	ЮВ	6,8	6,8	12,4	12,4
73 30	54 31	386*	№ 386	пр. р. Серебрянки	дол.	ЮВ	4,0	4,0	3,8	3,8
73 30	54 31	387*	№ 387	пр. р. Серебрянки	кар.-дол.	ЮВ	0,9	0,9	0,2	0,2
73 29	54 30	388	№ 388	р. б/н (в губу Серебрянка)	дол.	ЮВ	1,7	1,7	0,5	0,5
73 29	54 29	389*	№ 389	р. б/н (в губу Серебрянка)	дол.	ЮВ	2,8	2,8	2,6	2,4
73 29	54 27	390	№ 390	р. б/н (в губу Серебрянка)	кар.-дол.	ЮВ	1,6	1,3	0,7	0,6
73 28	54 26	391*	№ 391	р. б/н (в губу Серебрянка)	кар.	ЮВ	0,9	0,7	0,2	0,2
8 ледников										20,5

Бассейн губы Митюшиха от м. Митюшев

73 30	54 26	392	№ 392	р. б/н (в губу Митюшиха)	дол.	С3	0,9	0,9	0,4	0,4
73 32	54 32	393	№ 393	р. б/ц (в губу Митюшиха)	дол.	С3	1,7	1,7	0,4	0,4
73 32	54 34	394*	№ 394	р. б/н (в губу Митюшиха)	кар.-дол.	С3	1,5	1,5	0,8	0,8
73 34	54 42	395	№ 395	пр. р. Светлой	кар.	ЮВ	1,2	1,0	0,4	0,4
73 33	54 41	396	№ 396	пр. р. Светлой	кар.	В	0,4	0,4	0,1	0,1
73 33	54 37	397*	Кольцова	Светлая	сл. дол.	В	3,9	3,9	7,2	7,1
73 32	55 12	398*	Бычкова	Мутная	дол.	С3	9,2	9,2	15,5	15,2
73 34	55 09	399*	№ 399	пр. р. Мутной	дол.	С3	1,3	1,3	0,3	0,3
73 34	55 11	400*	№ 400	пр. р. Мутной	дол.	С3	1,3	1,3	0,7	0,7
73 34	55 08	401*	№ 401	пр. р. Мутной	присклон.	ЮВ	1,2	1,2	0,5	0,5
73 40	55 04	402	№ 402	р. б/н (в губу Митюшиха)	дол.	С	1,0	1,0	0,3	0,3
73 39	55 03	403	№ 403	пр. руч. Подгорного	дол.	ЮВ	2,0	2,0	1,4	1,4
73 37	55 06	404	№ 404	пр. руч. Подгорного	склон.	СВ	0,4	0,4	0,4	0,4
73 37	55 08	405	№ 405	пр. руч. Подгорного	присклон.	СВ	0,4	0,4	0,3	0,3
73 36	55 14	406*	№ 406	пр. руч. Подгорного	дол.	С3	2,5	2,5	2,4	2,4
73 37	55 17	407*	№ 407	пр. руч. Подгорного	присклон.	ЮЗ	0,4	0,4	0,5	0,5
73 35	55 21	408*	Хрустальный	песчаная	сл. дол.	С	4,8	4,8	4,7	4,6
73 32	55 20	409*	№ 409	пр. р. Песчаной	дол.	СВ	2,5	2,5	1,2	1,2
73 37	55 19	410*	№ 410	пр. р. Песчаной	кар.-вис.	ЮВ	1,5	1,5	0,7	0,7
73 35	55 23	411*	№ 411	пр. р. Песчаной	присклон.	ЮВ	0,3	0,3	0,1	0,1
73 35	55 23	412*	№ 412	пр. р. Песчаной	дол.	С	1,5	1,5	0,9	0,9
73 35	55 27	413*	№ 413	пр. р. Песчаной	склон., перем.	СВ	1,8	1,8	1,8	1,8
22 ледника									41,0	40,5

№ 11 — 73 38 / 55 21 ;

411-105

Высота, м			Фирновая линия		Площадь области аблации, км ²		Ссылки на последующие таблицы (иллюстрации)	
нижней точки конца ледника	высшей точки открытой части ледника	высота, м	способ определения и дата	общая	в том числе открытой части	Объем льда, км ³	№ таблиц (иллюстраций) порядковые № сведений в таблицах	
10	11	12	13	14	15	16	17	18

(прол. Маточкин Шар)

270	270	980	480	АФС 30/VIII-52 г.	1,0	1,0	
580	580	680	600	АФС 30/VIII-52 г.			
280	350	700	480	АФС 30/VIII-52 г.	1,7	1,2	
500	500	730					
480	480	750	550	АФС 30/VIII-52 г.	0,2	0,2	
420	420	800	570	АФС 30/VIII-52 г.	0,3	0,3	
520	520	850	600	АФС 30/VIII-52 г.	0,1	0,1	
350	350	750					
230	300	850	450	АФС 30/VIII-52 г.	1,3	0,8	
320	320	750	400	АФС 30/VIII-52 г.			
320	320	730	560	АФС 30/VIII-52 г.	0,7	0,7	
620	620	850					
300	300	880	520	АФС 30/VIII-52 г.	1,5	1,2	
150	150	880	480	АФС 30/VIII-52 г.	5,1	5,0	
350	350	360					

Площадь морены равна 2,1 км².

(зал. Казакова, Баренцево море)

320	320	400					
110	110	780	450	АФС 30/VIII-52 г.	5,1	5,1	V/159
150	150	680	420	АФС 30/VIII-52 г.	0,9	0,9	
330	330	600	420	АФС 30/VIII-52 г.	0,1	0,1	
280	280	600	420	АФС 30/VIII-52 г.	0,2	0,2	
170	170	720	400	АФС 30/VIII-52 г.	1,0	0,8	
130	200	540	380	АФС 30/VIII-52 г.	0,4	0,3	
240	240	440	350	АФС 30/VIII-52 г.	0,1	0,1	

20,2

до устья р. Митюниха (Баренцево море)

500	500	800					
400	400	820					
400	400	700	530	АФС 30/VIII-52 г.	0,2	0,2	
320	320	700					
340	340	530					
310	310	800	450	АФС 30/VIII-52 г.	2,4	2,3	
90	90	830	550	АФС 30/VIII-52 г.	6,0	5,7	V/159
600	600	840					
570	570	700					
420	420	550	450	АФС 30/VIII-52 г.	0,2	0,2	
200	200	550					
240	240	620					
280	280	500					
480	480	580					
450	450	710	620	АФС 30/VIII-52 г.	0,9	0,9	
670	670	700					
260	260	950	450	АФС 30/VIII-52 г.	1,4	1,3	
250	250	760	400	АФС 30/VIII-52 г.	0,5	0,5	
350	350	880	650	АФС 30/VIII-52 г.	0,3	0,3	
440	440	600					
350	350	520	400	АФС 30/VIII-52 г.	0,5	0,5	
530	530	880	630	АФС 30/VIII-52 г.	0,5	0,5	

№ по схеме	Название	Название реки, вытекающей из ледника, бухты, залива, моря, где оканчивается ледник	Морфологический тип	Общая экспозиция	Наибольшая длина, км		Площадь, км²	
					всего ледника	в том числе открытой части	всего ледника	в том числе открытой части
1	2	3	4	5	6	7	8	9

Бассейн р. Митюшиха

73 36 5528 414*	№ 414	пр. р. Митюшиха	кар.	СВ	0,9	0,9	0,5	0,5
73 35 5525 415	№ 415	пр. р. Митюшиха	кар.	В	1,3	1,3	0,7	0,7
73 34 53 21 416	№ 416	пр. р. Митюшиха	кар.-дол.	В	0,7	0,7	0,7	0,6
73 33 53 25 417*	Энгельса	Митюшиха	сл. дол.	ЮВ, В	11,8	11,8	33,0	32,4
73 34 53 24 418*	№ 418	Митюшиха	дол., перем.	ЮВ	5,0	5,0	2,6	2,5
73 31 53 26 419*	№ 419	пр. р. Митюшиха	приисклон.	В	2,9	2,9	1,6	1,6
73 31 53 24 420*	№ 420	пр. р. Митюшиха	дол.	В	2,3	2,3	1,7	1,7
73 31 53 28 421*	№ 421	пр. р. Митюшиха	вис.	С	1,3	1,3	0,3	0,3
73 31 53 30 422*	№ 422	пр. р. Митюшиха	дол., перем.	С	1,5	1,5	0,3	0,3
73 31 53 33 423	№ 423	пр. р. Митюшиха	дол.	С	0,9	0,9	0,2	0,2
73 31 53 34 424	№ 424	пр. р. Митюшиха	вис.	С	1,1	1,1	0,2	0,2
75 30 53 36 425	№ 425	пр. р. Митюшиха	кар.-дол.	СВ	1,0	1,0	0,3	0,3
73 35 53 38 426	№ 426	пр. р. Митюшиха	приисклон.	СВ	0,3	0,3	0,2	0,2
73 36 53 39 427*	№ 427	пр. р. Митюшиха	дол.	З	2,5	2,5	1,8	1,8
73 37 53 50 428	№ 428	пр. р. Митюшиха	дол.	ЮЗ	1,6	1,6	0,9	0,9
73 37 53 56 429*	№ 429	пр. р. Митюшиха	приисклон.	ЮВ	2,3	2,3	3,6	3,6
73 33 53 09 430*	№ 430	пр. р. Митюшиха	асимм. дол.	СВ	1,0	1,0	0,2	0,2
73 33 53 21 431*	№ 431	пр. р. Митюшиха	дол. часть	З	6,5	6,5	12,7	12,7
			ледн.					
			компл.					
73 34 53 15 432	№ 432	пр. р. Митюшиха	приисклон.	ЮЗ	0,6	0,6	1,2	1,2
73 39 53 20 433	№ 433	пр. р. Митюшиха	кар.	З	1,1	1,1	1,0	1,0
73 40 56 00 434*	№ 434	пр. р. Митюшиха	дол. часть	Ю	6,7	6,7	16,8	16,6
			ледн.					
			компл.					
75 40 55 18 435*	№ 435	пр. р. Митюшиха	дол. часть	ЮВ	5,1	5,1	5,7	5,7
			ледн.					
			компл.					
73 41 55 15 436*	№ 436	пр. р. Митюшиха	дол. часть	ЮЗ	5,5	5,5	7,8	7,8
			ледн.					
			компл.					
73 41 55 49 437*	№ 437	пр. р. Митюшиха	кар.	ЮВ	0,9	0,9	0,5	0,5
73 41 55 49 438	№ 438	пр. р. Митюшиха	дол.	С3	1,2	1,2	0,5	0,5
73 41 55 51 439	№ 439	пр. р. Митюшиха	кар.	С	1,4	1,4	0,8	0,8
73 41 55 51 440*	№ 440	пр. р. Митюшиха	приисклон.	С3	1,5	1,5	1,0	1,0
73 43 55 41 441*	№ 441	пр. р. Митюшиха	дол.	ЮВ	2,5	2,5	2,0	2,0
	28 ледников						98,8	97,8

Бассейн р. Гольцовской (губа)

73 43 55 34 442	№ 442	Гольцовая	дол.	ЮВ	2,8	2,8	2,2	2,2
	1 ледник						2,2	2,2
Бассейн р. Промысловой								
73 44 55 34 443*	№ 433	пр. р. Промысловой	приисклон.	С3	1,0	1,0	1,1	1,1
73 45 55 24 444*	№ 444	пр. р. Промысловой	дол.	СВ	0,7	0,7	0,9	0,9
73 44 55 35 445*	№ 445	пр. р. Промысловой	асимм. дол.	СВ	1,9	1,9	1,5	1,5
73 43 55 38 446	№ 446	пр. р. Промысловой	кар.	СВ	1,0	1,0	0,5	0,5
73 43 55 41 447*	№ 447	пр. р. Промысловой	кар.	СВ	1,4	1,4	0,5	0,5
73 43 55 44 448	№ 448	пр. р. Промысловой	кар.	В	1,4	1,4	0,9	0,9
73 42 56 04 449*	№ 449	Промысловая	дол. часть	СВ	4,5	4,5	8,7	8,7
			ледн.					
			компл.					
73 48 56 04 450*	№ 450	Промысловая	кар.	ЮВ	1,1	1,1	0,6	0,6
73 47 56 03 451*	№ 451	Промыловая	кар.	В	2,3	2,3	1,6	1,6
73 49 55 55 452*	Мутафи	пр. р. Промыловой	сл. дол.	ЮЗ	5,2	5,2	7,0	7,0
73 47 55 52 453*	№ 453	пр. р. Промыловой	дол.	Ю	2,2	2,2	1,4	1,4
73 48 55 46 454*	№ 454	пр. р. Промыловой	дол.	В, Ю	8,2	8,2	11,8	11,6
73 47 55 43 455*	№ 455	пр. р. Промыловой	дол., перем.	ЮВ	1,5	1,5	0,4	0,4
73 46 55 43 456*	№ 456	пр. р. Промыловой	дол., перем.	В	1,2	1,2	0,2	0,2
73 48 55 40 457*	№ 457	пр. р. Промыловой	дол.	ЮЗ	4,8	4,8	3,5	3,3
73 44 55 32 458*	Перекидной	пр. р. Промыловой	дол.	З	7,5	7,5	11,3	11,3
73 50 55 23 459*	№ 459	пр. р. Промыловой	кар.	ЮВ	0,8	0,8	0,3	0,3
73 49 55 26 460*	№ 460	пр. р. Промыловой	кар.	ЮВ	0,7	0,7	0,2	0,2
73 48 55 18 461*	№ 461	пр. р. Промыловой	кар.	ЮВ	0,8	0,8	0,5	0,5
73 47 55 16 462*	№ 462	пр. р. Промыловой	кар.	В	0,4	0,4	0,3	0,3
	20 ледников						53,4	52,8

Высота, м			Фирновая линия		Площадь области аблации, км ²		Объем льда, км ³	Ссылки на последующие таблицы (иллюстрации)
нижней точки конца ледника	нижней точки открытоей части ледника	высшей точки ледника	высота, м	способ определения и дата	общая	в том числе открытой части		
10	11	12	13	14	15	16	17	18

(губа Митюшиха, Баренцево море)

720	720	900						
300	300	740						
280	280	520	400	АФС 30/VIII-52 г.	0,3	0,2		
80	80	920	450	АФС 30/VIII-52 г.	13,0	12,4		
200	200	720	450	АФС 30/VIII-52 г.	0,8	0,7		
260	260	850	500	АФС 30/VIII-52 г.	1,0	1,0		
370	370	900	450	АФС 30/VIII-52 г.	0,9	0,9		
420	420	700	440	АФС 30/VIII-52 г.				
400	400	740						
380	380	630						
250	250	500						
180	180	500						
680	680	920						
560	560	720						
600	600	680						
400	400	650	500	АФС 30/VIII-52 г.	1,2	1,2		
560	560	800	640	АФС 30/VIII-52 г.				
480	480	780	600	АФС 30/VIII-52 г.	1,2	1,2		
600	600	790	700	АФС 30/VIII-52 г.	0,1	0,1		
680	680	720						
90	100	800	450	АФС 15/VII-52 г.	3,8	3,6		
160	160	800						
280	280	800						
420	420	600						
440	440	690						
340	340	800						
350	350	800						
190	190	670						

(губа Митюшиха, море Баренцево)

200	200	850
-----	-----	-----

(губа Митюшиха, море Баренцево)

320	320	650						
230	230	950						
240	240	600						
300	300	600						
250	250	670						
300	300	700						
200	200	620						
260	260	600						
220	220	600						
200	200	600						
300	300	640						
80	80	800	400	АФС 15/VII-52 г.	3,3	3,1		
250	250	600						
220	220							
120	120	850						
210	210	870						
280	280	500						
300	300	460						
280	280	520						
280	280	680						

№ по схеме	Название	Название реки, вытекающей из ледника, бухты, залива, моря, где оканчивается ледник	Морфологический тип	Общая экспозиция	Наибольшая длина, км		Площадь, км²	
					всего ледника	в том числе открытой части	всего ледника	в том числе открытой части
1	2	3	4	5	6	7	8	9

Бассейн р. Мелкой

73 50 55 26 463	№ 463	пр. р. Мелкой	дол.	С	3,5	3,5	3,0	3,0
73 52 55 28 464*	№ 464	пр. р. Мелкой	дол.	С	1,0	1,0	0,3	0,3
73 50 55 38 465*	№ 465	пр. р. Мелкой	дол., перем.	С, З	3,9	3,9	3,6	3,6
73 50 55 32 466*	№ 466	пр. р. Мелкой	дол.	С	4,8	4,8	4,0	4,0
73 50 55 44 467*	№ 467	пр. р. Мелкой	дол.	С	2,1	2,1	1,1	1,1
73 49 55 46 468*	№ 468	пр. р. Мелкой	сл. дол.	СВ, ЮВ	3,8	3,5	3,9	3,7
73 50 55 53 469	№ 469	пр. р. Мелкой	кар.	С	0,9	0,9	0,4	0,4
73 49 55 58 470	№ 470	пр. р. Мелкой	кар.-дол.	СВ	1,5	1,5	0,8	0,8
73 49 56 01 471*	№ 471	пр. р. Мелкой	дол.	СЗ	3,2	3,2	2,1	2,0
73 49 56 01 472*	№ 472	пр. р. Мелкой	дол.	В	4,6	4,6	3,0	3,0
73 48 56 07 473*	№ 473	пр. р. Мелкой	дол.	ЮВ	1,2	1,2	1,6	1,6
73 54 56 03 474*	№ 474	пр. р. Мелкой	дол.	СВ, ЮВ	3,0	3,0	2,8	2,7
73 53 55 57 475*	№ 475	пр. р. Мелкой	дол., перем.	Ю	3,2	3,2	1,7	1,7
73 53 55 50 476*	№ 476	пр. р. Мелкой	дол. часть ледн. компл.	ЮВ	3,1	3,1	3,3	3,2
73 55 55 48 477*	№ 477	пр. р. Мелкой	склон.	ЮЗ	4,3	4,3	13,8	13,8
73 58 55 37 478*	№ 478	пр. р. Мелкой	дол. часть ледн. компл.	ЮЗ	5,5	5,5	12,4	12,2
	16 ледников						57,8	57,1

Бассейн губы Крестовой от м.

74 01 55 37 479*	№ 479	р. б/н (в губу Крестовую)	дол.	СВ	1,2	1,0	0,8	0,7
74 02 55 36 480*	№ 480	р. б/ц (в губу Крестовую)	пл. верш.	СВ	2,6	2,6	0,7	0,7
74 00 55 40 481*	Благодать	р. б/н (в губу Крестовую)	дол. часть ледн. компл.	С	6,2	6,2	12,0	11,3
74 01 55 37 482*	№ 482	р. б/н (в губу Крестовую)	дол.	СВ	5,0	4,8	3,8	3,7
	4 ледника						17,3	16,4

Бассейн р. Южной Крестовой

74 01 55 47 483	Пинегина	пр. р. Южной Крестовой	кар.-дол.	СВ	1,2	1,2	0,7	0,7
73 59 55 42 484*	№ 484	пр. р. Южной Крестовой	дол. часть ледн. компл.	ЮВ	6,5	6,5	15,8	15,8
73 57 55 51 485	№ 485	пр. р. Южной Крестовой	кар.	С	1,1	1,1	0,5	0,5
73 55 55 52 486*	Наблюдений	пр. р. Южной Крестовой	дол. часть ледн. компл.	С	5,9	5,9	4,8	4,8
73 55 55 56 487*	Крутой	пр. р. Южной Крестовой	дол., перем.	С	5,2	5,2	3,6	3,4
73 55 55 59 488	№ 488	пр. р. Южной Крестовой	дол.	С	1,0	1,0	0,3	0,3
73 56 55 59 489	№ 489	пр. р. Южной Крестовой	кар.-дол.	С	1,6	1,6	0,8	0,8
73 55 56 05 490*	№ 490	пр. р. Южной Крестовой	дол.	ЮВ	1,0	1,0	1,1	1,1
73 54 56 09 491*	№ 491	пр. р. Южной Крестовой	дол.	ЮВ	3,2	3,2	3,2	3,0
73 53 56 13 492	№ 492	пр. р. Южной Крестовой	присклон.	С	0,4	0,4	0,2	0,2
73 51 56 12 493*	№ 493	пр. р. Южной Крестовой	дол.	С	0,6	0,6	0,2	0,2
73 51 56 13 494*	Водораздельный	пр. р. Южной Крестовой	дол.	СВ	3,2	3,2	1,8	1,8
73 50 56 16 495	№ 495	пр. р. Южной Крестовой	дол.	СВ	2,0	2,0	1,3	1,2
73 50 56 18 496	№ 496	пр. р. Южной Крестовой	кар.	С	0,4	0,4	0,3	0,3
73 55 56 20 497*	№ 497	пр. р. Южной Крестовой	кар.-дол.	ЮЗ	1,0	1,0	0,4	0,4
73 55 56 19 498	№ 498	пр. р. Южной Крестовой	асимм. дол.	ЮЗ	0,9	0,9	0,4	0,4

Высота, м			Фирновая линия		Площадь области аблации, км ²		Объем льда, км ³	Ссылки на последующие таблицы (иллюстрации) № таблиц и иллюстраций
нижней точки конца ледника	нижней точки открытой части ледника	высшей точки ледника	высота, м	способ определения и дата	общая	в том числе открытой части		
10	11	12	13	14	15	16	17	18

(зал. Мелкий, Баренцево море)

300	300	780						
400	400	580						
370	370	950						
160	160	780						
230	230	800						
160	180	850	400	АФС 15/VII-52 г.				
310	310	500	400	АФС 15/VII-52 г.				
370	370	710	450	АФС 15/VII-52 г.				
280	280	720	450	АФС 15/VII-52 г.				
200	200	850	400	АФС 15/VII-52 г.				
400	400	720	420	АФС 15/VII-52 г.				
320	320	650	400	АФС 15/VII-52 г.				
290	290	610						
300	300	1000						
500	500	1000						
280	280	670	400	АФС 15/VII-52 г.	1,1	0,9		

Жилой до устья р. Южной Крестовой

(Баренцево море)

220	240	680	280	АФС 15/VII-52 г.				
420	420	870						
100	100	530	300	АФС 15/VII-52 г.	2,5	1,8	IV/36; V/159	
180	200	600						

(губа Крестовая, Баренцево море)

180	180	420					IV/36, V/159	
310	675							
720	720	820						
130	130	1120	330	АФС 15/VII-52 г.	0,6	0,6	V/159	
80	80	700	250	АФС 15/VII-52 г.	0,6	0,4		
300	300	450						
300	300	700						
440	440	650						
320	320	650	400	АФС 15/VII-52 г.	0,6	0,4		
380	380	680						
400	400	650						
210	210	850						
260	260	680	340	АФС 15/VII-52 г.	0,2	0,1		
230	230	350	300	АФС 15/VII-52 г.				
380	380	700						
380	380	620						

№ по схеме	Название	Название реки, вытекающей из ледника, бухты, залива, моря, где оканчивается ледник	Морфологический тип	Общая экспозиция	Наибольшая длина, км		Площадь, км²	
					всего ледника	в том числе открытой части	всего ледника	в том числе открытой части
1	2	3	4	5	6	7	8	9
73 57 56 13 499	№ 499	пр. р. Южной Крестовой	кар.	ЮЗ	1,0	1,0	0,5	0,5
73 58 56 13 500	№ 500	пр. р. Южной Крестовой	кар.	ЮЗ	0,6	0,6	0,3	0,3
73 58 56 11 501	№ 501	пр. р. Южной Крестовой	кар.-вис.	ЮЗ	1,5	1,5	1,0	1,0
73 59 56 09 502*	Географического института	пр. р. Южной Крестовой	сл. дол.	ЮЗ	6,5	6,5	8,3	8,1
73 59 56 06 503*	№ 503	пр. р. Южной Крестовой	кар.	ЮВ	1,2	1,2	0,2	0,2
74 00 56 00 504*	Эдельштейна	пр. р. Южной Крестовой	сл. дол.	Ю	4,0	4,0	4,3	4,3
	22 ледника						50,0	49,3
74 00 56 07 505	№ 505	р. б/н (в губу Крестовую)	кар.	C	1,7	1,7	1,3	1,3
74 01 56 01 506*	№ 506	р. б/н (в губу Крестовую)	кар.-дол.	C	2,3	2,3	1,9	1,9
74 01 56 06 507*	№ 507	р. б/п (в губу Крестовую)	склон.	C	(1,0)	(1,0)	(0,4)	(0,4)
	3 ледника						3,6	3,6
74 01 56 12 508*	№ 508	пр. р. Крестовой	кар.	B	1,7	1,5	1,0	0,9
73 19 56 15 509	№ 509	пр. р. Крестовой	сл. дол.	CB	3,8	3,8	3,0	2,9
74 00 56 16 510*	№ 510	пр. р. Крестовой	кар.	B	1,2	1,2	0,6	0,6
73 59 56 14 511*	№ 511	пр. р. Крестовой	кар.	B	1,2	1,2	0,6	0,6
73 58 56 16 512	№ 512	пр. р. Крестовой	кар.-дол.	C	2,0	2,0	0,8	0,8
73 58 56 21 513*	№ 513	пр. р. Крестовой	дол.	CB, C	6,0	5,6	4,6	4,3
73 57 56 22 514*	№ 514	пр. р. Крестовой	сл. дол.	CB, C	7,6	7,2	10,9	10,6
	часть ледни. компл.							
73 58 56 29 515	№ 515	пр. р. Крестовой	кар.-дол.	CB	1,8	1,8	0,8	0,8
73 58 56 33 516	№ 516	пр. р. Крестовой	сл. дол.	CB	2,8	2,8	3,5	3,5
73 58 56 36 517	№ 517	пр. р. Крестовой	дол.	CB	1,5	1,4	0,9	0,8
73 57 56 35 518	№ 518	пр. р. Крестовой	кар.-дол.	B	1,6	1,3	0,7	0,6
73 56 56 37 519	№ 519	пр. р. Крестовой	дол.	CB	1,6	1,0	0,2	0,2
73 52 56 53 520	№ 520	пр. р. Крестовой	дол.	ЮВ	4,4	4,2	4,7	4,6
74 00 56 46 521	№ 521	пр. р. Крестовой	дол.	ЮЗ	1,5	1,5	0,5	0,5
74 01 56 49 522	№ 522	пр. р. Крестовой	кар.	Z	1,2	1,2	0,5	0,5
74 01 56 46 523	№ 523	пр. р. Крестовой	присклон.	Z	0,5	0,5	0,3	0,3
74 01 56 50 524*	№ 524	пр. р. Крестовой	дол.	C3	5,0	5,0	4,0	4,0
74 02 56 49 525	№ 525	пр. р. Крестовой	присклон.	ЮЗ	1,1	1,1	0,4	0,4
74 04 56 44 526*	№ 526	пр. р. Крестовой	дол.	ЮВ	4,0	4,0	3,2	3,2
74 02 56 42 527*	№ 527	пр. р. Крестовой	дол.	ЮВ	3,2	3,2	6,4	6,4
74 03 56 32 528*	№ 528	пр. р. Крестовой	дол.	ЮВ	9,5	9,5	21,1	21,1
74 02 56 38 529*	№ 529	пр. р. Крестовой	дол.	Ю	4,0	4,0	3,3	3,3
74 01 56 32 530*	№ 530	пр. р. Крестовой	пл. верш.	CB	1,8	1,8	1,9	1,9
74 03 56 28 531*	№ 531	пр. р. Крестовой	дол., перем.	Ю	7,0	7,0	8,9	8,9
74 03 56 24 532*	№ 532	пр. р. Крестовой	дол.	C3	2,0	2,0	1,0	1,0
74 04 56 26 533*	№ 533	пр. р. Крестовой	кар.-дол.	C3	2,7	2,7	1,1	1,1
74 04 56 24 534*	№ 534	пр. р. Крестовой	дол.	C3	1,8	1,8	0,6	0,6
74 05 56 22 535*	№ 535	пр. р. Крестовой	дол.	C3	2,0	2,0	0,7	0,7
74 05 56 18 536*	№ 536	пр. р. Крестовой	кар.-дол.	ЮВ	4,1	3,9	4,1	3,9
74 05 56 14 537	№ 537	пр. р. Крестовой	дол.	Z	2,1	2,1	0,7	0,7
74 05 56 10 538*	№ 538	пр. р. Крестовой	кар.	Ю	1,3	1,3	0,5	0,5
74 05 56 06 539*	№ 539	пр. р. Крестовой	сл. дол.	Ю	4,3	4,1	4,3	4,2
	32 ледника						95,8	94,4
74 05 56 02 540	№ 540	пр. р. Северной Крестовой	дол.	3	1,4	1,4	0,5	0,5
74 06 56 04 541*	Стеклова	пр. р. Северной Крестовой	дол.	3	3,6	3,6	2,1	2,0
74 07 56 03 542*	№ 542	пр. р. Северной Крестовой	дол.	C	5,2	5,2	6,4	6,4
					Бассейн р. Северной Крестовой (губа			

Высота, м			Фирновая линия		Площадь области аблации, км²		Ссылки на последующие таблицы (иллюстрации) № таблиц и иллюстраций порядковые № сведений в таблицах	
нижней точки конца ледника	нижней точки открытои части ледника	высокие точки ледника	высота, м	способ определения и дата	общая	в том числе открытой части		
10	11	12	13	14	15	16	17	18

500	500	720						
300	300	500						
420	420	700						
70	100	950						IV/36
300	300	700						V/159
80	80	950	250	АФС 15/VII-52 г.	0,6	0,6		IV/36; V/159

между устьями рек Южной Крестовой и Крестовой (Баренцево море)

540	540	(850)						V/159
220	220	530						
(720)	(720)	(950)						

(губа Крестовая, Баренцево море)

180	200	780						
150	150	750						
200	200	700						
200	200	680						
400	400	720						
60	80	850	320	АФС 15/VII-52 г.	1,4	1,1		V/112
60	80	850	330	АФС 15/VII-52 г.	3,0	2,7		V/108

140	140	750						
230	230	840						
260	270	580						
280	300	680						
280	280	700						
470	480	980						
240	240	600						
700	700	1000						
370	370	500	400	АФС 15/VII-52 г.				
280	280	1100						
300	300	550						
260	260	900	400	АФС 15/VII-52 г.	0,6	0,6		
220	220	900	400	АФС 15/VII-52 г.	0,6	0,6		
50	50	800	300	АФС 15/VII-52 г.	3,0	3,0		
260	260	820						
200	200	750						
100	100	780	340	АФС 15/VII-52 г.	1,4	1,4		
230	230	680						
220	220	760						
400	400	770						
220	220	600						
100	120	750	350	АФС 15/VII-52 г.	0,8	0,6		
250	250	820	300	АФС 15/VII-52 г.				
250	250	650	350	АФС 15/VII-52 г.	0,2	0,2		
80	100	800	350	АФС 15/VII-52 г.	1,3	1,2		

Крестовая, Баренцево море)

400	400	630						
140	140	520	(350)	АФС 15/VII-52 г.	(0,3)	(0,2)		V/81
40	40	820	270	АФС 15/VII-52 г.	2,6	2,6		

№ по схеме	Название	Название реки, вытекающей из ледника, бухты, залива, моря, где оканчивается ледник	Морфологический тип	Общая экспозиция	Наибольшая длина, км		Площадь, км²	
					всего ледника	в том числе открытой части	всего ледника	в том числе открытой части
1	2	3	4	5	6	7	8	9
74 07 56 11 543*	№ 543	оз. Гольцовское	сл. дол.	С	5,2	5,0	4,2	4,2
74 06 56 20 544	Трамплин	оз. Гольцовское	кар.-дол.	СВ	1,6	1,6	0,9	0,9
74 06 56 30 545	№ 545	оз. Гольцовское	дол.	С	4,6	4,4	3,0	2,9
74 07 56 32 546	№ 546	оз. Гольцовское	пл.-верш.	СВ	1,4	1,4	0,6	0,6
74 06 56 35 547*	№ 547	оз. Гольцовское	дол.	СВ	6,4	6,4	11,4	11,1
74 05 56 39 548*	№ 548	оз. Гольцовское	дол.	СВ	8,4	8,4	14,5	14,3
74 06 56 42 549*	№ 549	оз. Гольцовское	присклон.	С	0,5	0,5	0,3	0,3
74 05 56 47 550*	№ 550	оз. Гольцовское	дол.	СВ	6,1	6,1	11,9	11,9
74 10 56 02 551	№ 551	пр. р. Северной Крестовой	дол.	СВ	2,8	2,8	2,5	2,5
74 09 55 53 552*	№ 552	пр. р. Северной Крестовой	дол.	Ю	3,6	3,6	2,5	2,5
13 ледников							60,8	
							Бассейн губы Южная	
74 10 55 48 553*	№ 553	р. б/и (в губу Южная Сульменевая)	дол.	СВ	1,8	1,9	1,0	1,0
74 10 55 53 554*	№ 554	р. б/и (в губу Южная Сульменевая)	дол.	С	3,2	3,2	2,9	2,9
2 ледника							3,9	3,9

Всего в бассейне Баренцева моря на Северном острове имеется 171 (№ 384—554) ледник общей площадью 505,1 км². Площадь морены равна 6,8 км².

ЮЖНЫЙ

Бассейн Карского моря	Бассейн р. Клокова (з.л.)
-----------------------	---------------------------

73 11 55 22 555*	№ 555	пр. р. Клокова	дол., перем.	ЮЗ	0,7	0,7	0,3	0,3
73 12 55 32 556*	№ 556	пр. р. Клокова	кар. часть ледн. компл.	Ю	1,0	1,0	0,6	0,6
73 13 55 28 557*	№ 557	пр. р. Клокова	присклон., перем.	ЮЗ	1,7	1,7	0,9	0,9
73 13 55 22 558*	Ферсмана	пр. р. Клокова	дол.	ЮВ	6,9	6,9	7,7	7,7
73 14 55 24 559*	№ 559	пр. р. Клокова	кар.	ЮЗ	0,9	0,9	0,2	0,2
73 12 55 21 560*	№ 560	пр. р. Клокова	дол.	ЮВ	1,9	1,9	1,2	1,2
73 11 55 16 561*	Южный	Клокова	сл. дол.	В	9,5	9,5	18,8	18,4
73 13 55 14 562*	№ 562	пр. р. Клокова	вис.	ЮВ	1,7	1,7	1,2	1,2
73 10 55 19 563*	№ 563	пр. р. Клокова	присклон.	СВ	0,5	0,5	0,2	0,2
73 09 55 18 564*	№ 564	пр. р. Клокова	дол.	СВ	1,4	1,4	0,4	0,4
73 09 55 10 565*	№ 565	пр. р. Клокова	дол.	С3, С	6,3	6,3	6,4	6,3
73 08 55 16 566	№ 566	пр. р. Клокова	кар.	В	1,0	1,0	0,5	0,5
73 08 55 17 567	№ 567	пр. р. Клокова	присклон.	ЮВ	0,9	0,9	0,4	0,4
73 07 55 30 568	№ 568	пр. р. Клокова	присклон.	СВ	0,5	0,5	0,6	0,6
14 ледников							39,4	38,9

Бассейн р. Есипова (б. Ильин)

74 05 55 24 569*	№ 569	пр. р. Есипова	дол.	ЮВ	3,9	3,9	3,2	3,2
73 06 55 25 570*	№ 570	пр. р. Есипова	дол.	Ю	4,3	4,3	6,4	6,4
73 04 55 28 571*	№ 571	пр. р. Есипова	кар.-дол.	Ю	2,1	2,1	1,6	1,6
73 04 55 04 572*	№ 572	пр. р. Есипова	кар.	Ю	0,8	0,8	0,3	0,3
73 04 55 01 573*	№ 573	пр. р. Есипова	дол.	ЮЗ	2,6	2,6	2,4	2,4
73 05 54 54 574*	№ 574	пр. р. Есипова	кар.	ЮВ	1,2	1,2	0,7	0,7
73 02 54 55 575*	№ 575	пр. р. Есипова	кар.-дол.	С	1,4	1,2	0,6	0,5
73 02 54 57 576*	№ 576	пр. р. Есипова	дол.	С	3,4	3,4	1,9	1,9
73 03 55 00 577	№ 577	пр. р. Есипова	дол.	СВ	1,3	1,3	0,2	0,2
73 01 55 02 578*	№ 578	пр. р. Есипова	дол.	СВ	1,8	1,8	0,5	0,5
73 00 55 00 579*	№ 579	пр. р. Есипова	дол. часть ледн. компл.	ЮВ	8,2	8,2	20,2	19,2
73 05 54 58 580*	№ 580	пр. р. Есипова	дол.	ЮВ	2,5	2,0	1,0	0,9
73 06 54 56 581	№ 581	Есипова	дол.	В	2,4	2,4	2,1	2,1
13 ледников							41,1	39,9

Бассейн р. Черной (б. Ануфриева,

71 04 55 02 582	№ 582	пр. р. Черная	дол.	Ю	1,2	1,2	0,4	0,4
1 ледник								

Высота, м			Фирновая линия		Площадь области аблации, км ²		Объем льда, км ³	Ссылки на последующие таблицы (иллюстрации) № таблиц и иллюстраций
низ- шей точки конца лед- ника	ни- з- шей точки от- кры- той части лед- ника	вы- с- шей точки лед- ника	вы- сота, м	спосо- б опре- деления и дата	общая	в том числе откры- той части		
10	11	12	13	14	15	16	17	18

70	70	850	200	АФС 15/VII-52 г.	1,5	1,5		
200	200	700						
180	200	650						
300	300	700						
90	90	800						
60	60	780						
280	280	500						
80	80	780						
100	100	600						
140	140	600						

Сульменевая (Баренцево море)

280	280	500
180	180	650

ОСТРОВ

Клокова, Карское море)

710	710	740						
430	430	550	500	АФС 25/VII-52 г.	0,2	0,2		
500	500	680	600	АФС 25/VII-52 г.	0,2	0,2		
190	190	760	450	АФС 25/VII-52 г.	3,2	3,2		
520	520	650	550	АФС 25/VII-52 г.				
400	400	700						
220	220	900	500	АФС 25/VII-52 г.	7,5	7,1		
600	600	840						
350	350	520	400	АФС 25/VII-52 г.				
440	440	800	500	АФС 25/VII-52 г.	0,2	0,2		
330	330	800	550	АФС 25/VII-52 г.	1,2	1,1		
400	400	700	500	АФС 25/VII-52 г.	0,2	0,2		
410	410	720	500	АФС 25/VII-52 г.	0,1	0,1		
520	520	700						

Вылки, зал. Брандта, Карское море)

420	420	680	540	АФС 25/VII-52 г.	0,9	0,9		
480	480	950						
350	350	740						
480	480	780	550	АФС 25/VII-52 г.				
580	580	870	620	АФС 25/VII-52 г.				
500	500	670						
500	520	800	650	АФС 25/VII-52 г.	0,3	0,2		
600	600	740						
300	300	700	600	АФС 14/VII-52 г.	0,1	0,1		
480	480	750	620	АФС 14/VII-52 г.	0,2	0,2		
280	280	780	500	АФС 14/VII-52 г.	2,0	1,0		
400	500	710	600	АФС 14/VII-52 г.	0,2	0,1		
380	380	540						

зал. Шуберта, Карское море)

420	420	580	450	АФС 14/VII-52 г.	0,1	0,1		
-----	-----	-----	-----	------------------	-----	-----	--	--

№ по схеме	Название	Название реки, вытекающей из ледника, бухты, залива, моря, где оканчивается ледник	Морфологический тип	Общая экспозиция	Наибольшая длина, км		Площадь, км²	
					всего ледника	в том числе открытой части	всего ледника	в том числе открытой части
1	2	3	4	5	6	7	8	9

7248 5434 583*	№ 583	пр. р. Латва-Яха	дол.	ЮВ	1,3	1,3	0,8	0,8
7248 5434 584*	№ 584	пр. р. Латва-Яха	дол.	ЮВ	1,0	1,0	0,3	0,3
2 ледника								
Всего в бассейне Карского моря на Южном острове имеется 30 горных ледников общей площадью 82,0 км². Площадь морены равна 1,7 км².								
7248 5429 585	№ 585	пр. р. Безымянной	кар.-дол.	С	2,2	2,2	1,9	1,9
7257 5436 586	№ 586	пр. р. Безымянной	кар.	С	0,7	0,7	0,2	0,2
7256 5439 587	№ 587	пр. р. Безымянной	сл. дол.	С	2,8	2,8	2,5	2,5
7300 5441 588*	№ 588	пр. р. Безымянной	сл. дол.	Ю	6,8	6,8	11,9	11,6
7300 5443 589*	№ 589	пр. р. Безымянной	дол.	Ю, ЮЗ	12,4	12,4	27,5	27,2
7301 5445 590*	№ 590	пр. р. Безымянной	сл. дол.	Ю	7,6	7,6	13,2	13,0
7259 5423 591*	№ 591	пр. р. Безымянной	дол. часть ледн. компл.	ЮВ	4,8	4,8	6,5	6,5
7252 5351 592	№ 592	пр. р. Безымянной	дол.	Ю	2,4	2,4	1,1	1,1
8 ледников								
64,8 64,0								
Бассейн р. Латва-Яха (б. Ануфриева,								
Бассейн Баренцева								
72 58 5420 593*	№ 593	пр. р. Малой Безымянной	дол. часть ледн. компл.	ЮЗ	5,1	5,1	4,3	4,2
72 57 5416 594*	№ 594	пр. р. Малой Безымянной	дол.	ЮВ	2,4	2,4	1,2	1,2
72 57 5415 595*	№ 595	пр. р. Малой Безымянной	присклон.	ЮВ	0,5	0,5	0,4	0,4
72 56 5414 596*	№ 596	пр. р. Малой Безымянной	дол.	ЮВ	3,5	3,5	2,5	2,4
72 56 5412 597*	№ 597	пр. р. Малой Безымянной	дол.	ЮВ	2,0	2,0	0,8	0,8
73 01 5412 598*	№ 598	Малая Безымянная	дол. часть ледн. компл.	Ю	8,8	8,8	23,2	23,0
73 01 5410 599*	№ 599	пр. р. Малой Безымянной	сл. дол. часть ледн. компл.	Ю	7,8	7,8	21,8	21,8
7300 5406 600*	№ 600	пр. р. Малой Безымянной	сл. дол.	ЮВ	3,1	3,1	2,3	2,3
7259 5404 601*	№ 601	пр. р. Малой Безымянной	дол.	ЮВ	1,8	1,8	1,3	1,3
7300 5402 602*	№ 602	пр. р. Малой Безымянной	дол.	ЮЗ	2,7	2,7	2,3	2,3
73 01 5400 603*	№ 603	пр. р. Малой Безымянной	дол.	ЮЗ	1,1	1,1	0,8	0,8
7302 5400 604*	№ 604	пр. р. Малой Безымянной	дол.	3	2,9	2,9	4,5	4,3
7305 5352 605*	№ 605	пр. р. Малой Безымянной	дол. часть ледн. компл.	ЮВ, Ю	8,4	8,4	12,9	12,8
13 ледников								
78,3 77,6								
Бассейн р. Панькова								
7303 5350 606*	№ 606	Панькова	дол. часть ледн. компл.	ЮЗ	2,8	2,8	1,0	1,0
7302 5348 607	№ 607	пр. р. Панькова	дол.	ЮВ	0,9	0,9	0,3	0,3
7303 5349 608*	№ 608	пр. р. Панькова	дол.	Ю	1,8	1,8	1,0	1,0
7305 5345 609*	№ 609	пр. р. Панькова	дол.	СЗ	1,1	1,1	0,4	0,4
4 ледника								
2,7 2,7								
Бассейн р. Песчанки								
7307 5344 610	№ 610	пр. р. Песчанки	кар.	СВ	1,4	1,4	0,4	0,4
7306 5346 611	№ 611	пр. р. Песчанки	дол.	СЗ	1,6	1,6	0,6	0,6
7306 5347 612	№ 612	пр. р. Песчанки	дол.	С, С3	2,9	2,9	2,3	2,3
7306 5350 613*	№ 613	пр. р. Песчанки	кар.	СВ	0,5	0,5	0,1	0,1
7306 5352 614	№ 614	пр. р. Песчанки	кар.-дол.	СВ	1,5	1,5	0,6	0,6
7304 5351 615*	№ 615	пр. р. Песчанки	дол. часть ледн. компл.	ЮВ, СВ	7,4	7,4	9,7	9,7
7304 5350 616	№ 616	пр. р. Песчанки	дол.	С	2,4	2,4	1,5	1,5
7304 5352 617*	№ 617	Песчанка	дол.	СЗ	3,6	3,6	2,8	2,6

Высота, м			Фирновая линия		Площадь области аблации, км ²		Объем льда, км ³	Ссылки на последующие таблицы (иллюстрации) № таблиц и иллюстраций
нижней точки конца ледника	нижней точки открытой части ледника	высшей точки ледника	высота, м	способ определения и дата	общая	в том числе открытой части		
10	11	12	13	14	15	16	17	18

з.л. Шуберта, Карское море)

380	380	620	480	АФС 14/VII-52 г.	0,3	0,3
420	420	600	500	АФС 14/VII-52 г.		

моря
(губа Безымянная, Баренцево море)

420	420	590				
320	320	510				
380	380	620				
240	240	1000	500	АФС 14/VII-52 г.	4,5	4,2
120	120	950	470	АФС 14/VII-52 г.	4,8	4,5
240	240	1150	500	АФС 14/VII-52 г.	4,5	4,3
150	150	700	400	АФС 14/VII-52 г.	0,7	0,7
300	300	600				

(р. Безымянная, губа Безымянная, Баренцево море)

180	180	640	480	АФС 14/VII-52 г.	0,9	0,8
280	280	750	500	АФС 14/VII-52 г.	0,2	0,2
400	400	640	500	АФС 14/VII-52 г.	0,1	0,1
220	220	820	400	АФС 14/VII-52 г.	0,7	0,6
300	300	700	450	АФС 14/VII-52 г.	0,2	0,2
170	170	900	450	АФС 14/VII-52 г.	5,5	5,3
140	140	950	400	АФС 14/VII-52 г.	3,2	3,2
240	240	900	400	АФС 14/VII-52 г.	0,3	0,3
400	400	900	500	АФС 14/VII-52 г.	0,1	0,1
500	500	900	570	АФС 14/VII-52 г.	0,3	0,3
650	650	820				
480	480	800	500	АФС 25/VII-52 г.	1,9	1,7
240	240	820	470	АФС 25/VII-52 г.	4,4	4,3
						17,8

(Баренцево море)

420	420	600	470	АФС 25/VII-52 г.	0,4	0,4
460	460	600	500	АФС 25/VII-52 г.	0,1	0,1
540	540	800	640	АФС 25/VII-52 г.	0,1	0,1

(Баренцево море)

200	200	600	300	АФС 25/VII-52 г.	0,1	0,1
550	550	800	640	АФС 25/VII-52 г.	0,3	0,3
400	400	800	650	АФС 25/VII-52 г.	0,3	0,3
450	450	700	500	АФС 25/VII-52 г.		
410	410	700	500	АФС 25/VII-52 г.	0,2	0,2
260	260	820	470	АФС 25/VII-52 г.	3,7	3,7
400	400	600	550	АФС 25/VII-52 г.	0,3	0,3
470	530	800	600	АФС 25/VII-52 г.	0,6	0,4

№ по схеме	Название	Название реки, вытекающей из ледника, бухты, залива, моря, где оканчивается ледник	Морфологический тип	Общая экспозиция	Наибольшая длина, км		Площадь, км²	
					всего ледника	в том числе открытой части	всего ледника	в том числе открытой части
1	2	3	4	5	6	7	8	9

73 04 ГЧЮ 618* № 618
9 ледников пр. р. Песчанки дол. 3 1,8 1,8 1,3 1,3
19,3 19,1

Всего в бассейне Баренцева моря на Южном острове имеется 34 ледника общей площадью 165,1 км².

Бассейн прол.
Бассейн р. Чиракина

73 07 ГЧЮ 619	№ 619	пр. р. Чиракина	дол.	C3	2,0	2,0	1,1	1,0
73 05 ГЧЮ 620*	№ 620	пр. р. Чиракина	сл. дол. часть леди. компл.	CB	7,0	7,0	8,5	8,4
73 05 ГЧЮ 621*	№ 621	пр. р. Чиракина	дол. часть ледн. компл.	C	4,5	4,5	9,5	9,5
73 04 ГЧЮ 622*	№ 622	пр. р. Чиракина	вис., перем.	Ю	0,4	0,4	0,1	0,1
73 03 ГЧЮ 623*	№ 623	пр. р. Чиракина	дол.	C	1,1	1,1	0,4	0,4
73 02 ГЧЮ 624*	№ 624	пр. р. Чиракина	дол.	C	5,7	5,7	9,4	9,2
73 06 ГЧЮ 625	№ 625	пр. р. Чиракина	кар.-вис.	Ю	3,3	3,3	2,1	2,1
73 05 ГЧЮ 626*	№ 626	пр. р. Чиракина	кар.-вис.	З	1,0	1,0	0,9	0,9
73 07 ГЧЮ 627*	№ 627	пр. р. Чиракина	дол., перем.	ЮЗ	3,5	3,5	4,9	4,9
73 09 ГЧЮ 628*	№ 628	пр. р. Чиракина	дол., перем.	C	1,5	1,5	1,0	1,0
73 10 ГЧЮ 629	№ 629	пр. р. Чиракина	прислон.	C	0,6	0,6	0,4	0,4
73 04 ГЧЮ 630*	№ 630	пр. р. Чиракина	сл. дол.	C	10,0	9,8	16,7	16,4
73 06 ГЧЮ 631	№ 631	пр. р. Чиракина	кар.	CB	1,5	1,5	0,9	0,9
73 04 ГЧЮ 632*	№ 632	пр. р. Чиракина	дол.	B	2,8	2,8	2,9	2,9
73 02 ГЧЮ 633	№ 633	пр. р. Чиракина	кар.	B	0,6	0,6	0,3	0,3
73 02 ГЧЮ 634*	№ 634	пр. р. Чиракина	дол.	ЮВ	3,5	3,5	2,6	2,6
73 01 ГЧЮ 635*	№ 635	пр. р. Чиракина	дол.	ЮВ	2,5	2,5	1,4	1,4
73 01 ГЧЮ 636*	№ 636	пр. р. Чиракина	дол. часть ледн. компл.	З	3,0	3,0	3,8	3,8
73 08 ГЧЮ 637*	№ 637	пр. р. Чиракина	вис., перем.	З	0,4	0,4	0,5	0,5
73 09 ГЧЮ 638*	№ 638	пр. р. Чиракина	вис., перем.	B	0,4	0,4	0,2	0,2
73 08 ГЧЮ 639*	№ 639	пр. р. Чиракина	дол.	C	1,4	1,4	0,5	0,5
73 03 ГЧЮ 640	№ 640	пр. р. Чиракина	кар.	CB	1,2	1,2	1,0	1,0
73 03 ГЧЮ 641*	№ 641	Чиракина	дол.	ЮВ, CB	7,5	7,5	12,4	12,4
73 06 ГЧЮ 642	№ 642	пр. р. Чиракина	дол.	Ю	1,7	1,7	0,5	0,5
73 07 ГЧЮ 643	№ 643	пр. р. Чиракина	дол.	Ю	1,0	1,0	0,2	0,2
73 09 ГЧЮ 644	№ 644	пр. р. Чиракина	кар.-вис.	Ю	0,6	0,6	0,2	0,2
73 08 ГЧЮ 645*	№ 645	пр. р. Чиракина	кар.-вис.	Ю	0,6	0,6	0,2	0,2
73 08 ГЧЮ 646*	№ 646	пр. р. Чиракина	вис.	ЮЗ	0,5	0,5	0,3	0,3
73 10 ГЧЮ 647	№ 647	пр. р. Чиракина	прислон.	Ю	0,6	0,6	0,3	0,3
73 11 ГЧЮ 648*	№ 648	пр. р. Чиракина	дол.	ЮЗ	3,5	3,5	2,5	2,4
73 11 ГЧЮ 649*	№ 649	пр. р. Чиракина	дол.	ЮЗ	3,7	3,7	3,0	3,0
73 11 ГЧЮ 650	№ 650	пр. р. Чиракина	дол.	C3	2,7	2,7	2,0	2,0
32 ледника							90,7	89,9

Бассейн р. Шумилиха

73 19 ГЧЮ 651	№ 651	пр. р. Шумилиха	дол.	CB	0,9	0,9	0,2	0,2
73 16 ГЧЮ 652	№ 652	пр. р. Шумилиха	дол.	CB	3,1	3,1	1,6	1,6
73 19 ГЧЮ 653*	№ 653	пр. р. Шумилиха	асимм. дол.	C	0,9	0,9	0,2	0,2
73 17 ГЧЮ 654*	№ 654	пр. р. Шумилиха	дол.	CB	2,1	2,1	1,8	1,8
73 12 ГЧЮ 655*	№ 655	пр. р. Шумилиха	кар.-вис.	B	1,2	1,2	0,2	0,2
73 17 ГЧЮ 656	№ 656	пр. р. Шумилиха	дол.	CB	1,8	1,8	1,1	1,1
73 13 ГЧЮ 657*	№ 657	пр. р. Шумилиха	дол.	C3	4,0	4,0	5,5	5,3
73 12 ГЧЮ 658*	№ 658	пр. р. Шумилиха	дол.	C, C3	4,2	4,2	5,8	5,5
73 13 ГЧЮ 659*	№ 659	пр. р. Шумилиха	дол.	CB, C	2,4	2,4	1,5	1,5
73 14 ГЧЮ 660*	№ 660	Шумилиха	дол.	ЮВ	3,6	3,5	2,9	2,8
73 24 ГЧЮ 661	№ 661	пр. р. Шумилиха	дол.	C	4,5	4,5	5,0	5,0
73 23 ГЧЮ 662	№ 662	пр. р. Шумилиха	дол.	ЮВ	0,9	0,9	0,3	0,3
73 23 ГЧЮ 663*	№ 663	пр. р. Шумилиха	дол.	ЮВ	1,0	1,0	0,2	0,2
73 23 ГЧЮ 664*	Васнецова вост.	пр. р. Шумилиха	дол., перем.	Ю	3,7	3,7	2,7	2,7
73 23 ГЧЮ 665*	Васнецова зап.	пр. р. Шумилиха	сл. дол., перем.	ЮВ	3,5	3,5	4,9	4,9
15 ледников							33,7	33,3

Участок побережья между

73 24 ГЧЮ 666	№ 666	р. б/я (в прол. Маточкин Шар)	дол.	CB	1,9	1,6	0,5	0,4
73 23 ГЧЮ 667	№ 667	р. б/я (в прол. Маточкин Шар)	дол.	CB	2,0	1,9	0,8	0,7

Высота, м				Фирновая линия		Площадь области аблации, км ²		Ссылки на последующие таблицы (иллюстрации) № таблиц и иллюстраций
нижней точки конца ледника	нижней точки открытой части ледника	высшей точки ледника	высота, м	способ определения и дата	общая	в том числе открытой части	17	
10	11	12	13	14	15	16	18	

520 520 730 600 АФС 25/VII-52 г. 0,1 0,1

Площадь морены равна 1,7 км².

Маточкин Шар
(прол. Маточкин Шар)

520 520 880
280 280 880 460 АФС 25/VII-52 г. 2,0 1,9

300 300 850 :

850 850 950
950 950 1150
380 380 1000
380 380 960
520 520 720
380 380 800
650 650 850
400 400 700
400 410 950 600 АФС 25/VII-52 г. 2,3 2,0

650 650 950
270 270 740
540 540 720 660
380 380 1000
410 410 750
400 400 800

950 950 1050
920 920 1050
700 700 950
600 600 1000
290 290
700 700 960
850 850 950
680 680 800
550 550 780 600 АФС 25/VII-52 г.

1000 1000 1050
1000 1000 1050
400 400 680
500 500 950
300 300 820

(прол. Маточкин Шар)

400 400 600 500 АФС 25/VII-52 г. 0,1 0,1

200 200 500
500 500 750
400 400 950

420 420 700 550 АФС 25/VII-52 г.

520 520 900
380 380 980
180 200 1000

470 470 880
580 600 1050
180 180 750

300 300 720 500 АФС 25/VII-52 г.

500 500 900 550 АФС 25/VII-52 г.

200 200 680
300 300 800

мысами Моржов и Шорохова (прол. Маточкин Шар)

210 230 900

300 320 800

№ по схеме	Название	Название реки, вытекающей из ледника, бухты, залива, моря, где оканчивается ледник	Морфологический тип	Общая экспозиция	Наибольшая длина, км		Площадь, км ²	
					всего ледника	в том числе открытой части	всего ледника	в том числе открытой части
1	2	3	4	5	6	7	8	9
73 23 5505 668	№ 668	р. б/н (в прол. Маточкин Шар)	кар.	СВ	0,6	0,6	0,3	0,3
73 21 5510 669	№ 669	р. б/н (в прол. Маточкин Шар)	дол.	СВ	2,2	2,2	1,0	0,9
73 20 5511 670	№ 670	р. б/н (в прол. Маточкин Шар)	вис.	СВ	0,5	0,5	0,2	0,2
73 19 5509 671*	№ 671	р. б/н (в прол. Маточкин Шар)	дол.	ЮВ	2,4	2,4	1,6	1,6
73 19 5509 672*	№ 672	р. б/н (в прол. Маточкин Шар)	дол.	ЮВ	1,3	1,3	0,7	0,7
73 18 5507 673*	№ 673	р. б/н (в прол. Маточкин Шар)	дол.	В	1,9	1,9	0,8	0,8
73 18 5506 674*	№ 674	р. б/н (в прол. Маточкин Шар)	кар.	В	0,7	0,7	0,2	0,2
73 17 5506 675*	№ 675	р. б/н (в прол. Маточкин Шар)	кар.	СВ	0,7	0,7	0,2	0,2
73 15 5509 676*	№ 676	р. б/н (в прол. Маточкин Шар)	дол.	СЗ	1,7	1,7	1,1	1,1
73 15 5519 677*	№ 677	р. б/н (в прол. Маточкин Шар)	дол.	С	3,4	3,4	2,2	2,2
73 15 5520 678*	№ 678	р. б/н (в прол. Маточкин Шар)	сл. дол.	С	5,5	5,3	6,2	6,0
73 16 5524 679*	№ 679	р. б/н (в прол. Маточкин Шар)	дол.	С	2,2	2,2	0,9	0,9
73 14 5529 680*	№ 680	р. б/н (в прол. Маточкин Шар)	дол. часть ледн. компл.	СВ	5,6	5,6	9,0	8,9
73 17 5530 681*	№ 681	р. б/н (в прол. Маточкин Шар)	кар.-вис.	СВ	0,7	0,7	0,4	0,4
73 19 5543 682	Скрытый	р. б/н (в прол. Маточкин Шар)	дол.	СВ	1,2	1,2	0,3	0,3
73 12 5542 683	№ 683	пр. р. Тарасова	кар.	СВ	0,4	0,4	0,1	0,1
73 13 5533 684*	№ 684	р. б/н (в прол. Маточкин Шар)	дол. часть ледн. компл.	В	4,6	4,6	7,4	7,4
73 11 5543 685*	№ 685	р. б/н (в прол. Маточкин Шар)	дол. перем.	СВ	1,2	1,2	0,6	0,6
20 ледников							34,5	33,9

Всего в бассейне прол. Маточкин Шар на Южном острове имеется 67 ледников (№ 619–685) общей площадью 1271,6 км². Площадь морены в области горного оледенения, расположенной в бассейне Карского моря, равна 348,2 км², в бассейне Итого на Новой Земле имеется 685 ледников общей площадью 23645,4 км². Площадь морены на Новой Земле 12377,8 км² и в бассейне прол. Маточкин Шар — 253,2 км².

Высота, м			Фирновая линия		Площадь области аблации, км ²		Объем льда, км ³	Ссылки на последующие таблицы (иллюстрации) № таблиц и иллюстраций
нижней точки конца ледника	нижней точки открытой части ледника	высшая точка ледника	высота, м	способ определения и дата	общая	в том числе открытой части		
10	11	12	13	14	15	16	17	18
280	280	500						
100	100	750						
540	540	780						
320	320	700	550	АФС 25/VIII-52 г.	0,9	0,9		
380	380	650	550	АФС 25/VIII-52 г.	0,4	0,4		
340	340	720	550	АФС 25/VIII-52 г.	0,4	0,4		
400	400	700	500	АФС 25/VIII-52 г.				
420	420	650	500	АФС 25/VIII-52 г.				
250	250	780	550	АФС 25/VIII-52 г.	0,5	0,5		
270	270	1050						
330	350	950	650	АФС 25/VIII-52 г.	1,8	1,6		
340	340	700						
150	150	780	500	АФС 25/VIII-52 г.	4,0	3,9		
370	370	700						
460	460	580						
500	500	700						
330	330	680	600	АФС 25/VIII-52 г.	3,0	3,0		
500	500	740						

158,9 км². Площадь морены равна 1,8 км²,
горного оледенения равна 14,1 км².

Баренцева моря — 670,2 км² и в бассейне прол. Маточкин Шар — 253,2 км²,
равна 67,1 км². Площадь оледенения в бассейне Карского моря равна 11014,4 км², в бассейне Баренцева моря —

ПОЯСНЕНИЯ К ТАБЛИЦЕ I

№ ледника по таблице	Название	№ графы	Пояснения
13	Иностраница	4	По леднику проходит условная граница между Северной ледниковой шапкой и ледниковым щитом Новой Земли. Ледник отнесен целиком к Северной ледниковой шапке. Ледник выводит лед со щита (№ 20) Северной ледниковой шапки и куполов № 3—6
14	Астрономический	2, 3	В работе В. С. Корякина (табл. V/№ 81) ледник назван по расположенной вблизи одиночной горной вершине. Ледник выводит лед с куполов № 3, 4
16	Вера	4	Ледник выводит лед с Северной ледниковой шапки и куполов № 6, 7, 10, 11
17	Центральный	2, 3	На картах ледник не имеет названия. В отчетах геологов НИИГА ему присвоено название Центральный. От моря отделяется узкой полосой морены
18	Бунге	4	Ледник выводит лед с Северной ледниковой шапки и купола № 12
19	Петерсена	2	На современных картах ледник показан без названия, однако на более ранних картах (см. «Труды ААНИ», 1936, т. 38) он имеет название, приведенное в графе 2. Конец ледника, выступавший в море, был назван ледяным мысом (табл. V/№ 47)
20	Нерасчлененная часть ледникового щита	8	В площадь ледникового щита включены участки его южного склона (общей площадью 304,2 км ²), от которых лед поступает к ледникам № 60—64. В табл. I эти ледники, таким образом, отнесены к области покровного оледенения (хотя по своей морфологии они скорее принадлежат зоне переходного оледенения)
32	№ 32	4	Купол имеет в северной части выводной язык, площадь которого включена в общую площадь купола
33	№ 33	4	Купол имеет в северной части выводной язык, площадь которого включена в общую площадь купола
39	Средний	2	В работе П. А. Шумского (табл. V/№ 159) ледник имеет название ледник Новопашенного
41	Вершинского	4	В среднем течении ледника имеется выход коренных пород
42	Налли	2, 3	На карте ледник названия не имеет. Название взято из работы П. А. Шумского (табл. V/№ 159)
43	№ 43	3	У конца ледника находится озеро, от которого он отделен моренным валом
44	Мощный	8, 9	Самый крупный ледник в бассейне Карского моря. На его поверхности расположено несколько очень узких срединных морен, общую площадь оценить невозможно. В фондовых материалах НИИГА ледник описан под названием Ленинградский
45	№ 45	3, 10	Ледник заканчивается в озере с урезом 204 м
46	Ольгинский	3	Название ледника указано в работе В. С. Корякина (табл. V/№ 81), а на карте он не имеет названия
47, 48, 49	Кропоткина, НИИГА, № 49	4	В боковых частях ледники последовательно соединены друг с другом
48	НИИГА	2, 3	Ледник заканчивается широким моренным валом
50	Шуры	2, 4	Вместе с ледником № 51, с которым соприкасается в среднем течении, на карте называется ледником Нансена. Однако еще в 1910 г. В. А. Русанов (табл. V/№ 112) назвал его ледником Шуры, а позднее геологи НИИГА именовали его Грозным. Выходом коренных пород фронт ледника разделен на два участка
50, 51	Шуры, Вылки	4	Языки ледниковых в нижнем течении соприкасаются друг с другом. Контакт отмечен мореной
51	Вылки	2, 4	В 1910 г. В. А. Русанов присвоил этому леднику имя Вылки (табл. V/№ 112). В 1923 г. Р. Л. Самойлович (табл. V/№ 117) назвал этот ледник в честь Нансена
53	№ 53	4	Выступ ледника по правому борту поддерживает озеро. Фронт ледника разделен сушей (п-вом Матусевича) на два участка
53, 54, 54	№ 53, Полисадова Полисадова	4	Язык ледника тремя ветвями обтекает выходы коренных пород
56	Oga	2	Ледники соединяются друг с другом боковыми частями
56, 57 58	Oga, № 57 Стройный	4 3	Выступ ледника с его левого борта поддерживает два озера с отметками уровня 135,0 и 136,0 м. В отчетах геологов НИИГА ледник назван Лазурным
60	Серп и Молот	2, 4	В 1910 г. В. А. Русанов назвал ледник в честь известного французского геолога Ога. На современных картах он называется Голубым, а в фондовых материалах НИИГА — Радищева
			В среднем течении ледники соединяются друг с другом
			Название в работе (табл. V/№ 79)
			На современных картах ледник назван Серп и Молот. В 1897 г. Г. Пирсон дал этому леднику название Ибис, а в 1910 г. В. А. Русанов назвал его ледником Соколова. К

№ ледника по таблице	Название	№ графы	Пояснения
61–63	№ 61–63	3	фронту ледника лед поступает как с ледникового щита, так и с соседней ледниковой шапки (№ 203), расположенной южнее, между заливами Циволько и Медвежьим. Ледосбор ледника Серп и Молот имеет общую границу с ледником № 203, а в бассейне Баренцева моря — с ледосборами ледников № 61 (Лакруа) и 230. Таким образом, по этому леднику осуществляется контакт ледникового покрова с менее развитыми ледниками области переходного оледенения
61, 60, 62, 20	Лакруа, Серп и Молот, Широкий, № 20	3, 4, 10	В литературе (табл. V/№ 168, 171, 172) верховья этих ледников объединяются под названием Норвежское ледяное плато
62, 63	Широкий, № 63	3, 4	В 1952 г. ледник Лакруа отделялся от моря очень узкой полосой моренного материала, хотя в 1921 г. он продуцировал айсберги. Высота его конца определена приблизительно интерполяцией по ближайшей горизонтали. В плющадь ледника включен выступ языка, расположенный восточнее выхода коренных пород с отметкой 869 м. Его верховья контактируют с ледниковым щитом (№ 20), а также с соседними ледниками № 60 и № 62. Несмотря на контакт с ледниковым покровом, судя по вогнутому поперечному профилю, в верховых ледник получает незначительное питание с покрова. Поэтому считать его выводным ледником покрова нельзя. Это самостоятельный долинный ледник, однако он намного крупнее по сравнению с обычным горным и относится к типу оледнения, переходного от покровного к горному
64, 61, 63, 20	Низкий, Лакруа, № 63, 20	4	Ледники не доходят до моря, от ледникового покрова практически обособлены
66	Норденшельда	2, 4, 10	В прифронтальной части язык ледника расширен и только небольшой участок его выходит к морю, образуя фронт. От главного водораздела острова лед к фронту ледника не поступает: этому препятствует местный ледораздел в его верховых. Поэтому ледник Низкий, в отличие от выводных ледников покрова является самостоятельным долинным ледником, представляя наиболее северный ледник из группы, занимающей промежуточное положение между горными и покровными. Контакт с верховьями соседних ледников № 61, 63 и ледником щитом (№ 20) по переметным участкам снега и льда
67, 68	Вилькицкого	2, 4	На карте ледник не имеет названия. В. А. Русанов назвал его ледником Норденшельда (табл. V/№ 112), хотя ранее тот же исследователь использовал другое название — ледник Масленникова. На новых картах название В. А. Русанова восстановлено
67	Вилькицкого (южный)	2, 4	В. А. Русанов в 1910 году присвоил общему фронту этих ледников название Вилькицкого. Контакт ледников отмечен срединной мореной
68	Вилькицкого (северный)	2, 4	На современных картах принято наименование ледник глетчер Южный. На новых картах дано название, приведенное в графе 2. Ледник выводит лед с ледникового щита (№ 20) и купола № 22
69	Кривошенина	2, 4	На современных картах принято наименование ледник глетчер Северный. На новых картах дано название, приведенное в графе 2. Ледник выводит лед с ледникового щита (№ 20) и куполов № 22—25
71	Крайний	3, 4	Фронт ледника разделен выходом коренных пород на два участка, причем меньший в 1910 г. В. А. Русанов назвал ледником Жан, который, однако, не является самостоятельным образованием. Ледник выводит лед с ледникового щита и купола № 25
80	Чернышева	4	На карте разные части ледника в нижнем течении имеют два названия — Крайний и Попова
81	№ 81	2	Ледник выводит лед с ледникового щита (№ 20) и куполов № 27, 28, 29
82	№ 82	4	Язык ледника упирается в правый борт ледника № 80. Ледник выводит лед с ледникового щита (№ 20) и куполов № 27, 29
83	Борзова	4	Ледник выводит лед с ледникового щита (№ 20) и куполов № 29, 30, 31
			Кроме основного потока льда от главного ледораздела ледник выводит лед с куполов № 29, 32

№ ледника по таблице	Название	№ графы	Пояснения
84	№ 84	3, 4	Левым бортом ледник граничит с ледником № 83, по их контакту протягивается морена. Ледник выводит лед с купола № 32
85	Лактионова	2	Ледник на карте В. А. Русанова (табл. V/№ 104) назван ледником Русской Гавани
88, 90	Рыкачева, Велькена	4	Ледник выводит лед с ледникового щита (№ 20) и купола № 33
90, 91	Велькена, Мака	4	Языки ледников соприкасаются друг с другом, в области расхода контакт отмечен грядой морены
91, 92	Мака, Воейкова	4	Ледники частично выводят лед с куполов № 34, 35
93, 94	Броунова, Анучиня	4	Ледники № 109—118, относящиеся к бассейну Карского моря, и ледники № 119—140, относящиеся к бассейну Баренцева моря, в табл. 1, 2 и 3 отнесены к области переходного оледенения
109—140	№ 109—140	4	Ледник имеет сток в озеро, расположение на обширном выходе коренных пород между ледниками Шуры и Вылки в среднем их течении
101	№ 101	3	Ледник имеет сток в озеро, расположение у северного торта ледника Полисадова
103	№ 103	3	Ледники расположены в бассейне ледника Серп и Молот
114—116	№ 114—116	3	Ледники расположены на выходе коренных пород внутри ледника Серп и Молот
117—118	№ 117—118	4	Ледники соединяются в верховьях
121, 124	№ 121, 124	4	Ледники соединяются в верховьях с ледником щитом (№ 20)
126	№ 126	4	Ледники соединяются в верховьях
126, 127	№ 126, 127	4	Ледники соединяются в верховьях с ледником Низкий, а также друг с другом боковыми частями. Ледники расположены в бассейне ледника № 63
130, 131	№ 130, 131	4	Ледники соединяются в верховьях с ледником Глазова (№ 65)
136, 137	№ 136, 137	4	Ледники расположены в бассейне ледника Глазова (№ 65)
136—139,	№ 136—139,	3	Ледник соединяется в верховьях с ледниками № 142, 144
145—147	№ 145—147	4	Ледники соединяются в верховьях
141	№ 141	4	Ледник соединяется в верховьях с ледником № 148
148, 65	№ 148, 65	4	Ледники расположены в бассейне ледника Норденшельда (№ 66)
153	№ 153	4	Ледники расположены в бассейне ледника Норденшельда у правой лопасти его языка, не доходящей до моря
153—156,	№ 153—156,	3	Ледники соединяются в верховьях с ледником Норденшельда (№ 66)
160—162	№ 160—162	4	Ледники соединяются в верховьях с ледником Норденшельда (№ 66)
157—159	№ 157—159	3	Ледник соединяется в верховьях с ледником щитом (№ 20)
165, 168	№ 165, 168	4	Ледники расположены в бассейне ледника Вилькицкого (южный) (№ 67)
176	№ 176	4	Ледники расположены в бассейне ледника Вилькицкого (северный) (№ 68)
177, 178	№ 177, 178	3	Ледники расположены в бассейне ледника Кривошеина (№ 69)
179—181	№ 179—181	3	Ледник соединяется в верховьях с ледником № 25
185, 186	№ 185, 186	3	Ледник расположен в глубоком ущелье гор ЦАГИ, окруженнных со всех сторон льдом ледникового покрова
186	№ 186	4	Ледник расположен на плоской горе Потоцкого
188	№ 188	4	Ледник соединяется в верховьях с ледником щитом (№ 20)
195	№ 195	4	Ледники соединяются в верховьях с ледником № 37
197	№ 197	4	Ледник соединяется в верховьях с Северной ледниковой шапкой (№ 1)
198, 199	№ 198, 199	4	Ледник расположжен у основания лавинного лотка и питается исключительно лавинами
201	№ 201	4	Ледники образуют сложный ледниковый комплекс — ледниковую шапку общей площадью 597,6 км ² , в том числе в бассейне Карского моря 369,5 км ² , а в бассейне Баренцева моря 228,3 км ²
202	№ 202	4	Ледники соединяются в верховьях
203—206	№ 203—206, 222,	4	Ледники образуют сложный ледниковый комплекс — ледниковое плато общей площадью 426,5 км ² , в том числе в бассейне Карского моря 252,8 км ² , в бассейне Баренцева моря 173,7 км ²
222, 223,	223, 230	4	Ледники соединяются в верховьях
205, 279	№ 205, 279	4	Ледники соединяются в верховьях
207—213,	№ 207—213,	4	Ледники образуют сложный ледниковый комплекс — ледниковое плато общей площадью 426,5 км ² , в том числе в бассейне Карского моря 252,8 км ² , в бассейне Баренцева моря 173,7 км ²
219—221	219—221	4	Ледники соединяются в верховьях
208, 214	Витте, Хитрый	4	Названия даны экспедицией А. А. Борисова в 1900—1901 гг. (табл. V/№ 175), но на современных картах они отсутствуют
210, 211	Ярошевского, Рейнгардта	2	Ледник № 213 соединяется в верховьях с ледниками № 249 и 250 и заканчивается в озере с урезом 40 м
213, 249, 250	№ 213, 249, 250	3, 4	Ледники заканчиваются в озере с урезом 25 м
212, 250	№ 212, 250	3	

№ ледника по таблице	Название	№ графы	Пояснения
214—218	№ 214—218	4	Ледники составляют сложный ледниковый комплекс — ледниковое плато общей площадью 364,1 км ² . Плато расположено в бассейне Баренцева моря, в том числе в бассейнах губ Северная Сульменевая 17,0 км ² , Южная Сульменевая 347,1 км ² . В литературе (табл. V/№ 79) плато имеет название Южное ледяное плато, однако определение «ледниково» правильнее
214	Хитрый	2, 4	В отчетах геологов НИИГА он назван Хитрый. Второе название — Южная Сульменевая — дано В. А. Русановым (табл. V/№ 107, 112). На современных картах ледник не имеет названия. В верховьях соединяется с ледником Витте (№ 208)
215	Шумный	2, 3, 4	В настоящее время ледник отступил от береговой черты. В. А. Русанов в 1909 г. дал этому леднику название именно из-за грохота при образовании айсбергов Ледники заканчиваются в озере с урезом 4 м
220, 222— 224, 274 279, 280	№ 220, 222—224, 274, 279, 280	3	Ледник спускается в бассейне губы Машигиной — 117,4 км ² , в бассейне губы Северная Сульменевая — 135,2 км ² . В литературе (табл. V/№ 79) оно имеет название Среднее ледяное плато, однако определение «ледниково» правильнее
223	№ 223	4	Ледник расположается в протяженной межгорной долине. От его ледораздела к северному выходу из межгорной долины спускается ледник № 230. Таким образом, образуется специфическая форма ледника, известная на Шпицбергене под названием «двускатного»
224—229	№ 224—229	4	Ледники составляют сложный ледниковый комплекс — ледниковое плато общей площадью 252,6 км ² . Плато расположено в бассейне Баренцева моря, в том числе в бассейне губы Машигиной — 117,4 км ² , в бассейне губы Северная Сульменевая — 135,2 км ² . В литературе (табл. V/№ 79) оно имеет название Среднее ледяное плато, однако определение «ледниково» правильнее
225	№ 225	2, 4	В. А. Русановым дано название ледника Северная Сульменевая (табл. V/№ 112), но на современной карте ледник не имеет названия
228	Окленд	2, 4	На современной карте ледник не имеет названия, однако ранее в литературе использовалось название Окленд (табл. V/№ 159), которое было дано В. А. Русановым (табл. V/№ 112)
231—233 234 235, 236	№ 231—233 № 234 № 235, 236	3 3 3, 4	Ледники расположены в бассейне ледника Серп и Молот Ледник расположен в бассейне ледника № 204 Ледники соединяются в верховьях с ледником № 204 и расположены в бассейне ледника № 205
237, 238 239, 240 242—247 249	№ 237, 238 № 239, 240 № 242—247 № 249	3 4 3 3, 4	Ледники расположены в бассейне ледника № 205 Ледники соединяются в верховьях Ледники расположены в бассейне ледника Витте (№ 208) Ледник расположен в бассейне ледника № 250 и соединяется в верховьях с ледником № 213
250 259	№ 250 № 259	4 3	Ледник соединяется в верховьях с ледником № 213 Ледник на небольшом участке соединяется в верховьях с ледником Шумным (№ 215)
261 264	№ 261 № 264	4 4	Ледник расположен в бассейне ледника Шумного (№ 215) Ледник соединяется в верховьях с ледником Шумным (№ 215)
267, 218 269 274 275—277 279, 205, 223 281, 282 281—283	№ 267, 218 № 269 № 274 № 275—277 № 279, 205, 223 № 281, 282 № 281—283	3 4 3, 10 3 3 4 3	Ледники соединяются в верховьях Ледник расположен в бассейне ледника № 270 Язык ледника спускается в оз. Гольцове Ледники расположены в бассейне ледника № 222 Ледники последовательно соединяются в верховьях Ледники доходят до края ледника № 223 Ледники расположены в бассейне ледника № 223 Ледник соединяется в верховьях с ледником № 227 Ледник соединяется в верховьях с ледником № 229 Ледник соединяется в верховьях с ледниками № 287, 289 Ледник соединяется в верховьях с ледником № 223 Ледники расположены в бассейне губы Машигина Ледники соединяются в верховьях с ледником № 223 Ледник расположен в бассейне ледника № 230
285 287 288 289 290—292 291, 292 292 295, 296, 298	№ 285 № 287 № 288 № 289 № 290—292 № 291, 292 № 292 № 295, 296, 298	4 4 4 4 3 4 4 3	Ледники составляют сложный ледниковый комплекс — ледниковое плато, занимающее площадь 74,6 км ² , расположенное целиком в бассейне Баренцева моря
296, 524 298 301, 514	№ 296, 524 № 298 Макарова—Жерве, 514	4 15, 16 4	Ледники соединяются в верховьях Площадь области аблляции меньше 0,1 км ² Ледники составляют сложный ледниковый комплекс. Граница между ледниками проведена условно, так как вместе они представляют ширококонечный долинный ледник, имеющий сток в разные бассейны. Площадь ледника 21,3 км ² , в том числе в бассейне Карского моря 10,4 км ² , в бассейне Баренцева моря 10,9 км ²

№ ледника по таблице	Название	№ графы	Пояснения
302, 497	№ 302, 497	4	Ледники соединяются в верховых
302, 303	№ 302, 303	4	Левый борт ледника № 303 соприкасается с языком ледника № 302
305, 308	№ 305, Краснова	2	На карте оба ледника носят название ледник Краснова
306, 307	№ 306, 307	4	Языки ледников соединены друг с другом, на небольшом участке лед ледника № 306 перетекает к леднику № 307
305, 308, 314, 313	№ 305, Краснова, 314, 313	4	В верховых ледники последовательно соединены друг с другом
309, 310	№ 309, 310	3	Ледники расположены в бассейне ледника № 308
319, 320, 322	№ 319, 320, 322	4	Ледники последовательно соединены в верховых
321, 323	№ 321, 323	3	Ледники расположены в бассейнах ледников соответственно № 320, 322
324	Озерный	3	Ледник оканчивается в бессточном озере с урезом 414 м
322, 324	№ 322, Озерный	4	На линии соприкосновения ледников имеется участок перетекания льда от ледника № 322 к леднику № 324
324—327, 333—335, 431	№ 324—327, 333—335, 431	4	Ледники составляют сложный ледниковый комплекс, расположенный по обе стороны от главного ледораздела района. Площадь комплекса 89,0 км ² , в том числе в бассейне Карского моря 69,3 км ² , в бассейне Баренцева моря 7,0 км ² , в бассейне прол. Маточкин Шар 12,7 км ²
327—330	№ 327—330	4	Большая роль в питании этих ледников принадлежит лавинам.
328	№ 328	4	Ледник расположен в бассейне ледника № 327. Область аблации представлена небольшими пятнами льда площадью менее 0,1 км ²
329, 330	№ 329, 330	4	Ледники соединяются в верховых с ледником № 327
336, 429 339	№ 336, 429 № 339	4 3	Ледники соединяются в верховых
342, 358 343	№ 342 и 358 № 343	4 4	Ледник расположен в бассейне ледника № 327
346, 347 350	№ 346, Лагерный № 350	4 4	Ледники соединяются боковыми частями
354—357	Обрывистый, № 355—357	3	Ледники расположены в узких долинах, питаются в основном переметенным снегом и лавинами
360—362	№ 360—362	4	Большая роль в питании ледников принадлежит лавинам
363, 377 364	№ 363, 377 № 364	4 4	Ледники соединяются в верховых
364, 375	№ 364, 375	4	Язык ледника касается левого края ледника № 365
366, 371	№ 366, 371	4	Ледники соединяются в верховых
367, 369 369	№ 367, 369 № 369	4 4	Ледники расположены на северном склоне горы Вильчека
370, 371 371	№ 370, 371 № 371	4 4	Ледники соединяются в верховых
376, 377 377	№ 376, 377 № 377	4 4	На конце языка ледника имеется участок малоактивного льда площадью 0,3 км ²
379, 422 379	№ 379, 422 № 379	4 3	Ледники соединяются в верховых
380, 420	№ 380, 420	4	Река, вытекающая из ледника является притоком безымянной реки в бассейне оз. Дальнее
381, 382	№ 381, Вздыбленный	4	Ледники соединяются в верховых
382	Вздыбленный	3	Языки ледников соединяются и в самых низовьях отделены друг от друга мореной
382, 398— 400, 417	Вздыбленный, Бычкова, 399, 400, Энгельса	4	Конец ледника спускается в озеро
385	Гордеева	4	Ледники соединяются в верховых
385, 386, 387	Гордеева, № 386, № 387	4	По нижнему краю ледника проходит местный ледораздел, который отсекает участок льда площадью 1,2 км ² в соседний к северу бассейн. Этот участок входит в площадь всего ледника
389	№ 389	4	Имеются участки перетекания льда от ледника № 385 к леднику № 386 и от ледника № 386 к леднику № 387
391	№ 391	9	Язык ледника раздваивается. Правая лопасть имеет участок, закрытый мореной, левая спускается ниже по долине
394, 397 398	№ 394, Кольцова Бычкова	4 3, 4	На языке ледника имеется участок под мореной площадью 0,1 км ²
			Ледники соединяются в верховых
			Справа от основного языка перетекает к северу небольшой ледник площадью 1,3 км ² , спускающийся в озеро Ледяное, из которого вытекает руч. Подгорный 2-й. Площадь этого ледника включена в общую площадь ледника Бычкова. Ледник соединяется в верховых с ледниками № 406, 408, 417, 382

№ ледника по таблице	Название	№ графы	Пояснения
399, 400, 401 407 408, 409	№ 399—401 № 407 Хрустальный, № 409	3 3 4	Ледники расположены в бассейне ледника Бычкова (№ 398) Ледник расположен в бассейне ледника № 406 В нижней части языки ледников соприкасаются друг с другом
409—413 412, 413 413, 418 414	№ 409—413 № 412, 413 № 413, 418 № 414	3 4 4 3, 15	Ледники расположены в бассейне ледника № 408 Ледники существуют в основном за счет лавин Ледники соединяются в верховьях Ледник имеет преимущественно лавинное питание. Лавины сходят с окаймляющих ледник склонов, закрывая почти всю поверхность ледника. Площадь области аблации менее 0,1 км ² . У конца ледника находится озеро
417	Энгельса	4	В питании ледника принимают участие лавины и обвалы фирна, висящего на крутых склонах, окаймляющих ледник. Ледник соединяется в верховьях с ледниками № 382 и Бычкова (№ 398)
398, 406 417, 418	№ 398, 406 Энгельса, № 418	4 4	Ледники соединяются в верховьях Языки ледников соединяются друг с другом боковыми частями
419, 420, 380 421 427, 429, 336 429	№ 419, 420, 380 № 421 № 427, 429, 336 № 429	4 15 4 4	В верховьях ледники последовательно соединены друг с другом Площадь области аблации менее 0,1 км ² Ледники последовательно соединяются в верховьях
430 434—436, 449	№ 430 № 434—436, 449	15 4	Небольшая часть льда перетекает через ледораздел к югу и дает сток в бассейн губы Белужьей. Основной ледник расположен на ровном склоне, имеет широкий плоский язык Площадь области аблации менее 0,1 км ² .
436, 440 437 441, 447 443, 445 444	№ 436, 440 № 437 № 441, 447 № 443, 445 № 444	4 3 4 4 4	Ледники составляют сложный ледниковый комплекс — ледники плато — общей площадью 39,0 км ² . Ледниковый комплекс расположен целиком в бассейне Баренцева моря Ледники соединяются в верховьях Ледник расположен в бассейне ледника № 436 Ледники соединяются в верховьях
450, 451	№ 450, 451	4	» » » Ледник существует исключительно за счет лавин, падающих с крутых склонов, окаймляющих ледник
452, 453, 471 454	Мутафи, № 453, 471 № 454	4 4	Ледники соприкасаются боковыми частями. Имеется участок перетекания льда к леднику № 451 Ледник Мутафи соединяется в верховьях с ледниками № 453 и 471
454, 455, 468 455 455, 456 457	№ 454, 555, 468 № 455 № 455, 456 № 457	3 4 3 4	Часть льда перетекает через ледораздел на север, в бассейн р. Мелкой. Этот участок площадью 0,7 км ² включен в общую площадь ледника Ледник № 454 соединяется в верховьях с ледниками № 455 и 468
457, 466 458, 465	№ 457, 466 Перекидной, 465	4 4	Большое участие в питании ледника принимают лавины Ледники расположены в бассейне ледника № 454
457—462, 464, 466	№ 457—462, 464, 466	4 4	Справа ледник принимает небольшой приток, площадь которого включена в общую площадь ледника № 457
466, 467	№ 466, 467	4	Ледники соединяются в верховьях
468	№ 468	4	Ледники соединяются в верховьях. Имеется участок перетекания льда от ледника № 465 к леднику № 458
472, 473 474, 491	№ 472, 473 № 474 и 491	4 4	Большую роль в питании ледников играют лавины Ледники соприкасаются боковыми частями. Имеется участок перетекания льда от ледника № 467 к леднику № 466
475	№ 475	4	Ледник имеет два языка: левый — узкий длинный, правый — закругленный
475, 487	№ 475, Крутой	4	Ледники соприкасаются друг с другом в верховьях. Имеется значительный участок перетекания льда от ледника № 473 к леднику № 472
476, 477, 486 477	№ 476, 477 Наблюдений № 477	4 4	Ледники соединяются боковыми частями Большое участие в питании ледника принимают лавины. Ниже конца ледника имеется шесть четко отделяющихся друг от друга валов конечной морены
478, 481 484	№ 478, Благодать, 484	2, 4	Ледники соединяются в верховьях
479 480	№ 479 480	3 3	Ледники составляют сложный ледниковый комплекс, занимающий площадь 21,9 км ² и расположенный целиком в бассейне Баренцева моря
			Ледник плато с широким коротким языком, целиком покрыт снегом
			Ледники составляют сложный ледниковый комплекс — ледники плато — общей площадью 40,2 км ² , расположенный целиком в бассейне Баренцева моря. На карте эти ледники имеют общее название ледник Пингегина
			Часть стока с ледника поступает в бассейн ледника № 481
			Ледник расположен в бассейне ледника № 479

№ ледника по таблице	Название	№ графы	Пояснения
482	№ 482	4	Ледник является левым притоком ледника № 481
484	№ 484	4	Ледник имеет очень широкий, короткий язык, дающий сток в несколько рек — притоков р. Южной Крестовой
487, 475	Крутой, № 475	4	Ледники соединяются в верховьях
490, 491	№ 490, 491	3	Ледники дают сток в оз. Долгое
490, 491,	№ 490, 491, 474	4	Ледники последовательно соединяются в верховьях
493, 494	№ 493, Водораздельный	4	Ледники соединяются в верховьях
497, 302	№ 497 и 302	4	» » »
502, 504,	Географического института, Эдельштейна, № 506	4	Ледники последовательно соединены в верховьях
503	№ 503	4	
507	№ 507		Ледник расположен в бассейне ледника № 502. По измерениям М. А. Лавровой, с 26/VIII по 18/IX 1925 г. средняя скорость ледника составила 55 см/сутки (190 м/год)
508, 510,	№ 508, 510, 511	4	Основные сведения о леднике даны с пониженной точностью из-за низкого качества аэрофотоснимков
511			Ледники имеют преимущественно лавинное питание
510, 511	№ 510, 511	3	
513, 514	№ 513, 514	4	Ледники расположены в бассейне ледника № 509
514	№ 514	4	Ледники соединяются в верховьях, языки их в нижней части соприкасаются друг с другом
524, 296	№ 524, 296	4	См. пояснение к леднику № 301
526	№ 526	3	В верховых ледники соединяются друг с другом
526, 527,	№ 526, 527, 529	4	Конец ледника спускается в озеро
529			Ледники последовательно соединяются в верховьях
526, 550	№ 526, 550	4	
529, 530	№ 529, 530	3	
529, 548	№ 529 и 548	4	
528, 531,	№ 528, 531, 548	4	Ледник № 528 соединен в верховьях с ледниками № 531, 548
548			Расход вещества ледника происходит в большей мере за счет лавин, которые сходят с него на язык ледника № 528
530	№ 530	4	Ледник № 531 соединяется в верховьях с ледниками № 532, 533
531—533	№ 531—533	4	
532—535	№ 532, 533, 534, 535	4	Ледники имеют преимущественное лавинное питание
534, 535	№ 534, 535	3	Ледники расположены в бассейне оз. Высокое
536	№ 536	4	Ледник расположен в крупном каре с крутыми стенами, с которого сходят лавины (вне кара находится $\frac{1}{7}$ часть ледника)
538, 539,	№ 538, 539, 542,	4	Ледники последовательно соединяются в верховьях
542, 543	543	3	
539	№ 539		
541	Стеклова		Конец ледника спускается в озеро. Река протекает через оз. Гольцове. По нему проходит граница между областями оледенения, переходного от покровного к горному, и горного оледенения. Ледники северной части бассейна оз. Гольцового рассматриваются как ледники, относящиеся к области переходного оледенения от покровного к горному
541, 542	Стеклова, № 542	4	Из-за неудовлетворительного качества аэрофотоснимков высота границы питания и площадь области абляции даны приблизительно
542, 543	№ 542, 543	4	Ледники соединяются в верховьях
543	№ 543	4	Конец языка ледника № 542 раздваивается, правая его лопасть соприкасается с языком ледника № 543
548, 547,	№ 548, 547, 528, 529	4	Ледник состоит из двух слившихся параллельных потоков льда — основного левого и очень узкого правого, при слиянии образующих широкий язык
528, 529			Ледник № 548 соединен в верховьях с ледниками № 547, 528, 529
549, 550	№ 549, 550	4	
550	№ 550	4	Ледники соединяются в верховьях
552, 554	№ 552, 554	4	По леднику проходит участок главного водораздела района, причем большая часть ледника расположена в бассейне Баренцева моря. Часть ледника площадью 1,5 км ² , дающая сток в бассейн Карского моря, включена в общую площадь ледника
553, 554	№ 553, 554	4	Ледники соединяются в верховьях
555, 685	№ 555, 685	4	Ледники расположены на северных склонах гор Сосновского
556, 680,	№ 556, 680, 684	4	Ледники соединяются в верховьях
684			Ледники составляют сложный ледниковый комплекс, общей площадью 17,0 км ² , в том числе в бассейне Карского моря 8,0 км ² , в бассейне прол. Маточкин Шар 9,0 км ²
557, 684	№ 557, 684	4	Ледники соединяются в верховьях
558, 678	Ферсмана, 678	4	» » »
559	№ 559	4, 15	Ледник расположен в бассейне ледника № 558. Площадь области абляции менее 0,1 км ²
560, 659,	№ 560, 659, 562	4	Ледники последовательно соединены в верховьях
562			

№ ледника по таблице	Название	№ графы	Пояснения
561	Южный	4, 13	<p>Справа ледник принимает крупный приток, площадь которого включена в общую площадь ледника. Его поверхность сильно разбита трещинами, пятна льда доходят до самых верховий, так же как и на основном леднике. Дана средняя высота границы питания. В питании ледника большую роль играют лавины</p> <p>Ледник № 561 соединен в верховьях с ледниками № 646, 648, 658</p>
561, 646, 648, 658	№ 561, 646, 648, 658	4	Площадь области аблации менее $0,1 \text{ км}^2$
563	№ 563	15	Ледники расположены в бассейне ледника № 561
562—565	№ 562, 563, 564, 565	3	Ледники соединяются в верховьях
565, 570	№ 565, 570	4	В питании ледников большое участие принимают лавины
569, 570	№ 569, 570	4	Ледники соединены в верховьях
571, 641	№ 571, 641	4	Площадь области аблации менее $0,1 \text{ км}^2$
572, 573	№ 572, 573	15	Ледники дают сток в озеро, из которого вытекает р. Есипова
573—575	№ 573—575	3	Ледники соединяются в верховьях
573, 639	№ 573, 639	4	Ледники соединяются в верховьях с ледниками № 636
575, 576	№ 575, 576	4	Ледник № 579 соединяется в верховьях с ледниками № 578, 580
578—580	№ 578—580	4	Ледники составляют сложный ледниковый комплекс общей площадью $24,0 \text{ км}^2$, в том числе в бассейне Карского моря $20,2 \text{ км}^2$, в бассейне прол. Маточкин Шар $3,8 \text{ км}^2$
579, 636	№ 579, 636	4	Область аблации представлена на леднике пятью льда, площадь которых приводится в таблице. В таблице дана средняя высота границы питания
579	№ 579	13, 16	<p>Ледники соединяются в верховьях</p> <p>Площадь области аблации менее $0,1 \text{ км}^2$</p> <p>Река берет начало из родников в верховьях долины</p> <p>Ледники последовательно соединяются в верховьях</p> <p>Ледник имеет два языка; правый небольшой язычок, расположенный выше основного, кончается озером</p> <p>Ледники на большом протяжении соединены в верховьях</p>
583, 584	№ 583, 584	4	Ледники соединены в верховьях
584	№ 584	15	Площадь области аблации менее $0,1 \text{ км}^2$
	р. Безымянная	3	Река берет начало из родников в верховьях долины
588—590	№ 588—590	4	Ледники последовательно соединяются в верховьях
589	№ 589	4	Ледник имеет два языка; правый небольшой язычок, расположенный выше основного, кончается озером
589, 624, 630	№ 589, 624, 630	4	Ледники на большом протяжении соединены в верховьях
590, 623	№ 590 и 623	4	Ледники соединены в верховьях
590	№ 590	4	Ледник состоит из трех длинных ветвей, которые, сливаясь, образуют широкий короткий язык. Конец языка раздваивается, и правая лопасть его кончается озером с урезом 251 м, дающим сток в р. Малую Безымянную. В это же озеро спускается одна из лопастей ледника № 598
591, 593	№ 591, 593	4	<p>Ледники составляют сложный ледниковый комплекс — ледники плато с двумя выводными ледниками, которые спускаются на восток и на юго-запад. Площадь комплекса $10,8 \text{ км}^2$. Он целиком расположен в бассейне Баренцева моря</p> <p>Ледники последовательно соединяются в верховьях</p>
594—597	№ 594—597	4	Ледники составляют сложный ледниковый комплекс. Площадь комплекса $63,0 \text{ км}^2$; в том числе в бассейне Баренцева моря находится $45,0 \text{ км}^2$, в бассейне прол. Маточкин Шар — 18 км^2
598, 599,	№ 598, 599, 620, 621	4	Язык ледника раздвоен, левая лопасть его спускается в озеро, урез которого 251 м
620, 621			Ледник № 599 соединяется в верховьях с ледниками № 604, 617, 618
598	№ 598	4	Ледник № 600 соединяется в верховьях с ледниками № 601, 602
599, 604, 617, 618	№ 599, 604, 617, 618	4	Ледник № 600 расположен в бассейне ледника № 602
600, 601, 602	№ 600, 601, 602	4	Ледники составляют сложный ледниковый комплекс. Граница между ледниками проведена условно, так как ледники № 605, 615 составляют вместе единый ширококонечный длинный ледник с широким языком, дающим сток в различные бассейны. Площадь всего комплекса $23,6 \text{ км}^2$
603	№ 603	4	Ледник № 605 соединяется в верховьях с ледниками № 608, 609
605, 606, 615	№ 605, 606, 615	4	Ледник спускается в озеро, из которого вытекает р. Панькова
605, 608, 609	№ 605, 608, 609	4	Площадь области аблации менее $0,1 \text{ км}^2$.
606	№ 606	3	См. пояснение к леднику № 605
613	№ 613	15	Ледники соединяются друг с другом в верховьях, а также с ледником № 599
615	№ 615	4	См. пояснение к леднику № 599
617, 618	№ 617, 618	4	Ледники соединяются в верховьях
620			Ледники расположены в бассейне ледника № 623
622, 621	№ 622, 621	4	Большое участие в питании ледника принимают лавины и обвалы фирна, висящего на крутых склонах
622	№ 622	3	Ледник № 624 соединяется в верховьях с ледниками № 589, 630
624	№ 624	4	Ледник расположен в бассейне ледника № 625
624, 589, 630	№ 624, 589, 630	4	
626	№ 626	3	

№ ледника по таблице	Название	№ графы	Пояснения
630	№ 630	4	В площадь ледника включены небольшие ледники, висящие на левом крутом склоне и дающие постоянные обвалы льда и фирна на поверхность основного ледника
627, 628	№ 627, 628	4	Ледники соединяются в верховьях
630, 626,	№ 630, 626, 624, 589, 632	4	Ледник № 630 соединяется в верховьях с ледниками № 626, 624, 589, 632
624, 589, 632			
632	№ 632	4	Поверхность ледника сильно разбита трещинами
634, 635	№ 634, 635	4	Ледники соединяются в верховьях. В питании этих ледников большое участие принимают лавины. Поверхность ледников неровная, бугристая, языки разбиты трещинами
634, 635, 636	№ 634, 635, 636	4	Концы ледников окаймлены несколькими (7—8) валами конечной морены, равномерно отстоящими друг от друга.
636	№ 636	4	См. пояснения к № 579
636, 575, 576	№ 636, 575, 576	4	Ледник № 636 соединяется в верховьях с ледниками № 575, 576
637, 638	№ 637, 638	4	Ледники соприкасаются в верховьях
639, 573	№ 639, 573	4	Ледники соединены в верховьях
641, 571	№ 641, 571	4	»
641	№ 641	4	Конец языка ледника растекается на широком выровненном пространстве. Часть стока с ледника уходит на юг, в бассейн р. Есипова
645	№ 645	15	Площадь области аблации менее 0,1 км ²
646, 648, 561	№ 646, 648, 561	4	Ледники № 646, 648 соединяются в верховьях с ледником № 561
649, 657	№ 649, 657	4	Ледники соединяются в верховьях
653	№ 653	3	Ледник расположен в бассейне ледника № 652
655	№ 655	15	Площадь области аблации менее 0,1 км ²
657	№ 657	4	Ледник расположен в неглубокой долине. В средней части ледника имеются выступы коренных пород. На поверхности ледника чередуются пятна снега и льда
658	№ 658	15	Большое участие в питании ледника принимают лавины и обвалы фирна с крутых склонов. В таблице дана средняя высота границы питания
658, 561	№ 658, 651	4	Ледники соединены в верховьях
659	№ 659	4	На небольшом участке часть льда перетекает через ледо-раздел в бассейн р. Клокова
659, 560, 562	№ 659, 560, 562	4	Ледник № 659 соединяется в верховьях с ледниками № 560, 562
660	№ 660	4	Поверхность ледника сильно разбита трещинами. Верхняя ступень ледопада находится на высоте 800 м
663	№ 663	15	Площадь области аблации менее 0,1 км ²
664, 665	Васнецова вост., Васнецова зап.	4	Ледники соединяются в верховьях. Эти ледники, расположенные на южном склоне горы Лазарева, названы на карте ледником Васнецова
671, 672	№ 671, 672	4	Ледники соприкасаются боковыми частями
672—677	№ 672—677	3	Ледники расположены в бассейне безымянного озера, дающего сток в прол. Маточкин Шар
678, 558	№ 678, 558	4	Ледники соединены в верховьях
679	№ 679	4	Ледник питается несколькими слившимися узкими русловыми ледниками. Имеет широкий плоский язык
680, 681	№ 680, 681	4	Ледники соединяются в верховьях
680, 684	№ 680, 684	4	См. пояснение к леднику № 556
685, 555	№ 685, 555	4	Ледники соединяются в верховьях

Приложение. На большое количество ледников в области горного оледенения сведения о высоте фирновой линии не приведены из-за того, что на аэрофотоснимках, имеющихся в распоряжении авторов, эти ледники закрыты снегом.

СПИСОК ГИДРОМЕТЕОРОЛОГИЧЕСКИХ СТАНЦИЙ И ПОСТОВ В РАЙОНЕ ЛЕДНИКОВ

№п/п	Местоположение станции	Название станции или поста	В чьем ведении находится	Абсолютная высота, м	Период наблюдений, годы				Продолжительность солнечного сияния: 1934—1941, 1943, 1945—1963. Актинометрия: 1937
					основные метеорологические	осадки	толщина снега	дополнительно	
1.	Мыс Желания	мст Мыс Желания	ГУСМП с 1963 г. ГУГМС	10	1932—1960 1944—1965	1931—1941 1944—1965	1935—1964		
2.	зал. Русская Гавань	мст Русская Гавань	ГУСМП с 1963 г. ГУГМС	20*	1933—1940 1944—1960	1932—1940 1944—1965	1937—1940 1944—1964		Продолжительность солнечного сияния: 1954—1963
3.	Нижняя часть ледника Шокальского	гляц. ст. Барьер Сомнений	ИГАН	300	X 1957—VII 1959	X 1957—VI 1959	X 1957—VI 1959		Актинометрия, температура льда
4.	Истоки ледника Шокальского	гляц. ст. Ледораздельная	ИГАН	800	XI 1957—III 1959	XI 1957—VI 1959	X 1957—VI 1959		Актинометрия, температура льда
5.	зал. Благополучия	мст Залив Благополучия	ГУСМП с 1963 г. ГУГМС	15	1936—1941	1936—1941	1936—1941		
6.	Маточкин Шар	мст Маточкин Шар	ГУСМП с 1963 г. ГУГМС	20	1923—1941	1923—1941	1923—1941		Актинометрия: 1931—1933
7.	Восточный вход в Маточкин Шар	мст Мыс Выходной	ГУСМП с 1963 г. ГУГМС	20	1935—1952	1934—1955 1957	1934—1958		Продолжительность солнечного сияния: 1939—1951, 1954—1956
8.	Западный вход в Маточкин Шар	мст Мыс Столбовой	ГУСМП с 1963 г. ГУГМС	50*	1935—1956 1959—1960	1935—1955, 1957 1959—1960	1935—1960		
9.	зал. Моллера	мст Малые Кармакулы	ГУСМП с 1963 г. ГУГМС	20*	1882—1883, 1896—1897 1899—1900, 1902, 1904—1906, 1923—1940 1942—1960	1922—1940 1942—1955 1957—1965	1934—1937 1939—1940 1942—1964		Продолжительность солнечного сияния: 1954—1963
10.	Мыс Меньшикова	мст Мыс Меньшикова	ГУСМП с 1963 г. ГУГМС	10	1954—1963	1954—1965	1954—1963		

* Высота метеостанции менялась в связи с переносом метеоплощадки.
Примечание. Схему расположения станций см. на рис. 10.

ТАБЛИЦА IV

ЭКСПЕДИЦИОННЫЕ И СТАЦИОНАРНЫЕ ИССЛЕДОВАНИЯ ЛЕДНИКОВ

№ п/п	Номер и название ледника по схеме	Время проведения работ	Характеристика (состав) проведенных исследований	Организация, производившая работы	№ источника по табл. V
1	Новая Земля в целом	XIII—XIV вв.	Открытие Новой Земли поморами		22
2	Новая Земля в целом	XVI в.	Сведения о Новой Земле проникают в Европу, в частности, и об оледенении острова		22
3	Западное побережье, 19 «Ледяной мыс»	1592—1596	Первое посещение Новой Земли западноевропейскими моряками, составлена карта и первое описание, в котором упоминается «Ледяной мыс»	Голландская экспедиция В. Баренца	22, 47
4	Ледяная гавань	1596—1597	Первая зимовка западноевропейских мореплавателей на Новой Земле. Получены первые сведения о погоде в зимнее время	Голландская экспедиция В. Баренца	22, 47
5	Район п-ова Адмиралтейства; 20	1676	Д. Вуд сообщает о ледником покрове и вечной мерзлоте на Новой Земле	Московская компания	133
6	Новая Земля в целом	Около 1760	Помор С. Лошкин с двумя зимовками обогнул Новую Землю		22, 83, 98
7	Преимущественно западное побережье Новой Земли	1761	М. В. Ломоносов собирает и публикует сведения поморов о ледниках Арктики, в том числе и на Новой Земле	Академия наук	100
8	Преимущественно западное побережье Новой Земли	1788	В. Крестинин на основании сведений поморов приводит общие сведения о положении ледников Новой Земли	Академия наук	83
9	Южный остров, губа Каменка	1832—1833	Первые инструментальные метеорологические наблюдения на Новой Земле	Гидрографический департамент Морского министерства, наблюдения производил П. К. Пахтусов	98
10	Маточкин Шар	1834—1835	Инструментальные метеорологические наблюдения	Гидрографический департамент Морского министерства, наблюдения производили П. К. Пахтусов и А. К. Циволько	98
11	Губа Мелкая	1838—1839	Инструментальные метеорологические наблюдения	Гидрографический департамент Морского министерства. Выполнены А. К. Циволько и С. А. Моисеевым	98
12	Разные участки побережья 214, 215	1834—1839	Гидрографические работы. Отмечен выход ледников к морскому побережью в верховья губ Машигина и Южная Сульменева. Получены сведения о сугробом покрове и высоте сугробой линии	Гидрографический департамент Морского министерства	98
13	Маточкин Шар, Костин Шар	1837	К. Бэр получил данные о положении и морфологии ледников и сугробой границы. Обобщение климатических данных	Академия наук, Морское министерство	14, 161, 162, 163, 164
14	Побережье Северного острова на участке Русская Гавань — зал. Течений	Конец 60-х — начало 70-х гг.	Морская опись и картирование побережья с ледниками	Норвежские промышленники	174
15	Маточкин Шар, западный берег Северного острова	XIX в. 1871, 1872	Получены сведения о положении, формах ледников и высоте сугробой границы	Австрийская экспедиция	170
16	о. Большой Заячий, Малые Кармакулы	1872—1873, 1876—1877	Инструментальные метеонаблюдения	Тобисен и Бьеркан, норвежские промышленники	22
17	Карское побережье Северного острова	1875, 1876	Описание форм ледников и основных черт ледникового покрова	Шведская экспедиция	94
18	Южный остров восточнее Малых Кармакул	1877, 1878—1879	Е. А. Тягин описывает «малые» ледники	Общество подаяния помощи при кораблекрушениях РГО	32
19	Южный остров, Малые Кармакулы	1882—1883	Открытие метеостанции по программе МПГ. А. Ф. Гриневецкий получает сведения о распределении сугробого покрова во время пересечения острова		32
20	Южный остров	1895	Изучение форм и развития ледников, а также взаимосвязи со	Академия наук	139, 140

№ п/п	Номер и название ледника по схеме	Время проведения работ	Характеристика (состав) проведенных исследований	Организация, производившая работы	№ источника по табл. V
21	Южный остров	1896	временного и древнего оледенения Наблюдения за морфологией ледников	Академия наук	25
22	Маточкин Шар, зал. Циволько, 60, 208	1895, 1897	Получены сведения о морфологии ледников	Английская экспедиция	167, 173
23	Заливы Чекина, Незнамый, Медвежий, 209, 210	1900, 1901	Картирование побережья с ледниками	Экспедиция А. А. Борисова	175
24	Западное побережье на участке губа Крестовая — губа Машгинина, 62, 227, 228, 229	1901	Картирование ледников, описание морфологии и перигляциала, установка первого скоростного створа	Экспедиция С. О. Макарова на ледоколе «Ермак»	15
25	Маточкин Шар	1907	Изучение морфологии колебаний ледников, перигляциала	Экспедиция В. А. Русанова	108, 110, 111
26	Маточкин Шар, долина Русланова, губа Белужья	1908	Изучение связи современного и древнего оледенения, колебаний ледников, их картирование	Французская экспедиция Ш. Бенара, В. А. Русанова	104, 108, 110, 165
27	Западное побережье на участке губа Мелкая — зал. Садовского, долина Русланова, 61, 64, 214, 215, 229	1909	Изучение ледников по тематике предшествующих лет	Главное управление земледелия и землеустройства	103, 108, 111
28	Северный остров, Маточкин Шар, Крестовая губа, зал. Норденшельда и Архангельская губа; 18, 19, 38—41, 50, 51, 56, 64—70, 73, 80	1910	Описание ряда ледников по программе предшествующих экспедиций. Составлена карта-схема оледенения Северного острова	Главное управление земледелия и землеустройства	84, 107, 108, 111
29	Побережье Южного острова	1911	Описание специфических форм ледников, изучение взаимосвязи современного и древнего оледенения	Главное управление земледелия и землеустройства	150
30	Северная часть Северного острова, 20, 47, 73	1912—1913	Метеорологические наблюдения во время зимовки у п-ова Панкратьева и пересечение ледникового щита. Топографическая съемка по линии пересечения, а также участка побережья от п-ова Панкратьева до м. Флиссингенского. Наблюдения за скоростями движения ледников, снегонакоплением и положением границы питания	Экспедиция Г. Я. Седова	13, 22, 18, 21, 100
31	Маточкин Шар и западное побережье п-ова Панкратьева, Южная часть Северного острова, 60, 62, 64—71, 74, 214, 215, 217, 224, 225, 228, 230	1921	Выборочное картирование. Изучение морфологии современного оледенения, перигляциала и древнего оледенения в маршрутах по побережью и при пересечении Новой Земли от Машгиной губы до зал. Циволько	Норвежская экспедиция	168, 171, 172
32	Западное побережье от губы Северная Сульменевая до губы Белужьей	1921	Сведения о размещении ледников и об ископаемых ледниках	Институт по изучению Севера	116, 117
33	Долина р. Безымянной	1923	Установлен южный предел распространения горных ледников	То же	116, 117
34	Новая Земля в целом, прибрежные районы, 13, 15, 38—41, 47, 86	1925	Сведения о положении, морфологии, колебаниях ледников	«	116, 117
35	Западный берег на участке от п-ова Литке до зал. Иностранцева, 13, 15, 86	1927	Сведения о положении, морфологии, колебаниях ледников	«	116, 117
36	Губа Крестовая, долина Русланова, 502, 504, 481, 483, 308	1925	Данные о размещении и морфологии ледников, движении льда, положении границы питания	Академия наук СССР	86, 87
37	Карское побережье Новой Земли	1931	Аэрофотосъемка для целей картографирования, аэровизуальные наблюдения	Полет дирижабля LZ-127 «Аэроарктик»	118
38	Губа Северная Сульменевая — губа Крестовая	1931	Изучение морфологии, колебаний ледников, картирование ледников	Геологическая экспедиция Всесоюзного Арктического института	28
39	Южный остров	1931	Изучение морфологии, положения ледников	Геологическая экспедиция Всесоюзного Арктического института	88
40	Северная часть ледникового покрова	1932—1933	Метеонаблюдения, изучение положения, морфологии, колебаний ледников, измерение толщины ледников	Экспедиция Арктического института по программе 2-го МПГ	48, 49, 50

Продолжение таблицы IV

№/п. п.	Номер и название ледника по схеме	Время проведения работ	Характеристика (состав) проведенных исследований	Организация, производившая работы	№ источника по табл. V
41	Залив Иностранцева, м. Желания, Русская Гавань, 13, 15, 90—97	1933	Морфология, колебания ледников, картирование	Геологические экспедиции Всесоюзного Арктического института	27, 30, 102
42	Хребет Митюшев Камень	1934	То же	То же	93
43	Залив Благополучия, 42	1936	Изучение морфологии колебаний ледников, картирование ледников	»	61
44	П-ов Литке	1936	То же	»	42
45	Архангельская губа, Русская Гавань, зал. Благополучия, Маточкин Шар, 42, 71, 86	1937	Получены сведения о строении ледников, их морфологии, описание перигляциала	Экскурсия Международного Геологического конгресса	95, 169
46	Верховья р. Безымянной	1947	Описание морфологии, колебаний ледников, перигляциала	Экспедиция АНИИ	31
47	Новая Земля в целом	1950—56	В процессе геологических работ получены новые данные о формах, колебаниях, рельефообразующей деятельности ледников и положении границы питания	Экспедиция НИИГА	58
48	Новая Земля в целом	1952	Аэрофотосъемка для целей картирования	ГУГК	58
49	Ледниковый покров в целом	1955	Наблюдения за характером питания ледников, положением границы питания	Экспедиция «Север-7» ГУСМП	3, 4, 58
50	Ледник Шокальского (№ 86), Русская Гавань	1956	Метеонаблюдения, наблюдения за движением и таянием льда	ГУСМП. Полярная станция Русская Гавань	37, 64, 65
51	Ледник (№ 86), 20 Шокальского	1957—1959	Изучение морфологии, оледенения, наблюдения за движением льда, накоплением и расходом вещества. Метеорологические и актинометрические наблюдения на разных высотных уровнях. Измерение температуры снега, фирна и льда, изучение колебаний ледников, следов древнего оледенения и перигляциала	Экспедиция ИГАН по программе МГГ	1—13, 34—43, 52—60, 64, 65, 71—81, 120—132, 134—138, 141—154, 166, 177
52	Ледник (№ 86), 20 Шокальского	1969	Изучение движения льда, вещественного баланса ледника, древнего оледенения района, колебаний ледника	Экспедиция ИГАН	92, 114, 149

СПИСОК РАБОТ, СОДЕРЖАЩИХ СВЕДЕНИЯ О ЛЕДНИКАХ

№/п	Номер и название ледника по схеме	Автор и наименование работы	Место издания работ	Краткая аннотация
1	Оледенение в целом	Авсюк Г. А. Международный геофизический год 1957/58 и гляциологические исследования СССР в этот период	«Изв. АН СССР, сер. геогр.», 1955, № 3	Изложена программа советских гляциологических исследований (включая Новую Землю)
2	Оледенение в целом	Авсюк Г. А. Краткая информация о гляциологических работах Института географии АН СССР	В кн.: «Сб. материалов расширенного совещания рабочей группы по гляциол. Сов. междувед. Комитета МГГ», 1959.	Общая информация о гляциологических работах на Новой Земле
3	Оледенение в целом	Авсюк Г. А. Современная изученность ледников Советской Арктики	«Проблемы Севера», 1959, № 3	Обзор гляциологических исследований (в том числе на Новой Земле). Отмечено изменение условий питания
4	Оледенение в целом	Авсюк Г. А. Гляциологические исследования в период Международного геофизического года (1957—1959)	«Изв. АН СССР», сер. геогр., 1960, № 5	Обзор гляциологических исследований (в том числе на Новой Земле)
5	20	Бажев А. Б. Характер льдообразования и строение фирново-ледяной толщи в области питания ледника Шокальского	«Материалы гляциол. исслед. (по программе МГГ). Хроника, обсуждения», 1961, вып. 3.	Общая характеристика условий льдообразования и питания покрова на основании наблюдений МГГ. Объяснение причин смены питания ледникового покрова
6	20, 86	Бажев А. Б. Особенности льдообразования и строения фирново-ледяной толщи в области питания Новоземельского покрова	«Исслед. ледников и ледниковых районов», 1962, вып. 2	Общая характеристика строения толщи, характера питания и льдообразования
7	20	Бажев А. Б. Трещины в фирновой области Новоземельского ледникового покрова	«Материалы гляциол. исслед. (по программе МГГ). Хроника, обсуждения», 1963, вып. 7	Описание различных типов трещин и их роли в формировании снежно-ледниковой толщи ледникового покрова
8	Район Русской Гавани	Бажева В. Я. Навесные ледники района Русской Гавани	«Материалы гляциол. исслед. (по программе МГГ). Хроника, обсуждения», 1965, вып. 11	Описание морфологии и жизнедеятельности малых ледниковых
9	20, 86	Бажев А. Б., Бажева В. Я. Структура льда	«Материалы гляциол. исслед. (по программе МГГ), Новая Земля», 1962	Первичные результаты наблюдений экспедиции МГГ на леднике Шокальского и в центре ледникового покрова
10	20, 86	Бажев А. Б., Бажева В. Я. Зоны льдообразования	В кн.: Оледенение Новой Земли. М., «Наука», 1968	Наиболее полная характеристика процессов льдообразования и положения ледниковых зон
11	20, 86, Новая Земля в целом	Бажев А. Б., Бажева В. Я. Четвертичное оледенение Новой Земли	В кн.: Оледенение Новой Земли. М., «Наука», 1968	Сводка опубликованных данных и наблюдения авторов в период МГГ
12	20, 86, 85	Бажев А. Б., Бажева В. Я., Корякин В. С. Гляциноморфология	«Материалы гляциол. исслед. (по программе МГГ). Новая Земля», 1962	Первичные результаты наблюдений по морфологии ледников и перигляциальных участков суши в районе Русской Гавани
13	Оледенение в целом	Брейтфус Л. Л. Очерк экспедиции к Северному полюсу старшего лейтенанта Г. Я. Седова	«Зап. по гидрографии», 1918, т. 52, № 1	Сведения о зимовке и деятельности экспедиции на Новой Земле
14	Оледенение в целом	Бэр К. Геологическое строение Новой Земли	«Журнал Министерства народного просвещения», 1838, ч. 18.	Обзор сведений по геологии Новой Земли
15	62, 227—229	Вебер В. Из экспедиции «Ермака» в 1901 г.	«Зап. минерал. об-ва», 1908, сер. 2, ч. 46, вып. 2	Описание морфологии положения ледников в районе Магнитной и Крестовой губ. Сведения о попытке установки створа для определения движения льда
16	86, 20	Велькен К. Предварительное сообщение о некоторых гляциологических наблюдениях в Русской Гавани на Новой Земле	«Бюлл. Арктич. ин-та», 1933, № 6—7	Сведения об исследованиях экспедиции 2-го МПГ, в том числе об определении мощности льда
17	20, 84, 85	Вербицкая И. П. О работах экспедиции Арктического института на побе-	«Уч. зап. МГУ», 1936, вып. 16	Общая характеристика перигляциональной зоны

№ п/п	Номер и название ледника по схеме	Автор и наименование работы	Место издания работ	Краткая аннотация
18	20, 47, 74	режье Новой Земли в 1936 г. Визе В. Ю. Перевалом через ледниковый покров Новой Земли	«Зап. по гидрографии», 1925, т. 49	Описание маршрута первого пересечения ледникового покрова Новой Земли. Общие сведения о морфологии, питании покрова, метеоусловиях
19	20	Визе В. Ю. Новоземельская бора	«Изв. Центр. гидромет. бюро», 1925, вып. 5	Характеристика специфических местных ветров с объяснением причин их возникновения
20	Оледенение в целом	Визе В. Ю. Айсберги у северных берегов Европы в 1929 г.	«Изв. ГГИ», 1930, № 29	Сведения о происхождении и распространении айсбергов у северного побережья Европы
21	47, 20	Визе В. Ю. Метеорологические наблюдения полярной экспедиции Г. Я. Седова, Т. И. Наблюдения в бухте Фоки на Новой Земле, 1912—1918 гг.	«Материалы по изучению Арктики», 1931, т. 1	Результаты наблюдений и общее описание района зимовки на Новой Земле
22	Оледенение в целом	Визе В. Ю. Моря Советской Арктики	М.-Л., Изд-во Главсевморпути, 1948	История исследований советского сектора Арктики, включая Новую Землю
23	Оледенение в целом	Советская Арктика. Авт.: В. Ю. Визе, Г. Б. Горбацик, Г. П. Горбунов, Б. Н. Городков, В. Н. Сакс	М.-Л., Изд-во Главсевморпути, 1946	Физико-географический очерк Новой Земли. Приводятся основные характеристики оледенения Новой Земли
24	Оледенение в целом	Гельвальд Ф. В. об области вечного льда, история путешествий к северному полюсу с древнейших времен до настоящего времени	Спб, 1884	История экспедиций в Арктику, в том числе на Новую Землю (включая плавания норвежских зверобоев в 60—70 гг. прошлого столетия)
25	Оледенение в целом	Голицын Б. Б. Общий обзор деятельности. Отчет об экспедиции Импер. Акад. наук на Новую Землю летом 1896 г.	«Зап. Импер. Акад. наук», 1896, сер. 8, т. 8, № 1	Описание специфических форм ледников на Южном острове
26	Оледенение в целом	Горбацкий Г. В. Ископаемые ледники Крестовой губы на Новой Земле	«Arctica», 1933, кн. I	Описание специфических ледниковых образований, которые, по мнению автора, являются реликтами более значительного оледенения в прошлом
27	Малые ледники в области покровного оледенения	Горбацкий Г. В. О характере береговой линии в районе мыса Желания	«Arctica», 1934, кн. 2	Выделяется «зона современного нижнего оледенения», к которой автор относит навеянные ледники в эрозионных долинах между краем ледникового покрова и береговой линией
28	215, Оледенение в целом	Горбацкий Г. В. Геоморфологический очерк западной части северного острова Новой Земли между губой Мелкой и губой Северной Сульменевой	«Труды Арктич. ин-та», 1934, т. 13	Описание форм ледников
29	Оледенение в целом	Горбацкий Г. В. Геология и рельеф Карского моря	«Уч. зап. МГУ», 1938, вып. 19	Описание восточного побережья Новой Земли
30	Оледенение в целом	Горбацкий Г. В. Физиографические контуры северной части Новой Земли (район мыса Желания)	«Землеведение», новая серия, 1940 (41), т. 1	Физико-географический обзор района. Отмечено интенсивное развитие малых ледников
31	Бассейн р. Безымянной (Южный остров)	Горбацкий Г. В. Так называемые ледники Пенка на Новой Земле и некоторые черты района их распространения	«Изв. ВГО», 1958, т. 90, вып. 1	Общая характеристика ледников на Южном острове Новой Земли. Отмечена их интенсивная деградация
32	Оледенение в целом	Гриневецкий Л. Ф. Поперек Новой Земли	«Изв. РГО», 1888, т. 19, вып. 4	Общее описание центральной части Южного острова Новой Земли (включая рельеф и снежный покров). Приведены сведения С. А. Тягина о специфичных малых ледниках

№п/п	Номер и название ледника по схеме	Автор и наименование работы	Место издания работ	Краткая аннотация
33	46, 47, 86	Гроснальд М. Г., Косякин В. С. Прорывы ледниково-подпрудных озер в Советской Арктике	«Материалы гляциол. исслед. (по программе МГГ). Хроника, обсуждения», 1962, вып. 6	Сведения о спуске вод ледниково-подпрудных озер на Карском побережье Новой Земли
34	Оледенение в целом	Давидович Н. В. Предварительные результаты работ по определению составляющих теплового баланса новоземельских ледников в период аблации	«Материалы гляциол. исслед. (по программе МГГ). Хроника, обсуждения», 1961, вып. 3	Характеристика теплового баланса по материалам наблюдений в период МГГ
35	Оледенение в целом	Давидович Н. В. О роли наземного сублимационного льда в питании ледникового покрова Новой Земли	«Гляциол. исслед.», 1961, № 6	На основании наблюдений МГГ расчетным путем показана незначительная роль изморози в питании ледникового покрова
36	Оледенение в целом	Давидович Н. В. Влияние короткопериодических колебаний климата на тип льдообразования в центральных районах Новой Земли	«Гляциол. исслед.», 1963, № 9	Дано расчетное обоснование возможности смены типов питания на ледниковом покрове
37	20, 86	Давидович Н. В., Каневский З. М. Некоторые результаты гляциологических наблюдений в Русской Гавани (Новая Земля) в 1955-56 гг.	«Вопросы физ. геогр. полярных стран», 1958, вып. 1	Результаты наблюдений за таянием и движением льда на леднике Шокальского, а также метеорологических наблюдений
38	20, 86	Давидович Н. В. Радиационный режим и тепловой баланс поверхности ледникового покрова	В кн.: Оледенение Новой Земли. М., «Наука», 1968	Расчет радиационного теплового баланса. Поверхности ледникового покрова Новой Земли
39	20, 86	Давидович Н. В., Чижов О. П. Таяние снега и льда	В кн.: Оледенение Новой Земли. М., «Наука», 1968	Исследование процессов таяния в зависимости от различных факторов и его влияния на режим оледенения
40	20, 86	Давидович Н. В., Каневский З. М., Чижов О. П. Основные метеорологические наблюдения	«Материалы гляциол. исслед. (по программе МГГ). Новая Земля», 1961, вып. 1	Первичные результаты наблюдений в период МГГ
41	20, 86	Давидович Н. В., Каневский З. М., Чижов О. П. Основные метеорологические наблюдения	«Материалы гляциол. исслед. (по программе МГГ). Новая Земля», 1961, вып. 2	Первичные результаты наблюдений в период МГГ
42	20, 86	Давидович Н. В., Чижов О. П. Актинометрические наблюдения	«Материалы гляциол. исслед. (по программе МГГ). Новая Земля», 1961, вып. 3	Первичные результаты наблюдений в период МГГ
43	20, 86	Давидович Н. В., Чижов О. П. Дополнительные наблюдения	«Материалы гляциол. исслед. (по программе МГГ). Новая Земля», 1961, вып. 4	Первичные результаты наблюдений в период МГГ
44	Оледенение в целом	Демокидов К. К. Геоморфология Новоземельских проливов	«Труды НИИГА», 1953, т. 59	Характеристика перигляциальной зоны современного оледенения. Оценка деятельности древнего оледенения в формировании современного рельефа
45	Оледенение в целом	Демокидов К. К. Гляциологическое строение и полезные ископаемые южного острова Новой Земли	«Труды НИИГА», 1953, т. 68	Геологическая характеристика и описание рельефа
46	Оледенение в целом	Геологическое строение острова Новой Земли и острова Вайгач. Авт.: К. К. Демокидов, Б. С. Романович, Ю. С. Бушканец, Г. Д. Беляков.	«Труды НИИГА», 1957, т. 81	Общая характеристика оледенения
47	Новая Земля, западное и северное побережье	Де-Фер Г. Плавание Баренца 1594—1597 гг.	Л., Изд-во Главсевморпути, 1936	Описание трех голландских экспедиций. О ледниках имеются лишь косвенные указания
48	20, 86	Ермолаев М. М. Работы Новоземельской гляциологической станции в Русской Гавани	«Бюлл. Арктич. ин-та», 1934, № 2	Сообщение о работах экспедиции 2-го МПГ 1932 и 1933 гг.

№п/п	Номер и название ледника по схеме	Автор и наименование работы	Место издания работ	Краткая аннотация
49	20, 85, 86	Ермолаев М. М. Очерк геологического строения Новой Земли	В кн.: Новоземельская экспедиция. Ч. 1. Л., Изд-во Гравесвоморпути, 1937	Геологическая характеристика района оледенения
50	20, 85, 86	Ермолаев М. М. Гляциологическая экспедиция на ледник Шокальского в Русской Гавани	В кн.: Новоземельская экспедиция. Ч. 2. Л., Изд-во Гравесвоморпути, 1937	Общее описание ледника Шокальского. Приведены сведения о морфологии, питании, мощностях льда
51	Оледенение в целом	Загорская Н. Г. Новая Земля	«Труды НИИГА», 1959, т. 91	Характеристика четвертичных отложений
52	20, 85, 86	Зингер Е. М. На ледниках Новой Земли	М., Географгиз, 1962	Популярное описание условий жизни и деятельности экспедиции МГГ
53	20, 86	Зингер Е. М. Стационарные наблюдения на станциях Ледораздельная и Барьер Сомнений	«Материалы гляциол. исслед. (по программе МГГ). Новая Земля», 1962, вып. 1	Результаты первичных наблюдений
54	86	Зингер Е. М. Некоторые особенности снежного покрова на леднике Шокальского (Новая Земля)	«Географ. сообщения», 1965, вып. 3	Общее описание режима снежной толщи
55	20, 86	Зингер Е. М., Корякин В. С. Снежный покров в бассейне ледника Шокальского (Новая Земля)	В кн.: Термовой и водный баланс снежно-ледниковой толщи. М., «Наука», 1965	Характеристика снежного покрова в связи с режимом ледника
56	20, 86	Зингер Е. М., Энгельгардт В. В. Снегонакопление и стаивание на леднике Шокальского и прилегающей к нему части Новоземельского ледникового щита	«Материалы гляциол. исслед. (по программе МГГ). Хроника, обсуждения», 1961, вып. 3	Общая характеристика процессов
57	20, 86	Зингер Е. М., Энгельгардт В. В., Яблонский О. А. Маршрутные наблюдения	«Материалы гляциол. исслед. (по программе МГГ). Новая Земля», 1962, вып. 2	Первичные результаты наблюдений
58	Оледенение в целом	Зингер Е. М., Корякин В. С. История исследований и краткий физико-географический очерк	В кн.: Оледенение Новой Земли. М., «Наука», 1968	История изучения и физико-географическая характеристика района оледенения
59	20, 74, 85, 86	Зингер Е. М., Корякин В. С., Чижов О. П. Питание ледников	В кн.: Оледенение Новой Земли. М., «Наука», 1968	Наиболее полная характеристика питания ледников
60	Оледенение в целом	Иванов Л. Л. На Новой Земле	«Природа», 1913, № 1	Сведения о малых ледниках
61	42	Калесник С. В. Геологические работы в заливе Благополучия в 1936 г.	«Бюлл. Арктич. ин-та», 1936, № 10	Характеристика приледниковой зоны, форм оледенения
62	Оледенение в целом	Калесник С. В. Общая гляциология	Л., Учпедгиз, 1939	Общие сведения об оледенении Новой Земли
63	Оледенение в целом	Калесник С. В. Очерки гляциологии	М., Географгиз, 1963	Общие сведения об оледенении Новой Земли с учетом данных экспедиции МГГ
64	20, 86	Каневский З. М. Климатическая характеристика района Русской Гавани (Новая Земля)	«Исслед. ледников и ледниковых районов», 1962, вып. 2	Общий очерк. Отмечена связь режима ледника с изменением климатических условий
65	20, 86, Новая Земля в целом	Каневский З. М., Давидович Н. В. Климат	В кн.: Оледенение Новой Земли. М., «Наука», 1968	Климатическая характеристика Новой Земли, включая центральные части покрова
66	13, 15, 86, 96	Каплин П. А. Отступление ледников Новой Земли	«Природа», 1958, № 3	Приведены первые количественные оценки колебаний ледников
67	Район Крестовой губы	Киселев О. Н. Некоторые данные по морфологии ископаемых ледников Крестовой губы	«Изв. ВГО», 1941, т. 73, вып. 8	
68	Район губы Новой	Кленова М. В. Физико-географический очерк губы Новой (Новая Земля)	«Труды Плавучего морск. научн. ин-та», 1930, т. 4, вып. 4	Характеристика современных условий в связи с геологической историей района
69	Район губы Крестовой	Кленова М. В. Постплювиальная глина из губы Крестовой на Новой Земле	«Труды геол. ин-та», 1932, т. 1	Восстанавливается геологическое прошлое района
70	20, 38—41, 86, 87	Коломыц Э. Г. Приледниковые ландшафты современного покровного оледенения Новой Земли	В кн.: Перигляциальные явления на территории СССР. М., Изд-во МГУ, 1960	Характеристика перигляциальных процессов в приледниковой зоне покрова

№/п	Номер и название ледника по схеме	Автор и наименование работы	Место издания работ	Краткая аннотация
71	85, 86	Корякин В. С. Особенности движения и морфология ледника Шокальского и соседних с ним ледников Новой Земли	«Материалы гляциол. исслед. (по программе МГГ). Хроника, обсуждения», 1961, вып. 3	Общее описание форм ледников в связи с особенностями движения льда
72	20, 86	Корякин В. С. Движение ледника	«Материалы гляциол. исслед. (по программе МГГ). Новая Земля», 1962	Материалы первичных наблюдений
73	20, 86	Корякин В. С. Особенности движения льда и морфологии покровного оледенения Новой Земли	«Материалы гляциол. исслед. (по программе МГГ). Хроника, обсуждения», 1952, вып. 6	Сведения о различных формах ледников. Отмечена их взаимосвязь с характером движения льда
74	61, 62, 228, 229	Корякин В. С. Отступление ледников в районе Машиной Губы	«Материалы гляциол. исслед. (по программе МГГ). Хроника, обсуждения», 1963, вып. 6	Количественные оценки сокращения ледников
75	20, 86	Корякин В. С. Особенности движения льда и морфологии ледников Новой Земли	«Исслед. ледников и ледниковых районов», 1962, вып. 2	О связи форм оледенения и характере движения льда
76	Оледенение в целом	Корякин В. С. Площадь ледников Новой Земли	«Материалы гляциол. исслед. (по программе МГГ). Хроника, обсуждения», 1964, вып. 7	Количественные оценки площади оледенения
77	13, 15, 18, 19, 47, 51, 62, 66—69, 73, 80, 83, 96, 215, 217, 224, 225, 228, 229	Корякин В. С. Современная деградация оледенения Новой Земли	«Материалы гляциол. исслед. (по программе МГГ). Хроника, обсуждения», 1964, вып. 9	Расчет общей величины сокращения оледенения
78	Оледенение в целом	Корякин В. С. Особенности морфологии и эволюции современного оледенения Новой Земли и соседних ледниковых районов	«Гляциол. исслед.», 1963, № 13	Развитие оледенения и формы ледников западного сектора Советской Арктики
79	13, 15—17, 38, 42, 44, 46, 47, 50, 51, 60—63, 65—73, 80, 85, 86, 88, 90—97, 210, 211, 214, 215, 217, 223—230	Корякин В. С. Морфология оледенения	В кн.: Оледенение Новой Земли. М., «Наука», 1968	Описание распределения и морфологии ледников. Даны количественные оценки
80	13, 16, 19, 38—40, 47, 61, 64, 73, 80, 83, 85, 86, 93, 94, 96, 97, 214	Корякин В. С. Движение льда	В кн.: Оледенение Новой Земли. М., «Наука», 1968	Общая характеристика движения льда с использованием всех накопленных сведений
81	13—15, 42, 46, 50, 51, 56, 60—62, 66—69, 73, 80, 86, 96, 204, 208, 210, 211, 215, 217, 224, 225, 227—229	Корякин В. С. Современные изменения размеров оледенения	В кн.: Оледенение Новой Земли. М., «Наука», 1968	Общая сводка колебаний оледенения в разных морфологических областях. Выполнены расчеты
82	Оледенение в целом	Кренке А. Н. Районирование ледников Арктики в связи с циркуляцией атмосферы	«Гляциол. исслед.», 1963, № 9	Выявлены закономерности распределения, форм и жизнедеятельности ледников (в том числе на Новой Земле) в зависимости от условий циркуляции атмосферы
83	Оледенение в целом	Крестинин В. Географические известия о Новой Земле полуночного края	«Новые ежемесячные сочинения», 1788, т. 19	Первая сводка сведений о географии Новой Земли (в том числе о ледниках)
84	34—41, 61	Кругловский М. К. Некоторые данные по геологии Северного острова Новой Земли, собранные во время экспедиции 1910 г. на судне «Дмитрий Солунский»	«Материалы для геологии России», Птг, 1918, т. 26, вып. I	Характеристика приледниковой зоны и краевых частей современного ледникового покрова
85	Оледенение в полосе пересечения	Кузнецова В. Н. Геологическое строение южного острова Новой Земли по линии пересечения от бухты Тайной к бухте Савиной в 1932 г.	«Труды Арктич. ин-та» 1936, т. 49	Общая характеристика района, отдельные сведения о малых ледниках
86	137, 314, 316, 319, 320, 327, 337, 541	Лаврова М. А. Заметки о долинных ледниках долины Русанова и губы Крестовой на Новой Земле	«Труды геол. ин-та АН СССР», 1932, т. 1	Описание форм, положения, строения и условий существования ледников. Характеристика ледниковых отложений. Приводятся сведения о положении границы питания и скорости движения льда, а также о направленности современного развития ледников

№	Номер и название ледника по схеме	Автор и наименование работы	Место издания работ	Краткая аннотация
87	Долина Русанова	Лаврова М. А. Геоморфологический очерк долины Русанова на Новой Земле	«Труды геол. ин-та АН СССР», 1932, т. 1	Отмечена рельефообразующая деятельность ледников
88	Южный остров Новой Земли	Лазуркин В. М., Фрейберг Е. Н. К геологии Новой Земли. Пересечение южного острова Новой Земли осенью 1931 г.	«Труды Арктич. ин-та», 1936, т. 49	Отмечено наиболее южное положение снежиника (возможно, с ледяным основанием) на Южном острове Новой Земли
89	Новая Земля, западное побережье	Литке Ф. П. Четырехкратное путешествие в Северный Ледовитый океан на военном бриге «Новая Земля» в 1821—1824 гг.	М., Географгиз, 1948	Описание экспедиций. Отдельные сведения о ледниках. Отмечено присоединение к Северному острову бывшего о. Адмиралтейства, что обусловлено, возможно, погребением пролива мореной наступавшего ледника
90	20, 85, 86, 87	Материалы гляциологических исследований (МГГ). Новая Земля	1961—1964, вып. 1—13	Первичные результаты наблюдений Новоземельской гляциологической экспедиции МГГ (1957—1959 гг.) по всем разделам программы. Отдельный выпуск включает описание работы экспедиции
91	Северо-восточное побережье Новой Земли	Милорадович Б. В. Геологический очерк северо-восточного побережья Северного острова Новой Земли	«Труды Арктич. ин-та», 1936, т. 38	Геологическая характеристика района. Отмечено присутствие между береговой линией и краем покрова малых ледников, питаемых навеянным снегом
92	20, 86, 87	Михалев В. И., Чижов О. П. Результаты гляциологических исследований на Новой Земле в 1969 г.	«Материалы гляциол. исслед. (по программе МГГ). Хроника, обсуждения», 1970, вып. 16	Данные о вещественном балансе и колебаниях ледников за период с конца МГГ по 1969 г.
93	Оледенение в целом	Мутафи И. Н. Геоморфологический очерк западного побережья Новой Земли от Маточкина Шара до залива Крестового	«Труды Арктич. ин-та», 1936, т. 57	Характеристика рельефа и рельефообразующей роли ледников. Морфология ледниковых. История четвертичного оледенения
94	Оледенение в целом	Норденшельд А. Е. Плавание на Веге	Л., Изд-во Главсевморпути, 1936, т. 1, 2	Отмечается сходство ледниковых покровов Гренландии и Новой Земли. Общее описание форм ледников
95	42, 72, 86	Обручев С. В. Новоземельская экспедиция XVII Международного геологического конгресса	«Проблемы Арктики», 1937, № 5	Характеристика форм поверхности и строения ледников
96	64	Панов Д. Г. К геологии полуострова Адмиралтейства на Новой Земле	«Изв. ГГО», 1935, т. 67, вып. 1	Отмечено, что перешеек п-ова Адмиралтейства сложен мореной
97	Оледенение в целом	Панов Д. Г. Ландшафты Новой Земли	«Природа», 1938, № 10	Характеристика ландшафтов Новой Земли и генетически различных районов оледенения. Утверждается наличие устойчивого антициклона над ледниковым щитом
98	109, 110	Пахтусов П. К., Мoiseев С. А. Дневные записки	М., Географгиз, 1956	Описание работ экспедиций 1832—1833, 1834—1835 и 1838—1839 гг. Приводятся сведения о выходе ледников к морю, высоте снеговой линии
99	Западное побережье Новой Земли	Петренко А. А. Геологическое строение западной окраины Новой Земли между Русской Гаванью и губой Архангельской	«Труды горногеол. управления», 1945, вып. 18	Геологическая характеристика района, описание форм рельефа и приледниковой зоны. Общие сведения о форме и мощности ледникового щита
100	Оледенение в целом	Перевалов В. А. Ломоносов и Арктика	М.-Л., Изд-во Главсевморпути, 1949	В обоснование своих теоретических взглядов на природу ледников М. В. Ломоносов использует данные об оледенении Новой Земли. Особый интерес представляет трактат «Мысли о происхождении ледяных гор в северных морях»
101	Западное побережье между п-вом Панкратьева и м. Флисингенским	Пинегин Н. В. В ледяных просторах	Л., Изд-во писателей, 1933	Описание зимовки экспедиции Г. Я. Седова на Новой Земле

№ п/п	Номер и название ледника по схеме	Автор и наименование работы	Место издания работ	Краткая аннотация
102	10, 13, 15, 86, 96	Пустовалов И. Ф. Геологический очерк западного побережья Новой Земли от Русской Гавани до залива Иностранцева	«Труды Арктич. ин-та», 1936, т. 38	Описаны малые ледники на прибрежной равнине и выводные ледники ледникового покрова.
103	20, 86	Маршрутное термозондирование на ледниках Советского Союза. Авт.: Н. Г. Разумейко, И. Ф. Хмелевской, Е. Н. Цыкин, Г. А. Цыкина	«Исслед. ледниковых районов», 1962, вып. 2	Некоторые температурные характеристики ледников, в том числе и Новой Земли
104	61, 64, 214, 215, 229	Русанова В. А. Обзор деятельности Новоземельской экспедиции 1909 г.	«Материалы по исслед. Новой Земли». Спб, 1910, вып. I.	Сведения о положении ледников и их морфологии
105	61, 64, 214, 215, 229, 302, 308, 513, 514	Русанов В. А. Опись береговых и внутренних частей Новой Земли от полуострова Адмиралтейства до Крестовой губы и от последней до Незнаемого залива.	«Материалы по исслед. Новой Земли» 1910, вып. I	Сведения о положении ледников и их морфологии
106	Южный остров, побережье	Русанов В. А. На «Полярной» вокруг южного острова Новой Земли (отчет Новоземельской экспедиции 1911 г. по Ледовитому океану и Карскому морю)	В кн.: Русанов В. А. Статьи, лекции, письма. М.-Л., Изд-во Главсевморпути, 1945	Описание работ экспедиции. Приводятся сведения о малых ледниках
107	18, 19, 65, 70, 73, 80	Русанов В. А. На «Дмитрии Солунском» вокруг Новой Земли (обзор деятельности Новоземельской экспедиции 1910 г.)	«Материалы по исслед. Новой Земли». Спб, 1911, вып. 2	Описание работ и исследований экспедиции
108	19, 38—41, 50, 51, 56, 61—70, 214, 215, 229, 302, 308, 513, 514	Русанов В. А. К топографии Новой Земли	«Материалы по исслед. Новой Земли». Спб, 1911, вып. 2	Положение ледников и особенности форм ледниковой поверхности
109	Новая Земля в целом	Русанов В. А. Происхождение Новой Земли	В кн.: Русанов В. А. Статьи, лекции, письма. М.-Л., Изд-во Главсевморпути, 1945	Черк геологической истории. Отмечено присутствие ледниковых отложений палеозойского возраста. Установлены взаимосвязи между морскими трансгрессиями и развитием оледенения. Описаны находки древесных остатков в современных моренах. Дано общая картина распределения ледников
110	Новая Земля в целом	Русанов В. А. Колебание береговой линии и отступание ледников на Новой Земле	«Ежегодное геогр. обозрение», 1916—1921, т. 9, вып. 6	Изложены взгляды автора на историю четвертичного оледенения и формирования рельефа Новой Земли. Описана морфология ледников в районе прол. Маточкин Шар
111	Новая Земля в целом	Русанов В. А. Состояние геологических исследований на Новой Земле	М.-Л., Изд-во Главсевморпути, 1945	Описание геологического строения, рельефа и ледников Новой Земли
112	18, 19, 38—41, 50, 51, 56, 61, 62, 64—70, 73, 208, 214, 215, 229, 302, 308, 513, 514	Русанов В. А. Статьи, лекции, письма	М.-Л., Изд-во Главсевморпути, 1945	Сборник трудов крупнейшего исследователя Новой Земли. Содержится ряд сведений о ледниках (морфология, колебания, рельефообразующая деятельность и т. д.)
113	Новая Земля в целом	Рязанцева З. А. Новая Земля и Земля Франца Иосифа	«Труды Арктич. ин-та», 1937, т. 79	Общий очерк природы, включая оледенение
114	20, 85—87	Троицкий Л. С. О морфологической деятельности ледников Новой Земли (по наблюдениям в районе Русской Гавани)	«Материалы гляциол. исслед. (по программе МГГ). Хроника, обсуждения», 1970, вып. 16	О рельефообразующей роли ледников
115	Новая Земля в целом	Сакс В. Н. Четвертичный период в Советской Арктике	«Труды НИИГА», 1953, т. 77	История четвертичных оледенений, в том числе на Новой Земле
116	Новая Земля в целом (преимущественно прибрежные районы)	Самойлович Р. Л. Краткие сведения об экспедициях на Новую Землю в 1921, 1923, 1924, 1925 и 1927 гг.	«Труды ин-та по изучению Севера», 1929, вып. 40	Обзор работ экспедиций. Приводятся сведения о формах и положении ледников

№/п. №	Номер и название ледника по схеме	Автор и наименование работы	Место издания работ	Краткая аннотация
117	13, 15, 38—41, 47, 50, 51, 86	Самойлович Р. Л. Краткая опись берегов и заливов Новой Земли по плаваниям отчетных лет	«Труды ин-та по изучению Севера», 1929, вып. 40	Описание побережья; сведения о положении ледников
118	Оледенение в целом	Самойлович Р. Л. Геоморфологические и гляциологические наблюдения во время полета «Граф Цеппелин» летом 1931 г.	«Труды Арктич. ин-та», 1933, т. 12	Сведения о типах ледников и их распространении, границах оледенения, а также о рельфе Новой Земли
119	Новая Земля в целом	Самойлович Р. Л. Очерк геоморфологии Новой Земли	В кн.: Новоземельская экспедиция. Л., Изд-во Главсевморпути, 1937.	Приводятся сведения о берегах, рельфе и гидрографической сети Новой Земли. Автор предлагает следующие подразделения оледенения: 1) навеянные ледники, 2) долинные ледники, 3) каровые ледники и снежные поля, пытающие ледники различных типов, 4) сетчатый ледниковый покров. Описана история четвертичного оледенения
120	20, 86	Сватков Н. М. Рекогносцировка района гляциологических работ на Новой Земле	«Основные методические указания по гляциологическим исслед.», 1957, вып. 15	Изложены результаты рекогносцировки в период кратковременного пребывания в районе Русской Гавани в октябре 1956 г.
121	20, 86	Сватков Н. М. Ледники Новой Земли	«Природа», 1960, № 3	Предварительные результаты наблюдений экспедиции МГГ во время зимовки 1957—1958 гг.
122	86	Сватков Н. М. Движение льда в леднике Шокальского (по наблюдениям Новоземельской гляциологической экспедиции МГГ)	«Гляциол. исслед.», 1960, № 5	Методика и результаты наблюдений. Отмечен своеобразный механизм движения льда, объясняющий случаи «понятного движения»
123	20	Сватков Н. М. Возобновление фирнового питания ледникового покрова Новой Земли	ДАН, 1960, т. 131, № 1	Смену типов питания ледникового покрова автор объясняет усилением меридиональной циркуляции в атмосфере Характеристика ледниковых трещин
124	20, 86	Сватков Н. М. Трещины в области питания ледникового покрова Новой Земли к югу от Русской Гавани.	«Проблемы Арктики и Антарктики», 1961, вып. 7	Изменение условий питания, по мнению автора, является следствием колебаний климата и, в частности, увеличения осадков
125	20, 86	Сватков Н. М. Динамика ледника Шокальского (о. Новая Земля) и ее зависимость от колебания климата	«Материалы гляциол. исслед. (по программе МГГ). Хроника, обсуждения», 1961, вып. 1	Смена типов питания ледникового покрова в период между 2-м МПГ и МГГ объясняется изменением климатических условий
126	20, 86	Сватков Н. М. Режим аккумуляции на ледниково-вом покрове Новой Земли в районе Русской Гавани	«Материалы гляциол. исслед. (по программе МГГ). Хроника, обсуждения», 1961, вып. 1	Объяснение причин смены типов питания в период между 2-м МПГ и МГГ
127	20, 86	Сватков Н. М. Несколько замечаний об особенностях питания Новоземельского ледникового покрова в 1957—1959 гг.	«Материалы гляциол. исслед. (по программе МГГ). Хроника, обсуждения», 1961, вып. 3	«Материалы гляциол. исслед. (по программе МГГ). Хроника, обсуждения», 1962, вып. 5
128	20, 86	Сватков Н. М. Особенности питания новоземельского покрова за последние 25—30 лет	«Материалы гляциол. исслед. (по программе МГГ). Хроника, обсуждения», 1962, вып. 5	Объяснение причин смены типов питания в период между 2-м МПГ и МГГ
129	Район Русской Гавани	Сватков Н. М. Некоторые результаты изучения мерзлотных процессов в Русской Гавани в 1957—1959 гг.	«Исслед. ледниковых и ледниковых районов», 1963, вып. 3	Описание особенностей перигляциальной зоны
130	Район Русской Гавани	Сватков Н. М. О соотношениях средних температур грунтов в Русской Гавани	В кн.: Тепловой и водный баланс снежно-ледниковой толщи. М., «Наука», 1964	Характеристика температурного режима перигляциальной зоны
131	Район Русской Гавани	Сватков Н. М. Температура грунтов	«Материалы гляциол. исслед. (по программе МГГ). Новая Земля», 1965	Результаты наблюдений в районе Русской Гавани во время экспедиции МГГ
132	Район Русской Гавани	Сватков Н. М. О геокриологических процессах в Русской Гавани	«Проблемы Арктики и Антарктики», 1961, вып. 7	Некоторые черты перигляциальной зоны

№ п/п	Номер и название ледника по схеме	Автор и наименование работы	Место издания работ	Краткая аннотация
133	Новая Земля в целом	Свенске К. Новая Земля в географическом, естественно - историческом и промышленном отношениях	СПб, 1866	Сводка по географии Новой Земли, выполненная на основании исследований К. Бэра, С. А. Монссеева, П. К. Пахтусова и А. К. Циволько. О ледниках имеются лишь самые общие сведения. Отмечена их слабая изученность
134	20, 86	Хмелевской И. Ф. О предварительных результатах измерений температуры фириловоледниковой толщи на новоземельском ледниковом щите	«Материалы гляциол. исслед. (по программе МГГ). Хроника, обсуждения», 1961, вып. 3	Предварительные выводы о температуре толщи на основании наблюдений в период МГГ
135	20, 86	Хмелевской И. Ф. Стационарные наблюдения на станции Барьер Соминей и маршрутные исследования	«Материалы гляциол. исслед. (по программе МГГ). Новая Земля», 1963, вып. 2	Результаты наблюдений Новоземельской экспедиции МГГ за температурой толщи
136	20, 86	Хмелевской И. Ф. Стационарные наблюдения на станции Ледораздельная	«Материалы гляциол. исслед. (по программе МГГ). Хроника, обсуждения», 1964, вып. 10	Результаты наблюдений за температурой в толще ледникового покрова
137	20, 86	Хмелевской И. Ф. Температурные зоны на леднике Шокальского (Новая Земля)	«Материалы гляциол. исслед. (по программе МГГ). Хроника, обсуждения», 1964, вып. 10	Характеристика термического режима ледника в связи с особенностями его питания
138	20, 86	Хмелевской И. Ф. Температурный режим верхних слоев ледникового покрова	В кн.: «Оледенение Новой Земли». М., «Наука», 1968	Наиболее полная характеристика температурного режима ледника Шокальского и прилегающей части ледникового щита; выводы для ледникового покрова в целом
139	Районы оледенения южного острова	Чернышев Ф. Н. Сообщение о поездке на Новую Землю летом 1895 г.	«Зап. Импер. Санкт-Петербург. минерал. об-ва», 1895, сер. 2, ч. 33	Отчет о полевых работах
140	Район оледенения южного острова	Чернышев Ф. Н. Новоземельская экспедиция 1895 г.	«Изв. РГО», 1896, т. 32, вып. 1	» » »
141	20, 86	Чижов О. П. Гляциологические исследования на Новой Земле	«Исслед. ледниковых районов», 1961, вып. I	Предварительный обзор деятельности Новоземельской экспедиции ИГАН по программе МГГ
142	20, 86	Чижов О. П. Предварительные научные результаты гляциологических исследований на Новой Земле	«Материалы гляциол. исслед. (по программе МГГ). Хроника, обсуждения», 1961, вып. 3	Обзор и предварительная оценка результатов наблюдений Новоземельской экспедиции ИГАН
143	20, 86	Чижов О. П. Гляциологические исследования на Новой Земле в период МГГ	«Материалы гляциол. исслед. (по программе МГГ). Хроника, обсуждения», 1962, вып. 4	Предварительные выводы по результатам наблюдений экспедиции ИГАН по программе МГГ
144	20, 86	Чижов О. П. Метеллерные и гидрографические наблюдения	«Материалы гляциол. исслед. (по программе МГГ). Хроника, обсуждения», 1962, вып. 3	Результаты наблюдений гляциологической экспедиции ИГАН по программе МГГ
145	20, 86	Чижов О. П. Ледниковый и вицеледниковый сток в районе Русской Гавани (северный остров Новой Земли)	«Исслед. ледниковых районов», 1963, вып. 3	Характеристика стока в связи с таянием ледника
146	20, 86	Чижов О. П. Баланс массы льда Новоземельского покрова по наблюдениям на леднике Шокальского в 1957—1958 гг.	«Гляциол. исслед.», 1963, № 9	Предварительный расчет вещественного баланса на основании наблюдений в период МГГ
147	Оледенение в целом	Чижов О. П. Питание осадками и таяние ледниковых покровов Северо-восточной Атлантики в современных климатических условиях	«Гляциол. исслед.», 1964, вып. 3	Сопоставление условий существования оледенения Новой Земли и соседних ледниковых районов
148	20, 85—87	Чижов О. П. Гляциологические исследования на Новой Земле в 1969 г.	«Материалы гляциол. исслед. (по программе МГГ). Хроника, обсуждения», 1970, вып. 16	Отчет о полевых работах

№/п	Номер и название ледника по схеме	Автор и наименование работы	Место издания работ	Краткая аннотация
149	Оледенение в целом	Чижов О. П., Корякин В. С. Современные измерения режима Новоземельского ледникового покрова	«Материалы гляциол. исслед. (по программе МГГ). Хроника, обсуждения», 1963, вып. 8	Рассчитана убыль льда в связи с климатическими изменениями в последние десятилетия
150	Оледенение в целом	Чижов О. П., Корякин В. С. Современные изменения режима Новоземельского ледникового покрова	«Материалы гляциол. исслед. (по программе МГГ). Хроника, обсуждения», 1964, вып. 10	Некоторые уточнения расчета убыли льда в связи с климатическими изменениями в последние десятилетия
151	20, 86	Чижов О. П., Сватков И. М. Общее описание исследований	«Материалы гляциол. исследований (по программе МГГ). Новая Земля», 1962	Описание работ Новоземельской гляциологической экспедиции ИГАН по программе МГГ
152	20, 86	Чижов О. П., Энгельгардт В. В. Перенос снега ветром на Новоземельском ледниковом покрове	В сб.: Терривой и водный баланс снежно-ледниковых толщ. М., «Наука», 1965	Подсчитана величина метелевого переноса в связи с вещественным балансом ледника
153	20, 86	Чижов О. П. Баланс массы Новоземельского ледникового покрова	В кн.: «Оледенение Новой Земли». М., «Наука», 1968	Наиболее полная характеристика вещественного баланса оледенения Новой Земли на основании результатов наблюдений в период МГГ
154	Оледенение в целом	Чижов О. П. Место оледенения Новой Земли среди ледниковых районов северо-восточной Атлантики	В кн.: Оледенение Новой Земли. М., «Наука», 1968	Сопоставление условий существования и режима оледенения Новой Земли и соседних ледниковых районов
155	Новая Земля в целом	Шапаев В. М. Орографические искажения ветрового режима в западном секторе Советской Арктики	«Труды АНИИ», 1951, т. 45	Описано влияние рельефа на направление ветра в различных ледниковых районах Арктики
156	Новая Земля в целом	Шапаев В. М. Связь борь на восточном побережье Новой Земли с формами атмосферной циркуляции	«Проблемы Арктики», 1958, вып. 4	Некоторые климатические характеристики ледниковых районов, в том числе Новой Земли
157	Новая Земля в целом	Шапаев В. М. Основные данные о местных искажениях ветра иreprезентативности метеорологических станций Советской Арктики	«Труды АНИИ», 1959, т. 217	Некоторые климатические характеристики ледниковых районов, в том числе Новой Земли
158	Оледенение в целом	Шумский П. А. Современное оледенение Советской Арктики	«Вопросы географии», 1947, № 4	Характеристика основных закономерностей оледенения Советской Арктики, в том числе Новой Земли
159	13, 15, 16, 18, 19, 20, 38, 42, 47, 50, 51, 60—73, 80, 83, 86—88, 90—97, 208, 210, 211, 214, 215, 217, 224, 225, 227—230, 304, 308, 365, 385, 398, 481, 483, 486, 503—505	Шумский П. А. Современное оледенение Советской Арктики	«Труды АНИИ», 1949, т. 11	Наиболее полная сводная работа по оледенению Советской Арктики, включая Новую Землю
160	Оледенение в целом	Шумский П. А. Положение гляциологических зон на Новой Земле в 1954 г.	«Материалы гляциол. исслед. (по программе МГГ). Хроника, обсуждения», 1964, вып. 9	Приведена карта положения границ питания и различных гляциологических зон
161	Район Маточкина Шара	Baer K. Expedition à Novaia Zemlia et en Laponie. Premier rapport de M. Baer (en le 7 juillet 1837)	Bull. Scient. de L'Acad. Imp. des Sciences, 1837, vol. 2.	Описание работ экспедиции; результаты наблюдений
162	Новая Земля в целом	Baer K. Über das Klima von Nowaja Semilja und die mittlere Temperatur insbesondere.	„Bull. Scient. de L'Acad. Imp. des Sciences,” St. Petersburg, 1837, vol. 2.	Климатическая характеристика района оледенения
163	Средняя часть Новой Земли	Baer K. Bericht über die neultern Entdeckungen an den küste von Nowaja Semilja	„Bull. sci publ par L'Acad. Imp. des Sciences”, St. Petersburg, et Leipzig, 1937, vol. 2.	Общий очерк района оледенения
164	Средняя часть Новой Земли	Baer K. Expedicion à Novaia Zemlia et en Nouvelle Zemle.	„Bull. sci de L'Acad. Imp. des Sciences”. St.-Petersbourg et Leipzig, 1938, vol. 3.	Описание работ экспедиции; результаты наблюдений
165	Район Маточкина Шара, долина Русанова, Белужья губа	Benard C. H. Dans l'Okean et en Nuvelle Zemle.	Société d'oceanographie du golfe de Gasconne. Paris, 1908.	Описание форм ледниковой и ледниковых отложений. Сведения о сокращении оледенения (со ссылками на В. А. Русланова)

№ п/п	Номер и название ледника по схеме	Автор и наименование работы	Место издания работ	Краткая аннотация
166	Оледенение в целом	Chizov O. P., Koryakin V. S. Recent changes in the Novaya Zemlya Ice Sheet	„J. Colloque d'Obergurgl“, 1962, Variations du Régime des glacier existans, commission des Neiges et Glaces de L'Association Internationale d'Hydrologie Scientifique Publications, N 58, Gentbrugge (Belgique), 1962.	Расчет убыли льда Новоземельского ледникового покрова за 1930—1960 гг.
167	Оледенение в целом	Felden H. W. Visits to Barents and Kara seas Novaja Zemlya 1859 and 1897	„Georg. J.“ London, 1898, vol II, N 4	Общее описание ледников. В частности, автор предполагал наличие покрова так же и на Южном острове. Отмечено распространение ветров типа «бора» на сравнительно небольшие расстояния
168	60—65, 70, 73, 227 230	Gronlie O. T. Contributions to the Quaternary Geology of Novaya Zemlya.	„Rep. Sci. Results Norweg. Ex. to Novaya Zemlya, Christiania, 1924.	Описание ряда ледников в районе прол. Маточкин Шар и по западному берегу Новой Земли. Очерк четвертичной истории острова
169	42, 70, 86	Heim A. Einige Beobachtungen über Eis und Schnee auf Novaya Semlya.	„Zeitschrift für Gletscherkunde“, Juli 1938, Bd. 26.	Характеристика форм поверхности ледников. Слабое развитие поверхностной морены на ледниках. Отсутствие четкой разницы между ледниками и снежниками
170	Район Маточкина Шара, западное побережье Новой Земли	Höfer H. Über die Gletscher von Novaja Semlya	„Pet. Mitt.“ 1875, Bd. 21.	Распределение и формы ледников в районе прол. Маточкин Шар и на западном побережье Северного острова (до Русской Гавани). Данные о положении снеговой границы
171	60, 228, 229	Holtedal O. A crossings of Novaya Zemlya	„Geogr. J.“ London, vol. 59, May, 1922	Описание пересечения Новой Земли по маршруту губа Мангиана — зал. Циволько. Характеристика форм ледниковой поверхности снежного покрова, а также коренного рельефа
172	Новая Земля в целом, преимущественно западное побережье	Holtedal O. Novaya Zemlya a Russian Arctic Land	„The Geogr. Rev.“, 1922, vol. 12.	Общий очерк района работ норвежской экспедиции в 1921 году, включая характеристику оледенения
173	Побережье Маточкина Шара и прилегающих районов	Pearson N. S. Beyond Petsord eastward	London, 1899	Характеристика форм поверхности и строения ледников. Отмечено интенсивное питание горных ледников навеянными снегом
174	Северная часть Новой Земли	Petermann A. Die neuen Norwegischen Autnamen die nordöstlichen Teil aus Nowaja Sembla	„Pet. Mitt.“, 1872, Bd. 18.	Результаты плаваний норвежских промышленников. Приведена карта северной части Новой Земли, составленная методом морской съемки
175	208, 210, 211	Philipow A. Polarreisen des russischen Malers Barisow	„Pet. Mitt.“, 1903, Bd. 49.	Описание зимовки экспедиции А. А. Борисова. Приложены карты, снятые во время работы экспедиции
176	Новая Земля в целом	Sporer J. Nowaja Sembla in geographischer, naturhistorischer und volkswirtschaftlicher Beziehung	„Pet. Mitt.“, 1868, Bd. 5, N 2.	Изложение работы К. Свенске
177	20, 86	Svatcov N. M. Changes in the accumulation regime on the Ice Cape in the Russkaya Gavan area on Novaya Zemlya	In: Assemble Generale de Helsinki; Commission des Neiges et Glaces, Gentbrugge (Belgique) 1961. (De L'Assoc Intern. d'Hydroe Sci. Publ. N 54).	Изменение условий питания ледникового покрова подтверждается увеличением осадков вследствие усилившейся меридиональной циркуляции атмосферы

ДОПОЛНИТЕЛЬНЫЕ МАТЕРИАЛЫ

Как указывалось выше (с. 13, 15), авторы предлагают второй вариант выделения основных областей оледенения Новой Земли. По этому варианту граница, разделяющая область покровного оледенения и область оледенения, переходного от покровного к горному, смещается к северу, и ледники южной части покрова (№ 60—64) относятся к области переходного оледенения.

Такое разделение ледниковых областей так же правомочно, как и принятое в основном варианте Каталога. Обоснование предложенного здесь подразделения заключается в том, что между основным массивом ледникового покрова и участками его южного склона, входящими в ледосборы ледников № 60—64, практически не происходит массообмена и лед ледникового покрова не выводится этими ледниками к побережью. Ледник № 60 образует замкнутую систему с ледниками, расположенными юж-

нее, часть льда которых также поступает к языку ледника № 60.

Кроме того, по своей морфологии ледники № 60—64 несут черты, присущие ледникам области, переходной от покровного оледенения к горному.

Таким образом в предлагаемом варианте граница покрова проходит от губы Глазовой примерно к средней части безымянного полуострова между заливами Ога и Циволько. В пределы области оледенения, переходного от покровного к горному, включаются участки южнее склона ледникового покрова общей площадью 303,3 км². Одновременно в эту область входят и горные ледники № 109—140.

Приведенные ниже таблицы составлены с учетом предлагаемого варианта границы между областями покровного оледенения и оледенения, переходного от покровного к горному.

Таблица 6

Изменение размеров ледников Новой Земли

Ледник	№ по табл. I	Площадь ледника на 1952 г.	Источ- ник сведений по табл. V	Дата съемок	Изменение положения края, м	Изменение площади ледника		Примечание
						км ²	%	
Область покровного оледенения								
Иностраница	13	682,5	102 ГУГК ГУ	1933 1952 1955	-8000 -300 -0,2	-37,0 -0,2 -0,03	-5,1 -0,3	Судя по наблюдениям Г. Я. Седова, в 1913 г. ледник наступал, частично заполнив залив. Язык его соприкасался с концом ледника Павлова (№ 15)
Астрономический	14	11,8	102 ГУГК	1933 1952	+1200	+1,5	+14,6	Ледник, не характерный для ледникового покрова в целом
Павлова	15	198,2	102 ГУГК ГУ	1933 1952 1955	-300 -100	-12,0 -0,8	-5,7 -0,4	Судя по наблюдениям Г. Я. Седова, в 1913 г. ледник наступал, частично заполнив залив. Язык его соприкасался с концом ледника Иностраницы (№ 13)
Вера	16	366,2	ГУГК ГУ	1952 1955	-300	-1,2	-0,3	
Бунге	18	308,6	I V ГУГК	1913 1933 1952	-5500 -1500	-23,0 -4,0	-6,8 -1,3	В 1910 г. В. А. Русанов отметил отступление этого ледника
Петерсена	19	118,8	174 I V ГУГК	1871 1913 1933 1952	-7000 -1500 +600	-23,0 -6,0 +1,2	-15,7 -4,9 +1,0	В 1871 г. язык ледника выступал в море. Однако в 1910 г. В. А. Русанов отметил отступление этого ледника
Кроноткина	47	747,2	18 ГУГК	1913 1952	0	0	0	
Вылки	51	452,4	117 ГУГК	1925 1952	-300	-1,0	-0,2	
Ora	56	917,3	107 ГУГК	1910 1952	-5500	-12,0	-1,3	
Стройный	58	197,5	II ГУГК	1931 1952	-2000	-4,0	-2,0	
Глазов	65	679,4	ГУГК ГУ	1952 1955	-500	-0,8	-0,1	
Норденшельда	66	1052,2	107 ГУГК ГУ	1910 1952 1955	-4300 -300	-18,0 +1,4	-1,7 +0,1	
Вилькицкого	67—68	729,1	107 ГУГК ГУ	1910 1952 1955	-4000 -1000	-15,0 -2,6	-2,0 -0,4	Изменение площади ледника указано для общего фронта обоих ледников (северного и южного)
Кривошеина	69	85,0	ГУГК ГУ	1952 1955	-500	-0,7	-0,8	
Крайний	71	593,9	99 ГУГК	1935 1952	-1300	-3,0	-0,5	
Тансия	73	431,7	84 ГУГК	1910 1952	-1800	-5,0	-1,2	
Чернышева	80	469,3	84 ГУГК ГУ	1910 1952 1955	-2500 -500	-34,0 -1,2	-6,8 -0,3	
Борзова	83	380,8	ГУГК ГУ	1952 1955	0	0	0	
Шокальского	86	517,8	ГУ Сев- морпути ГУГК Наблюдения В. С. Коря- кина	1935 1952 1959	+300	+0,8	+0,2	
Чаева	87	368,2	102 ГУГК ГУ	1933 1952 1955	-600 -700 -500	-2,0 -6,0 -2,1	-0,4 -1,6 -0,6	
Рыкачева	88	414,1	102 ГУГК ГУ	1933 1952 1955	-1800 -600	-5,0 -3,2	-1,2 -0,8	
Велькена	90	154,0	102 ГУГК	1933 1952	-1000	-2,5	-1,2	
Maka	91	177,5	ГУГК ГУ	1955 1952 1955	-500 -1300 -1500	-1,8 -2,5 -2,5	-1,2 -1,4 -1,6	
Воейкова	92	52,3	102 ГУГК ГУ	1933 1952 1955	-500 +100	-1,0 +0,1	-1,9 -0,2	

Ледник	№ по табл. I	Площадь ледника на 1952 г.	Источник сведений по табл. V	Дата съемок	Изменение положения края, м	Изменение площади ледника		Примечание
						км ²	%	
Броунова	93	291,9	102 ГУГК ГУ	1933 1952 1955	-5000 0	-12,0 0	-3,9 0	
Анучина	94	57,3	102 ГУГК ГУ	1933 1952 1955	-1000 -100	-2,0 -0,2	-3,4 -0,35	
Визе	95	283,2	102 ГУГК ГУ	1933 1952 1955	-2000 -500	-7,4 -1,7	-2,5 ~-0,6	
Карбасникова	96	86,9	102 ГУГК ГУ	1933 1952 1955	-300 0	-1,5 0	-1,7 0	
№ 199	199	1,0	102 ГУГК	1933 1952	+500	+0,5	+100	
Область оледенения, переходного от покровного к горному								
Серп и Молот	60	501,0	II ГУГК	1931 1952	-1000	-3,0	0,6	
Лакруа	61	196,2	103, 104 168 ГУГК	1909 1921 1952	0 -500	0 -1,7	0 0,9	В 1952 г. отмечена узкая полоска моренных отложений перед фронтом ледника
Широкий	62	67,5	103, 104 168 ГУГК	1909 1921 1952	-2500 0	-12,0 0	15,1 0	
Низкий	64	372,6	ГУГК ГУ	1952 1955	-300	-0,8	0,2	После 1954 г. ледник наступал, заполнив мореной пролив, обнаруженный В. Баренцем (табл. V/№ 47)
Ладыгина	204	108,9	II ГУГК	1931 1952	-2000	-4,0	3,5	
Витте	208	194,0	175 ГУ Севмор-пути ГУГК	1901 1933 1952	-1200 -1000	-3,5 -2,0	1,8 1,0	
Ярошевского	210	8,8	175 ГУ Сев-морпути ГУГК	1901 1933 1952	-400 -300	-0,7 -0,3	7,1 -3,3	В 1952 г. конец ледника находился на суше. По прежним наблюдениям, ледник кончался в море
Рейнгардта	211	16,1	175 ГУ Сев-морпути ГУГК	1901 1933	-600	-1,0	-5,2	В 1952 году конец ледника находился на суше, по прежним наблюдениям ледник кончался в море
Шумный	215	97,1	28 ГУГК	1931 1952	-1200 -1000	-2,0 -5,0	-11,1 -4,9	В 1909 г. ледник достигал моря. Конец ледника на суше отмечен в 1931 г. (табл. V/№ 28)
№ 217	217	9,4	III ГУГК	1926 1952	-3300	-3,0	-24,2	
№ 223	223	169,1	ГУГК ГУ	1952 1955	+300	+0,8	+0,5	
№ 224	224	76,1	III ГУГК ГУ	1926 1952 1955	-500 +100	-1,4 +0,4	-1,8 +0,5	
№ 225	225	59,1	III ГУГК	1926 1952	0	0	0	
Люнге	227	7,3	15 168 ГУГК	1901 1921 1952	-800 +400	-2,5 +0,3	-26,3 +4,3	
Окленд	228	13,1	103, 104 168 ГУГК ГУ	1909 1921 1952 1955	-200 -500 -100	-0,3 -1,2 -0,2	-2,1 -8,4 -1,5	В 1952 г. конец ледника находился на суше. По прежним наблюдениям, ледник кончался в море
Буля	229	94,5	15 168 ГУГК ГУ	1901 1921 1952 1955	-1200 -1700 -500	-5,2 -5,0 -1,1	-21,2 -5,0 -1,2	Судя по наблюдениям В. Н. Вебера (табл. V/№ 15), ледник достигал северного берега Машингиной ледяники, перегораживая Машингину губу поперек
№ 285	285	1,8	168 ГУГК	1921 1952	-400	-0,7	-28	
№ 289	289	22,5	168 ГУГК	1921 1952	0	0	0	

Ледник	№ по табл. I	Площадь ледника на 1952 г.	Источ- ник сведений по табл. V	Дата съемок	Измене- ние поло- жения края, м	Изменение площади ледника		Примечание
						км ²	%	
Область горного оледенения								
Макарова—Жерве	301	10,4	104 ГУГК	1909 1952	—800 —700	—2,5 —0,5	—19,4 —38,5	
Глубокий	304	0,8	86 ГУГК	1925 1952				
№ 305	305	6,5	86 ГУГК	1925 1952	—1000	—1,5	—18,8	
Краснова	308	12,4	175 86 ГУГК	1901 1925 1952	—500 —500	—0,5 —0,5	—3,7 —3,9	
Лагерный	347	3,0	IV ГУГК	1934 1952	0	0	0	
Святогор	348	3,9	IV ГУГК	1934 1952	—500	—0,2	—4,9	
Амеба	352	2,8	IV ГУГК	1934 1952	+400	+0,2	+7,7	Возможно, пульсирующий ледник
Третьякова	365	4,2	110 IV ГУГК	1907 1934 1952	—1000 +400	—0,8 +0,3	—17,0 +7,7	
Гордеева	385	12,4	IV ГУГК	1934 1952	+800	+1,1	+9,7	»
Кольцова	397	7,2	IV ГУГК	1934 1952	+700	+0,9	+14,9	»
Бычкова	398	15,5	IV ГУГК	1934 1952	+1000	+1,1	+7,6	»
Энгельса	417	33,0	IV ГУГК	1934 1952	—800	—1,5	—4,3	
№ 457	457	3,5	IV ГУГК	1934 1952	—800	—0,8	—18,6	
Перекидной	458	11,3	IV ГУГК	1934 1952	+400	+0,4	3,4	Возможно, пульсирующий ледник
Благодать	481	12,0	15 86 ГУГК	1901 1925 1952				»
Наблюдений	486	4,8	86 ГУГК	1925 1952	+500 —500	+1,5 —1,5	12,5 11,1	»
Крутой	487	3,6	86 ГУГК	1925 1952	—300	—0,8	14,3	
№ 488	488	0,3	86 ГУГК	1925 1952	—1200	—0,8	18,2	
Водораздельный	494	1,8	86 ГУГК	1925 1952	—1000	—1,0	76,9	
Географического института	502	8,4	86 ГУГК	1925 1952	—400	—0,5	21,7	
Эдельштейна	504	4,3	86 ГУГК	1925 1952	—500	—0,5	5,7	
№ 513, 514	513—514	15,5	104 ГУГК	1909 1952	—500 —1200	—0,5 —1,5	10,4 8,8	Оценка изменений приближенная. Неясно, произошел ли в период с 1909 по 1952 г. распад общего языка или при картировании 1909 г. оба языка были объединены произвольно
№ 528	528	21,1	104 ГУГК	1909 1952	—600	—0,8	3,7	
№ 539	539	4,3	86 ГУГК	1925 1952	—1000	—1,0	18,9	
№ 540	540	0,5	86 ГУГК	1925 1952	—400	—0,3	37,5	
№ 552	552	2,5	104 ГУГК	1909 1952	—1400	—1,0	28,6	
№ 589	589	27,5	116 ГУГК	1923 1952	—700	—2,5	8,3	
№ 590	590	13,2	116 ГУГК	1923 1952	—2200	—8,0	25,6	

ПРИМЕЧАНИЕ. Римскими цифрами даны ссылки на карты, опубликованные в следующих изданиях, не включенных в табл. V:

- I — Записки по гидрографии, 1918, т. 42;
- II — Die Arctischfart des Luftschiffes „Graf Zeppelin“ in Juli 1931. Ergänzungs № 216 zu Pet. Mit. Gotha, 1933;
- III — Лоция Карского моря. Ч. 2. Карское море и Новая Земля, 1935;
- IV — Труды Арктич. ин-та, 1936, т. 57;
- V — Труды Арктич. ин-та, 1936, т. 38.

Таблица 7

Соотношение суши и ледников на Новой Земле (по областям оледенения)

Бассейн	Площадь суши, км ²	Площадь оледенения		Площадь ледников, достигающих моря		Длина береговой линии	Длина фронтов ледников	
		км ²	% площади суши	км ²	% общей площади оледенения		км	% общей площади
Область покровного оледенения (Северный остров)								
Баренцева моря	13 305,2	9820,8	73,8	9298,7	94,7	676,6	117,2	17,3
Карского моря	16 461,6	9775,2	59,4	7697,1	78,7	704,7	76,9	10,9
Итого	29 766,8	19 596,0	65,8	16 995,8	86,7	1381,3	194,1	14,1
Область оледенения, переходного от покровного к горному (Северный остров)								
Баренцева моря	4250,4	1994,0	46,9	107,6	5,4	488,4	8,2	1,7
Карского моря	3498,5	1221,8	34,9	194,0	15,9	251,4	6,4	2,5
Итого	7748,9	3215,8	41,5	301,6	9,4	739,8	14,6	2,0
Область горного отделения Северный остров								
Баренцева моря	4146,2	537,6	13,0				353,8	
Карского моря	2834,4	309,4	10,9				303,1	
Прол. Маточкин Шар	1202,9	101,8	8,5				140,6	
Итого	8183,5	948,8	11,6				797,5	
Южный остров								
Баренцева моря	1614,1	168,1	10,4				1056,1	
Карского моря	1093,8	96,1	8,8				76,1	
Прол. Маточкин Шар	1698,2	169,5	10,0				1123,6	
Итого	4406,1	433,7	9,8				2255,8	
Итого в области горного оледенения	12 589,6	1382,5	11,0				3053,3	
Область оледенения малых форм (Южный остров)								
Баренцева моря	17 377,6	112,9	0,6				2744,4	
Карского моря	10 733,4	91,5	0,9				573,9	
Итого	28 111,0	204,4	0,7				3318,3	
Оледенение Новой Земли								
Всего	78 216,3	24 415,9	31,2	17297,4	72,8	8492,7	208,7	2,5
В том числе:								
на Северном острове	45 699,2	23 777,8	52,0	17 297,4	72,8	2918,6	208,7	7,2
на Южном острове	32 517,1	638,1	2,0				5574,1	

Таблица 8

Распределение ледников различных морфологических типов

Морфологические типы ледников	Бассейн						Всего					
	Карского моря		Баренцева моря		прол. Маточкин Шар							
	количество ледников	площадь, км ²	% общей площади	количество ледников	площадь, км ²	количество ледников						
Область покровного оледенения												
Ледниковый покров												
Горные ледники	11	9 394,2	62	9 517,1	—	—	73	18 911,3	77,5	73	18 911,3	—
В том числе		96,7	203,6				300,3	1,2		300,3		
сложные долинные	6	74,6	4	50,2	—	—	10	124,8	0,5	10	124,8	—
долинные	5	22,1	32	136,6	—	—	37	158,7	0,6	37	158,7	—
карово-долинные			8	4,9	—	—	8	4,9	0,03	8	4,9	—
каровые			12	4,1	—	—	12	4,1	0,02	12	4,1	—
висячие			2	0,7	—	—	2	0,7	0,01	2	0,7	—
прислоновые			1	1,3	—	—	1	1,3	0,01	1	1,3	—
плоских вершин			3	5,8	—	—	3	5,8	0,03	3	5,8	—
Малые ледники	428	301,5	183	97,4	—	—	611	398,9	1,6	611	398,9	—
В том числе												
речевые	283	224,0	47	37,0	—	—	330	261	1,0	330	261,0	—
прислоновые	145	77,5	136	60,4	—	—	281	137,9	0,6	281	137,9	—
Область оледенения, переходного от покровного к горному												
Ледники переходных форм	3	1 123,3	5	1 742,8	—	—	8	2866,1	11,7	8	2866,1	—
В том числе												
дolinные (контактные)	1	501,0	—	—	—	—	1	501,0	2,1	1	501,0	—
долинные			2	568,8	—	—	2	568,8	2,3	2	568,8	—
ледниковые плато			252,8	945,7	—	—	4	1198,5	5,8	4	1198,5	—
Северная ледниковая шапка с выводными языками			369,5	228,3	—	—	1	597,8	1,5	1	597,8	—
Горные ледники	27	52,0	67	244,1	—	—	94	296,1	1,2	94	296,1	—
В том числе												
сложные долинные	5	9,7	14	137,5	—	—	19	147,2	0,6	19	147,2	—
долинные	18	40,5	34	89,7	—	—	52	130,2	0,5	52	130,2	—
карово-долинные			—	3	1,4	—	3	1,4	0,01	3	1,4	—
каровые	3	1,3	4	2,3	—	—	7	3,6	0,02	7	3,6	—
висячие	1	0,5	10	4,3	—	—	11	4,8	0,03	11	4,8	—
плоских вершин			—	5	8,9	—	2	8,9	0,04	2	8,9	—
Малые ледники	186	46,5	22	7,1	—	—	208	53,6	0,2	208	53,6	—
В том числе												
речевые	117	31,1	15	5,7	—	—	132	36,8	0,15	132	36,8	—
прислоновые	69	15,4	7	1,4	—	—	76	16,8	0,05	76	16,8	—
Область горного оледенения												
Горные ледники	68	348,2	205	661,7	120	253,2	393	1263,1	5,2	262	866,1	131
В том числе												
сложные долинные	7	95,5	18	158,6	7	69,8	32	323,9	1,3	22	217,1	10
долинные	38	176,6	111	434,8	68	153,6	217	765,0	3,2	135	495,4	82
ассиметричные долинные		—	3	2,1	2	5,4	5	7,5	0,03	4	7,3	1
карово-долинные	5	6,5	18	18,2	7	6,6	30	31,3	0,1	26	26,6	4
каровые	9	3,9	30	14,7	17	7,0	56	25,6	0,1	41	19,6	15
карово-висячие		—	2	1,7	6	4,0	8	5,7	0,03	2	1,7	6
висячие	1	1,2	1	0,3	7	2,5	9	4,0	0,02	3	1,5	6
склоновые	2	58,8	4	16,4	1	1,2	7	76,4	0,3	7	76,4	—
прислоновые	6	5,7	15	11,7	5	3,1	26	20,5	0,1	19	17,3	7
плоских вершин		—	3	3,2	—	—	3	3,2	0,02	3	3,2	—
Малые ледники	201	57,3	148	44,0	68	18,1	417	119,4	0,5	284	82,7	133
речевые	78	26,9	79	25,3	12	1,5	169	53,7	0,2	125	42,8	44
прислоновые	123	30,4	69	18,7	56	16,6	248	65,7	0,3	159	39,9	89
Область оледенения малых форм												
Малые ледники	366	91,5	405	112,9	—	—	771	204,4	0,8	—	—	771
В том числе												
речевые	269	64,8	255	76,6	—	—	524	141,4	0,6	—	—	524
прислоновые	97	26,7	150	36,3	—	—	247	63,0	0,2	—	—	247
Всего		11 511,2		12 630,7	188	271,3		24 413,2	100		23 775,1	1035
												638,1

П р и м е ч а н и е. Ледники № 60—64 отнесены к области оледенения, переходного от покровного к горному (см. объяснение в тексте).

Таблица 9

Распределение ледников по экспозициям (по областям оледенения)

Бассейн	Тип ледников	C	СВ	В	ЮВ	Ю	ЮЗ	З	С3	Всего
Северный остров										
Область покровного оледенения										
	Ледники леднико- кового покро- ва	375,8(1404,6) 7						500,5(1435,2) 5	20 29	27,1(6677,3) 41
Баренцево море	Горные ледники	91,0 11	31,3 17	1,5 3	5,0 7		19,9 5		54,9 19	203,6 62
	Малые ледники	11,4 29	29,0 26	0,9 3	4,5 13	8,4 6	4,3 13	1,6 7	37,3 86	97,4 183
	Всего:	1507,0 47	60,3 43	2,4 6	9,5 20	8,4 6	24,2 18	1436,8 12	6769,5 134	9818,1 286
	Ледники леднико- кового покрова		530,5 1		2586,4(8598,7) 23	2,2(265,0) 2				2588,6(9394,2) 26
Карское море	Горные ледники		20,5 1	31,8 2	42,9 7	1,5 1				96,7 11
	Малые ледники	1,9 2	40,7 47	51,4 60	140,4 174	24,4 65	42,1 75	0,2 2	0,4 3	301,5 428
	Всего:	1,9 2	61,2 48	613,7 63	8782,0 204	290,9 68	42,1 75	0,2 2	0,4 3	9792,4 465
	Итого	1511,6 49	121,5 91	616,1 69	8791,5 224	299,3 74	66,3 93	1437,0 14	6769,9 137	19610,5 751
Область оледенения, переходного от покровного к горному										
Баренцево море	Ледники пере- ходных форм	158,2 6	42,6 4				1022,6 9	54,2 1	465,2 3	1742,8 23
	Горные ледники	35,2 8	59,9 16	7,1 5	11,3 3	55,3 8	16,4 6	14,7 2	44,2 19	244,1 67
	Малые ледники	1,3 3	0,5 4	0,2 1				1,5 6	3,6 8	7,1 22
	Всего	194,7 17	103,0 24	7,3 6	11,3 3	55,3 8	1039,0 15	70,4 9	513,0 30	1994,0 112
Карское море	Ледники пере- ходных форм		33,9 2		1073,3 7	16,1 1				1123,3 10
	Горные ледники		11,8 8	30,2 9	7,4 6	1,4 2	1,2 2			52,0 27
	Малые ледники	0,8 5	6,2 31	16,1 46	17,4 68	1,6 13	3,1 19	1,1 3	0,2 1	46,5 186
	Всего	0,8 5	18,0 39	80,2 57	1098,1 81	19,1 16	4,3 21	1,1 3	0,2 1	1221,8 223
	Итого	195,5 22	121,0 63	87,5 63	1109,4 84	74,4 24	1043,3 36	71,5 12	513,2 31	3215,8 335
Область горного оледенения										
Баренцево море	Горные ледники	57,8 29	100,8 37	31,6 17	140,8 35	43,7 9	45,3 15	19,3 7	66,3 22	505,6 171
	Малые ледники	2,7 13	4,4 16	5,5 4	1,6 7	0,2 1	5,3 11	1,9 10	10,4 37	32,0 99
	Всего	60,5 42	105,2 53	37,1 21	142,4 42	43,9 10	50,6 26	21,2 17	76,7 59	537,6 270
Карское море	Горные ледники	7,3 6	104,1 10	44,9 7	89,0 9	13,9 4	0,5 1		6,5 1	266,2 38
	Малые ледники	2,0 10	3,5 13	7,5 25	17,0 45	5,2 18	7,3 36	0,3 3	0,4 2	43,2 152
	Всего	9,3 16	107,6 23	52,4 32	106,0 54	19,1 22	7,8 37	0,3 3	6,9 3	309,4 190
Маточкин Шар	Горные ледники	13,5 11	8,1 7	4,3 4	19,2 12	0,8 1	33,8 10	11,6 4	3,0 4	94,3 53
	Малые ледники	0,4 3	0,2 2	0,9 5	3,5 11	1,2 4	0,9 5		0,4 3	7,5 33
	Всего	13,9 14	8,3 9	5,2 9	22,7 23	2,0 5	34,7 15	11,6 4	3,4 7	101,8 86

Бассейн	Тип ледников	C	СВ	В	ЮВ	Ю	ЮЗ	З	СЗ	Всего
Южный остров										
Область горного оледенения										
Баренцево море	Горные ледники	9,7	1,0		28,9	99,8	8,4	4,5	3,8	156,1
		6	2		10	8	4	1	3	34
	Малые ледники	2,4	0,9	0,7	2,7	0,7	0,4	0,7	3,5	12,0
		8	7	4	4	4	3	4	15	49
	Всего	12,1	1,9	0,7	31,6	100,5	8,8	5,2	7,3	168,1
Карское море	Горные ледники	14	9	4	14	12	7	5	18	83
		2,5	1,9	19,3	34,4	9,3	8,2		6,4	82,0
	Малые ледники	2	5	2	9	5	6		1	30
		0,5		6,1	4,5	0,4	1,4	0,3	0,9	14,1
	Всего	3		17	17	2	7	1	2	49
Маточкин Шар	Горные ледники	3,0	1,9	25,4	38,9	9,7	9,6	0,3	7,3	96,1
		5	5	19	26	7	13		3	79
	Малые ледники	44,7	41,7	12,2	25,3	3,8	18,3	5,2	7,7	158,9
		11	17	6	13	8	6	3	3	67
	Всего	0,7	3,4	4,4	0,8			0,3	1,0	10,6
		3	8	11	5			2	6	35
	Итого	45,4	45,1	16,6	26,1	3,8	18,3	5,5	8,7	169,5
		14	25	17	18	8	6	5	9	102
		144,2	270,0	137,4	367,7	179,0	129,8	44,1	110,3	1382,5
		105	124	102	177	64	104	35	99	810
Область оледенения малых форм										
Баренцево море	Малые ледники	12,6	3,6	3,7	3,2	17,8	26,7	20,3	25,0	112,9
		53	20	11	16	40	84	94	87	405
Карское море	Малые ледники	2,5	3,7	16,2	25,1	17,4	18,1	5,3	3,2	91,5
		17	19	72	93	71	59	19	16	366
	Итого	15,1	7,3	19,9	28,3	35,2	44,8	25,6	28,2	204,4
		70	39	83	109	111	143	113	103	771
Оледенение Новой Земли										
Всего		1866,4	519,8	860,9	10296,9	587,9	1284,2	1578,2	7421,6	24413,2
		246	317	317	594	273	376	174	370	2667
В том числе:										
	на Северном	1790,8	463,6	798,3	10172,0	438,7	1202,7	1541,6	7370,1	23775,1
	острове	143	239	194	427	135	207	50	237	1632
	на Южном	75,6	56,2	62,6	124,9	149,2	81,5	36,6	51,5	638,1
	острове	103	78	123	167	138	169	124	133	1035

Приложение. Ледники № 60—64 отнесены к области оледенения, переходного от покровного к горному (см. объяснение в тексте).

В числителе — площадь ледников (в скобках — площадь ледосборов), в знаменателе — количество ледников.

Таблица 10

Ориентировка и типизация подразделений ледникового покрова

Тип ледника	С	СВ	В	ЮВ	Ю	ЮЗ	З	СЗ	Всего
Выводной	369,9(1317,3) 3	—	—	2582,1(8365,7) 20	—	—	7,8(10) 1	1078,7(4598,0) 15	4038,5(14291,0) 39
Сложный выводной	—	—	—	—	—	—	341,1(1141,8) 2	792,8(1733,0) 3	1139,9(2874,8) 5
Выводной (краевой)	5,9(5,9) 3	—	—	4,3(4,3) 1	2,2(2,2) 1	—	151,6(283,4) 2	155,6(346,3) 11	319,6(642,1) 18
Нерасчлененные участки	81,4 1	—	530,5 1	228,7 2	262,8 1	—	—	—	1103,4 5
Всего	375,8(1404,6) 7	—	530,5 1	2586,4(8598,7) 23	2,2(265,0) 2	—	500,5(1435,2) 5	2027,1(6677,3) 29	5492,0(18911,3) 67

Примечания: 1. Ледники № 60—64 не включены в подсчет (см. объяснение в тексте).

2. Ледники В, ЮВ, Ю экспозиций, общей площадью 2588,6(9394,2) км² относятся к бассейну Карского моря.
3. Ледники С, СЗ, З экспозиций, общей площадью 2903,4(9517,1) км² относятся к бассейну Баренцева моря.
4. В числителе — площадь ледников (в скобках — площадь ледосборов), в знаменателе — количество ледников.

СОДЕРЖАНИЕ

Предисловие	3
Деление Каталога ледников СССР на тома, выпуски и части	5
Список томов, выпусков и частей Каталога ледников СССР	—
Список принятых сокращений	7
Характеристика географического положения, морфологии, климатических условий и режима ледников	8
Географическое положение и рельеф	—
Морфология оледенения	9
Типы ледников	—
Ледниковые области	15
Общие закономерности оледенения	18
Климатические условия и граница питания ледников	20
Характеристика режима ледников	22
Колебания ледников	26

ОСНОВНЫЕ ТАБЛИЦЫ КАТАЛОГА ЛЕДНИКОВ

Таблица I Основные сведения о ледниках	37
Пояснения к таблице I	78
Таблица II Список гидрометеорологических станций и постов в районе ледников	87
Таблица IV Экспедиционные и стационарные исследования ледников	88
Таблица V Список работ, содержащих сведения о ледниках	91
Дополнительные материалы	103

Каталог ледников СССР, т. 3, ч. 2.

Редактор И. С. Якорь

Техн. редактор Г. В. Иакова

Корректоры: Л. И. Хромова, Л. А. Сандлер

ИБ № 633

Сдано в набор 7/VI 1977 г. Подписано к печати 20/1 1978 г. М-09225. Формат 60×90^{1/2}. Бум. тип. № 1. Печ. л. 14,25 в т. ч. вкл. Уч.-изд. л. 19,69. Тираж 320 экз. Индекс ГЛ-174.

Заказ 179. Цена 1 р. 30 к. Гидрометеониздат. 199053, Ленинград, 2-я линия, д. 23.

Типография издательства «Волгоградская правда», г. Волгоград, Привокзальная площадь. Дом печати